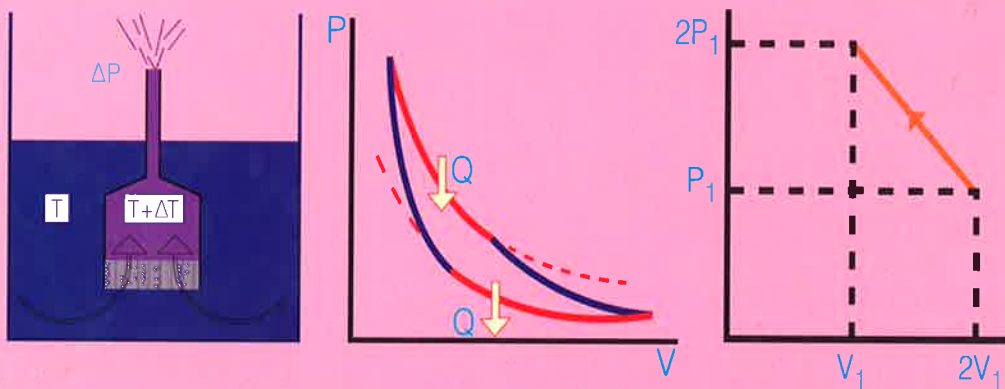


الاستاذ الدكتور  
فلاح حسن حسين

# مبادئ الترموديناميك



الطبعة الثانية 2012

# **مِبَادئُ التَّرْمُودِيَّاتِ الْكِهْلِيَّةِ**

الأستاذ الدكتور  
فلاح حسن حسين  
كلية العلوم - جامعة بابل

**الطبعة الثانية مزيدة ومنقحة**

**2012**



## مفردات كتاب مبادئ термодинамики

.....	مقدمة الطبعة الثانية
.....	مقدمة الطبعة الأولى

### الفصل الأول الخواص العامة للغازات

#### General Properties of Gases

5.....	1-1 مقدمة
6.....	2-1 ضغط الغاز
8.....	1-2-1 مقاييس الضغط الجوي
13.....	3-1 حجم الغاز
13.....	4-1 درجة الحرارة وكمية الحرارة
14.....	5-1 قانون الصفر للترموديناميكي
17.....	6-1 قوانين الغاز
18.....	1-6-1 قانون بويل
20.....	2-6-1 قانون شارل أو قانون غايلوساك
23.....	3-6-1 قانون افوكادرو
27.....	7-1 قانون الغاز المثالي
30.....	8-1 الغاز المثالي وثابت الغاز
34.....	9-1 قانون دالتون للضغط الجزئي
39.....	أمثلة الفصل الأول

## الفصل الثاني

### الغازات المثالية والغازات الحقيقة

### Ideal and Real Gases

1-2 مقدمة.....	49
2-2 النظرية الحركية للغازات.....	49
3-2 تفسير خواص وقوانين الغازات حسب النظرية الحركية للغازات .....	52
4-2 الضغط .....	56
5-2 درجة الحرارة والطاقة الحركية .....	59
6-2 سرع الجزيئات.....	61
7-2 توزيع السرع الجزيئية .....	61
8-2 قوانين الغازات والنظرية الحركية للغازات .....	65
8-2-1 قانون بويل .....	65
8-2-2 قانون شارل .....	65
8-2-3 قانون افوكادرو (قاعدة افوكادرو) .....	66
9-2 التدفق والاتشار.....	66
10-2 نظرية التصادم .....	69
11-2 متوسط المسار الحر .....	72
12-2 الغاز الحقيقي.....	73
13-2 الشذوذ عن القانون العام للغازات وتأثير قوى التجاذب والتنافر .....	83
14-2 معاملات القوة .....	87
15-2 التكثيف .....	91
16-2 معادلة فان در فالز .....	91

## الفهرس

93.....	1- تصحيح الضغط
94.....	2- تصحيح الحجم
97.....	17-2 الخصائص الأساسية لمعادلة فان در فالز
98.....	18-2 معادلات الحالة الأخرى
98.....	1- معادلة بيرثولث
98.....	2- معادلة دايتي راسا
99.....	3- معادلة كامبيرلينك ادينسبي
99.....	4- معادلة بيياتي وبردكمان
101.....	أمثلة الفصل الثاني

## الفصل الثالث

### القانون الأول للترموديناميك

#### The First Law of Thermodynamics

113.....	1-3 مقدمة
113.....	2-3 النظام
114.....	1-2-3 النظام المفتوح
114.....	2-2-3 النظام المغلق
115.....	3-2-3 النظام المعزول
116.....	3-3 الطاقة والحرارة والشغل
118.....	4-3 القانون الأول للترموديناميك
120.....	5-3 الصيغة الرياضية للقانون الأول للترموديناميك
122.....	6-3 دوال الحالة وصفاتها الرياضية
125.....	7-3 أنواع العمليات الترموديناميكية

8-3 التغير بالطاقة عند ثبوت الحجم والتغير بالطاقة عند ثبوت الضغط .....	128
9-3 السعات الحرارية.....	132 .....
10-3 تجربة جول و ثومسون.....	136 .....
11-3 القانون الأول للtermوديناميك.....	140 .....
12-3 التغير في الحجم والضغط في العمليات بثبوت درجة الحرارة والتمدد الرجوعي الادبياتيكي (الكظيم) .....	141.....
13-3 أنواع الشغل .....	146.....
14-3 الشغل الرجوعي والشغل غير الرجوعي .....	148.....
أمثلة الفصل الثالث .....	153 .....

**الفصل الرابع**  
**الكيمياء الحرارية**  
**Thermochemistry**

1-4 مقدمة.....	167
2-4 حرارة التفاعل الكيمياوي .....	168
3-4 حرارة التفاعل بثبوت الحجم وثبوت الضغط .....	169
4-4 قانون هييس .....	172
5-4 المحتوى الحراري للتكونين(انثالبية التكونين) .....	175
6-4 حرارة الاحتراق .....	178
7-4 حرارة المخلول .....	179
8-4 المحتوى الحراري وطاقة الأواصر .....	185
9-4 حرارة التعادل .....	190
10-4 تأثير درجة الحرارة على الانثالبية .....	190
11-4 المسعرية .....	194..

## الفهرس

197.....	12-4 أنواع المساعر .....
198.....	13-4 العلاقة ما بين $\Delta U$ و $\Delta H$ .....
200.....	أمثلة الفصل الرابع .....

## الفصل الخامس

### القانون الثاني للtermوديناميک

#### Second Law of Thermodynamics

213.....	1-5 مقدمة.....
213.....	2-5 العمليات التلقائية والعمليات غير التلقائية.....
217.....	3-5 الانتروبي.....
220.....	4-5 الدورة termوديناميكية.....
221.....	5-5 القانون الثاني للtermوديناميک .....
226.....	6-5 الانتروبي كدالة للحالة و انتروبي الغاز المثالي .....
232.....	7-5 الانتروبي كدالة للضغط ودرجة الحرارة .....
233.....	8-5 الأهمية الفيزياوية والأساس الجزيئي للانتروبي .....
237.....	9-5 دورة كارنوت.....
243.....	10-5 الماكنة الحرارية والمضخة الحرارية .....
245.....	11-5 كفاية الماكنة.....
246.....	12-5 الثلاجة المترزية .....
249.....	13-5 المضخات الحرارية .....
252.....	14-5 شروط الاتزان .....
255.....	15-5 طاقة كيس .....
257.....	16-5 طاقة هلمهولتز .....
258.....	17-5 التفسير الجزيئي لطاقة كيس .....

18-5 طاقات كيس للتكونين .....	261
19-5 طاقة كيس والشغل الرجوعي .....	263
20-5 علاقات ماكسويل .....	266
21-5 الضغط الفعال والنشاطية .....	270
22-5 معادلة كيس و هلمهولتز .....	272
أمثلة الفصل الخامس .....	274

### **الفصل السادس**

#### **القانون الثالث للترموديناميك**

#### **Third Law of Thermodynamics**

1-6 مقدمة.....	285
2-6 الفرق بين حساب انتالبية التفاعل وانتروبية التفاعل .....	286
3-6 نظرية نير نست الحرارية .....	287
4-6 درجات الحرارة الواطئة جدا.....	289
5-6 القانون الثالث للدينمية الحرارية .....	292
6-6 الانتروبيات المطلقة .....	293
7-6 انتروري تحول الحالة (تغير الطور) عند درجة حرارة التحول .....	295
8-6 الانتروري المتبقية .....	297
9-6 انتروري تعدد الغاز المثالي .....	299
10-6 تغير الانتروري مع درجة الحرارة .....	301
11-6 قياس الانتروري .....	302
12-6 القانون الرابع للترموديناميك .....	305
أمثلة الفصل السادس .....	308

الفصل السابع  
الخواص العامة للسوائل

General Properties of Liquids

317.....	1-7 مقدمة
317.....	2-7 حالات المادة
319.....	3-7 نظرية السوائل
320.....	4-7 المقارنة العيانية بين الغازات والسوائل والمواد الصلبة
321.....	5-7 تغيرات الحالة والتغير بالإنتالبيا
322.....	6-7 الخواص العامة للسوائل
324.....	1-6-7 الشد السطحي
333.....	2-6-7 الزوجة
338.....	7- قوى التجاذب بين الجزيئات
344.....	8- البلورات السائلة
348.....	أمثلة الفصل السابع

الفصل الثامن  
اتزانات الأطوار

Phase Equilibria

357.....	1-8 المقدمة
358.....	2-8 استقرارية الأطوار
360.....	3-8 التوازن في الأطوار
361.....	4-8 حدود الطور
363.....	5-8 مخططات اتزان الأطوار
365.....	6-8 مخطط الأطوار لنظام الماء
367.....	7-8 منحنى الأطوار لنظام ثاني اوكسيد الكاربون

8- منحنى الأطوار لنظام الهليوم .....	369
9- قاعدة الأطوار .....	370
1-9-8 عدد درجات الحرية .....	371
2-9-8 عدد المكونات .....	372
3-9-8 عدد الأطوار .....	373
8- إشتراق قاعدة الطور .....	376
11-8 تطبيقات قاعدة الطور .....	378
أمثلة الفصل الثامن .....	381

### الفصل التاسع أنظمة المكون الواحد

#### One – Component Systems

1-9 مقدمة .....	395
9- 2 تأثير الحرارة على تغيرات الطور .....	396
9- 3 طبيعة الاتزان لتغيرات الطور .....	401
1-3-9 اتزانات سائل - غاز .....	401
9- 4 تأثير درجة الحرارة على الضغط البخاري .....	404
9- 5 قياس درجة غليان السوائل تحت ضغط مختلفة .....	408
9- 6 قياس الضغط البخاري .....	408
9- 7 معادلة كلابيرون .....	411
9- 8 معادلة كلازيوس وكلابيرون .....	413
9- 9 علاقة تروتون الوصفية .....	415
9- 10 علاقة هلديبراند الوضعيية .....	417
أمثلة الفصل التاسع .....	418

## الفصل العاشر الأنظمة متعددة المكونات Multicomponent Systems

429 .....	1-10 مقدمة .....
430 .....	2-10 الأنظمة ثنائية المكون .....
431 .....	1-2-10 خططات الضغط - مكونات .....
433 .....	2-2-10 خططات درجة الحرارة - مكونات .....
436 .....	3-10 عملية التقطر .....
437 .....	1-3-10 التقطر البسيط .....
439 .....	2-3-10 التقطر التجزيئي .....
441 .....	3-3-10 التقطر البخاري .....
444 .....	4-3-10 التقطر تحت ضغط مخلخل .....
445 .....	4-10 خطط الطور للتقطر البسيط .....
446 .....	5-10 خطط الطور للتقطر التجزيئي .....
447 .....	6-10 التقطر التجزيئي للنفط الخام .....
450 .....	7-10 المحاليل ثابتة درجة الغليان .....
453 .....	8-10 الأنظمة ثلاثة المكون .....
457 .....	أمثلة الفصل العاشر .....

## الفصل الحادي عشر

### المحاليل

### Solutions

467 .....	1-11 مقدمة .....
468 .....	2-11 تكون محلول .....
469 .....	3-11 تركيب المحاليل .....
472 .....	4-11 ثرموديناميكية المحاليل المخففة عند مزج المذاب والمذيب .....

476.....	11-5 الكميّات المولاريّة الجزئيّة.....
477.....	11-6 الحجم المولاري الجزئي .....
482.....	11-7 المحاليل المثالية والمحاليل غير المثالية.....
483.....	11-8 خصائص المحاليل المثالية.....
488.....	11-9 الضغط البخاري للمحول المثالي.....
491.....	11-10 قانون راؤلت.....
493.....	11-11 قانون هنري.....
494.....	12-11 المحاليل غير المثالية.....
495.....	13-11 الانحرافات الموجبة والسلبية عن السلوك المثالي .....
498.....	أمثلة الفصل الحادي عشر .....

### **الفصل الثاني عشر**

### **الخواص الترابطية للمحاليل**

### **Colligative Properties of Solutions**

509.....	1-12 المقدمة.....
509.....	2-12 الذوبانية.....
512.....	3-12 الجهد الكيميائي .....
515 .....	4-12 المحاليل الثانية.....
517.....	5-12 محاليل الغازات في السائل .....
523.....	6-12 الخصائص الترابطية .....
526.....	1-6-12 الانخفاض في الضغط البخاري.....
532.....	2-6-12 الارتفاع في درجة الغليان .....
539.....	3-6-12 الانخفاض في درجة الانجماد .....
544.....	4-6-12 الضغط التناضحي .....
549.....	أمثلة الفصل الثاني عشر .....

## الفصل الثالث عشر

### التوازن الكيميائي

### Chemical Equilibrium

561 .....	1-13 المقدمة.....
562 .....	2-13 اتجاه التفاعل الكيميائي .....
566 .....	3-13 الاتزان الكيميائي المتجانس و الاتزان الكيميائي غير المتجانس .....
567 .....	4-13 قانون فعل الكتلة.....
569 .....	5-13 الكتلة الفعالة وثابت الاتزان .....
572 .....	6-13 ثابت التوازن .....
574 .....	7-13 طاقة كيسنر والتوازن الكيميائي .....
575 .....	8-13 العلاقة الرياضية بين $K_p$ و $K_C$ .....
577 .....	9-13 طاقة كيسنر والتوازن الكيميائي .....
580 .....	10-13 تأثير درجة الحرارة على ثابت الاتزان.....
582 .....	11-13 قاعدة ليه شاتليه .....
584 .....	12-13 تطبيقات قاعدة ليه شاتليه.....
587 .....	13-13 تأثير تغير الظروف على ثابت الاتزان وموقع الاتزان.....
588 .....	1-13-13 التركيز .....
589 .....	2-13-13 الضغط .....
591 .....	3-13-13 الحجم .....
592 .....	4-13-13 درجة الحرارة .....
592 .....	5-13-13 العامل المساعد .....
595 .....	14-13 بعض الحالات الخاصة من ثابت الاتزان.....
597 .....	أمثلة الفصل الثالث عشر .....

## الفصل الرابع عشر

### الترموديناميك الإحصائي

### Statistical Thermodynamics

1-14 مقدمة .....	615.....
2-14 الحالة العينية والحالة المجهريه .....	616.....
3-14 الفرق ما بين الترموديناميك الكلاسيكي والترموديناميك الإحصائي.....	619.....
4-14 مستويات الطاقة الجزيئية وتوزيع بولتزمان .....	621.....
5-14 طريقة لاكرانج .....	626.....
6-14 تقرير سترينك.....	627.....
7-14 تعين الثابتين $(\beta)$ و $(\alpha)$ .....	630.....
8-14 دالة التجزئة الجزيئية وتفسيرها .....	635.....
9-14 حساب دالة التجزئة .....	636.....
1-9-14 حساب دالة التجزئة الانتقالية.....	637.....
2-9-14 حساب دالة التجزئة الدورانية.....	639.....
3-9-14 حسابات دالة التجزئة الاهتزازية.....	640.....
10-14 دالة التجزئة للغاز أحادي الذرة-حساب الطاقة والانتروبي .....	641.....
11-14 انتروبي الغاز ثنائي الذرة .....	643.....
12-14 الاحتمالية الإحصائية والانتروبي .....	644.....
13-14 دالة التجزئة والدوال الدينمية الحرارية الأخرى والطاقة الداخلية ..	648.....
1-13-14 طاقة هلمهولتز .....	648.....
2-13-14 طاقة كيس .....	648.....
3-13-14 السعة الحرارية .....	649.....
14-4 دالة التجزئة وقانون الترموديناميك الثالث .....	651.....
15-14 دالة التجزئة وثابت الموازنة لتفاعل العكسي .....	653.....
أمثلة الفصل الرابع عشر .....	658.....
الملاحق .....	667.....
المراجع ..	673.....

## مقدمة الطبعة الثانية

بِسْمِ اللَّهِ الرَّحْمَنِ الرَّحِيمِ

﴿ وَقُلْ أَعْمَلُوا فَسَيَرَى اللَّهُ عَمَلَكُمْ وَرَسُولُهُ وَالْمُؤْمِنُونَ ﴾

صدق الله العلي العظيم

بعد نفاذ النسخ المطبوعة في الطبعة الأولى وزيادة الطلب على كتاب (مبادئ الترموديناميك) تم التوكل على الله بالشروع للأعداد للطبعة الثانية. تم إجراء تصحيح للأخطاء المطبعية التي ظهرت في الطبعة الأولى إضافة إلى إجراء بعض الإضافات الضرورية.

أتمنى من الله أن أكون قد وفقت بذلك ومن الله التوفيق.

فلاح حسن حسين

آذار 2012

## مقدمة الطبعة الأولى

يعتمد هذا الكتاب (مبادئ الترموديناميك) بوصفه كتاباً منهجياً لطلبة الصفوف الثانية لاقسام الكيمياء في كليات العلوم في الجامعات العراقية وهو المنهج المتبني نفسه في اقسام الكيمياء في كليات التربية. وقد لاحظت من خلال قيامي بتدريس مادة الكيمياء الفيزيائية في الجامعات العراقية وبعض الجامعات العربية وجود نفور عند أغلب الطلبة من هذه المادة وووجدت ان السبب هو وجود ضعف في فهم مادة الرياضيات وينعكس ذلك سلباً على تقبل الطلبة لمادة الكيمياء الفيزيائية، لذلك تم اعتماد اسلوب مبسط في تأليف الكتاب بحيث يمكن استيعابه بسهولة وبالاعتماد على المعلومات الاساسية في مادة الرياضيات والتي تعلمها الطالب خلال دراسته في المرحلة الاعدادية.

يشمل الكتاب اربعة عشر فصلاً يبدأ من الخواص العامة للغازات وقوانينها المختلفة ومن ثم القوانين الاربعة للترموديناميك وبعدها تم الانتقال الى السوائل وخصائصها ثم المحاليل وخصائصها المختلفة والعلاقات الترموديناميكية لها. لقد تم في الفصل الرابع عشر توضيح فكرة اساسية عن الترموديناميك الاحصائي وعن الخواص العيانية والخواص المجهريّة.

لقد تم وضع عشرة أمثلة محلولة في نهاية كل فصل من الفصول وتم اعتماد الوحدات بأنظمة مختلفة لكي يتعود الطالب على استخدام انظمة الوحدات المختلفة.

ويعد هذا الكتاب مصدراً مهماً لطلبة الدراسات العليا الذين يدرسون مادة الترموديناميك كما يعد كذلك مصدراً مهماً لطلبة أقسام الفيزياء والهندسة وعلم المواد والصيدلة الذين يدرسون مادة الترموديناميك الكلاسيكي والترموديناميك الاحصائي.

أتمنى أن أكون قد ساهمت مساهمة متواضعة في رفد المكتبة العربية بآخر المصادر العلمية، ومن الله التوفيق.

### المؤلف

تشرين الأول 2011

**الفصل الأول**

**CHAPTER ONE**

**الخواص العامة للغازات**

**General Properties of Gases**

## الفصل الأول

### الخواص العامة للغازات

### General Properties of Gases

Introduction	مقدمة 1-1
Gas Pressure	ضغط الغاز 2-1
The Barometer	مقاييس الضغط الجوي 1-2-1
Gas Volume	حجم الغاز 3-1
Temperature and Heat	درجة الحرارة وكمية الحرارة 4-1
Zeroth Law of Thermodynamics	قانون الصفر للtermوديناميک 5-1
The Gas Laws	قوانين الغاز 6-1
Boyle's Law	قانون بويل 1-6-1
Charles's Law or Gay-Lussac's Law	قانون شارل أو قانون غايلوساك 2-6-1
Avogadro's Law	قانون افوكادرو 3-6-1
The perfect Gas Law	قانون الغاز المثالي 7-1
Ideal Gas and Gas Constant	الغاز المثالي وثابت الغاز 8-1
Dalton's Law of Partial Pressures	قانون دالتون للضغوط الجزئية 9-1
Examples	أمثلة

## الفصل الأول

### الخواص العامة للغازات

#### General Properties of Gases

##### (١) مقدمة Introduction

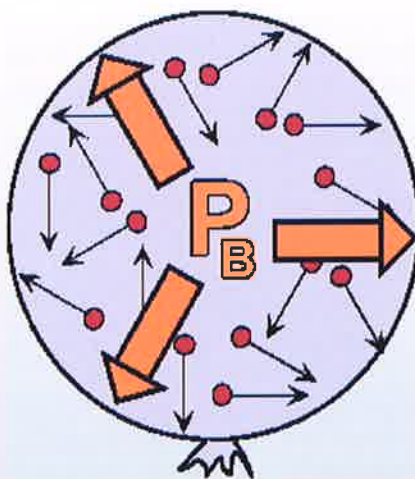
المشاهدات التجريبية للغازات تبين أن الغاز ليس له حجم ثابت، وليس له شكل ثابت حيث أن دقائقه تملأ الإناء الذي توضع فيه مهما كان حجمه ومهما كان شكله. إن سبب ذلك يعود إلى أن دقائق الغاز تتحرك بسرعة كبيرة جداً وبصورة عشوائية، وإن المسافات البينية بينها كبيرة بما فيه الكفاية إلى الحد الذي لا يمكن إعاقة حركتها نتيجة للتجاذب الموجود بين هذه الدقائق.

الكثافة القليلة للغازات عند مقارنتها مع الحالة السائلة والصلبة دليل آخر على أن المسافات بين دقائقها كبيرة جداً. إن مول واحد من الم السائل عند 100م وتحت ضغط 1 جو يشغل حجماً وقدره 18.8 سم<sup>3</sup> بينما تاحت الكمية نفسها من بخار الماء وعند الظروف نفسها المذكورة حجماً قدره 30200 سم<sup>3</sup>، أي أن حجم الكمية نفسها من الغاز أكبر بأكثر من 1600 مرة من حجم السائل في الظروف نفسها.

من الخواص المميزة للغازات بأنها تتصرف (تقريباً) بنفس الطريقة عند تغير الضغط أو درجة الحرارة وبهذه الخاصية تختلف تماماً عن المواد السائلة والصلبة.

## 1- ضغط الغاز Gas Pressure

الضغط هو القوه المسلطه على وحدة المساحة، والغاز يسلط قوه من قبل دقائقه (جزئيات كانت أو ذرات أو ايونات) تضغط على جدار الإناء الذي تحتويه. تتحرّك دقائق الغاز داخل المنطاد بسهولة وبحريّة وتحصل اصطدامات كثيرة جداً (يصل عددها إلى الألف البليين من التصادمات في منطاد صغير خلال الثانية الواحدة)، وتكون هذه التصادمات بين دقائق الغاز وكذلك بين الدقائق وجدار المنطاد (لاحظ الشكل 1-1). إن قوة تأثير كل تصادم منفرد تكون صغيرة جداً حيث لا يمكن قياسها بسهولة، ولكن لهذا العدد الهائل من التصادمات قوة معتبرة يمكن قياسها وهذه هي التي تمثل ضغط الغاز داخل المنطاد .يمثل  $P_B$  الضغط الداخلي الذي يولده الغاز.



شكل 1-1 ضغط الغاز داخل المنطاد

ولفهم ذلك نتصور أن كمية من غاز معين موجود داخل اسطوانة تحوي على مكبس حر الحركة. لكي نتمكن من المحافظة على وجود الغاز داخل الاسطوانة لابد من وجود ثقل معين نضعه فوق المكبس ولتكن وزنه (F) حيث

أنه يمثل القوة المسلطة على المكبس وهذه القوة توازن القوة المسلطة من قبل الغاز لكي ترفع المكبس إلى الأعلى.

إن ضغط الغاز يمثل  $\frac{F}{A}$  حيث أن A تمثل مساحة المقطع العرضي للمكبس.

يعبر عن ضغط الغاز بوحدات الباسكال (Pa) حسب النظام العالمي للوحدات SI وهذا الرمز المستخدم للتعبير الفرنسي عن النظام العالمي للوحدات Le Système International d'Unités. يعرف الباسكال بأنه نيوتن واحد على المتر المربع.

$$1 \text{ Pa} = 1 \text{ Nm}^{-2}$$

$$1 \text{ Pa} = 1 \text{ Kg m}^{-1} \text{ s}^{-2}$$

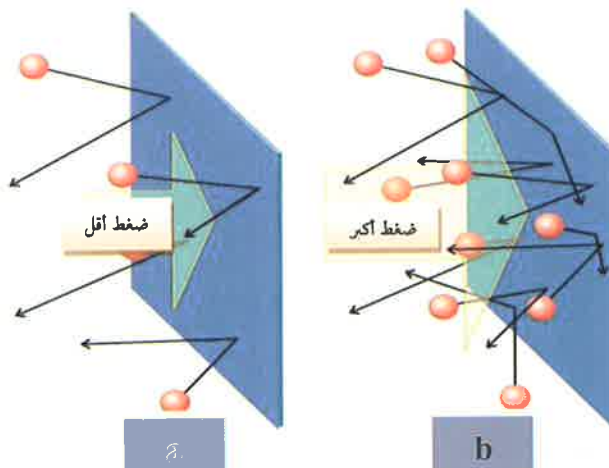
الجدول 1-1 وحدات الضغط المختلفة ورمز كل وحدة من هذه الوحدات.

**جدول 1-1 وحدات الضغط المختلفة**

القيمة العددية	الرمز	اسم الوحدة	
$1 \text{ Nm}^{-2}$	Pa	Pascal	باسكال
$10^5 \text{ Pa}$	bar	bar	بار
$101325 \text{ Pa}$	atm	atmosphere	جو
133.322Pa	torr	Torr	تور
133.322Pa	mmHg	millimeter of mercury	ملم زئبق
$6.894757 \text{ k Pa}$	psi	pound per square inch	باوند انج $^{-2}$

عدد التصادمات ما بين دقائق الغاز وجدار المحتوي (الإناء الذي يوجد فيه الغاز) هي التي تحدد قيمة ضغط الغاز. الشكل 1-2 يوضح الفرق ما بين الضغط

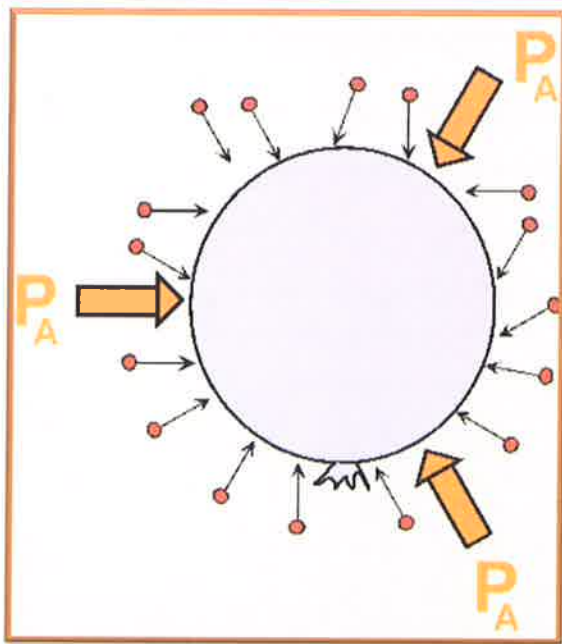
في محتويين، حيث أن عدد التصادمات في المستوى b أكثر من عدد التصادمات في المحتوى a وبذلك يكون الضغط في b أكبر منه في a



شكل 1-2 علاقة عدد التصادمات بالضغط

### 1-2-1 مقياس الضغط الجوي The Barometer

المثال الذي ذكرناه في الفقرة السابقة حول ضغط الغاز في المنطاد، هنالك ضغط يقابله من الخارج، وهو الضغط الذي يسلطه الهواء الخارجي ويكون تأثيره مقابل تأثير الضغط الداخلي للغاز في المنطاد وكما هو موضح في الشكل 1-3.  $P_A$  يمثل الضغط الخارجي الذي تسلطه دقائق الهواء على سطح المنطاد.



### شكل 3-1 الضغط الجوي

إن عمود الهواء الموجود فوق سطح الأرض يسلط قوة على كل س١٠٣٤ غم وذلك لأنه وحسب قانون نيوتن مكافأة لكتلة قدرها

$$f = ma \quad 1 - 1$$

حيث تمثل  $f$  القوة المسلطة و  $m$  الكتلة و  $a$  التوجيه الأرضي

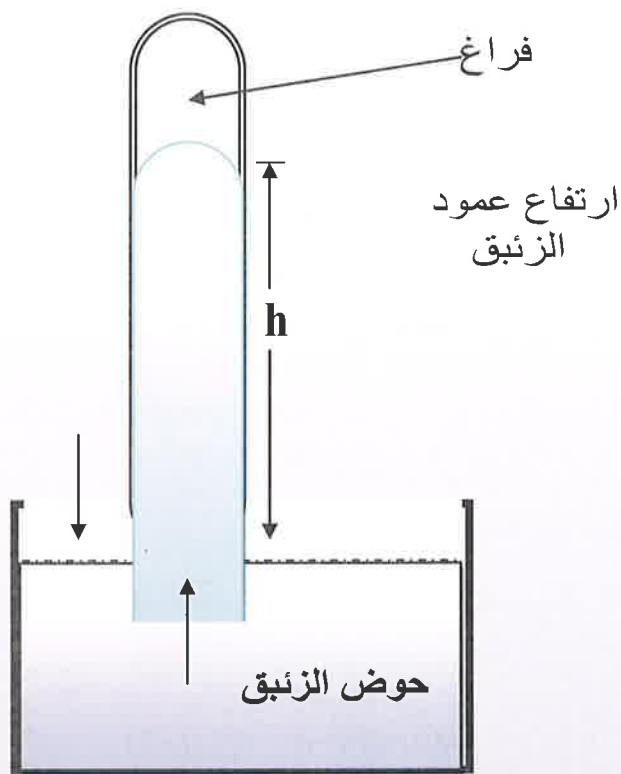
وقدره 9.8 م<sup>2</sup>

$$m = \frac{f}{a} = \frac{101375 \text{ Kgm}^{-1}\text{s}^{-1}}{9.8 \text{ ms}} = 10340 \text{ Kgm}^{-2}$$

$$= 1.034 \text{ g cm}^{-2}$$

يحتوي مقياس الضغط الجوي (الباروميتر) على أنبوبة زجاجية عمودية مغلقة من الأعلى ومفرغة من الهواء ومفتوحة من الأسفل ومغمورة بجوض من

السائل. يعمل الضغط الجوي على رفع مستوى السائل داخل الأنبوة المفرغة ويستمر ارتفاع السائل حتى يتواءز وزن السائل في العمود مع الضغط الجوي. إذا كان السائل المستخدم هو الزئبق فإن السائل سيرتفع داخل الأنبوة إلى 760 سم وهذا الارتفاع يعود إلى الضغط الجوي القياسي عند مستوى سطح البحر. يوضح الشكل 1-4 مقياس الضغط الجوي (الباروميتر).



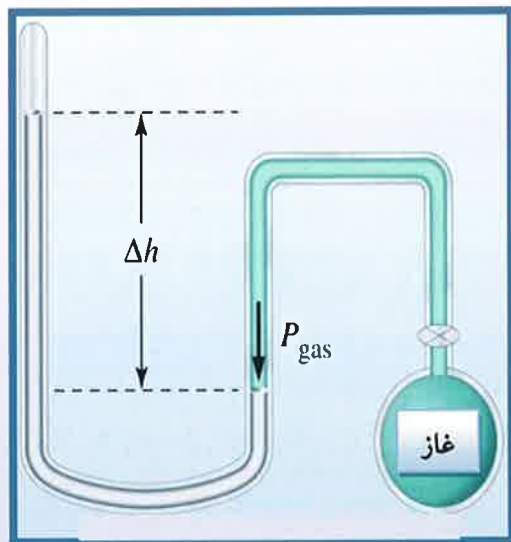
شكل 1-4 مقياس الضغط الجوي (الباروميتر)

هناك نوع آخر من الأجهزة الخاصة بقياس الضغط وتكون من أنبوبة زجاجية على شكل الحرف U وتسمى المانوميتر (Manometer)، ويستخدم

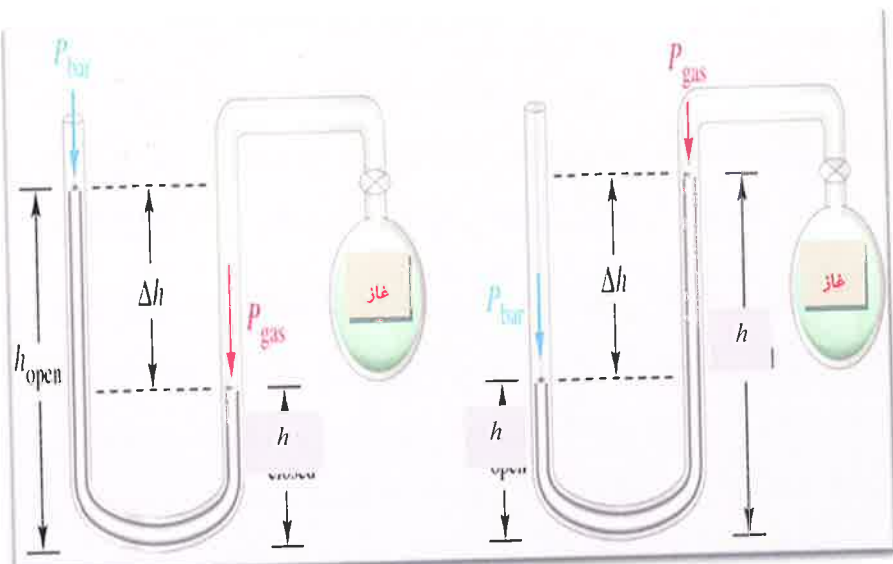
المانوميتر لقياس ضغط الغاز داخل أي محتوى مغلق.

هناك شكلان مختلفان للمانوميتر، كما هو موضح في الشكل 1-5، حيث أن النوع الأول يكون مغلقا من الطرف الثاني لأنبوبة (لاحظ الشكل 1-5أ) وبهذا يكون ضغط الغاز بالمحتوى المراد قياس ضغطه مساوياً إلى  $\rho gh$

حيث أن  $m$  قليل كثافة سائل المانوميتر و  $g$  التسجيل الأرضي في حين أن  $h$  تمثل الفرق بين ارتفاع السائل في طرف الأنبوبة. النوع الثاني يكون الطرف الثاني من الأنبوبة مفتوحاً وبذلك يكون ضغط الغاز في المحتوى مساوياً إلى  $\rho gh$  مضافاً إليه الضغط الجوي اذا كان الضغط في المحتوى الغازي أعلى من الضغط الجوي أو  $\rho gh$  مطروحاً من الضغط الجوي اذا كان ضغط الغاز في المحتوى اقل من الضغط الجوي وكما موضح بالشكل (1-5 ب).



أ- مانوميتر مغلق النهاية



1- ضغط الغاز أقل من الضغط الجوي  
2- ضغط الغاز أكبر من الضغط الجوي

ب- مانوميتر مفتوح النهاية

### شكل 1-5 أنواع المانوميترات

الضغط الجوي الاعتيادي عند مستوى سطح البحر يساوي 1 جو  
ويساوي بالوحدات الأخرى كما يأتي:

$$\begin{aligned}
 1 \text{ atm} &= 760 \text{ mmHg} \\
 &= 760 \text{ Torr} \\
 &= 1.01325 \text{ bar} \\
 &= 1013.25 \text{ mb} \\
 &= 14.696 \text{ lb/in}^2 \\
 &= 101.325 \text{ N/m}^2 \\
 &= 101.325 \text{ Pa} \\
 &= 101.325 \text{ kPa}
 \end{aligned}$$

**3-1 حجم الغاز Gas Volume**

يعرف حجم الغاز بأنه الفراغ الذي تتحرك فيه دقائق الغاز بحرية. إذا كان لدينا مزيج من الغازات (مثل الهواء الذي هو مزيج من عدة غازات) فإن الغازات المختلفة تحتل نفس الحجم في نفس الوقت طالما أن جميع هذه الغازات بإمكانها التحرك بحرية.

يمكن قياس حجم الغاز بوضعه فوق سحاحة معايرة تسمى سحاحة الغاز .Gas burette

إن الوحدة القياسية للحجم حسب نظام SI هو المتر المكعب ( $m^3$ ) وفي تخصص الكيمياء يستخدم عادة اللتر (Litre) والمليلتر (ml). إن وحدات السنتيمتر المكعب ( $cm^3$ ) أو (cc) تستخدم كذلك وهي مقاربة إلى مليلتر واحد.

**4-1 درجة الحرارة وكمية الحرارة Temperature and Heat**

يجب أن نفرق بين درجة الحرارة وكمية الحرارة لأن الخلط بين المفهومين يؤدي إلى خطأ كبير يقع فيه الكثير من الطلبة.

درجة الحرارة تعني قياس معدل سرعة الجزيئات، وبمعنى آخر، عندما نقول أن درجة الحرارة تساوي 100 (بأي وحدة من الوحدات) يعني أن كل جزيئه بإمكانها أن تتحرك بطريقة أسهل وكذلك أسرع من تلك التي تكون درجة حرارتها 50 (يجب أن نذكر دائماً بأن حركة الجزيئات تتوقف تماماً عند درجة الصفر المطلق، ولو أن الوصول إلى هذه الدرجة يعد مستحيلاً حتى الوقت الحاضر وسنأتي لشرح ذلك بالتفصيل في الفصول القادمة إن شاء الله).

اما كمية الحرارة ( $q$ ) فإنها تعني انتقال الطاقة الناتج من الفرق بين درجات الحرارة ( $T$ ).

هناك نوعان من الحواجز عند فصل أي نظام عن نظام آخر، فإذا تم فصل نظامين بحاجز نفاذ للإشعاع الحراري Diathermic نلاحظ انتقال الحرارة من الجسم الحار إلى الجسم البارد في حين أن عزل نظامين عن بعضهما البعض بجدار غير نفاذ للإشعاع الحراري (أديبatic) Adiabatic لا نرى أي انتقال للحرارة بين النظامين.

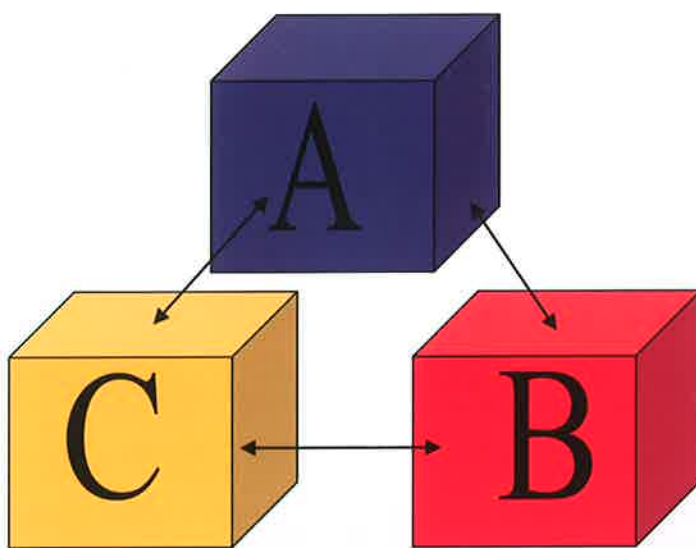
يعبر عن عدم انتقال الحرارة بين نظامين معزولين بجدار نفاذ للإشعاع الحراري بأنه اتزان حراري Thermal Equilibrium .

## 5- قانون الصفر للtermodynamics: Zeroth Law of Thermodynamics

قانون الصفر للtermodynamics كغيره من قوانين termodynamics الأخرى يعتمد على الملاحظة. يعتمد هذا القانون على الملاحظتين الآتيتين:

نفرض أن لدينا النظام A وكان في حالة اتزان حراري مع النظام B (الشكل 1-6) وإن النظام B في اتزان حراري مع النظام C فإن النظام A يكون في حالة اتزان حراري مع النظام C.

إذا كان لدينا نظامان متصلان مع بعضهما البعض ولمدة زمنية كافية بحيث لا تحصل أي تغيرات بينهما، فهذا يعني أن النظامين في حالة اتزان حراري Thermal Equilibrium .



شكل 1-6 قانون الصفر للtermوديناميك

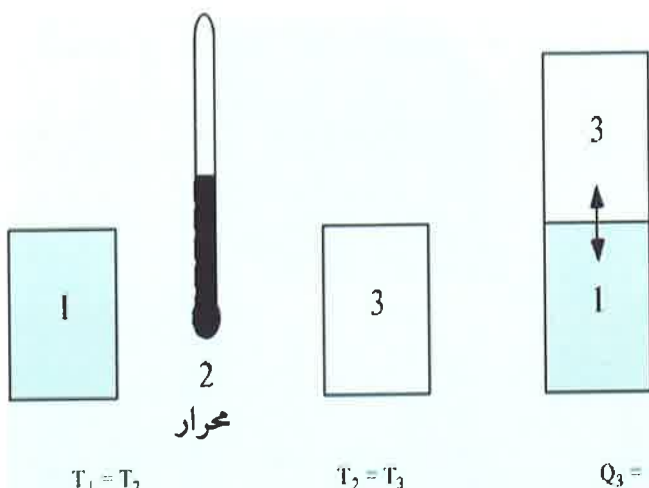
هناك عدة صيغ لقانون الصفر للtermوديناميك، منها، الصيغة الأولى والتي تنص على:

(إذا كان النظام A في اتزان حراري مع B و B كان في اتزان حراري مع C فإن A و C في حالة اتزان حراري).

الصيغة الثانية تنص على:

(لكل نظام متزن خاصية تسمى درجة الحرارة، والأنظمة التي لها درجة حرارة متساوية تكون متزنة حراريا).

الشكل 1-7 يوضح هذه الصيغة.



**شكل 7-1 شكل تخطيطي لقانون الصفر للtermوديناميك**

الصيغة الثالثة تنص على:

(إذا كان هناك نظارتين في حالة اتزان حراري، فان درجتي حرارتهما متساوية).

إن قانون الصفر للtermوديناميك يفسر عمل المحرار Thermometer وهو آلة قياس درجة الحرارة، لذا إذا افترضنا أن B هو عبارة عن أنبوبة شعرية زجاجية تحتوي على سائل مثل الزئبق أو الكحول وهذا السائل يتمدد عند ازدياد درجة الحرارة. عندما A تكون بتماس مع B فإن عمود السائل سيرتفع إلى حد معين استناداً إلى قانون الصفر للtermوديناميك، إذا كان السائل في B له الارتفاع نفسه عندما يوضع بتماس مع C يجب أن نستنتج بأننا سوف لن نحصل على أي تغير عندما نجعل A و B في تماس مباشر مع بعضهما البعض. أضف إلى

ذلك بأننا نستطيع قياس ارتفاع السائل في العمود الزجاجي لكي نعرف حرارة الأجسام A و C.

إذا أردنا معايرة الحرار نضعه أولاً في ماء مثليج ونؤشر مستوى ارتفاع السائل بالصفر (0) ثم نضعه في ماء يغلي عند ضغط 1 جو ونضع العلامة (100) في المكان الذي يصل إليه ارتفاع السائل في العمود ثم بعدها يتم تقسيم المسافة بين المستويين إلى (100) درجة. إن هذا يؤدي إلى المقياس السليليزي Celsius Scale وفي هذا النظام تعلم درجة الحرارة بالعلامة ( $\theta$ ) ويعبر عنها بالدرجة المئوية (C).

تقاس درجة الحرارة بنظام الترمودينامييك بالكلفن (Kelvin) ويسمى المقياس بمقاييس الترمودينامييك لدرجة الحرارة Thermodynamic Temperature Scale إن العلاقة بين المقياس السليليزي ومقاييس الترمودينامييك لدرجة الحرارة يتمثل بالعلاقة الآتية:

$$T/K = \theta/C + 273.15 \quad 1-2$$

## 6-1 قوانين الغاز The Gas Laws

يمكن أن نعبر عن علاقة ضغط الغاز مع حجمه ودرجة حرارته لكمية معينة من الغاز بمعادلة الحالة ويعبر عنها بالعلاقة الآتية:

$$P=f(T,V,n) \quad 1-3$$

حيث يمثل P ضغط الغاز و f تعبّر عن الدالة و T درجة الحرارة الترموديناميكيه للغاز و V حجم الغاز و n عدد مولات الغاز. سنجد من خلال دراستنا لقوانين الغاز المختلفة بأن العلاقة المذكورة بالمعادلة 1-3 هي

نتيجة لهذه القوانين كما سنجد بأنها المعادلة بالنسبة للغاز المثالي ستحول إلى العلاقة الآتية:

1-4

$$PV = nRT$$

### 1-6-1 قانون بوويل Boyle's Law

اكتشف العالم الايرلندي روبرت بويل (1627-1691) وذلك سنة 1661م القانون الذي يحدد العلاقة بين حجم الغاز مع ضغطه والذي ينص على:

**(يتناصف حجم كمية ثابتة من الغاز تناسباً عكسياً مع الضغط عند ثبوت درجة الحرارة).**

يمكن أن نعبر عن القانون بالتعبير الرياضي الآتي:

1-5

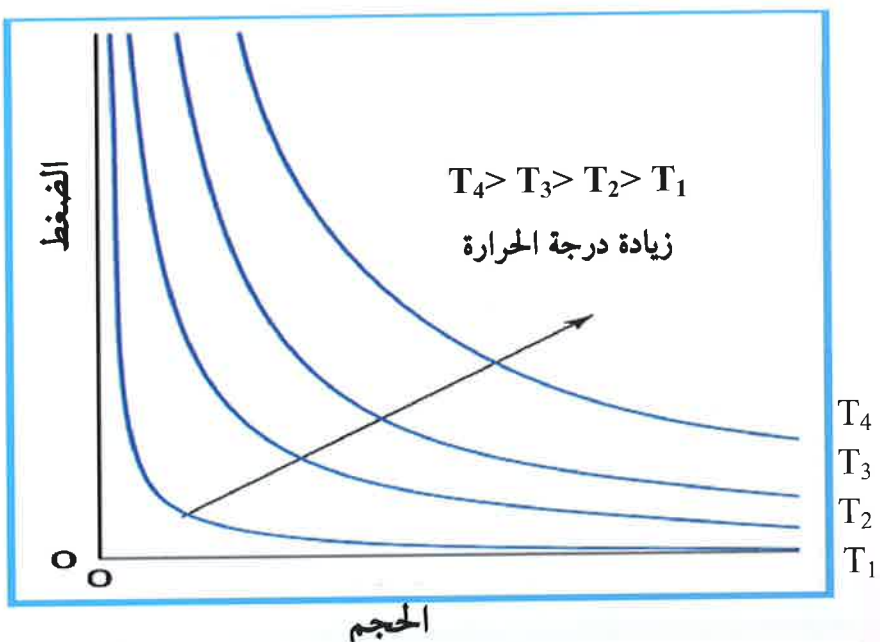
$$P \propto \frac{1}{V}$$

1-6

$$\text{كمية ثابتة} = PV$$

حيث يمثل P ضغط كتلة معينة من الغاز و V حجم الكتلة نفسها بثبوت درجة الحرارة.

يمثل الشكل 1-8 العلاقة بين ضغط وحجم كتلة معينة من الغاز عند ثبوت درجة الحرارة وفي درجات حرارية مختلفة. نلاحظ من الرسم العلاقة العكssية ما بين حجم وضغط الغاز عند ثبوت درجة الحرارة ونلاحظ تغير موقع المنحني عند تغير درجة الحرارة. كل منحني من المنحنيات الأربع يسمى تمثلاً حرارياً Isotherm.



شكل 1-8 العلاقة بين ضغط وحجم كتلة معينة من الغاز بثبوت  
درجة الحرارة وعند درجات حرارية مختلفة

في المعادلة 1-6 نرى أن حاصل ضرب  $PV$  يساوي كمية ثابتة لذا يمكن أن  
نكتب المعادلة على الشكل الآتي:

$$P_1 V_1 = P_2 V_2 \quad 1-7$$

حيث أن  $P_1$  هو ضغط كمية محددة من الغاز حجمها  $V_1$  و  $P_2$  ضغط نفس  
الكمية عندما يكون حجمها  $V_2$ .

لقد أوضحت التجارب التي أجريت على قانون بويل بأن هذا القانون  
يمكن أن يطبق على الغازات الحقيقة عند الضغوط الواطئة فقط، لذا يعد

قانون بويل مثلاً لقانون يطبق بحالات محددة أو هو أحد القوانين المحددة .Limiting Laws

إن سبب خضوع جميع الغازات الحقيقة لقانون بويل بغض النظر عن تأثير طبيعتها الكيميائية (شرط أن يكون الضغط واطئاً) يمكن تفسيره بأن معدل فصل دقائق الغاز عن بعضها البعض عند الضغوط الواطئة كبير جداً لذا يقل تأثير بعضها على البعض الآخر مما يجعلها بشكل انفرادي.

## 2-6-2 قانون شارل أو قانون غايلوساك :

### Charles's Law or Gay-Lussac's Law

يسمى القانون الذي يحدد العلاقة بين تغير حجم الغاز ودرجة حرارته عند ثبوت الضغط بقانون شارل (العالم جاكيوس شارل 1746 - 1823) أو قانون غايلوساك (العالم جوزيف لويس غايلوساك 1778 - 1850)، حيث حصل الأول على نتائج غايلوساك نفسها عام 1787م ولكنه لم يقم بنشرها في حينها إلى أن توصل غايلوساك للنتائج نفسها عام 1802م وقام بنشرها ينص القانون على الآتي:

(يتناوب تغير حجم كتلة معينة من الغاز طردياً مع درجة حرارته عند ثبوت الضغط).

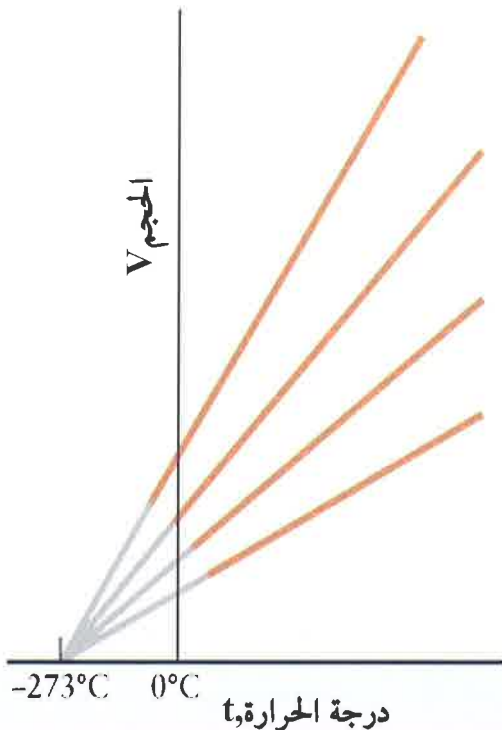
يمكن أن يعبر عن القانون بالعلاقة الآتية:

$$V = \text{constant} (t + 273.15C^\circ)$$

1 - 8

إن العلاقة الخطية ما بين حجم كتلة معينة من الغاز ودرجة حرارته عند ثبوت الضغط موضحة بالشكل 1-8، حيث يلاحظ بأنه عند مد الخطوط

إلى الجسم صفر فإن نقطة التقاطع مع المحور السيني عند الدرجة 273.15 درجة مئوية.



شكل 9-1 علاقة الحجم بدرجة الحرارة

إن الدرجة الحرارية  $-273.15^{\circ}\text{C}$  تمثل درجة الصفر بالكلفن وتسمى درجة حرارة термодинамическая (Thermodynamic Temperature) وتقاس بالكلفن. إن المعادلة 8-1 يتم تحويلها إلى الآتي:

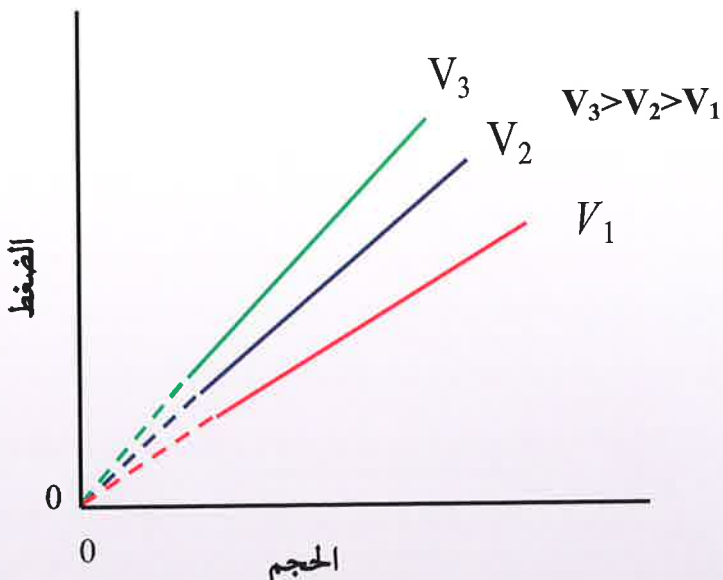
$$V = (\text{constant}) \times T \quad 1-9$$

إن الخطوط المستقيمة الموضحة بالشكل 7-1 تسمى بالخطوط المتكتاتلة (خطوط تساوي الضغط الجوي) Isobars. إن الصيغة البديلة لقانون شارل هي

علاقة ضغط الغاز بدرجة حرارته عند ثبوت الحجم ويكون أن تمثل بالعلاقة الرياضية الآتية:

$$P = (\text{constant}) \times T \quad (ثبوت \text{ } \text{الحجم}) \quad 1 - 10$$

يوضح الشكل 1-10 هذه العلاقة ونلاحظ أن مد خطوط الضغط إلى نقطة الأصل يقطع خط درجة الحرارة عند صفر كلفن.



الشكل 1-10 علاقة الضغط بدرجة الحرارة

إن التفسير المنطقي لزيادة الضغط بازدياد درجة الحرارة عند ثبوت الحجم يمكن أن يكون على أساس أن الزيادة في درجة الحرارة سيؤدي إلى زيادة معدل سرعة دقائق الغاز وإن هذه الدقائق ستصطدم بالجدار وإن زيادة معدل الاصطدام بالجدار ستؤدي حتماً إلى زيادة ضغط الغاز على جدار الوعاء الذي يحتويه.

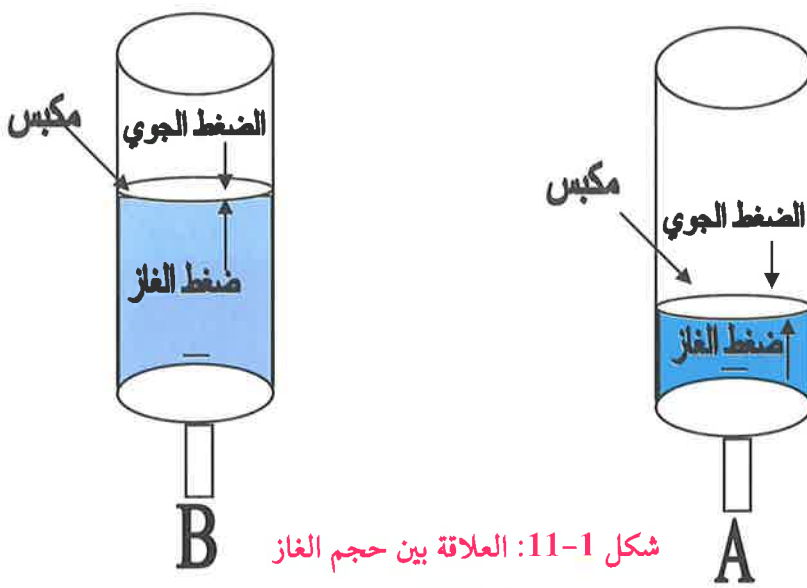
### 3-6-1 قانون أفوگادرو<sup>(\*)</sup> : Avogadro's Law

من خلال دراستنا لقانون بويل وقانون شارل وغایلوساك 1-6-1 و 1-6-2 نلاحظ بأننا ركزنا عند ذكر العلاقة ما بين ضغط الغاز وحجمه عند ثبوت درجة الحرارة وبين حجم الغاز ودرجة حرارته عند ثبوت الضغط ذكرنا عبارة (كمية محددة من الغاز). دعنا في هذه الآونة ندرس تأثير كمية الغاز بإجراء التجربة البسيطة الآتية:

إذا أخذنا أنبوبتي اختبار صغيرتين وتم تثبيت كل أنبوبة في اسطوانة ذات مكبس ملاصق لجدار الاسطوانة تماماً وحر الحركة (يمكنا أن نفترض بأنه لا يوجد أي احتكاك ما بين المكبس والاسطوانة) وكما موضح بالشكل 11-1.

---

\* في بعض المصادر يشار لها باسم قاعدة أفوگادرو Avogadro's Principle وليس قانون أفوگادرو لأن البعض يعتبرها بأنها عبارة عن خلاصة خبرة ويعتمد مدى تطبيقها على النموذج قيد الدراسة.



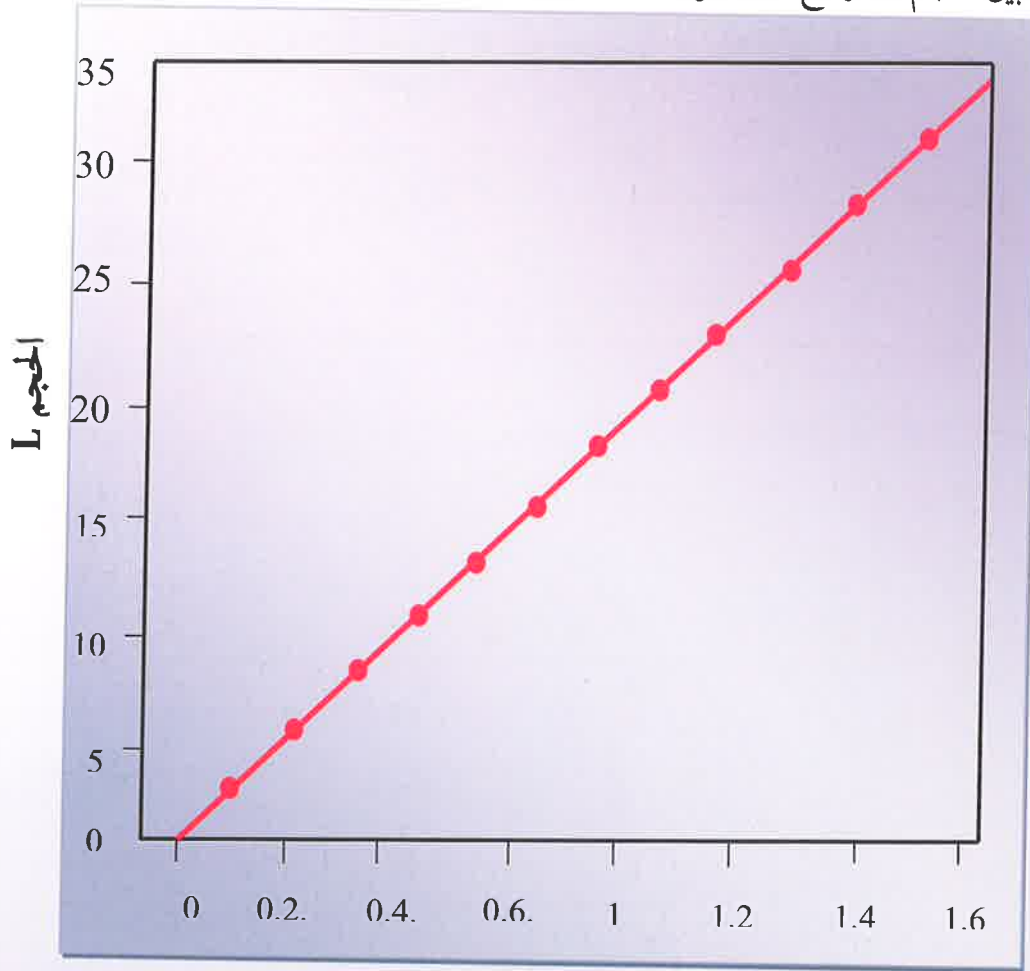
شكل 11-1: العلاقة بين حجم الغاز  
وكمية الغاز

إذا وضعنا 4.4 غم من صلب ثانى أوكسيد الكاربون الجاف في الأنبوة A و 8.8 غم (ضعف الكمية) في الأنبوة B، فإن صلب  $\text{CO}_2$  يتحول مباشرة إلى الحالة الغازية ويتمدد داخل الأنبوة ويدخل الأسطوانة رافعاً المكبس إلى الأعلى. عندما يتحول صلب  $\text{CO}_2$  بالكامل إلى الحالة الغازية وعند ثبوت درجة الحرارة نرى بأن ارتفاع المكبس في الأسطوانة B ضعف ارتفاع المكبس في A، وبعبارة أخرى فإن الارتفاع تضاعف نتيجة لمضاعفة كمية الغاز.

إن هذه التجربة البسيطة ثبت أن مضاعفة عدد مولات الغاز (في الحالة الأولى كان عدد المولات 0.1 مول وفي الحالة الثانية كان عدد المولات 0.2 مول) يؤدي إلى مضاعفة حجم الغاز عند ثبوت درجة الحرارة والضغط وبهذا نستنتج أنه:

عند ثبوت درجة الحرارة والضغط يتناسب حجم الغاز طردياً مع عدد مولات الغاز.

هذه الصيغة هي أحد صيغ قاعدة أفو كادرو والشكل 1-12 يبين العلاقة ما بين حجم الغاز مع عدد المولات عند ثبوت درجة الحرارة والضغط.



شكل 1-12 قاعدة أفو كادرو

يمكن أن نعبر رياضياً عن هذه العلاقة كما في المعادلة 1-11:

$$n \propto V \quad 1-11$$

أي أن:

$$\frac{V}{n} = \text{كمية ثابتة}$$

إن الكمية الثابتة هي نفسها لجميع الغازات عند درجة حرارة وضغط معينين.

إن العلاقة المذكورة أعلاه محددة ضمن قانون افوكادرو Avogadro's Law:

(عند ثبوت درجة الحرارة والضغط فإن الحجوم المتساوية من الغازات تحتوي على نفس العدد من المولات).

هذه صيغة أخرى من صيغ قاعدة افوكادرو.

إذا كان لدينا الغاز a وحجمه  $V_a$  وعدد مولاته  $n_a$  وغاز b حجمه  $V_b$  وعدد مولاته  $n_b$  وعند درجة حرارة ثابتة وضغط ثابت فإن العلاقة ما بين الغاز a و b تحدد بالمعادلة الآتية:

$$\frac{V_a}{n_a} = \frac{V_b}{n_b} \quad 1-12$$

**الجدول 1-2** بين حجم مول واحد من الغازات المعروفة عند الظروف الاعتيادية (درجة حرارة 298.15 كلفن وضغط 1 جو). جدول

### 2-1 الحجم المولي لبعض

#### الغازات عند الظروف الاعتيادية

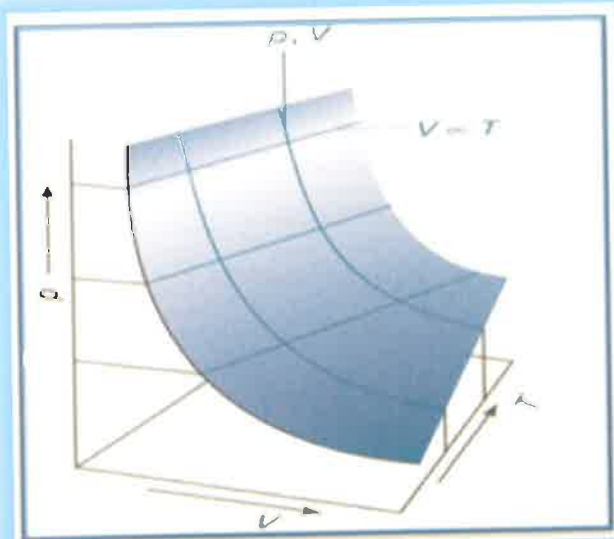
الغاز	الحجم
	$V_m / (\text{dm}^3 \text{ mol}^{-1})$
الغاز المثالي	24.7896 <sup>1</sup>
الامونيا	24.8
الاركون	24.4
ثاني اوكسيد الكاربون	24.6
النيتروجين	24.8
الاوكسجين	24.8

### 7- قانون الغاز المثالي:

#### The perfect Gas Law or The Ideal Gas Law

الشكل 1-13 ثلاثي الإبعاد يبين العلاقة ما بين ضغط الغاز وحجمه ودرجة الحرارة وهو دمج للمفاهيم التي تم ذكرها في قوانين بويل وشارل وغايلوساك.

1 الحجم عند الظروف القياسية (STP) يساوي  $22.414 \text{ dm}^3 \text{ mol}^{-1}$



**شكل 1 - 13 العلاقة بين ضغط الغاز وحجمه ودرجة الحرارة**

عندما نحاول إيجاد علاقة ما بين المتغيرات الموجودة في الشكل 1-13 وكذلك المعادلات الرياضية التي تم ذكرها عند التطرق إلى قانون بويل وقانون شارل وغايلوساك وقانون (قاعدة) افوكادرو نجد بأنه بإمكاننا الحصول على المعادلة الآتية:

$$PV \propto nT \quad 1 - 13$$

إن ثابت النسب الذي يمكن وضعه في المعادلة 1-14 تم إيجاده تجريبياً ووجد بأنه ثابت لكل الغازات لذا فقد سمي بثابت الغاز Gas constant ويرمز له بالحرف (R) لذا فإن المعادلة 1-13 يمكن كتابتها على الشكل الآتي:

$$PV = nRT \quad 1 - 14$$

تسمى المعادلة 14-1 بمعادلة الغاز المثالي Perfect gas equation أو Ideal gas

إن معادلة الغاز المثالي تعد من المعادلات المهمة جداً في الكيمياء الفيزيائية و تستخدمن في اشتقاق الكثير من المعادلات الترموديناميكية للغازات، كما أنها تستخدم لتحديد خواص الغازات عند ظروف محددة على سبيل المثال فإن الحجم المولاري للغاز المثالي عند ظروف المحيط القياسية (الظروف الاعتيادية) من درجة حرارة وضغط Standard Ambiant Temperature and Pressure ويرمز لها اختصاراً (SATP) والتي تعني أن درجة الحرارة تساوي 298.15 كلفن وضغط واحد بار ( $10^5$  باسكال) يمكن حسابها بسهولة من المعادلة أعلاه لنجد بأنها تساوي  $24.791 \text{ L mol}^{-1}$  وحسب المعادلة الآتية:

$$V_m = \frac{RT}{P} = \frac{8.314 \times 10^{-2} \times 298.15}{1} \\ = 24.791 \text{ L mol}^{-1}$$

كما يمكننا أن نجد قيمة الحجم المولاري عند الظروف القياسية من حرارة وضغط Standard Temperature and Pressure ويرمز لها اختصاراً (STP) وعندها تكون درجة الحرارة مساوية إلى الصفر المئوي وضغط واحد جو حيث أنه يساوي  $22.414 \text{ L mol}^{-1}$  وكما في المعادلة الآتية:

$$V_m = \frac{8.206 \times 10^{-2} \times 273.15}{1} \\ = 22.414 \text{ L mol}^{-1}$$

يمكن أن يتم تحويل معادلة الغاز المثالي لغرض تطبيقها في حساب التغير في الظروف عندما تتغير درجة حرارة وضغط كتلة معينة من غاز مثالي لكي يشغل

حجماً يختلف عن حجمه الأول فإذا افترضنا أن حجم الغاز في البداية يساوي  $V_1$  عند درجة حرارة مقدارها  $T_1$  وتحت ضغط  $P_1$  وعند تغير الظروف سيصبح حجمه  $V_2$  عند درجة حرارة  $T_2$  وضغط  $P_2$  وكما يأتي:

$$\frac{P_2 V_2}{T_2} = nR \quad \text{و} \quad \frac{P_1 V_1}{T_1} = nR \quad 1 - 15$$

وبما أن  $n$  و  $R$  ثابتين في كلتا الحالتين، فيمكن استنتاج المعادلة الآتية:

$$\frac{P_1 V_1}{T_1} = \frac{P_2 V_2}{T_2} \quad 1 - 16$$

### ١-٨ الغاز المثالي وثابت الغاز: Ideal Gas and Gas Constant

يعد الغاز مثالياً أو تماماً (Ideal or Perfect gas) إذا وافق الشروط الآتية:

- أ- تخضع العلاقة بين ضغطه وحجمه ودرجة حرارته إلى معادلة الحالة:

$$PV = nRT \quad 1 - 17$$

- ب- تعتمد طاقة الغاز على درجة حرارته فقط ولا تعتمد على ضغطه أو حجمه.

- ج- السعة الحرارية (Heat Capacity) للغاز المثالي يجب أن تكون ثابتة (يطبق هذا الشرط في بعض الأحيان).

توجد حالة الغاز المثالي عندما تسلك الجزيئات سلوكاً أشبه بنقاط كتلة لا تتدخل فيما بينها أي أنها لا تتنافر ولا تتجاذب مع بعضها البعض وأن الطاقة الكلية لهذا الغاز تمثل بالطاقة الحركية وتناسب مباشرة مع درجة الحرارة المطلقة ويسبب عدم وجود طاقة كامنة، والتي تنشأ من القوى الداخلية بين جزيئات الغاز المثالي، فإن طاقة الغاز لا تتغير عند تغير حجمه أو تغير المسافة

بين جزيئاته.

يمكن حساب ثابت الغاز المثالي ( $R$ ) بوحدات فيزياوية مختلفة لاسيما أنه يمثل حاصل ضرب وحدات الضغط والحجم مقسوما على حاصل ضرب وحدات عدد المولات ودرجة الحرارة المطلقة المعادلة 1-18.

$$R = \frac{PV}{nT} \quad 1-18$$

و بما أن حاصل ضرب وحدة الضغط والحجم تكفيه وحدة الطاقة كما هو مبين أدناه:

$$\text{الضغط} = \text{وحدة القوة} \times (\text{وحدة المساحة})^1$$

$$\text{وحدة المساحة} = (\text{وحدة الطول})^2$$

$$\text{وحدة الحجم} = (\text{وحدة الطول})^3$$

$$\frac{\text{وحدة القوة} \times (\text{وحدة الطول})^2 \times (\text{وحدة الطول})^3}{\text{وحدة عدد المولات} \times \text{وحدة درجة الحرارة المطلقة}} = R$$

وحدة عدد المولات × وحدة درجة الحرارة المطلقة

$$\frac{\text{وحدة القوة} \times \text{وحدة الطول}}{\text{وحدة عدد المولات} \times \text{وحدة درجة الحرارة المطلقة}} =$$

و بما أن:

$$\text{وحدة الطاقة} = \text{وحدة القوة} \times \text{وحدة الطول}$$

لذلك فإن:

$$\frac{\text{وحدة الطاقة}}{\text{وحدة عدد المولات} \times \text{وحدة درجة الحرارة المطلقة}} = R$$

أي ان وحدات R تكون:

$$R = \text{وحدة الطاقة كلفن}^{-1} \text{مول}^{-1}$$

يمكن ان نعبر عن وحدات الطاقة بطرق مختلفة مثل لتر - ضغط - جو - وارك - وسعة حرارية وجول وبذلك يمكن الحصول على قيم عدديه مختلفة لثابت الغاز R وحسب وحدات الطاقة المستخدمة.

أ- لتر - ضغط جو: إذا شغل مول واحد من الغاز المثالي حجماً مقداره 22.414 لتر بضغط جو واحد ودرجة حرارة 273.15 كلفن تكون قيمة R بموجب المعادلة 16 كما يأتي:

$$\text{لتر - ضغط جو كلفن}^{-1} \text{مول}^{-1}$$

$$R = \frac{PV}{nT} = \frac{1 \times 22.414}{1 \times 273.15} = 0.082054$$

ب- أرك - يجب أن يعبر هنا عن وحدة الضغط بالستنتمر - غرام - ثانية وحدة (Cgs) أي داين سم<sup>2</sup> وعن وحدة الحجم سم<sup>3</sup> وبما أن ضغط جو واحد = 76.0 سم زئبق وكثافة الزئبق = 13.595 غم سم<sup>3</sup> بدرجة الصفر المئوي: لذا فإن:

$$\text{ضغط جو} = 980.66 \times 13.595 \times 76 \text{ داين سم}^2$$

يمثل  $980.66 \text{ سم ثانية}^{-1}$  التعجيل الأرضي، وبما أن:

$$1 \text{ ضغط جو} = 1.0132 \times 10^6 \text{ داين سم}^{-2}$$

حجم مول واحد من الغاز المثالي يساوي  $22414 \text{ ملتر}$  بالظروف القياسية وإن  $(1.0)$  مللتر يساوي بالحقيقة  $1.00027 \text{ سم}^3$  أي الحجم  $= 22414.6 \text{ سم}^3$  عندئذ تصبح قيمة  $(R)$  بوحدة أرك كلفن  $^{-1}$  مول  $^{-1}$  كما يأتي:

$$R = \frac{PV}{nT} = \frac{1.0132 \times 10^6 \times 22414.6}{1 \times 273.15}$$

$$R = 8.314 \times 10^7 \text{ أرك كلفن}^{-1} \text{ مول}^{-1}$$

ج- سعرة حرارية: يمكن استخراج قيمة  $(R)$  بوحدة سعره حرارية درجة  $^{-1}$  مول  $^{-1}$  بصورة مباشرة وذلك باستخدام عامل التحويل الآتي:

$$1 \text{ سعره حرارية} = 4.148 \times 10^7 \text{ أرك}$$

$$R = \frac{8.314 \times 10^7}{4.184 \times 10^7} = 1.987 \text{ سعرة حرارية كلفن}^{-1} \text{ مول}^{-1}$$

د- جول وكيلوجول: لقد استخدم نظام جديد في التعبير عن الوحدات الفيزيائية بعد عام 1910م وسمي هذا النظام بالنظام العالمي (International system SI) واعتمد هذا النظام باستخدام وحدة الجول ومضااعفتها للتعبير عن وحدة الطاقة بدلاً من الوحدات القديمة التي ذكرت توا. ويمكن استخراج قيمة  $(R)$  بوحدة الجول كلفن  $^{-1}$  مول  $^{-1}$  بصورة مباشرة وذلك باستخدام عامل التحويل الآتي:

$$1 \text{ سعرة حرارية} = 4.184 \text{ جول}$$

$$R = 4.184 \times 1.987 = 8.314 \text{ جول كلفن}^{-1} \text{ مول}^{-1}$$

علمًا بأن  $1 \text{ جول} = 10^{-3} \text{ كيلو جول}$  إذ تصبح وحدة (R) بالكيلو جول كلفن<sup>-1</sup> مول<sup>-1</sup> مساوية إلى (0.008314).

**جدول 1-3 قيم ثابت الغاز بالوحدات المختلفة**

الوحدات	قيمة R
$\text{J K}^{-1} \text{ mol}^{-1}$	8.314
$\text{L atm K}^{-1} \text{ mol}^{-1}$	$8.205 \times 10^{-2}$
$\text{L bar K}^{-1} \text{ mol}^{-1}$	$8.314 \times 10^{-2}$
$\text{m}^3 \text{ Pa K}^{-1} \text{ mol}^{-1}$	8.314
$\text{L torr K}^{-1} \text{ mol}^{-1}$	62.364
$\text{Cal K}^{-1} \text{ mol}^{-1}$	1.9871

### 9-1 قانون دالتون للضغط الجزئي:

#### Dalton's Law of Partial Pressures

إن العلاقة ما بين الضغط الكلي لخلط الغازات والضغط المنفرد المسلط من الغاز الواحد الموجود بخلط من الغازات عبر عنه بواسطة دالتون في سنة 1801م وسمى بقانون دالتون للضغط الجزئية Dalton's Law of Partial Pressures. يعرف الضغط الجزئي لكل غاز في الخليط بأنه الضغط المسلط من قبل الغاز فيما لو كان وحده يشغل كل حجم الخليط عند درجة الحرارة نفسها. أما الضغط الكلي لخلط الغازات فيكون مساوياً إلى مجموع الضغوط الجزئية لمكونات الغازات.

عند خلط غازات مثالية مع بعضها البعض في أناء واحد فإن كل غاز يسلك سلوكاً منفرداً أو كأنه موجود في الإناء لوحدة بذلك يكون الضغط

الكلي عبارة عن مجموع الضغوط المنفردة لكل غاز يسلطه ذلك الغاز فيما لو كان يشغل لوحدة ذلك الحجم. تدعى هذه الضغوط بالضغط الجزئية للغازات (Partial Pressures) فعند خلط غازين مثاليين (A) و (B) في آناء واحد ويمثل كل من ( $n_A$ ) و ( $n_B$ ) عدد جزيئات الغاز الأول والثاني على التوالي و ( $P$ ) الضغط الكلي المساوي  $P_A + P_B$ , فإن الضغط الجزئي لكل غاز أي ( $P_A$ ) و ( $P_B$ ) يكون مساوياً إلى ما يأتي:

$$P_A = \left( \frac{n_A}{n_A + n_B} \right)_P \quad 1-19$$

$$P_B = \left( \frac{n_B}{n_A + n_B} \right)_P \quad 1-20$$

(A) (Mole Fraction) يدعى الكسر بالكسر المولي للغاز  $\left( \frac{n_A}{n_A + n_B} \right)$  ويرمز له عادة بالرمز ( $x_A$ ) لذلك فإن:

$$\begin{aligned} P_A &= \chi_A P \\ P_B &= \chi_B P \end{aligned} \quad 1-21$$

مجموع الكسور المولية مهما كان عددها يساوي واحد، حيث يمكننا ان نحصل من المعادلة 1-22:

$$\begin{aligned} \chi_a &= \frac{P_a}{P_T} \\ \chi_b &= \frac{P_b}{P_T} \end{aligned} \quad 1-22$$

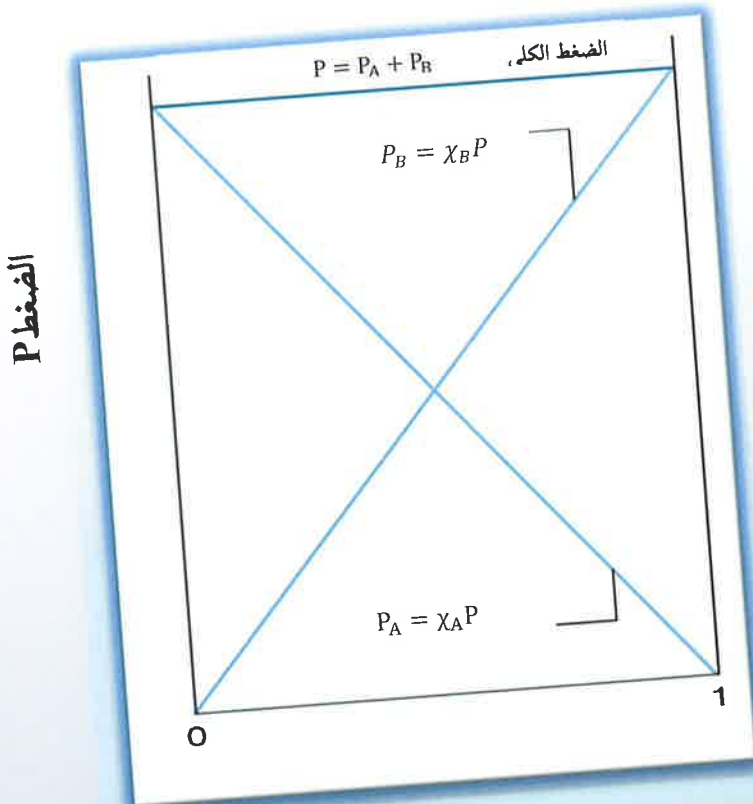
1 - 23

$$\chi_a + \chi_b = \frac{P_a}{P_T} + \frac{P_b}{P_T} = \frac{P_a + P_b}{P_T} = \frac{P_T}{P_T} = 1$$

حيث أن  $P_T$  يمثل الضغط الكلي.

الشكل 1-14 يبين علاقة الضغوط الجزئية بالضغط الكلي حسب قانون دالتون للضغط الجزئية

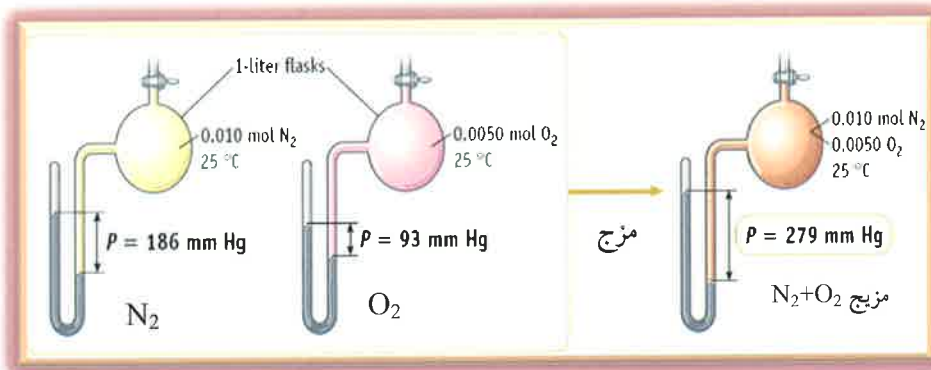
$$\text{الضغط الكلي} = \text{ض}_1 + \text{ض}_2$$



$\chi_B$  الكسر المولى

الشكل 1-14 يمثل شكلًا تخطيطياً لمزيج غازي الأوكسجين والنيتروجين

حيث نلاحظ إن الضغط الكلي يساوي مجموع الضغطين الجزيئيين للغازين عند ثبوت الحجم ودرجة الحرارة.



شكل 15-1 مزج غازي النتروجين والأوكسجين

إذا كانت هناك ثلاثة غازات بكميات مولية متساوية إلى  $(n_1)$  و  $(n_2)$  و  $(n_3)$  في وعاء حجمه  $(V)$  فإن الضغط المسلط على الغاز  $(n_1)$  فيما كان لوحده في الوعاء يساوي  $(P_1)$  وللغاز الثاني  $(P_2)$  وللغاز الثالث  $(P_3)$  بدرجة حرارة معرفة. ويكون الضغط الكلي لخلط الغازات  $(P)$  متساوياً إلى:

$$P = P_1 + P_2 + P_3$$

1 - 24

تطبق المعادلة 1-23 على خليط الغازات المثالية وتنحرف الغازات الحقيقة عن المعادلة 1-23 أحياناً ليس كبيراً ما لم تقترب الشروط إلى تلك التي فيها بين مول الغاز إلى سائل (تسيل الغاز). إذا سلك كل غاز في الخليط سلوكاً مثالياً فمن الممكن كتابة الحالة لكل غاز كالتالي:

$$P_1 V = n_1 RT \quad 1 - 25$$

$$P_2 V = n_2 RT$$

$$P_3 V = n_3 RT$$

1 - 25

$$(P_1 + P_2 + P_3 + \dots) V (n_1 + n_2 + n_3 + \dots) RT \quad 1 - 26$$

وبإدخال المعادلة 1-25 في المعادلة 1-26 ينتج ما يأتي:

$$PV = (n_1 + n_2 + n_3 + \dots) RT = nRT \quad 1 - 27$$

عندما تكون قيمة عدد المولات كما يأتي

$$n_1 + n_2 + n_3 + \dots = n$$

وتمثل  $n$  عدد المولات الكلية في خليط الغازات.

## أمثلة الفصل الأول

**مثال 1-1:** 750 مل من غاز النتروجين عند درجة حرارة 75°C وتحت ضغط 810 تور. احسب حجم الغاز عند الظروف القياسية (STP).

$$\begin{aligned}\frac{P_1 V_1}{T_1} &= \frac{P_2 V_2}{T_2} \\ V_2 &= \frac{P_1 V_1 T_2}{P_2 T_1} \\ &= \frac{810 \times 750 \times 273.15}{760 \times 348.15} \\ &= 627 \text{ ml}\end{aligned}$$

**مثال 1-2:** كمية من غاز الميثان تشغل حجماً قدره 260 مل، عند 305 كلفن تحت ضغط 0.5 جو. احسب درجة الحرارة التي يكون فيها الغاز عندما يكون حجمه 500 مل وتحت ضغط 1200 تور.

$$\begin{aligned}\frac{P_1 V_1}{T_1} &= \frac{P_2 V_2}{T_2} \\ T_2 &= \frac{T_1 P_2 V_2}{P_1 V_1} = \frac{305 \times 1200 \times 500}{380 \times 260} \\ &= 1852 \text{ K} \approx 1580 \text{ }^{\circ}\text{C}\end{aligned}$$

**مثال 1-3:** احسب الضغط الذي يسلطه 1.67 مول من غاز الايثان عند 25°C.

$$\begin{aligned}P &= \frac{n R T}{V} \\ P &= \frac{1.67 \times 0.0821 \times 298.15}{25.0} \\ P &= 1.63 \text{ atm}\end{aligned}$$

**مثال 1-4:** منطاد يحتوي على  $1.2 \times 10^7$  لتر من الهيليوم عند ضغط 737 ملم زئبق عند  $25^\circ\text{C}$ . احسب كتلة الغاز.

$$737 \times \frac{1}{760} = 0.970 \text{ atm}$$

$$PV = nRT$$

$$PV = \frac{m}{M} RT$$

$$m = \frac{PVM}{RT} = \frac{0.970 \times 1.2 \times 4}{0.0821 \times 298.15}$$

$$m = 1.9 \times 10^6 \text{ gm}$$

**مثال 1-5:** كتلة معينة من غاز تشغل حجماً قدره 180 مل عند ضغط 0.8 جو. احسب الحجم عندما يتغير الضغط إلى 0.6 جو بثبوت درجة الحرارة. كم يصبح حجم ضعف الكتلة عند ضغط 0.6 جو عند الدرجة الحرارية نفسها؟

$$P_1 V_1 = P_2 V_2$$

$$0.8 \times 180 = 0.6 \times V_2$$

$$V_2 = 240 \text{ ml}$$

حجم الغاز يتتناسب طردياً مع كمية الغاز عند ثبوت درجة الحرارة والضغط، وعليه فان حجم ضعف الكمية من الغاز ستساوي:

$$240 \times 2 = 480 \text{ ml}$$

**مثال 1-6:** حجم غاز عند درجة حرارة  $15^\circ\text{C}$  وضغط 1 جو يساوي 2 مل. ما هو الحجم الذي يحتله هذا الغاز عند درجة حرارة  $38^\circ\text{C}$  وتحت ضغط 1 جو.

$$\frac{P_1 V_1}{T_1} = \frac{P_2 V_2}{T_2}$$

$$V_2 = \frac{P_1 V_1 T_2}{T_1 P_2} = \frac{2 \times 2 \times 311}{288 \times 1} = 4.32 \text{ ml}$$

**مثال 1-7:** اذا علمت ان كثافة غاز معين عند درجة حرارة 22.3°C وتحت ضغط 70.5 mmHg احسب الوزن الجزيئي للغاز.

$$T = 22.3 + 273.15 = 295.4 \text{ K}$$

$$P = 70.5 \times \frac{1}{760} = 0.0928 \text{ atm}$$

$$d = \frac{PM}{RT}, \quad M = \frac{dRT}{P}$$

$$M = \frac{0.391 \times 0.0821 \times 295.4}{0.0928} = 102 \text{ g mol}^{-1}$$

**مثال 1-8:** يتفاعل الحديد مع حامض الهيدروكلوريك وفق المعادلة الآتية:



اذا تفاعل 2.2 g من الحديد مع زيادة من حامض الهيدروكلوريك لينتج غاز الهيدروجين حيث تم جمعه في وعاء حجمه 10 L عند 298 K. احسب ضغط الغاز المتحرر.

$$n_{\text{Fe}} = \frac{m}{M} = \frac{2.2}{55.85} = 0.039 \text{ mol}$$

$$n_{\text{Fe}} = n_{\text{H}_2} = 0.039 \text{ mol}$$

$$PV = nRT \quad P = \frac{nRT}{V}$$

$$P = \frac{0.039 \times 0.0821 \times 298.15}{10.0} = 0.095 \text{ atm}$$

**مثال 1-9:** تم جمع 5.25 لتر من الاركون فوق الماء عند 30 م وتحت ضغط 830 تور. احسب الكسر المولى لغاز الاركون وللماء اذا علمت ان الضغط البخاري للماء عند 30 م ° يساوي 31.8 تور.

$$P_T = P_{Ar} + P_W \quad \therefore P_{Ar} = P_T - P_W$$

$$P_{Ar} = (380.0 - 31.8) = 798.2 \text{ torr}$$

$$\chi_{Ar} = \frac{P_{Ar}}{P_T} = \frac{798.2}{380.0} = 0.9617$$

$$\chi_{Ar} + \chi_W = 1$$

$$\therefore \chi_W = 1 - \chi_{Ar} = 1 - 0.9617 = 0.0383$$

**مثال 1-10:** 10.73 غم من  $PCl_5$  وضعت بدورق حجمه 4 لتر عند درجة حرارة قدرها 200 م °.

احسب الضغط الابتدائي في الدورق قبل حصول التفاعل.

يتفكك  $PCl_5$  وفق المعادلة الآتية:



فإذا تفككت نصف كمية  $PCl_5$  عند ضغط 1.25 جو، احسب الضغط الجزيئي لغاز الكلور.

a)

$$n_{Fe} = \frac{m}{M} = \frac{10.73}{208.5} = 0.05146 \text{ mol}$$

$$PV = n RT$$

$$T = 200 + 273.15 = 437.15 \text{ K}$$

$$P \times 4 = 0.05146 \times 0.0821 \times 437.15 \\ = 0.4996 \text{ atm}$$

عدد المولات	$\text{PCl}_5 \rightarrow$	$\text{PCl}_3$	+	$\text{Cl}_2$
بدء التفاعل	0.05146	0		0
التغير	-0.02573	+0.02573		+0.02573
نهاية التفاعل	0.02573	0.02573		0.02573

$$\chi_{\text{Cl}_2} = \frac{n_{\text{Cl}_2}}{n_{\text{Total}}} = \frac{P_{\text{Cl}_2}}{P_{\text{Total}}}$$

$$\frac{P_{\text{Cl}_2}}{1.25} = \frac{0.02573}{0.07719}$$

$$P_{\text{Cl}_2} = 0.4167 \text{ atm}$$

## الفصل الثاني

### CHAPTER TWO

الغازات المثالية والغازات الحقيقية

Ideal and Real Gases

## الفصل الثاني

### الغازات المثالية والغازات الحقيقة

#### Ideal and Real Gases

Introduction	1-2 مقدمة
Kinetic Theory of Gases	2-2 النظرية الحركية للغازات
Kinetic theory interpretation of properties and laws of gases	3-2 تفسير خواص وقوانين الغازات حسب النظرية الحركية للغازات
Pressure	4-2 الضغط
Kinetic Energies and Temperature	5-2 درجة الحرارة والطاقة الحركية
Molecular Speeds	6-2 سرع الجزيئات
Distribution of Molecular Speeds	7-2 توزيع السرع الجزيئية
Gas's Laws and the Kinetics Theory of Gases	8-2 قوانين الغازات والنظرية الحركية للغازات
Boyle's Law	1-8-2 قانون بويل
Charles's Law	2-8-2 قانون شارل
Avogadro's Law	3-8-2 قانون افوكادرو (قاعدة افوكادرو)
Effusion and Diffusion	9-2 التدفق والانتشار
Collision theory	10-2 نظرية التصادم
The Mean Free Path	11-2 متوسط المسار الحر
Real gas	12-2 الغاز الحقيقي

- 13-2 الشذوذ عن القانون العام Deviation from the general law of gases and the effect of attractive and repulsive forces للغازات وتأثير قوى التجاذب والتنافر
- 14-2 معاملات القوة Virial Coefficients
- 15-2 التكثيف Condensation
- 16-2 معادلة فان در فالز The van der Waal's Equation
- 1 تصحيح الضغط
  - 2 تصحيح الحجم
- 17-2 الخصائص الأساسية لمعادلة فاندر فالز The principals feature of van der Wall's Equation
- 18-2 معادلات الحالة الأخرى
- 1 معادلة بيرثولث
  - 2 معادلة دايقي راسا
  - 3 معادلة كامبرلينك ادينسي
  - 4 معادلة بيياتي وبردكمان
- أمثلة Examples

## الفصل الثاني

### الغازات المثالية والغازات الحقيقة

Ideal and Real Gases

#### 1- مقدمة : Introduction

الغاز المثالي Ideal gas هو غاز افتراضي ولا وجود له في الطبيعة وقد تم تحديد العلاقة ما بين حجمه وضغطه ودرجة حرارته بضوء فرضيات النظرية الحركية للغازات Kinetic Theory of Gases. الغاز المثالي لا يمكن إسالته اطلاقاً ومهماً استخدمنا من ضغط عالٍ ودرجة حرارة واطئة، وذلك لعدم وجود قوى تجاذب بين دقائقه. إن افتراض هذا النوع من الغازات هو لغرض تسهيل دراسة الغازات باستخدام معادلات رياضية بسيطة.

الغاز الحقيقي Real gas يمكن أن يعرف بأنه الغاز الذي لا تنطبق عليه القوانين الخاصة بالغاز المثالي. تقترب الغازات الحقيقة من خواص الغاز المثالي عند الضغوط الواطئة ودرجات الحرارة العالية أو بالعاملين معاً.

#### 2- النظرية الحركية للغازات : Kinetic Theory of Gases

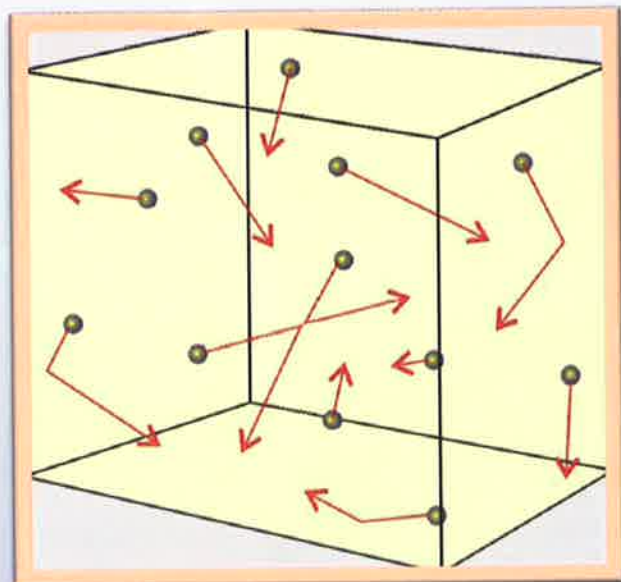
لقد تم التطرق في الفقرات السابقة من الفصل الأول للخواص العامة للغازات وقوانين الغازات والآن ستناقش النظرية التي تنسق القوانين المختلفة والمتحدة لسلوك الغازات المثالية وتسمى هذه النظرية الحركية للغازات Kinetic Theory of Gases.

العالم البريطاني جيمس ماكسويل والفيزيائي الاسترالي ليو دوبل بولتزمان

في القرن التاسع عشر أرسا هذه النظرية والتي أصبحت فيما بعد من المفاهيم المهمة في العلم الحديث.

النظرية الحركية للغازات تفسر الخواص العينانية للغازات Macroscopic properties of gases مثل الضغط والحجم ودرجة الحرارة، بحيث تأخذ بنظر الاعتبار المكونات الجزيئية والحركية لمكونات الغازات. بصورة أساسية فإن هذه النظرية لا تفسر الضغط بأنه ناتج من التناحر بين الجزيئات الساكنة للفاز، بل نتيجة التصادمات الحاصلة بين الجزيئات التي تتحرك بسرعة مختلفة داخل محتوى الغاز.

تسمى النظرية الحركية للغازات بأسماء أخرى حيث تسمى النظرية الجزيئية الحركية Kinetic Molecular Theory، ويرمز لها KMT وتسمى كذلك بنظرية التصادم Collision Theory



شكل 2-1 حركة دفائق الغاز

إن الفرضيات الجوهرية لهذه النظرية هي:

- 1- يمتلك الغاز دقائق متشابهة منفصلة عن بعضها البعض و لها كتلة.
  - 2- معدل المسافة فيما بين هذه الدقائق أكبر بكثير من حجم الدقائق نفسها، وأن حجم هذه الدقائق صغير جداً للحد الذي يمكن إهماله إذا ما قمت مقارنته مع الحجم الكلي للغاز.
  - 3- ينعدم التجاذب بين دقائق الغاز المثالي ولا توجد أي قوة تجاذب بينها وبين جدران الوعاء الذي يحتوي الغاز.
  - 4- الدقائق في حركة عشوائية دائمة وهي تخضع لقوانين نيوتن بالحركة وهذا يعني بأن الدقائق تتحرك بخطوط مستقيمة لحين تصادمها مع بعضها أو مع جدار الوعاء الذي يحتويها.
  - 5- إن التصادم بين الدقائق أو بينها وبين الجدار هو تصادم مرن (Elastic) وعند تصادمها فإنها تغير اتجاهها وطاقتها الحركية ولكن الطاقة الحركية الكلية تبقى ثابتة.
  - 6- إن معدل الطاقة الحركية للدقائق يتاسب طردياً مع درجة الحرارة المطلقة (يجب الانتباه هنا إلى كلمة معدل، لأن الطاقة الحركية للدقائق مختلف اختلافاً كبيراً وبعضها تكون طاقتها الحركية مساوية للصفر) وهذا يعني أن هذه الدقائق سوف تخلد إلى السكون التام عندما يتم اختزال درجة الحرارة لدرجة الصفر المطلق.
  - 7- شكل دقائق الغاز دائري وهي مرنة بطبيعتها.
- هذه الاستنتاجات الوصفية من النظرية الحركية للغازات وهي طبعاً

متطابقة مع المشاهدات التجريبية (لاحظ الشكل 2-1)، ولكن السؤال الأهم هو هل أن النظرية الحرارية للغازات تستطيع أن تعين كمياً سلوك الغازات؟.

أن مثل هذه المعالجات خاصة بالغاز المثالي في الوقت الحاضر ولمثل هذه المادة افترض بسبب أن الجزيئات صغيرة جداً بحيث يمكن إهمال حجمها الحقيقي بالمقارنة مع الحجم الكلي للغاز وافتراض أيضاً انعدام التجاذب بين جزيئات الغاز المثالي بحيث لا تسلط الجزيئات أي تجاذب مع بعضها البعض وانطلاقاً من هذين الافتراضين البسيطين يمكن التوصل إلى تعبير يصف ضغط الغاز المثالي.

### 3-2 تفسير خواص وقوانين الغازات حسب النظرية الحرارية للغازات

Kinetic theory interpretation of properties and laws of gases

تزداد سرع جزيئات الغاز بازدياد درجة الحرارة، ويمكن تعريف درجة الحرارة استناداً إلى النظرية الحرارية للغازات بأنها تتناسب مع متوسط الطاقة الحرارية للجزيئات ( $\frac{1}{2}m\bar{C}^2$ )، وقد أطلق العالم ماكسويل (1860) المقوله التالية: **إن متوسط الطاقات الحرارية لجزيئات جميع الغازات متساوية عند ثبوت درجة الحرارة.**

أي إن الكميه ( $\frac{1}{2}m\bar{C}^2$ ) هي كمية ثابتة لأي غاز عند ثبوت درجة الحرارة.

ومن خلال المعادلتين 2-1 و 2-2 يمكن كتابة المعادلتين 2-3 و 2-4 وكالاتي:

$$\text{كمية ثابتة} = PV \quad \text{قانون بويل}$$

2 - 1

$$PV = \frac{1}{3} nm\bar{C}^2$$

2 - 2

## قانون ضغط الغاز لعام

$$PV = \frac{1}{3} n_1 m_1 \bar{C}_1^2 \quad 2 - 3$$

$$PV = \frac{1}{3} n_2 m_2 \bar{C}_2^2 \quad 2 - 4$$

يمكن  $P_1 V_1 = P_2 V_2$  إذا امتلك غازان الضغط والحجم نفسه أي

عندئذ دمج المعادلين 2-3 و 2-4 بعادلة واحدة وكما يأتي

$$\frac{1}{3} n_1 m_1 \bar{C}_1^2 = \frac{1}{3} n_2 m_2 \bar{C}_2^2 \quad 2 - 5$$

إذا كان الغازان بدرجة الحرارة نفسها فان متوسط طاقتهما الحركية تكون متساوية أي

$$\frac{1}{2} m_1 \bar{C}_1^2 = \frac{1}{2} m_2 \bar{C}_2^2 \quad 2 - 6$$

وبدمج المعادلين 2-5 و 2-6 يتبع ما يلي :

$$n_1 = n_2 \quad 2 - 7$$

ان المعادلة 2-7 تؤيد بان الغازين اللذين لهما نفس الضغط والحجم ودرجة الحرارة لهما العدد نفسه من الجزيئات وهذه بالطبع قاعدة افكاراً و قد اشتقت الآن من النظرية الحركية للغاز المثالي. من المعادلة 2-2 يمكن كتابة المعادلة 2-8، وعلى افتراض

$$PV = nKT \quad 2 - 8$$

ان درجة حرارة الغاز تتناسب مع متوسط الطاقة الحركية للجزيئات  $(\frac{1}{2} m \bar{C}^2)$  ويمثل (K) ثابت التناوب وهو متساوي لجميع الغازات وهو ثابت عام وجد من الدليل الذي قدمه ماكسويل من إن لا يعتمد متوسط المسار الطاقة الحركية على طبيعة الغاز بدرجة حرارة معينة ويمكن كتابة المعادلة 2-8 عند ثبوت الضغط بالشكل الآتي:

$$\text{كمية ثابتة} = \frac{V/T}{n} = K/P$$

2 - 9

ولا سيما ان كلا من (n) و (K) كميات ثابتة، اذ تمثل المعادلة 2-9 نص قانون غايلوساك.

لقد توضح بان جميع المواد تحوي على العدد نفسه من الجزيئات اذا كان عدد مولاتها واحد، وهذه قاعدة افكاراً، لذا فان:

$$PV = N_A KT$$

2 - 10

ولمول واحد من الغاز يمثل (V) عدد الجزيئات (n) بحجم معين وهذا مساوي لعدد افكاراً ( $N_A$ )، لذلك فان المعادلة 2-9 بالحقيقة هي المعادلة نفسها 2-8 وبما ان ( $N_A$ ) و (K) ثابتان عامان فيمكن احلاهما بالثابت (R) لان حاصل ضربهما ثابت لمول واحد من الغاز المثالي، لذلك فان:

$$PV = RT$$

2 - 11

المعادلة 2-11 هي المعادلة نفسها حالة مول واحد من الغاز المثالي.

الرمز K يدعى ثابت بولتزمان ويساوي  $(1.38 \times 10^{-23})$  جول. درجة<sup>-1</sup>. جزيئه<sup>-1</sup> او  $(1.38 \times 10^{-16})$  إرك. درجة<sup>-1</sup>. جزيئه<sup>-1</sup>. ويمكن حسابه من الثابتين (R)، ( $N_A$ ) وكما يأتي:

$$K = \frac{R}{N_A} = \frac{8.314 \text{ J.mol}^{-1}\text{K}^{-1}}{6.033 \times 10^{23} \text{ molecular.mol}^{-1}}$$

$$= 1.38 \times 10^{-23} \text{ J.mol}^{-1}\text{.K}^{-1}$$

## الغازات المثالية والغازات الحقيقة

و بما ان  $K = \frac{R}{N_A}$  لذا يعرف بأنه ثابت الغاز لكل جزيئة منفردة .

إن متوسط الطاقة الكامنة لكل جزيئة يكون مساويا إلى  $\frac{1}{2} N_A \bar{C}^2$  لذلك مثل الكمية  $\frac{1}{2} m \bar{C}^2$  الطاقة الحركية الكلية ( $E_K$ ) لجميع الجزيئات بمول واحد من الغاز :

$$E_K = \left( \frac{1}{2} N_A m \bar{C}^2 \right) \quad 2 - 12$$

ويكمن كتابة المعادلة 2-12 لمول واحد من الغاز الذي يحوي على عدد ( $N_A$ ) من الجزيئات على النحو الآتي :

$$\begin{aligned} PV &= \left( \frac{1}{3} N_A m \bar{C}^2 \right) = \left( \frac{1}{3} \right) \left( \frac{2}{3} \right) N_A m \bar{C}^2 \\ &= \left( \frac{2}{3} \right) \left( \frac{1}{2} \right) N_A m \bar{C}^2 \end{aligned} \quad 2 - 13$$

وبتعويض المعادلة 2-12 في المعادلة 2-13 يتبع ما يأتي :

$$PV = \left( \frac{2}{3} \right) E_K \quad 2 - 14$$

و بما ان  $PV = RT$  لمول واحد من الغاز لذلك تكافئ المعادلة 2-14 المعادلة 2-15 الآتية :

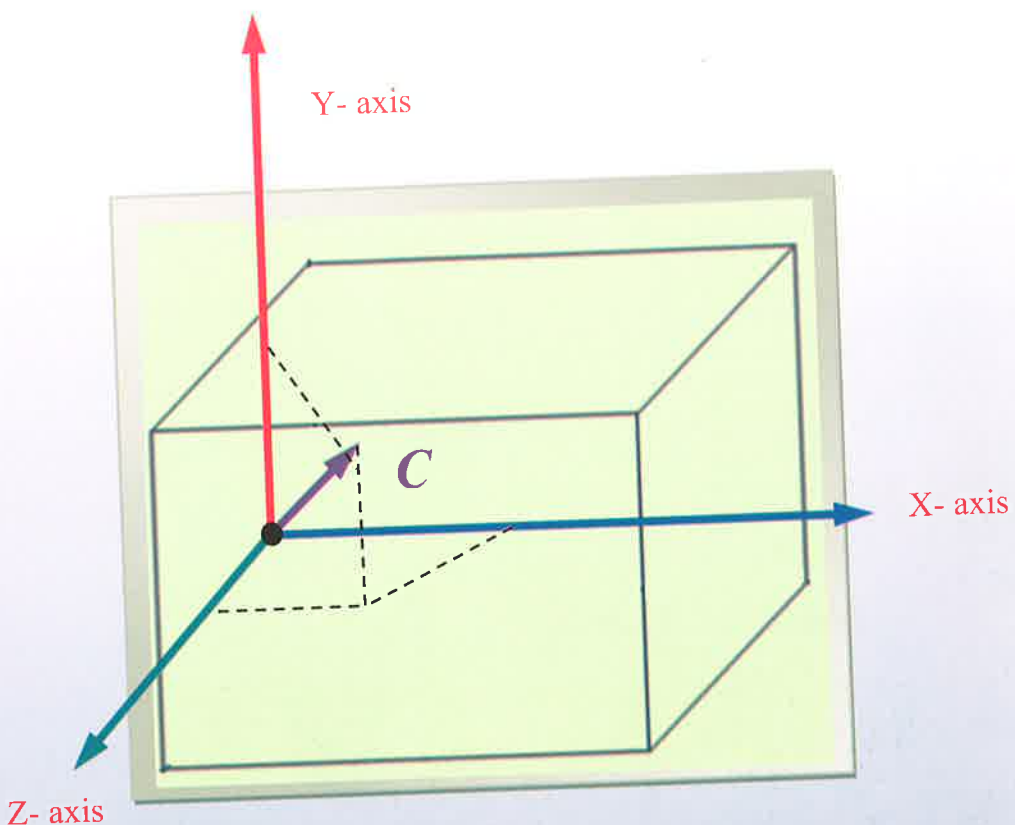
$$E_K = \left( \frac{3}{2} \right) RT \quad 2 - 15$$

تعني المعادلة 2-15 بان الطاقة الحركية الكلية للجزيئات لمول واحد من الغاز المثالي تكون مساوية الى  $\frac{3}{2} RT$

## Pressure: الضغط 4-2

افترضت عدة طرق لحساب ضغط الغاز من النظرية الحركية بالطريقة الدقيقة والمضبوطة جداً وتبدو معقدة بعض الشيء وسنناقش هنا إحدى الطرق البسيطة والمقربة والتي تؤدي إلى النتيجة الصحيحة.

لو تصورنا أن هناك مكعباً طول ضلعه ( $l$ ) سم ويحتوي على ( $n$ ) من الجزيئات وكل جزيئه لها كتلة حقيقة مقدارها ( $m$ ) (الشكل 2-2).



شكل 2-2 السرعة الجزيئية ومكوناتها

تحرك هذه الجزيئات عشوائياً بجميع الاتجاهات وبانطلاقات تغطي مدى كبيراً من القيم. تحمل الانطلاقة لأية جزيئه بدلالة ثلاثة مكونات هي (X) و (Y) و (Z) بثلاث اتجاهات ويزوايا قائمة بينها وموازية لحافات المكعب (الشكل 2-2) وترتبط السرعة المختلفة بموجب المعادلة 1-2

$$C_1 = X_1 + Y_1 + Z_1 \quad 2 - 16$$

إن التأثير الكلي لتصادم الجزيئة ذات السرعة (C) مع جدار المكعب يمكن حسابه بواسطة جمع تأثيرات المكونات الثلاث (X) و (Y) و (Z) عندما تصطدم الجزيئة بالجدار تصادماً مرتناً لا تتغير كمية مكونة السرع ولكن تعكس إشارتها بسبب التغيير في اتجاه الحركة، ويمثل الجدول 2-16 مكونات السرعة والزخم قبل التصادم وبعده.

جدول 2-1 مكونات السرعة والزخم قبل التصادم وبعده

المكونة	قبل التصادم	بعد التصادم
السرعة	X	- X
	Y	- Y
	Z	- Z
الزخم	mx	- mx
	my	- my
	mz	- mz

المعدل الكلي للتغير الزخم يساوي

$$2mC^2/\ell = 2m(X^2 + Y^2 + Z^2)/\ell \quad 2 - 17$$

وموجب المعادلة 2-17 واستناداً إلى قوانين نيوتن الحركية يساوي المعدل الكلي للتغير الزخم القوة الفعالة، لذلك فإن:

القوة الفاعلة نتيجة تصادم الجزيئه المنفردة =  $2mC^2/\ell$  داين  $(10^{-5}$  نيوتن)

ويكون الآن حساب القوة الكلية لتصادم (n) من الجزيئات =

$$2m/\ell (C_1^2 + C_2^2 + C_3^2 + \dots + C_n^2)/\ell \quad 2 - 18$$

عندما تمثل  $(C_1), (C_2), (C_3), \dots, (C_n)$  سرعة الجزيئات المنفردة يعرف متوسط مربع السرعة ( $\bar{C}^2$ ) mean square speed بأنه معدل مربع سرعة (n) من الجزيئات أي:

$$\bar{C}^2 = \bar{C}_1^2 + \bar{C}_2^2 + \bar{C}_3^2 + \dots + \bar{C}_n^2/n \quad 2 - 19$$

عندئذ تصبح القوة الكلية لتصادم (n) من الجزيئات مساوية إلى  $(2nm\bar{C}^2/\ell)$ ، وبما أن الضغط يعرف بأنه القوة المسلطة على وحدة المساحة وأن مساحة المكعب الكلية مساوية إلى  $(6\ell^3)$  والمساوية بالوقت نفسه إلى  $(6V)$  حيث يمثل (V) حجم المكعب، لذا يكون الضغط الكلي المسلط (P) من قبل جميع الجزيئات معرفاً بالمعادلة 20-2:

$$P = (2nm\bar{C}^2/\ell) (\frac{1}{6\ell^3}) = nm\bar{C}^2/3\ell^3 = nm\bar{C}^2/3V^2 \quad 2 - 20$$

$$PV = \frac{1}{3} nm \bar{C}^2 \quad 2 - 21$$

ولعدد افکادرو من الجزيئات يمكن إعادة كتابة المعادلة كما يأتي:

$$PV = \frac{1}{3} nM \bar{C}^2 \quad 2 - 22$$

وكذلك يمكن ان تأخذ الصيغة الآتية:

$$PV = \frac{1}{3} nM \bar{C}^2 \quad 2 - 23$$

يجب ألا يخلط بين الكميتين  $(\bar{C}^2)$  متوسط مربع السرعة و  $(\overline{C^2})$  مربع متوسط السرعة حيث تمثل الأولى مجموع جميع السرع للجزيئات ثم أخذ معدلها، إما الثانية تمثل مجموع متوسط السرع للجزيئات ثم تربيع النتيجة .

## 5 درجات الحرارة والطاقة الحركية:

### Kinetic Energies and Temperature

تزداد سرع جزيئات الغاز عند زيادة درجة الحرارة، ويمكن الاستنتاج بأن درجة الحرارة استناداً إلى النظرية الحركية للغازات تتناسب مع متوسط الطاقة الحركية للجزيئة:

$$\overline{k_e} = \frac{1}{2} m \overline{C^2} \quad 2-24$$

أوضح العالم ماكسويل عام 1860 أن متوسط الطاقات الحركية لجزيئات جميع الغازات متساوية عند ثبوت درجة الحرارة، أي أن قيمة المقدار  $\frac{1}{2} m \overline{C^2}$  كمية ثابتة لا يغّيرها عند ثبوت درجة الحرارة.

المعادلة 2-23 يمكن إعادة كتابتها على الشكل الآتي:

$$PV = \frac{2}{3} N \left( \frac{1}{2} m \overline{C^2} \right) \quad 2-25$$

وعند التعويض تأخذ المعادلة الشكل الآتي:

$$PV = \frac{2}{3} N \bar{K}_e = \frac{2}{3} n (N_A \bar{K}_e) \quad 2-26$$

وعند التعويض بقيمة الطاقة الحركية:

$$PV = \frac{2}{3} nKE \quad 2 - 27$$

حيث ان  $KE$  تمثل الطاقة الحركية لعدد افكار دارو من الجزيئات.

عندما نعرض بالمعادلة العامة للغازات  $PV = nRT$  حيث ان:

$$PV(\text{macroscopic}) = PV(\text{microscopic}) \quad 2 - 28$$

نحصل على:

$$KT = \frac{2}{3} RT \quad 2 - 29$$

وكذلك:

$$\overline{ke} = \frac{KE}{N_A} = \frac{2}{3} \frac{R}{N_A} T = \frac{3}{2} k T \quad 2 - 30$$

حيث ان:

$$K = \frac{P}{N_A} \quad 2 - 31$$

ويساوي  $1.38 \times 10^{-23}$  جول كلفن  $^{-1}$  جزيئة.

**6- سرع الجزيئات Molecular Speeds :**

معادلة الطاقة لعدد افకادرو من الجزيئات ( 1 مول من الغاز)، يمكن كتابتها على الشكل الاتي:

$$KE = N_A \left( \frac{1}{2} m \bar{C}^2 \right) = \frac{1}{2} M \bar{C}^2 \quad 2 - 32$$

من المعادلتين 2-29 و 2-32، نحصل على:

$$\sqrt{\bar{C}^2} = \sqrt{\frac{3RT}{M}} = \sqrt{\frac{3kT}{m}} \quad 2 - 33$$

يعبر عن الجذر التربيعي لمتوسط مربع السرعة root-mean square speed ويرمز له بالرمز rms.

**7- توزيع السرع الجزيئية : Distribution of Molecular Speeds :**

هناك ثلاثة أنواع من السرع الجزيئية:

الجذر التربيعي لمتوسط مربع السرعة  $\sqrt{\bar{C}^2}$  -1  
: root-mean square

speed .33 وقيمتها كما ذكر بالمعادلة 2-33

(متوسط السرعة:  $\bar{C}$ )، وقيمتها: -2

$$\bar{C} = \sqrt{\frac{8RT}{\pi M}} = \sqrt{\frac{8kT}{\pi m}} \quad 2 - 34$$

السرعة الاكثر احتمالا:  $\alpha$  (Most probable speed) وقيمتها: -3

$$\alpha = \sqrt{\frac{2RT}{M}} = \sqrt{\frac{2kT}{m}} \quad 2 - 35$$

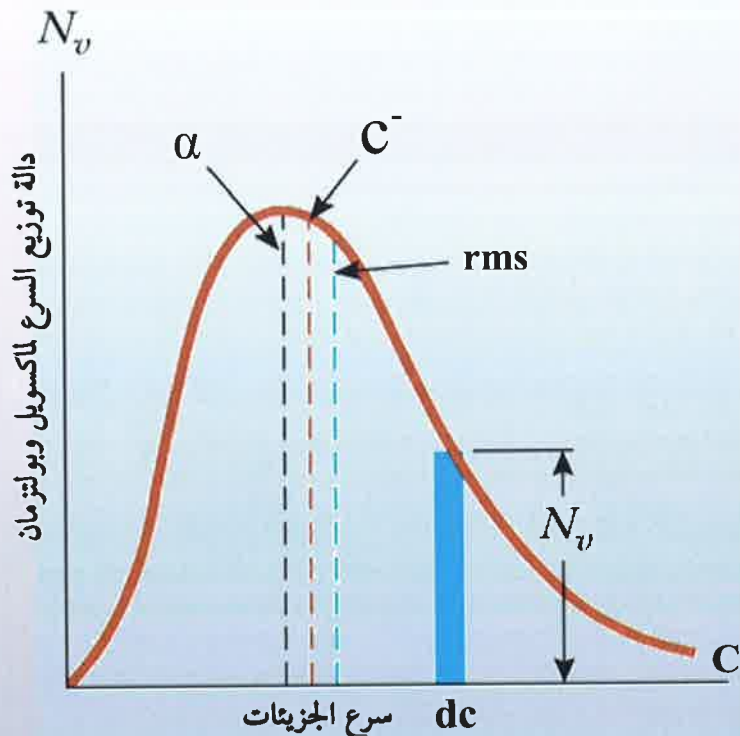
نسبة القيم الثلاثة من السرع إلى بعضها يساوي:

$$rms : \bar{C} : \alpha = 1.00 : 0.92 : 0.82$$

الشكل 2-3 يوضح رسم عدد الجزيئات عند كل سرعة من السرع الجزيئية في لحظة محددة  $N_v$  ويسمى دالة توزيع السرع لماكسويل وبولتزمان مقابل سرع الجزيئات ويبين الشكل قيم السرع الثلاث.

المعادلة 2-36 تبين قيمة الدالة  $N_v$ :

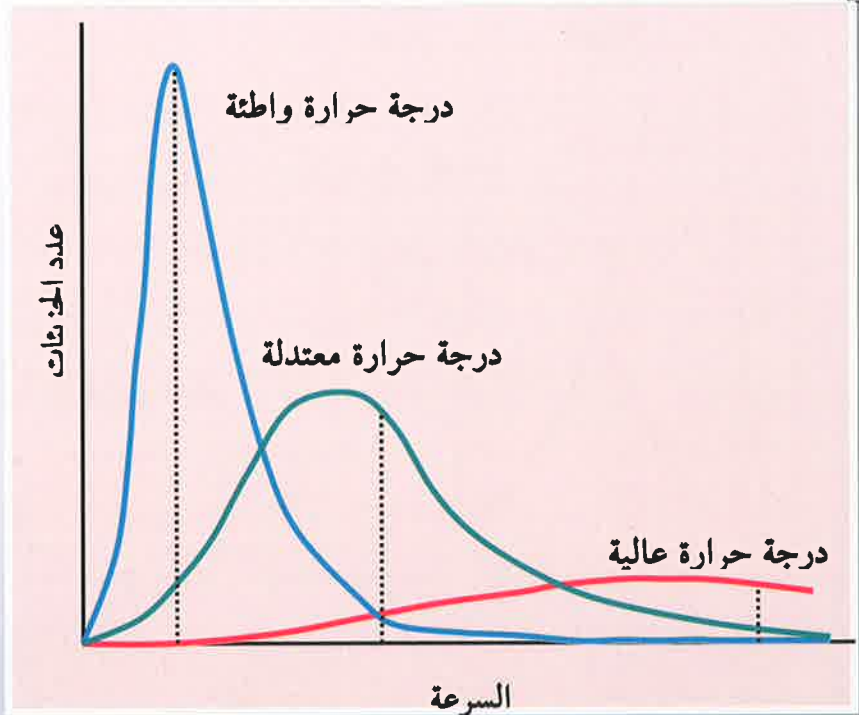
$$N_v = 4\pi N \left( \frac{m}{2\pi k_B T} \right)^{3/2} C^2 e^{-mC^2/2k_B T} \quad 2-36$$



شكل 2-3 قيم السرع الثلاث

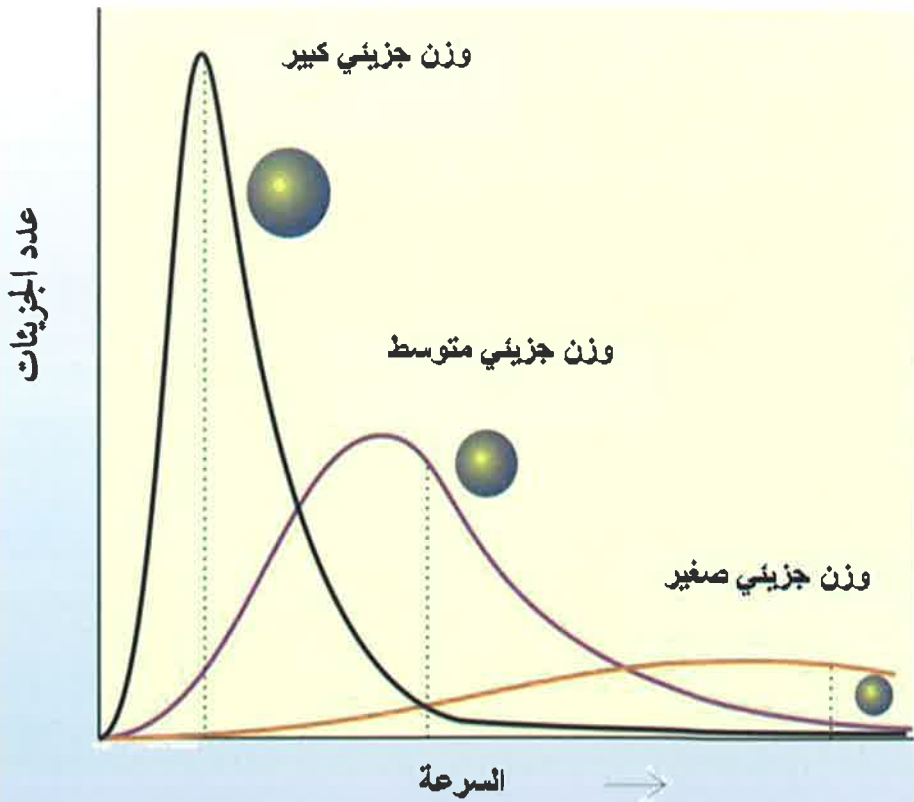
عند النظر الى المعادلات التي تحدد قيم السرع الثلاثة، نلاحظ بان جميع هذه السرع تتناسب طرديا مع الجذر التربيعي لدرجة الحرارة المطلقة وعكسيا مع الجذر التربيعي لكتلة كل جزيئة او للوزن الجزيئي للغاز. ان اعتماد توزيع السرع لماكسويل وبولتزمان على درجة الحرارة المطلقة والوزن الجزيئي للغاز موضحة في الشكلين 4-2 و 5-2 (هناك تشابه بتوزيع السرع بين جزيئات الغاز وجزيئات السائل في هذه الخاصية). نلاحظ ان قمة المنحني تحد نحو اليمين كلما ازدادت درجة الحرارة المطلقة، يعني هذا ان متوسط السرعة يزداد بازدياد درجة الحرارة.

الشكل غير المتاضر للمنحنies يعود الى ان اقل قيمة متوقعة للسرعة تساوي صفر في حين ان اعلى قيمة لها تساوي مالا نهاية. نلاحظ، كذلك ، ان المساحات تحت المنحني متساوية للجميع، ويعود ذلك الى ثبات العدد الكلي للجزيئات.



شكل 4-2 توزيع السرع لغاز عند درجات حرارية مختلفة

دفائق الغاز التي لها وزن جزيئي اقل تتحرك أسرع من تلك التي لها وزن جزيئي اكبر. الشكل 2-5 يوضح ان زيادة الوزن الجزيئي يؤدي إلى حيوان قمة المنحنى نحو اليسار ويكون عرضها اقل من تلك التي لها وزن جزيئي اقل. مثال على زيادة قيمة الجذر التربيعي لمتوسط السرعة لجزيئات الغاز التي لها وزن جزيئي قليل مقارنة بتلك التي لها وزن جزيئي اكبر، نلاحظ ان قيمة الجذر التربيعي لمتوسط سرعة جزيئات الهيدروجين تساوي  $1700 \text{ m s}^{-1}$  في حين انها تساوي  $450 \text{ m s}^{-1}$  لجزيئات غاز النتروجين.



شكل 2-5 توزيع السرع لغازات مختلفة بثبوت درجة الحرارة

## 2- قوانين الغازات والنظرية الحركية للغازات:

### Gas's Laws and the Kinetics Theory of Gases

في هذه الفقرة سيتم تفسير قوانين الغازات بضوء فرضيات النظرية الحركية للغازات.

#### 2-1 قانون بويل: Boyle's Law

يمكن أن يفسر قانون بويل بسهولة عند تطبيق فرضيات النظرية الحركية للغازات. إن ضغط الغاز يعتمد على عدد المرات التي تضرب فيها دقائق الغاز سطح الوعاء الذي يحتويها لكل ثانية. إذا قمنا بضغط الغاز في حجم صغير فإن الدقائق ستتحصر في هذا الحجم الصغير وبذلك تزداد عدد المرات التي تضرب بها الدقائق جدار الوعاء عند المقارنة بالحالة الأولى قبل الانضغاط. وهذا ما يفسر تناسب الضغط عكسياً مع الحجم وهذا ما جاء بقانون بويل. هذا يعني زيادة الضغط عندما يقل حجم الغاز عند ثبوت درجة الحرارة أي أن:

$$PV = \text{constant}$$

2 - 37

وهذا ما تم استنتاجه بقانون بويل.

#### 2-2 قانون شارل: Charle's Law

تنص فرضيات النظرية الحركية للغازات بأن زيادة درجة الحرارة يؤدي إلى زيادة معدل الطاقة الحركية لدقائق الغاز. إذا أردنا تسريع حركة دقائق الغاز بشرطبقاء الضغط ثابتاً فإن هذا يحتم أن تكون الدقائق متباudeً أكثر عن بعضها البعض لذا فإن الزيادة في سرعة تصادم الدقائق مع سطح جدار الوعاء الذي يحتويها يجب أن يعادل بزيادة المساحة التي تتحرك بها الدقائق وهذا يعني زيادة

حجم الغاز هذا ما يفسر قانون شارل الذي ينص على أن حجم كتلة محددة من الغاز تتناسب طردياً مع درجة الحرارة عند ثبوت الضغط، أي أن:

$$V = \text{constant} \times T$$

2 - 38

وهذا ما تم استنتاجه بقانون شارل.

### 2-8-3 قانون افوكادرو (قاعدة افوكادرو): Avogadro's Law

عند زيادة عدد دقائق الغاز في إناء مغلق فإن عدد التصادمات بوحدة الزمن مع جدار الوعاء الذي يحتوي هذه الدقائق ستزداد إذا افترضنا بقاء الضغط ثابتاً. هذا يعني بقاء عدد التصادمات بوحدة الزمن ثابتاً، بهذه الحالة يجب أن يزداد الحجم بزيادة عدد دقائق الغاز في الوعاء المغلق. إن هذا الاستنتاج هو نص ما جاء بقانون افوكادرو حول تتناسب حجم الغاز طردياً مع عدد مولات الغاز عند ثبوت درجة الحرارة وضغط الغاز، أي أن:

$$\frac{V}{n} = \text{ثابت}$$

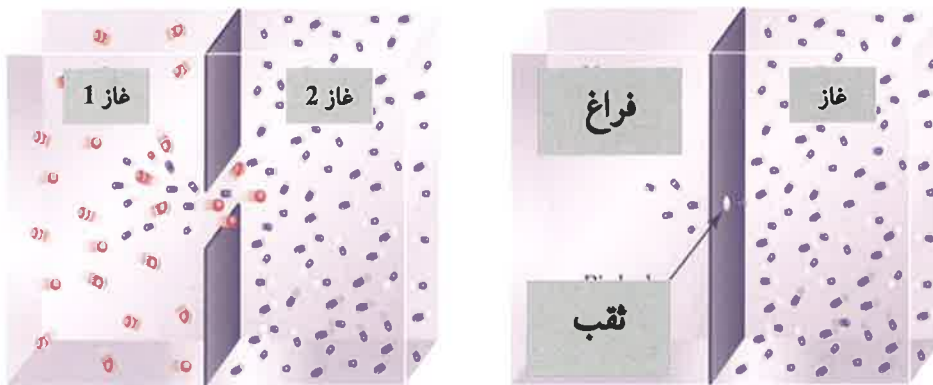
2 - 39

وهذا هو ما تم ايجاده في قاعدة افوكادرو.

### 2-9 التدفق والانتشار: Effusion and Diffusion

اكتشف العالم الكيميائي الانكليزي توماس كراهام الأستاذ في جامعة كلاسكيو وجامعة لندن (1805 - 1869) وذلك عام 1846 بعد قيامه بعده تجربة حول قياس سرعة تدفق الغازات Effusion إن سرعة التدفق تتناسب عكسياً مع الجذر التربيعي لكثافة الغاز.

إن عملية التدفق تعني عملية هروب الغازات من الوعاء الذي يحتويها خلال ثقب صغير جداً. الشكل 2-6 يبين الفرق ما بين ظاهري التدفق والانتشار.



انتشار الغاز

تدفق الغاز

### شكل 2-6 الفرق بين الانتشار والتدفق

من المعروف أن كثافة الغاز تتناسب طردياً مع الوزن الجزيئي للغاز لذا فإن قانون كراهام للتتدفق يمكن أن يأخذ الصيغة الآتية:

**(سرعة تدفق الغاز تتناسب عكسياً مع الجذر التربيعي للوزن الجزيئي للغاز).**

إن التعبير الرياضي لقانون كراهام للتتدفق حسب المعادلة 2-25 وكما يأتي:

$$\frac{1}{M} \propto \text{Rate} \quad 2-40$$

إن غاز الاركون (Ar) يتتدفق أسرع من غاز الكربتون (Kr) لذا فإن نسبة سرعتي تدفق الغازين ستكون كالتالي:

$$\frac{\text{Rate}_{\text{Ar}}}{\text{Rate}_{\text{Kr}}} = \frac{\sqrt{M_{\text{Kr}}}}{\sqrt{M_{\text{Ar}}}} \quad 2-41$$

وعليه يمكن أن يستخدم قانون كراهام للتتدفق لحساب الوزن الجزيئي لغاز

غير معلوم وذلك عند قياس سرعة تدفقه ومقارنتها مع سرعة التدفق لغاز آخر معلوم مثل غاز الهيليوم وكما يأتي:

$$\frac{\text{Rate}_X}{\text{Rate}_{\text{He}}} = \frac{\sqrt{M_X}}{\sqrt{M_{\text{He}}}} \quad 2 - 42$$

أو حسب الصيغة الآتية:

$$\left( \frac{\text{Rate}_{\text{He}}}{\text{Rate}_X} \right)^2 = M_{\text{He}} = M_X \quad 2 - 43$$

لقد تم التأكيد من صحة المعادلة 2-43 تجريبياً وكما موضح بالجدول 2-2 والذي يبين قسماً من النتائج التي حصل عليها كراهام ومقارنتها بالنتائج العملية حيث يظهر تقاربها كثيراً.

**جدول 2-2 السرع النسبية لتدفق بعض الغازات**

السرعة النسبية للتدفق		الوزن الجزيئي	الغاز
المحسوبة بموجب المعادلة 2-28	الملاحظة		
0.8087	0.8354	44	ثاني أكسيد الكربون
0.9510	0.9503	32	الأوكسجين
1.0146	1.0160	28	النتروجين
3.7994	3.6070	2	الهيدروجين

إن الظاهرة القريبة جداً من تدفق الغاز هي انتشار الغازات Diffusion of Gases، حيث أن ظاهرة الانتشار تمثل حركة دقائق الغاز خلال غاز آخر. إن مقارنة سرع انتشار الغازات تظهر بأنه يمكن وصفها كمياً بقانون كراهام وفق المعادلة الآتية:

$$\frac{1}{\sqrt{M}} \propto \text{Rate of diffusion} \quad 2 - 44$$

ويمكن تطبيق ما ذكر بالمعادلة 2-42 عن ظاهرة الانتشار عند المقارنة بين انتشار غازين.

## 10-2 نظرية التصادم : Collision Theory

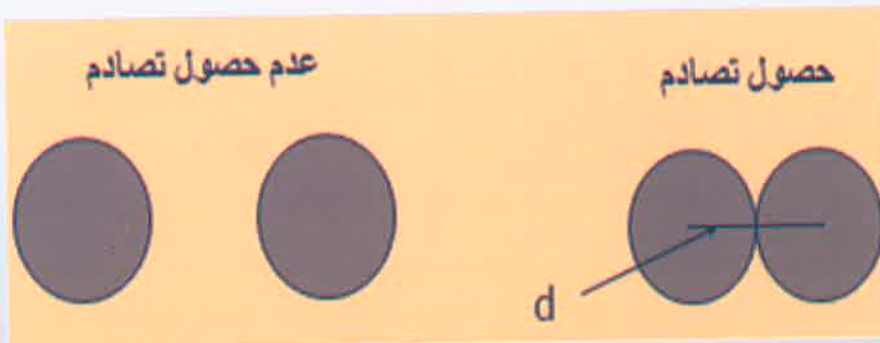
ذكرنا في بداية هذا الفصل إن هنالك تسميات أخرى للنظرية الحركية للغازات ومنها نظرية التصادم. تفترض هذه النظرية أن جزيئات الغاز عبارة عن كرات صلدة دائيرية ولا يوجد أي تداخل فيما بينها (عدم وجود قوى تنافر أو تجاذب).

هنالك نوعان من التصادم:

1- تصادم يحصل بين جزيئات الغاز المشابهة (تعود للغاز نفسه).

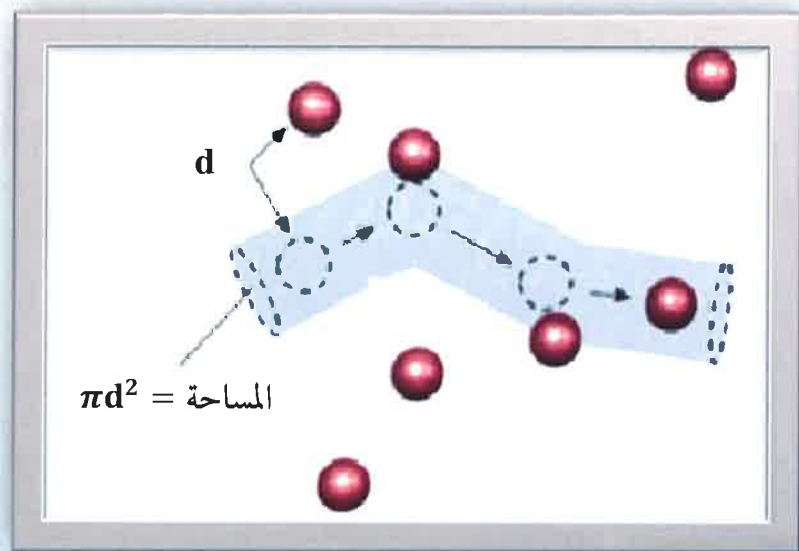
2- تصادم يحصل بين جزيئات الغاز المختلفة (تعود لغازات مختلفة).

قد يحصل التصادم بين جزيئة متحركة وآخرى ساكنة أو بين جزيئتين متحركتين. يعرف قطر التصادم Collision diameter، وهو صفة خاصة للجزيئه، بأنه المسافة بين مركزى الجزيئتين المتصادمتين ولأقرب تقارب بينهما (لاحظ الشكل 2-8).



شكل 2-8 قطر التصادم

إذا افترضنا أن جزيئه غاز كتلتها  $m$  وقطرها يساوي  $d$  تتحرك خلال اسطوانة قطرها يساوي  $d$  (نصف قطرها يساوي  $r$ ) تحتوي على عدد كبير من جزيئات الغاز نفسه التي هي في حالة السكون، فإنه في كل حالة تصادم س يتم خروج جزيئ من الجزيئات الساكنة إلى الخارج (لاحظ الشكل 2-9).



شكل 2-9 التصادم داخل أنبوبة افتراضية

إذا كان زمن تحرك الجزيئه داخل الأنبوة يساوي  $\Delta t$  فان تردد التصادم Collision frequency يساوي عدد التصادمات في وحدة الزمن. إن عدد الجزيئات الموجودة داخل الأنبوة يساوي حجم الأنبوة مضروبا في كثافة تواجد الجزيئات في داخل الأنبوة.

ان قيمة تردد التصادم الذي يحصل بين جزيئات الغاز المشابهة يمكن إيجاده من المعادلة الآتية:

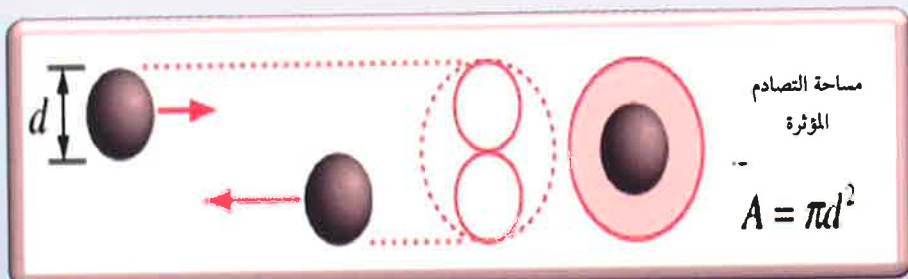
$$z_{11} = \sqrt{2\pi d_{11}^2 c_1 \rho_1}$$

في حين تكون قيمته عند حصول التصادم بين جزيئات غازين مختلفين حسب المعادلة الآتية:

$$Z_{12} = \pi d_{12}^2 c_{12}^2 \rho_2 \quad 2-46$$

يتضح من المعادلتين 2-45 و 2-46 أن تردد التصادم يزداد بزيادة درجة الحرارة عند بقاء الحجم ثابتاً، وذلك لأن أي زيادة بدرجة الحرارة يؤدي إلى ازدياد سرعة الجزيئات. إن زيادة الضغط تؤدي كذلك إلى زيادة تردد التصادم بالرغم من بقاء سرع الجزيئات ثابتاً وذلك بسبب زيادة كثافة تواجد الجزيئات. إن قيمة  $Z$  لجزيئة النتروجين عند  $25\text{ م}$  وضغط  $1\text{ جو تساوي } 10^9 \text{ S}^{-1}$ ، وهذا يعني بان جزيئة ما من هذا الغاز تتصادم 7 مليارات تصادم بكل ثانية.

الشكل 2-10 يوضح المقطع العرضي المؤثر للتصادم ويرمز له بالرمز  $\sigma$ ، وهو يمثل مساحة التصادم المؤثرة Effective collision area ويسمى كذلك المقطع العرضي للتصادم.



شكل 2-10 المقطع العرضي للتصادم

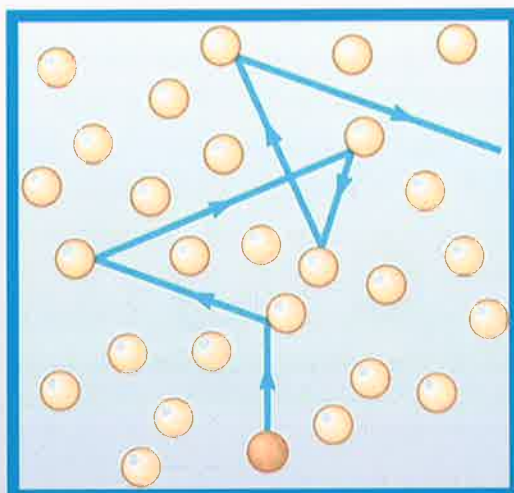
المجدول 2-3 يبين المقطع العرضي للتصادم لبعض الجزيئات.

جدول 2-3 المقطع العرضي للتصادم

$\sigma / \text{nm}^2$	الجزيئة
0.93	الكلور
0.88	البترزين
0.52	ثاني اوكسيد الكاربون
0.46	الميثان
0.43	النتروجين
0.40	الاوكسجين
0.36	الاركون
0.27	اهيدروجين
0.21	الميليوم

## 11-2 متوسط المسار الحر The Mean Free Path

يعرف متوسط المسار الحر The mean free path بأنه متوسط المسافة التي تقطعها الجزيئة بين التصادمات ويرمز له بالرمز  $\lambda$ .



شكل 2-11 متوسط المسار الحر

إذا كان تردد تصادم الجزيئه يساوي  $Z$  فإنها سستغرق زمنا يساوي  $1/Z$  من أول تصادم لها حتى آخر تصادم وستكون المسافة التي قطعتها تساوي  $c \times 1/Z$  وعليه فان متوسط المسار الحر للجزيئه سيساوي:

$$\lambda = \frac{c}{Z} \quad 2-47$$

$$\lambda = kT / \sqrt{2\sigma P} \quad 2-48$$

ان مضاعفة الضغط تؤدي إلى اختزال قيمة متوسط المسار الحر إلى النصف. إن متوسط المسار الحر لجزيئه غاز النتروجين عند ضغط 1 جو يساوي 70 نانومتر، أي انه اكبر حوالي ألف مرة من قطر الجزيئه. المعادلة 2-48 تبين وجود تناسب طردي مابين قيمة متوسط المسار الحر ودرجة الحرارة عند ثبوت الحجم، ولكن التناسب العكسي مع الضغط يؤدي بالنتيجة النهاية إلى اختزال تأثير درجة الحرارة على قيمة متوسط المسار الحر.

ان المسافة التي تقطعها الجزيئه مابين التصادمات يتم حسابها بعدد الجزيئات الموجودة في حجم معين من الغاز وليس بالسرعة التي تتحرك بها الجزيئات. ان مقارنة قيمة متوسط المسار الحر بقطر الجزيئه، حيث ان:

$$\lambda \gg d$$

يوضح بان المسافات البينية بين جزيئات الغاز كبيرة جدا.

## 2-12 الغاز الحقيقي: Real Gas

لقد سبق وأن تم تعريف الغازات المثالية بأنها تلك الغازات التي تطبق عليها المعادلة العامة للغازات ( $PV = nRT$ )، لكل الضغوط ودرجات الحرارة. في الحقيقة لا يوجد هنالك غاز مثالي فإن مكونات الغازات تبدي حيواناً واضحاً عن الصفات المثالية. أن الغازات مثل الهيدروجين والنتروجين وثاني أوكسيد

الكاربون لا تتطبق عليها معادلة الغازات المثالية فلذلك تعد غير مثالية أو ما تسمى بالغازات الحقيقة Real gases.

لا تخضع الغازات الحقيقة بصورة دقيقة لقوانين الغاز المثالي. عند الضغوط الواطئة ودرجات الحرارة العالية (ليست عالية جداً ولكن باعتدال) تخضع الغازات الحقيقة وبصورة تقريرية إلى قوانين بويل وشارل وغایلوساك وفرضية افوكادرو بموجب معادلة الحالة لمول واحد من الغاز. ولكن عند زيادة الضغط وهبوط درجة الحرارة يكون الانحراف عن السلوك المثالي واضحاً.

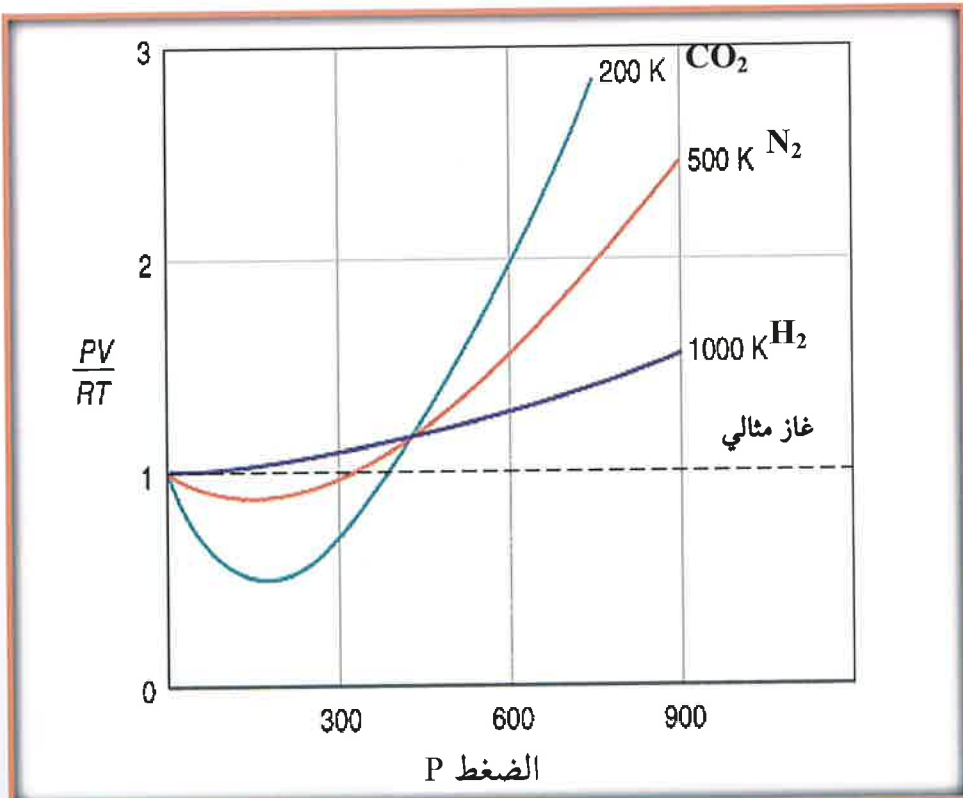
يبين الشكل 2-12 انحراف غازات النيتروجين والميدروجين بدرجة الصفر المئوي وثاني أوكسيد الكاربون بدرجة 40 مئوي عن السلوك المثالي، علماً بأن قيمة حاصل ضرب الضغط بالحجم عند ضغط جو واحد تعد مساوية إلى واحد في كل حالة.

يعمل الخط المستقيم المنقط في الشكل 2-12 خصوص الغاز لقوانين الغاز المثالي. يوضح الشكل بأن الغازات الحقيقة تظهر انحرافات ليست قليلة عن السلوك المثالي وبخاصة عند الضغوط العالية، ولكن عندما يكون الضغط أقل من ضغط جوي واحد أو ما يساويه فإن الانحراف يكون قليلاً. في حالة غاز الميدروجين فإن الانحراف يزداد بصورة مستمرة مع زيادة الضغط بالمقارنة مع الغازين الآخرين. غاز النتروجين يظهر انحرافاً سلبياً ثم تبعه الزيادة عند ارتفاع الضغط وتزداد قيمة الانحراف السلبي لغاز ثاني أوكسيد الكاربون في البداية ثم يرجع للارتفاع عند الضغوط العالية.

يتشابه سلوك غازي النيون والميليوم مع غاز الميدروجين بدرجات الحرارة الاعتيادية، وعند هبوط درجات الحرارة يتغير شكل المنحنى لكل حالة. وفي النهاية يصبح شبيهاً حالة غازي النيتروجين وثاني أوكسيد الكاربون المبينة

## بالشكل 2-12.

عند الدرجات الحرارية العالية نوعاً ما تصبح منحنيات غازي النتروجين وثاني أوكسيد الكاربون والغازات الأخرى شبيهة بمنحنيات الهيدروجين والمهيليوم والنيون عند درجات الحرارة الاعتيادية.



الشكل 2-12 انحراف الغازات الحقيقة عن السلوك المثالي

أما دقة قاعدة أو فرضية أفو كادرو فيمكن اختبارها بتعيين الحجم الذي يشغله مول واحد من الغاز بدرجة الصفر المئوي وضغط جو واحد، فإذا كان القانون ينطبق بدقة فإن حجم الغاز لا يعتمد على طبيعة الغاز، ولكن المعلومات

الموجودة في الجدول 4-2 تثبت عكس ذلك حيث يبين الجدول بأن أكبر أخراف ظهره الغازات الأسهل تسليلاً وهم غازاً الامونيا وكلوريد الايثيل.

#### جدول 4-2 اختبار قانون أو فرضية افوكادرو

الغاز	الوزن الجزيئي	حجم مول واحد باللتر (أو دسم <sup>3</sup> ) و بدرجة الصفر المئوي وضغط جو واحد
الميدروجين	2.016	22.427
النيتروجين	28.020	22.405
الاوكسجين	32.000	22.394
ثاني اوكسيد الكاربون	44.010	22.264
الامونيا	17.030	22.84
كلوريد الايثيل	50.490	21.879

إن الانحراف عن السلوك المثالي يزداد بنقصان درجة الحرارة وزيادة الضغط، وبقياس الحجم الذي يشغل مول واحد من الغاز بدرجة الصفر المئوي وضغط مختلف ثم تقدير قيمة حاصل ضرب الضغط بالحجم استقرايا (Extrapolation) إلى قيمة ضغط الصفر، حيث وجد بأن حجم مول واحد من الغاز المثالي بدرجة الصفر المئوي وضغط جو واحد مساوياً إلى 22.414 لتر.

عندما يكون الضغط بمحدود ضغط جو واحد أو أقل ودرجة الحرارة لا تقترب من درجة حرارة تسيل الغاز تصبح الانحرافات عن قوانين الغاز المثالي متساوية إلى نسبة قليلة جداً. تحت هذا الظروف يمكن استخدام معادلة الحالة والمعادلات ذات العلاقة بصورة تقريرية لعمل بعض الحسابات بهذا

الشأن، ويقول ( $PV = RT$ ) على النتائج بهذا الخصوص عند ضغوط أوسطاً ودرجات حرارية أعلى.

ستناقش بعض العوامل التي سنرى أنها تعانى حيوداً واضحاً في الغازات الحقيقة:

### ١- معامل الانضغاطية Compressibility factor

يعرف معامل الانضغاطية حسب المعادلة الآتية:

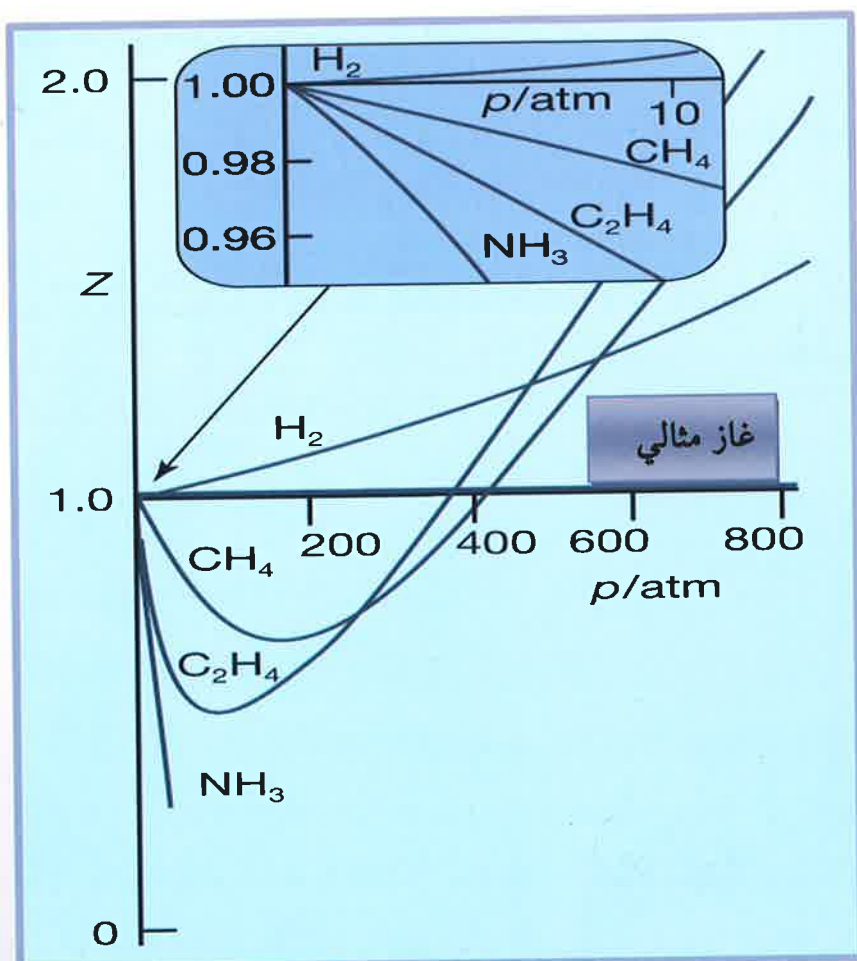
$$Z = PV/nRT$$

2 – 49

ويكون هذا العامل مساوياً إلى ١ في الغازات المثالية وإن الحيود عن هذا الرقم هو المقياس للانحراف عن التصرف المثالي.

إن الحيود عن الخواص المثالية تحدده درجة الحرارة والضغط. يوضح الشكل 2-13 العلاقة ما بين معامل الانضغاطية والضغط لمجموعة من الغازات ويلاحظ بأن هنالك حيوداً عن قيمة (1) لمعامل الانضغاطية وأن هذا الحيود باتجاهين حيث تمثل الخطوط العليا الحيود الإيجابي عن القيمة التي يعطيها الغاز المثالي بينما تمثل الخطوط السفلية الحيود السلبي عن ذلك.

إن الحيود الإيجابي يعني بأن قوى التنافر ما بين الجزيئات هي الغالبة في حين أن الحيود السلبي يعني بأن هنالك تجاذباً ما بين جزيئات الغاز.

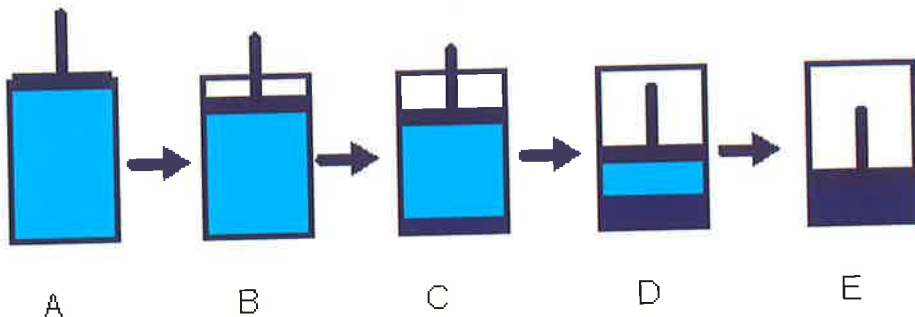


شكل 2-13 علاقة معامل الانضغاطية بالضغط لمجموعة من الغازات في درجة حرارة الصفر المثوي

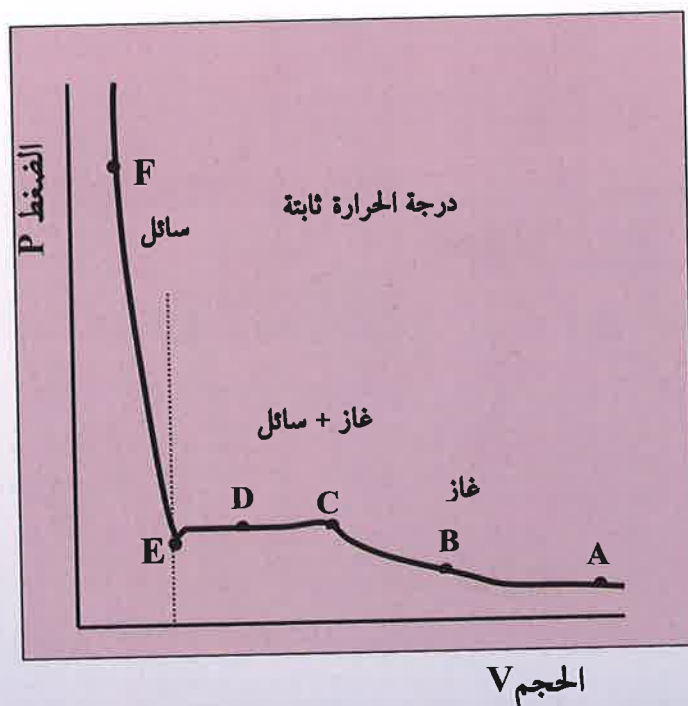
## 2- الدرجة الحرجة : Critical Point

يمكن ان تسيل الغازات عند زيادة الضغط وبدون ان تخفض درجة الحرارة. المخطط الموضح في الشكل 2-14 يبين تسيل الغاز عند درجة حرارية

ثابتة حيث يقل حجم الغاز كلما ازداد الضغط حتى يتحول كل او جزء من الغاز الى الحالة السائلة. الشكل 2-15 يبين العلاقة ما بين ضغط الغاز وحجمه وبثبوت درجة الحرارة ويسمى مخطط التماثل الحراري لتسیيل الغازات.



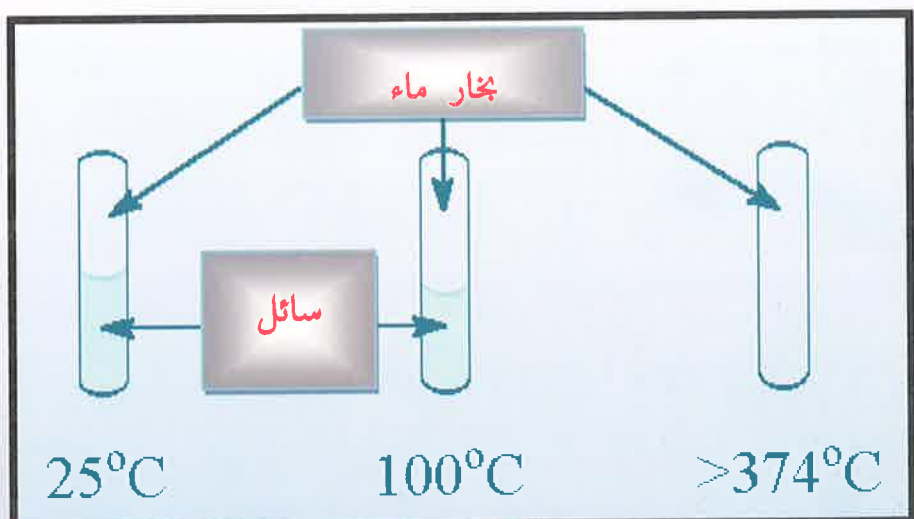
الشكل 2-14 تسیيل الغاز عند درجة حرارية ثابتة



شكل 2-15 مخطط التماثل الحراري لتسیيل الغازات

يمكن، كذلك، تسيل الغازات عند زيادة الضغط وتخفيض درجة الحرارة ويمكن تسيل بعض الغازات مثل ثاني أوكسيد الكاربون في درجة حرارة الغرفة عند زيادة الضغط ولكن عند وصول درجة الحرارة إلى 304.16 كلفن لا يمكن تسيل الغاز مهما كان الضغط المسلط عليه.

تسمى هذه الدرجة بدرجة الحرارة الحرجة (Critical Temperature). تعرف درجة الحرارة الحرجة بأنها الدرجة الحرارية التي لا يمكن فوقها تحويل البخار إلى سائل مهما كان الضغط المسلط على ذلك الغاز (في بعض الأحيان يمكن أن يتحول إلى صلب عند استخدام ضغط كاف ولكن لا يتحول إلى سائل). الشكل 2-16 يوضح أنبوبة اختبار تحتوي على الماء عند درجات حرارية مختلفة، ويتبين من الشكل أن الأنبوة التي تكون درجة حرارتها  $374^{\circ}\text{C}$ ، وهي أعلى من الدرجة الحرارية الحرجة لا يوجد سائل الماء وإنما يوجد بخار الماء فقط.



شكل 2-16 نماذج من الماء عند درجات حرارية مختلفة

المدول 2- 5 يبين الدرجة الحرارية الحرجة لبعض المواد.

### جدول 2-5 درجات الحرارة الحرجة لبعض المواد

المادة	درجة الحرارة الحرجة (°C)
$\text{NH}_3$	132
$\text{O}_2$	-119
$\text{CO}_2$	31.2
$\text{H}_2\text{O}$	374

إن الضغط الحرّج Critical Pressure يمثل الضغط البخاري للمادة عند الدرجة الحرارية الحرجة. المدول 2-6 يبين الضغط الحرّج لبعض المواد المعروفة عند الدرجة الحرارية الحرّج.

### جدول 2-6 الضغط الحرّج لبعض المواد

المادة	الضغط الحرّج (atm)
$\text{NH}_3$	111.5
$\text{O}_2$	49.7
$\text{CO}_2$	73.0
$\text{H}_2\text{O}$	217.7

في الاشكال التي تعبّر عن العلاقات الترموديناميكية لمادة معينة يستخدم مصطلح النقطة الحرّج Critical point، وتعرف النقطة الحرّج بأنّها النقطة التي تكون فيها المادة عند الدرجة الحرارية الحرّج والضغط الحرّج.

الحجم المولاري الحرّج Critical molar volume لا يساوي حجم مول واحد من المادة عند الدرجة الحرارية الحرّج والضغط الحرّج.

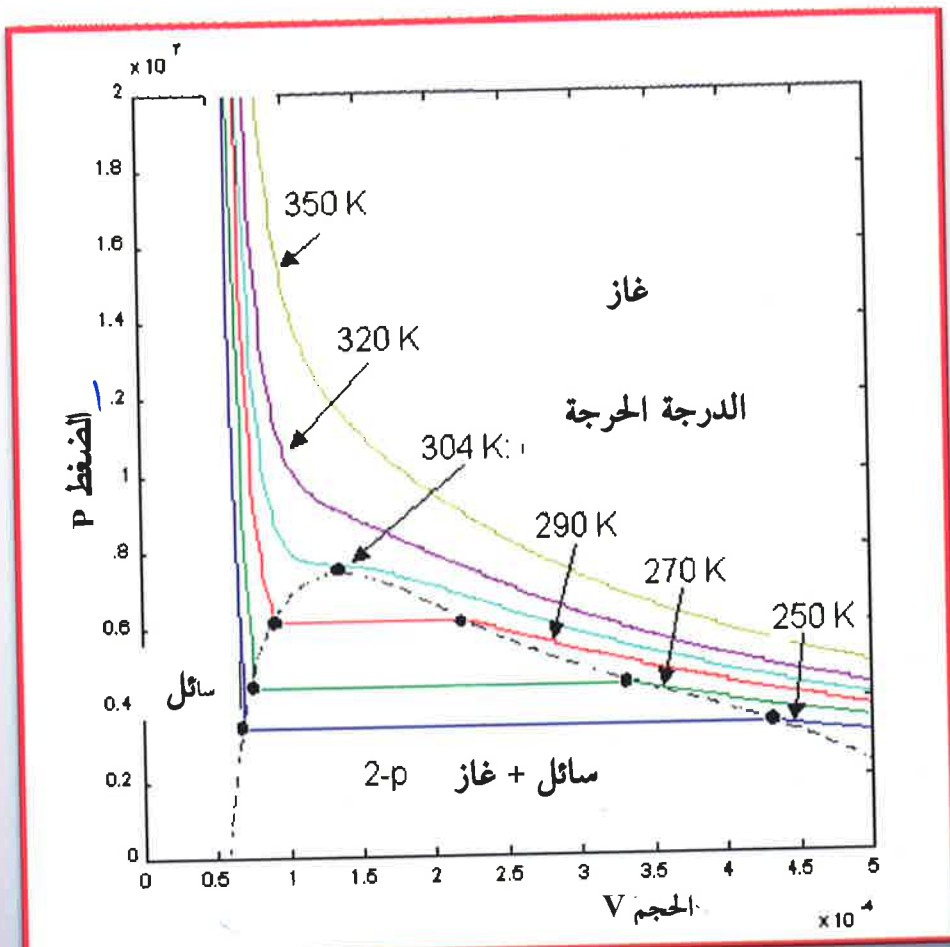
يوضّح الشكل 2-17 التمايل الحراري (ثبوت درجة الحرارة) لنموذج غاز

حقيقي. يلاحظ بان النقطة الحرجة هي نقطة انقلاب وعليه فإن معادلة تغير الضغط الى الحجم بثبوت درجة الحرارة تكون على الشكل الآتي:

$$(\partial P | \partial V)_T = 0 \quad 2 - 50$$

$$(\partial P^2 | \partial V^2)_T = 0 \quad 2 - 51$$

□



شكل 2-17 التمايل الحراري لنمذج غاز حقيقي ( $\text{CO}_2$ )

## 2-13 الشذوذ عن القانون العام للفازات وتأثير قوى التجاذب والتنافر

**Deviation from the general law of gases and the effect of attractive and repulsive forces**

اشتقت قوانين الغاز المثالي من النظرية الحركية استناداً إلى نقطتين مهمتين: الأولى إهمال حجم الجزيئات بالمقارنة مع حجم الغاز الكلي، والثانية عدم تجاذب الجزيئات مع بعضها البعض. ولأن كلتا النقطتين لا يمكن تطبيقهما على الغازات الحقيقة لذا تظهر انحرافاً عن السلوك المثالي، وبالإمكان اختزال حجم الغاز بواسطة زيادة الضغط والتبريد حتى يتم تسليمه ثم يتصلب في النهاية. ففي الحالة الصلبة هنالك مقاومة ملحوظة لأية محاولة أخرى في الانضغاط، ومن الواضح أن جزيئات الغاز لها حجم يمكن تقديره ومن المحتمل أن يكون بنفس درجة الحجم المحتل لجزيئات معينة في الحالة الصلبة.

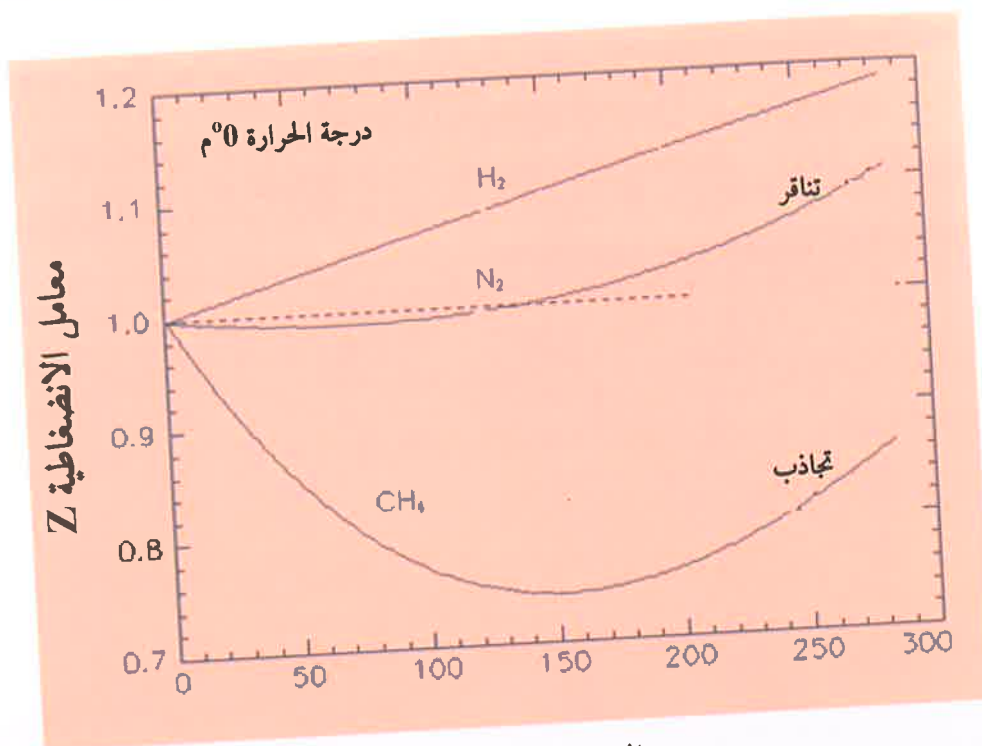
إذا كانت جزيئات الغاز لا تجذب بعضها البعض فإن تسليم الغازات يصبح مستحيلاً، ولكن في الحقيقة يمكن لأي غاز أن يتحول إلى سائل باستخدام درجات الحرارة الواطئة والضغط العالية.

إن إحدى الخواص الجوهرية للسائل هي التلاصق أو التماسك والتي تعزى إلى التجاذب بين الجزيئات. إن ظاهرة التجاذب الجزيئي واضحة جلية في الغاز كما هو الحال في السائل، وهناك دليل مباشر على وجود التجاذب حصل عليه العلман جول وتومسون سنة 1852 م عندما أمرر تياراً من الغاز بضغط ثابت خلال أنبوب يحتوي على سداد مسامي (Porous plug) من الحرير أو القطن الماص، إذ لوحظ بأن الغاز المنبع من السداد بصورة عامة يكون أبرد من الغاز الداخل للأنبوب.

إن تغير درجة الحرارة المعروفة بتأثير جول وتومسون (Joule and Thomson)

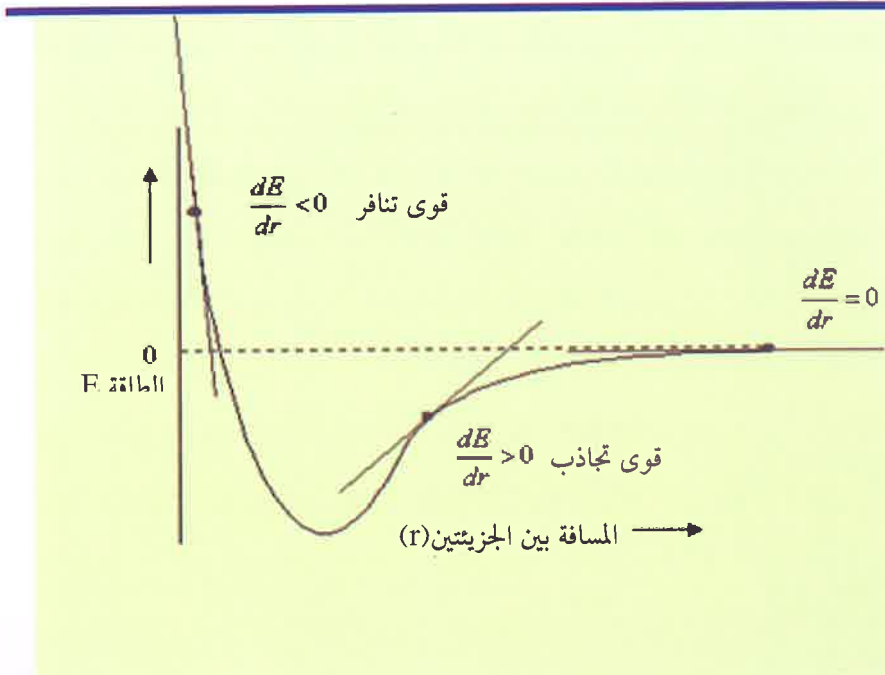
(Thomson effect) هو السبب بنقصان السرعة ومن ثم الطاقة الحركية للجزيئات، ويحصل هذا لأن الطاقة يجب أن تفقد للتغلب على قوى التجاذب الجزيئية عندما يتمدد الغاز خلال مروره عبر السداد المسامي، هذا وفضلاً عن تجاذب الجزيئات مع بعضها البعض يجب أن تكون هنالك قوى تناfar بين الجزيئات وهذا واضح من وجود قطر تصادم معرف ويثل هذا القطر بوجود المسافة التي بها تصبح قوى التناfar كبيرة بحيث يعكس اتجاه حركة الجزيئات، أي من نحو بعضها البعض ثم تتجه بعيداً عن بعضها البعض. تنخفض قوى التناfar بسرعة عالية جداً عند زيادة البعد بين الجزيئات وأسرع بكثير من انخفاض قوى التجاذب. ونتيجة لهذا يتكون تجاذب بين جزيئين عندما تكون المسافة بينهما مسافة معينة وتتناfar عندما تكونان قرييتين جداً من بعضهما البعض.

الشكل 2-18 يوضح أن قوى التجاذب والتناfar تساوي صفر عندما يكون معامل الانضغاطية مساوياً إلى 1 (حالة الغاز المثالي كما تم توضيحه سابقاً). إن ارتفاع قيمة معامل الانضغاطية مع ازدياد الضغط إلى أكثر من 1 لبعض الغازات يعني زيادة قوى التناfar ما بين الجزيئات وهذا ما يوضحه تصرف غاز الهيدروجين. على العكس من ذلك هنالك غازات أخرى مثل غاز الميثان حيث أن معامل الانضغاطية يكون أقل من 1 عند زيادة الضغط ولحد 150 جو، وهذا يعني بأن جزيئاتها تتجذب إلى بعضها البعض. نلاحظ أن غاز النتروجين يمتلك الخصائص ولكن عند ضغوط مختلفة، حيث تتجذب جزيئات النتروجين مع بعضها البعض كلما تم زيادة الضغط ولغاية 140 جو، وبعدها تبدأ بالتناfar بعد ان تتقاطع مع خط الغاز المثالي عند ضغط 140 جو.

الضغط  $P$ 

الشكل 2-18 تأثير قيمة معامل الانضغاطية على قوى التجاذب والتنافر

تمثل القوى بين الجزيئات (أو الذرات) عادة بدلالة مخطط الطاقة الكامنة (الشكل 2-19) الذي يمثل رسميا بيانا بين الطاقة الكامنة المشتركة لجزيئين من الغاز كدالة للمسافة بينهما.



شكل 2-19 خطط الطاقة الكامنة لجزيئين من الغاز

يمثل المنحنى العلوي في الشكل 2-19 منحنى التنافر، ولكي تجذب الجزيئان قريباً من بعضهما البعض يجب أن يبذل شغل (Work) مضاداً لقوة التنافر ولذلك تزداد الطاقة الكامنة للنظام عند مسافة معينة يرتفع المنحنى بمقدمة بينما أن هناك زيادة سريعة بطاقة التنافر. أما تأثير التجاذب على الطاقة الكامنة فمبين بالمنحنى المنقط فبسبب ازدياد قوة التجاذب تزداد الطاقة الكامنة - ولكن بالسالب - كلما اقتربت الجزيئان من بعضهما البعض. ويتبيّن من شكل المنحنيات أن زيادة قوى التجاذب يكون أقل سرعة مع اقتراب الجزيئات مع بعضهما البعض من زيادة قوى التنافر. الطاقة الكامنة المشتركة النهائية للجزيئات موضحة بالمنحنى غير المنقط في الشكل 2-19 وتمثل مجموع قوى التنافر

والتجاذب. تغير التفصيلات الكمية لهذا المنحنى من جزيئات إلى أخرى ولكن الهيئة أو الشكل العام للمنحنى متساوية وبصورة عامة.

عند المسافات الكبيرة نسبياً تكون قيمة الطاقة الكامنة سالبة لذا يصبح تأثير التجاذب هو السائد. تزداد في البدء طاقة التجاذب النهائية عند اقتراب الجزيئين من بعضهما البعض ومن ثم عند مسافات جزيئية بينية أقرب من أقل ما في المنحنى يصبح تأثير التناحر واضحاً وتبدأ طاقة التجاذب النهائية بالنقصان مع نقصان المسافة بين الجزيئين. في النهاية عند مسافات جزيئية بينية صغيرة يلاحظ ازدياد الطاقة الكامنة النهائية بسرعة وتصبح قيمتها موجبة وهذا معناه أن قوى التناحر تكون هي المهيمنة.

عندما تصل المسافة بين الجزيئين بحيث تصبح الطاقة الكامنة متساوية إلى صفر، تتواءن قوى التناحر والتجاذب عندئذ تدعى هذه المسافة بقطر التصادم (Collision diameter).

## 2-14 معاملات القوة Virial Coefficients

الشكل 2-17 يوضح التمايل الحراري التجاري لثاني أوكسيد الكاربون. عند الحجوم المولارية الكبيرة وفي درجات الحرارة العالية فإن التمايل الحراري (Isothermal) للغاز الحقيقي (أو يسمى خط التحرار) لا يختلف كثيراً عن التمايل الحراري للغاز المثالي.

إن الاختلافات الصغيرة تشير إلى أن الغاز المثالي هو الحد الأول من شكل التعبير الرياضي للمعادلة:

$$PV_m = RT (1 + B'P + C'P^2 + \dots \dots)$$

2 - 52

إن مثل هذه التعبيرات البسطة كثيراً ما يتم استخدامها في الكيمياء الفيزيائية لتجنب التعقيد في الحسابات الرياضية حيث يتم اخذ الحد الأول فقط وإهمال الحدود الأخرى ومنها معادلة الغاز المثالي حيث يؤخذ فقط من المعادلة  $PV_m = RT$  مع إهمال لكل الحدود الأخرى.

إن الصيغة الأكثر استخداماً هي:

$$PV_m = RT \left( 1 + \frac{B}{V_m} + \frac{C}{V_m^2} + \dots \dots \dots \right) \quad 2 - 53$$

إن التعبيرين الرياضيين بالمعادلتين 2-52 و 2-53 هما صيغتين من معادلة الحالة للقوة Virial Equation State (أن كلمة Virial كلمة لاتينية تعني القوة) المعاملان  $B$ ،  $C$  وللذان يعتمدان على درجة الحرارة هما معاملان القوة الثانية والثالثة علماً بأن معامل القوة الأولى يساوي واحد. إن معامل القوة الثالث أقل أهمية من معامل القوة الثاني حيث أن:

$$\frac{C}{V_m^2} \ll \frac{B}{V_m} \quad 2 - 54$$

وهكذا بالنسبة إلى معاملات القوة الأخرى مثل  $F$ ،  $E$ ،  $D$  ..... الخ.

الجدول 2-7 يبين قيم المعامل الثاني للقوة لمجموعة من الغازات المعروفة بدرجتين حراريتين مختلفتين.

### جدول 2-7 قيم المعامل الثاني لقوة بعض الغازات

درجة الحرارة		الغاز
600k	273k	
11.9	-21.7	Ar
-12.4	-149.7	CO <sub>2</sub>
21.7	-10.5	N <sub>2</sub>
-153.7	-19.6	Xe

يمكن استخدام معادلة القوة لتوضيح نقطة مهمة وهي أنه بالرغم من أن

## الغازات المثالية والغازات الحقيقة

معادلة الحالة للغاز الحقيقي يمكن أن تتطابق مع معادلة الغاز المثالي عندما تقترب قيمة الضغط من الصفر ( $P \rightarrow 0$ ) فإنه ليس من الضروري أن تقترب جميع خواص الغاز الحقيقي من خواص الغاز المثالي عند نفس الشروط ( $P \rightarrow 0$ ).

على سبيل المثال إن قيمة  $\frac{dz}{dp}$  هي قيمة الميل عندما نرسم معامل الانضغاطية مقابل الضغط فإنه يساوي صفر بالنسبة للغاز المثالي (لأن قيمة  $Z$  تساوي 1 عند جميع الضغوط) ولكن للغاز الحقيقي فإنها تساوي:

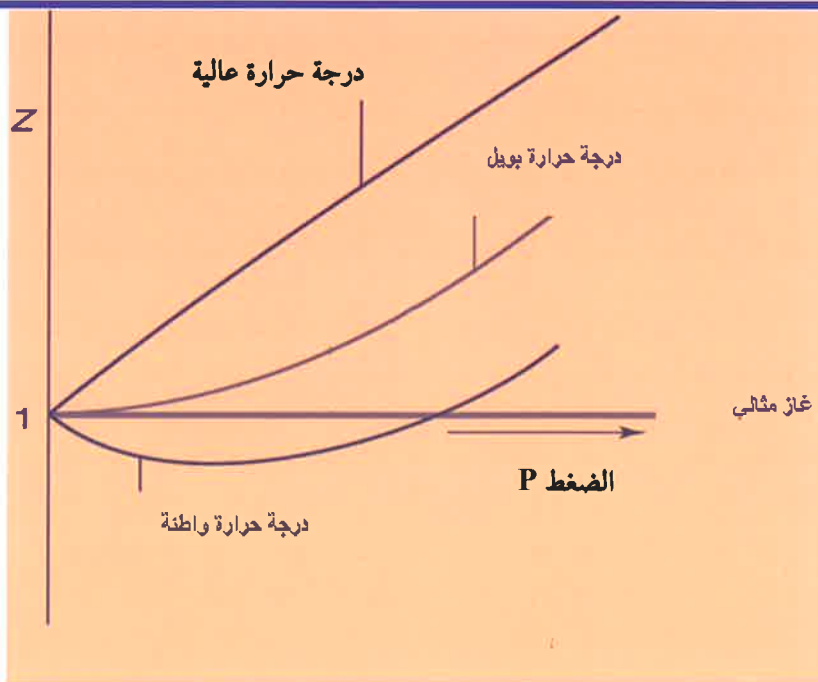
$$\frac{dz}{dp} = \bar{B} + 2pc + \dots \quad 2-55$$

وبالتالي فإن

$$\frac{dz}{dp} = \bar{B} (P \rightarrow 0). \quad 2-56$$

إن قيمة  $\bar{B}$  في المعادلة 2-56 ليس من الضروري أن تساوي صفر ومن ثم فإن قيمة الميل قد لا تساوي صفرًا. لأن جميع خواص الغازات تعتمد على مثل هذه الاشتراكات فإن خواص الغازات الحقيقة لا تتطابق مع خواص الغازات المثالية عند الضغوط الواطئة.

عندما نتفحص الشكل 2-20 نرى أنه بسبب اعتماد معاملات القوه على درجة الحرارة فيجب أن تكون هنالك درجة حرارة تكون عندها قيمة  $Z$  تقترب من القيمة واحد ( $1 \rightarrow Z$ ) وبمقداره صفر عند الضغوط الواطئة إن درجة الحرارة هذه والتي عندها تتطابق خواص الغاز الحقيقي مع الغاز المثالي عندما تقترب فيه الضغوط من الصفر ( $0 \rightarrow P$ ) تسمى درجة حرارة بويل (Boyle Temperature)  $T_B$ .



**شكل 2-20** تغير معامل الانضغاطية مع ضغط الغاز عند درجات حرارية مختلفة بناءً على ما ذكر في أعلاه فإن قيمة  $B$  في المعادلة  $2-53$  تساوي صفر لتصبح المعادلة  $PV_m = RT$  وكذلك في المعادلة  $2-56$  وبذلك فإن قيمة  $B$  ستتساوى صفرًا أيضًا. الجدول  $2-8$  يوضح قيم  $T_B$  لبعض الغازات المعروفة.

**جدول 2-8 الثوابت الحرجة لبعض الغازات**

$T_B/K$	$Z_c$	$T_c/K$	$V_c/Cm^3 mol^{-1}$	$P_c/atm$	الغاز
411.5	0.272	150.7	75.3	48.0	Ar
714.8	0.274	304.2	94.0	72.9	$CO_2$
22.64	0.305	5.2	57.8	2.26	He
405.9	0.308	154.8	78.0	50.14	$O_2$

## 15- التكثيف : Condensation

إذا قمنا بضغط الغاز في النقطة A من الشكل 15-2 بثبوت درجة الحرارة وذلك بكبس الغاز سيرتفع ضغط الغاز خاصعاً وبصورة تقريرية إلى قانون بويل. سيحيد تصرف الغاز بصورة كبيرة عن القانون عندما يتم تقليل ضغط الغاز إلى B. عند النقطة C حيث يكون ضغط غاز  $\text{CO}_2$  (كما في الشكل 15-2) حوالي 60 جو يشد الغاز كلياً عن خواص الغاز المثالي حيث ينزل المكبس إلى الأسفل بدون زيادة بالضغط. تمثل هذه الحالة بالخط الأفقي CDE حيث نلاحظ هنا لك اختزالاً كبيراً بالحجم مع بقاء الضغط ثابتاً. عند اختزال الحجم من C إلى D إلى E فإن كمية السائل المتكونة ستزداد وسوف لن تبق أية مقاومة للمكبس حيث أن الغاز قد استجاب لعملية التكثيف.

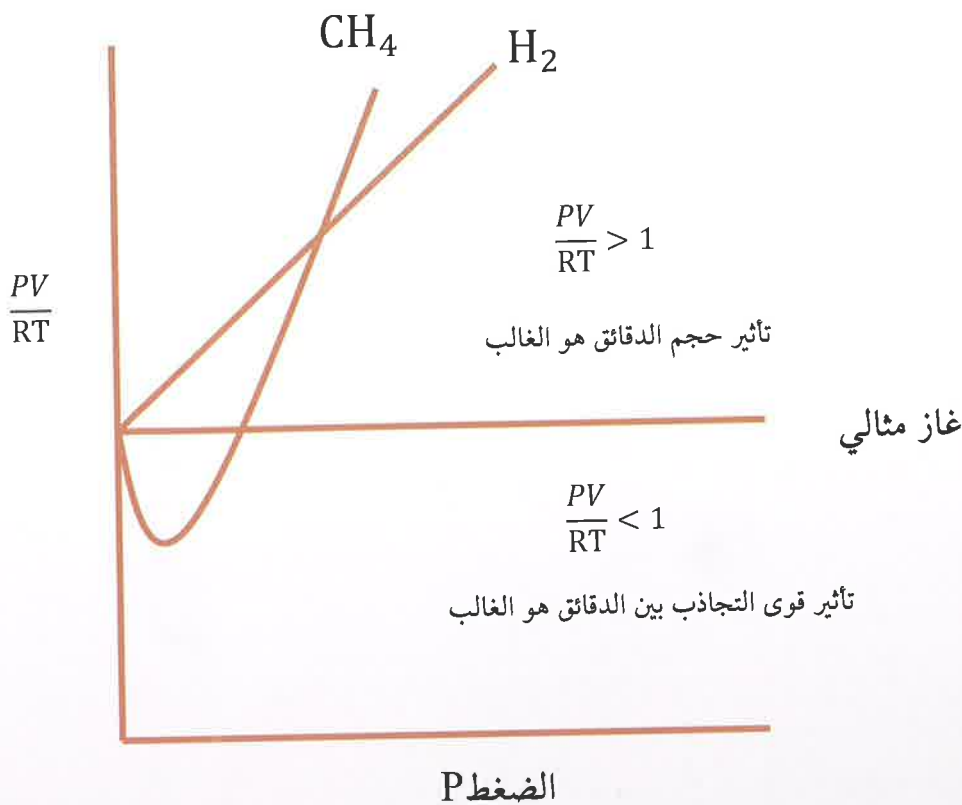
إن الضغط عند الخط CDE حيث يكون السائل والبخار في حالة اتزان يسمى بالضغط البخاري Vapor pressure. عند النقطة E يكون الغاز قد تحول كلياً إلى سائل وإن موقع المكبس سيكون فوق سطح السائل. هذا يعني بأن أي اختزال بالحجم بعد النقطة E سيتطلب منا ضغطاً عالياً جداً حيث نلاحظ من الشكل أن الاختزال البسيط للحجم من E إلى F يتطلب ضغطاً عالياً جداً، وهذا ما يفسر صعوبة انضغاط السوائل.

## 16- معادلة فان در فالز The van der Waal's Equation

لاحظ الفيزيائي الألماني جوهانز وايدرك فان در فالز (1837-1923م) ضرورة إدخال متغيرين على معادلة الغاز المثالي لكي نستطيع أن نفسر حالة تسرب الغازات (لكي يصبح الغاز حقيقياً).

لقد ذكرنا سابقاً بأن قيمة  $\frac{PV}{RT}$  تساوي واحداً للغاز المثالي وكما موضحة

بالشكل 21-2



شكل 21-2 تأثير حجم الدقائق وقوى التجاذب

وجد عملياً أن هذه القيمة (قيمة  $\frac{PV}{RT}$ ) تكون أقل من واحد لبعض الغازات عند الضغوط العالية. فسرت هذه الحالة بسبب التجاذب بين دقائق الغاز، في حين وجد بأن القيمة تكون أكبر من واحد عند الضغوط العالية لغازات أخرى وقد فسرت هذه الحالة بسبب حجم دقائق الغاز.

عندما تأخذ بنظر الاعتبار قوى التجاذب بين دقائق الغاز وكذلك حجم كل دقيقة من دقائق الغاز (تم إهمالها حسب فرضيات النظرية الحرارية للغازات)، نرى بأنه من الضروري إجراء التصحيحات، التي وجدها فإن درفالز، يمكن معادلة الغاز المثالي لكي نصل إلى معادلة الغاز الحقيقي Real gas equation.

### 1- تصحيح الضغط Correction of Pressure

يُبيّن إحدى فرضيات النظرية الحرارية للغازات عدم وجود أي قوى تجاذب بين دقائق الغاز. إن هذا الافتراض غير دقيق حيث أنه بالرغم من أن القوى الرابطة بين هذه الدقائق Intermolecular أصغر جداً بالمقارنة مع القوى البينية Intramolecular. هذه الدقائق (قوى التناحر أيضاً هي قوى) ولكنها مؤثرة وفعالة عند تسهيل الغازات. إن وجود هذه القوى يعني أن جزءاً من الضغط المحسوب للغاز المثالي لم يأخذ بنظر الاعتبار وهو الضغط اللازم لغرض التغلب على هذه القوى، وعليه يجب أن نجري تصحيحاً للضغط وذلك بإضافة حد معين إلى الضغط الملحوظ Observed pressure وهذا الحد يساوي قوة التغلب على قوى التجاذب بين الجزيئات حيث أن:

ضغط الغاز المثالي = الضغط الملحوظ + قيمة التغلب على قوى التجاذب  
بين الدقائق

$$P = P_{\text{obs}} + \frac{an^2}{V^2}$$

2 - 57

إن قوى التجاذب بين الدقائق تتناسب تناهياً عكسياً مع الأسس السابعة لمسافات الفصل بين الجزيئات (بالنسبة للجزيئات غير القطبية) وتتناسب طردياً

مع مربع كثافة جزيئات الغاز. إن كثافة جزيئات الغاز تتناسب طردياً مع كمية الغاز ( $n$ ) وعكسياً مع حجم الغاز  $V$ .

إن مربع الكثافة يتناسب مع  $\frac{n^2}{V^2}$  وعليه اقترح فان درفالز إضافة الحد  $(\frac{an^2}{V^2})$  إلى ضغط الغاز المثالي لإجراء التصحيح اللازم. وبذلك يكون ضغط الغاز الحقيقي كما في المعادلة 2-57.

## 2- تصحيح الحجم : Volume Correction

افترضت النظرية الحركية للغازات إهمال حجم دقائق الغاز، حيث افترضت بأنها لا تشغل أي حجم في الفراغ. بالرغم من أن دقائق الغاز متناهية في الصغر وهي صغيرة جداً عند مقارنتها بالحجم الكلي للغاز ولكن حجمها بالحقيقة لا تساوي صفراء إطلاقاً.

إذا كان  $V$  يمثل حجم الغاز المثالي الذي فيه يتحرك الغاز ضمن الوعاء، فإن حجم الغاز الملاحظ Observed Volume والذي يمثل حجم الوعاء يجب أن يختزل بحد معين، ويسمى الحجم المشارك Covolume ويرمز له بالحرف (b). يساوي b تقريرياً أربعة أضعاف الحجم المشغول من قبل الغاز وقيمه تتناسب طردياً مع كمية الغاز ( $n$ ) وعليه فإن التصحيح سيكون الشكل الآتي:

$$V = V_{\text{obs}} - nb$$

2 - 58

يسمي كذلك الحجم المستثنى excluded volume، وهو الحجم الذي لا تستطيع الجزيئات التحرك ضمنه، والشكل 2-22 يوضح معنى هذا الحجم. وبذلك فإن معادلة فان درفالز للغاز الحقيقي ستأخذ الشكل الآتي:

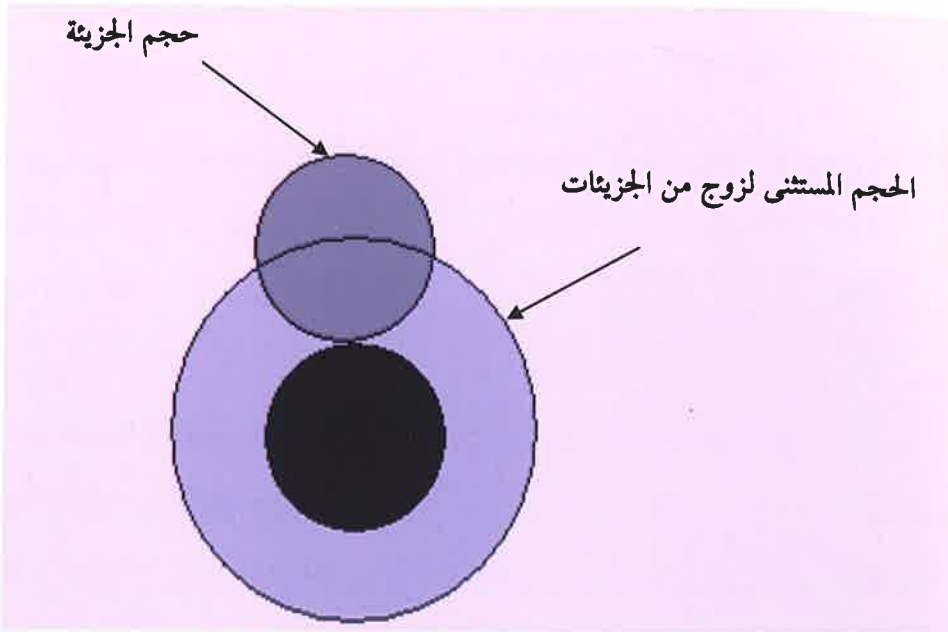
$$\left( P + \frac{an^2}{V^2} \right) (V - nb) = nRT$$

2 - 59

وللول واحد من الغاز ستكون:

$$\left( P + \frac{a}{V_m^2} \right) (V_m - b) = RT$$

2 - 60



شكل 2-22 حجم الجزيئه والحجم المستثنى

وإن قيمة الضغط ستكون:

$$P = \frac{RT}{V_m - b} - \frac{a}{V_m^2}$$

2 - 61

حيث أن  $a$  ،  $b$  هما ثابتان ويوضح الجدول 2-9 قيمًا مختلفة لهذين الثابتين لغازات مختلفة معروفة علمًا بأن القيم المذكورة لهما هي قيم تجريبية.

## جدول 2-9 قيم ثوابت فان در فالز لبعض الغازات

(b) لتر (دسم <sup>3</sup> ) مول <sup>1-</sup>	(a) لتر <sup>2</sup> (دسم <sup>6</sup> ) - ضغط مول <sup>2-</sup> جو	الغاز
0.02661	0.2444	الميدروجين
0.01709	0.2107	النيون
0.02370	0.03412	اهيليون
0.03219	1.3450	الاركون
0.03978	2.318	الكريبون
0.05105	4.194	الزينون
0.03183	1.360	اووكسجين
0.03913	1.390	النيتروجين
0.05622	6.493	الكلور
0.0400	1.490	اول اوكسيد الكاربون
0.04267	3.592	ثاني اوكسيد الكاربون
0.04278	2.253	الميثان
0.04100	3.80	كلوريد الميدروجين
0.03707	4.170	الامونيا
0.05714	4.471	الاثيلين
0.0510	4.400	الاستيلين
0.06380	5.489	الإيثان
0.03049	5.464	الماء
0.05600	6.700	ثاني اوكسيد الكبريت
0.1154	18000	البنترين

## 2-17 الخصائص الأساسية لمعادلة فان در فالز:

## The principals feature of van der Wall's Equation

الغازات والسوائل تتوارد سوية عند توازن قوى التماسك والتشتت.

ثوابت فان در فالز لا تعتمد على درجة الحرارة والضغط ولها قيمة خاصة لكل غاز من الغازات. ان الثابت  $a$  خاص بتصحيح الضغط ويمثل قيمة التجاذب بين دقائق الغاز، اما الثابت  $b$  فهو خاص بتصحيح الحجم وله ارتباط بحجم جزيئه الغاز، وكما يأتي:

$$P = P_{obs} + \frac{an^2}{V^2}$$



تجاذب

$$V = V_{obs} - nb$$



تنافر

هناك علاقة ما بين الثوابت الحرجة Critical Constants وثوابت معادلة فان در فالز.

عندما تكون درجة الحرارة اقل من الدرجة الحرجة فإن التمايل الحراري المحسوب يتراجع ما بين أعلى قيمة وأوطاً قيمة مارا بقيمة صفر. نستنتج من ذلك بأنه بإمكاننا أن نجد الثوابت الحرجة بحساب المشتقات ونجعلها تساوي صفر حيث تكون  $T = T_c$

$$\frac{dP}{dV_m} = -\frac{RT}{(V_m-b)^2} + \frac{2a}{V_m^3} = 0 \quad 2-62$$

$$\frac{d^2P}{dV_m^2} = \frac{RT^2}{(V_m-b)^3} - \frac{6a}{V_m^4} = 0 \quad 2-63$$

وبحل المعادلين أعلاه نحصل على:

$$V_c = 3b \quad P_c = \frac{a}{27b^2} \quad T_c = \frac{8a}{27Rb}$$

ومن الثوابت أعلاه بامكاننا حساب

$$Z_c = \frac{P_c V_c}{R T_c} = \frac{3}{8} \quad 2-64$$

## 2-18 معادلات الحالة الأخرى: Other Equations of State

هناك معادلات أخرى للحالة ويكثر استخدامها ومن أشهر هذه المعادلات:

### 1- معادلة بيرثلوث : Bertheot Equation

قام العالم دانيال بيرتلوت (Daniel Bertheot 1865-1927) بتطوير المعادلة الآتية:

$$\left(P + \frac{a}{V_m^2 T}\right) (V_m - b) = RT \quad 2-65$$

### 2- معادلة دايتي راسا : Dieterici Equation

قام العالم دايتي راسا عام 1899 بتقديم هذه المعادلة:

$$(P e^{-\frac{a}{V_m R T}}) (V_m - B) = RT \quad 2-66$$

حيث أن الثوابt  $a$ ,  $b$  هي لا تساوي بالضرورة ثوابt معادلة فان درفالز

## 3- معادلة كامبيرلينك ادينسي :Kamerlingh Onnes Equation

معادلة كامبيرلينك ادينسي هي احد معادلات القوة Virial Equation وهي معادلة قام باقتراحها العالم كامبيرلينك ادينسي عام 1901 وهي كالتالي:

$$PV = A + BP + CP^2 + DP^3 + \dots \quad 2 - 67$$

المعاملات B و C و D تسمى معاملات القوة الثانية والثالثة والرابعة في حين أن R يمثل معامل القوة الأولى.

## 4- معادلة بيياتي وبردكمان: Beattie – Bridgenan Equation

هذه المعادلة ايضا من معادلات القوة ثم اقترحها العالمان الامريكيان الاسكندر بيياتي وارسکار بردكمان وذلك عام 1927 وهي كالتالي:

$$P = \frac{RT[1 - (C/V_m T^3)](V_m + B)}{V_m^2} - \frac{A}{V_m^2} \quad 2 - 68$$

حيث أن:

$$A = A_0 \left( 1 - \frac{a}{V_m} \right) \quad 2 - 69$$

$$B = B_0 \left( 1 - \frac{b}{V_m} \right) \quad 2 - 70$$

وإن a و b و A و B و C ثوابت محدبة تجريبيا والجدول 2-10 يوضح قيم الثوابت الخمسة في هذه المعادلة إضافة إلى قيمة ثابت الغاز R حيث أنها تساوي  $145 \text{ J K}^{-1} \text{ mol}^{-1}$

## الغازات المثلالية والغازات الحقيقة

جدول 10-2 الثوابت المستخدمة في معادلة بياتي وبردكمان حيث

$$R = 8.3145 \text{ J K}^{-1} \text{ mol}^{-1}$$

C	b	B <sub>0</sub>	a	A <sub>0</sub>	الغاز
10 m <sup>3</sup> k <sup>3</sup> mol <sup>-1</sup>	10 <sup>-6</sup> m <sup>3</sup> mol <sup>-1</sup>	10 <sup>-6</sup> m <sup>3</sup> mol <sup>-1</sup>	10 <sup>-6</sup> m <sup>3</sup> mol <sup>-1</sup>	Patm <sup>6</sup> mol <sup>-2</sup>	
0.0045	0.0	14.00	39.84	0.00219	He
0.101	0.0	20.60	21.96	0.02153	Ne
5.99	0.0	39.31	23.28	0.13078	Ar
0.0504	-43.59	20.96	-5.06	0.02001	H <sub>2</sub>
4.20	-6.91	50.46	26.17	0.1362	N <sub>2</sub>
4.80	4.208	46.24	25.62	0.1511	O <sub>2</sub>
66.00	72.35	104.76	71.32	0.5728	CO <sub>2</sub>
12.83	-15.87	55.87	18.55	0.23071	CH <sub>4</sub>
33.33	119.54	454.46	124.26	3.1692	(C <sub>2</sub> H <sub>5</sub> ) <sub>2</sub> O

## امثلة الفصل الثاني

**مثال 2-1:** قارن بين الجذر التربيعي لمتوسط مربع السرعة لجزيئات النتروجين وذرات الهيليوم عند 298 كلفن.

بالنسبة للنتروجين:

$$rms = \sqrt{\frac{3(8.314)(298)}{0.028}} \\ = 515 \text{ m/s}$$

اما بالنسبة للهيليوم:

$$rms = \sqrt{\frac{3(8.314)(298)}{0.004}} \\ = 1363 \text{ m/s}$$

**مثال 2-2:** اذا علمت ان الجذر التربيعي لمتوسط مربع سرعة جزيئات النتروجين يساوي  $515 \text{ m s}^{-1}$  عند 298 كلفن. احسب قيم السرع الأخرى عند نفس الظروف باستخدام نسب السرع الى بعضها.

$$\frac{\bar{C}}{rms} = \frac{0.92}{1} \\ \bar{C} = 0.92 rms \\ = 0.92 \times 515 \\ = 473.8 \text{ m s}^{-1}$$

$$\frac{\alpha}{rms} = \frac{0.82}{1}$$

$$\bar{C} = 0.82 rms$$

$$= 0.82 \times 515$$

$$= 422.3 m s^{-1}$$

**مثال 2-3:** احسب النسبة  $\frac{\bar{C}}{rms}$  لجزيئات الغاز السبعة المبينة في الجدول:

Molecule	1	2	3	4	5	6	7
Speed / m s <sup>-1</sup>	370	400	380	420	300	440	480

$$\bar{C} = (370 + 400 + 380 + 420 + 300 + 440 + 480) / 7 = 398 m s^{-1}$$

$$rms = (370^2 + 400^2 + 380^2 + 420^2 + 300^2 + 440^2 + 480^2) / 7$$

$$= 402 m s^{-1}$$

$$\frac{\bar{C}}{rms} = 398 / 402 = 0.99$$

**مثال 2-4:** احسب نسبة سرعة تدفق غاز الهيليوم إلى سرعة تدفق غاز ثاني أوكسيد الكبريت عند نفس الدرجة الحرارية والضغط.

$$\frac{R_{He}}{R_{SO_2}} = \sqrt{\frac{M_{SO_2}}{M_{He}}}$$

$$= \sqrt{\frac{64.1}{4.0}}$$

$$= \sqrt{16} = 4 \therefore R_{He} = 4R_{SO_2}$$

**مثال 2-5:** يتذبذب غاز الهيدروجين خلال ثقب صغير بمقدار 5.2 مرة أسرع من غاز مجهول بنفس الحجم ومن خلال نفس الثقب عند نفس الدرجة الحرارية والضغط. احسب الوزن الجزيئي للغاز المجهول.

$$\frac{R_{H_2}}{R_x} = \sqrt{\frac{M_x}{M_{H_2}}}$$

$$5.2 = \sqrt{\frac{M_x}{2.0}}$$

$$27 = \frac{M_x}{2.0}$$

$$M_x = 27 \times 2 = 54 \text{ g/mol}$$

مثال 2-6: جد قيمة  $\frac{Z_1}{Z_2}$  و  $\frac{C_1}{C_2}$  لغاز مثالي عند

أ- تضاعف درجة حرارته عند ثبوت الضغط.

ب- تضاعف الضغط عند ثبوت درجة الحرارة.

$$\frac{C_1}{C_2}$$
 لإيجاد قيمة

$$\frac{C_1}{C_2} = \frac{1}{2^{1/2}} = 0.7$$

أ

$$\frac{C_1}{C_2} = \frac{1}{1} = 1$$

ب

$$\frac{Z_1}{Z_2}$$
 ولإيجاد قيمة

$$\frac{Z_1}{Z_2} = \frac{2^{1/2}}{1} = 1.41$$

أ

$$\frac{Z_1}{Z_2} = \frac{1}{2} = 0.5$$

ب

مثال 2-7: جد قيمة متوسط المسار الحر وقطر التصادم وعدد التصادم بجزيئات غاز الاوكسجين عند درجة حرارة الصفر المئوي وضغط 10/32S نيوتن متر<sup>-2</sup> اذا علمت ان معامل اللزوجة لغاز الاوكسجين يساوي 1.92x10<sup>-5</sup>.

$$\gamma = 0.499 \bar{P} \bar{C} \lambda$$

نستخدم الوحدات كما ياتي:

$$P = Kgm^{-3}$$

$$\gamma = NSm^{-2}$$

$$\bar{C} = ms^{-1}$$

$$\lambda = m$$

وبالتعويض نجد ان:

$$\lambda = 63.4 nm$$

$$\lambda = \frac{1}{\sqrt{2\pi N}\sigma^2}$$

$$Z = 2N^2\sigma^2 \sqrt{\frac{\pi RT}{M}}$$

$$N = \frac{\text{عدد افوكادرو}}{n}$$

$$N = \frac{101325 \times 10^{-6} \times 6.023 \times 10^{23}}{8.314 \times 273.15} \\ = 2.687 m^{-3} \\ \therefore Z = 9.02 \times 10^{28} Cm^{-2} S^{-1}$$

مثال 2-8: احسب الضغط الذي يسلطه 84 غم من غاز الامونيا في وعاء حجمه 5 لتر:

- في حالة كون الغاز مثاليا

- في حالة كون الغاز حقيقيا.

-١

$$n = 84.0 \times \frac{1}{17.0} = 4.94 \text{ mol}$$

$$P = \frac{nRT}{V} = \frac{(4.94)(0.0821)(473)}{5.00}$$

$$P = 38.4 \text{ atm}$$

بـ

$$n = 4.94 \quad a = 4.17 \quad b = 0.0371$$

$$\left( P + \frac{n^2 a}{V^2} \right) (V - nb) = nRT \quad \therefore$$

$$P = \frac{nRT}{V - nb} - \frac{n^2 a}{V^2}$$

$$P = \frac{(4.94)(0.0821)(473)}{5.00 - (4.94)(0.0371)} - \frac{(4.94)^2(4.17)}{(5.00)^2}$$

$$P = \frac{191.8}{4.817} - 4.07 \text{ atm} = (39.8 - 4.1)$$

$$P = 35.7 \text{ atm}$$

نلاحظ ان الفرق يساوي 7.6 %. بين ضغط الغاز المثالي وضغط الغاز الحقيقي.

**مثال 2-9:** 1 مول من غاز ثاني اوكسيد الكاربون عند درجة حرارة 273 كلفن يشغل حجما قدره 22.4 لتر.

أ- احسب ضغط الغاز اذا كان الغاز مثالي.

ب- احسب ضغط الغاز اذا كان الغاز حقيقيا، علما بان  $a$  لغاز ثاني اوكسيد الكاربون يساوي  $3.592 \text{ لتر}^2 \text{ جو مول}^{-2}$  وقيمة الثابت  $b$  تساوي  $0.04267 \text{ لتر مول}^{-1}$ .

قارن بين النتيجتين.

أ-

$$P = \frac{nRT}{V} = \frac{(1.00)(0.0821)(273.15)}{22.4}$$

$$P = 1.00 \text{ atm}$$

$$(P + \frac{an^2}{V^2})(v - nb) = nRT$$

$$\begin{aligned} P &+ \frac{(5.592)(1.00)^2}{(22.4)^2} [22.4 - (1.00)(0.04267)] \\ &= (1.00)(0.08206)(273.15) \\ P &= 0.995 \text{ atm} \end{aligned}$$

نلاحظ ان الفرق بين الضغط في حالة كون الغاز حقيقيا لا يختلف كثيرا عن ضغط الغاز المثالي، ولو ان الضغط في الغاز المثالي اكبر.

**مثال 2-10:** اعد حسابات المثال 2-9 ولنفس الغاز وبنفس الظروف اذا كان حجم الغاز يساوي 0.2 لتر. ثم بين أسباب اختلاف النتائج عن المثال السابق.

$$\begin{aligned} P &= \frac{nRT}{V} = \frac{(1.00)(0.0821)(273.15)}{0.20} \\ P &= 112 \text{ atm} \end{aligned}$$

$$\begin{aligned} P &+ \frac{(3.592)(1.00)^2}{(0.200)^2} [0.200 - (1.00)(0.04267)] \\ &= (1.00)(0.08206)(273) \\ P &= 52.6 \text{ atm} \end{aligned}$$

نلاحظ بان ضغط الغاز المثالي اكبر بكثير من ضغط الغاز الحقيقي، فهو يساوي أكثر من ضعف الضغط للغاز الحقيقي. عند المقارنة بين النتيجتين في المثالين 2-7 و 2-8 نلاحظ بان الحيوان عن خواص الغاز المثالي تزداد كلما كانت جزيئات الغاز اقرب الى بعضها البعض وذلك لازدياد عدد التصادمات وزيادة تأثير قوى التجاذب والتنافر بين جزيئات غاز ثاني اوكسيد الكاربون.

## الفصل الثالث

### CHAPTER THREE

## القانون الأول للtermodynamics

The First Law of  
Thermodynamics

## الفصل الثالث

### القانون الأول للترموديناميك

#### The First Law of Thermodynamics

Introduction	1-3 مقدمة
System	2-3 النظام
Open System	1-2-3 النظام المفتوح
Closed System	2-2-3 النظام المغلق
Isolated System	3-2-3 النظام العزول
Energy, Heat and Work	3-3 الطاقة والحرارة والشغل
The First Law of Thermodynamics	4-3 القانون الأول للترموديناميك
Mathematical Expression of the First Law of Thermodynamics	5-3 الصيغة الرياضية للقانون الأول للترموديناميك
State functions and there's Mathematical properties	6-3 دوال الحالة وصفاتها الرياضية
Kinds of Thermodynamics process	7-3 أنواع العمليات الترموديناميكية
Change in: Energy at constant Volume and change in Energy at constant pressure	8-3 التغير بالطاقة عند ثبوت الحجم والتغير بالطاقة عند ثبوت الضغط
Heat Capacities	9-3 السعات الحرارية
Joule and Thomson Experiment	10-3 تجربة جول وثومسون
First law of Thermodynamics	11-3 القانون الأول للترموديناميك
The change in volume and pressure at constant temperature in the reversible adiabatic expansion	12-3 التغير في الحجم والضغط في العمليات بثبوت درجة الحرارة والتتمدد الرجوعي الadiabatic (الكتظيم)
Types of Work	13-3 أنواع الشغل
Reversible and Irreversible Work	14-3 الشغل الرجوعي والشغل غير الرجوعي
Examples	أمثلة

## الفصل الثالث

### القانون الأول للtermodynamics

#### The First Law of Thermodynamics

##### 1-3 مقدمة : Introduction

الtermodynamics (الدينمية الحرارية) هو فرع من فروع الكيمياء الفيزيائية يهتم بالعلاقات بين الصفات المنشورة (العينانية) Macroscopic properties للأنظمة مثل درجة الحرارة والحجم والضغط، ويعتبر من التقنيات الأكثر قدرة على تفسير الظواهر الطبيعية ولا ينطوي في سرعة تغيير النظام من حالة إلى أخرى أي أنه لا يهتم في تأثيرات عامل الزمن، كما أنه لا يعتمد على خصوصية التركيب الجزيئي للمادة أو على ميكانيكية التوصل على حالة الموازنة التام والنهائية. تم اكتشاف قوانين termodynamics (الدينمية الحرارية) خلال القرن التاسع عشر خلال جهود تجريبية كبيرة قام بها العلماء. هنالك خمسة قوانين للtermodynamics وهي قانون الصفر والأول والثاني والثالث والرابع ويتم التركيز عادة في جميع المصادر على ثلاثة قوانين وهي القانون الأول والثاني والثالث.

الtermodynamics مأخوذة من اللغة الإغريقية وهي مشتقة من الكلمة وتعني حرارة (Heat) و dynamikos وتعني قوة (power).

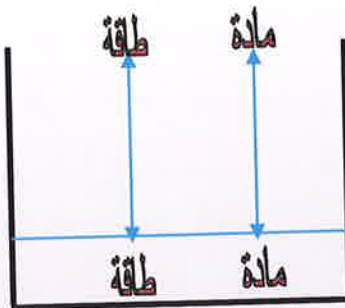
##### 2-3 النظام : System

في مفهوم الكيمياء الفيزيائية، الكون universe يقسم على جزئين، الجزء الأول هو النظام System، والأخر هو المحيط Surrounding. يعرف النظام بأنه

ذلك الجزء من الكون الذي نرغب بدراسته وتكون له حدود معينة كيميائية أو فيزيائية وهي على أشكال مختلفة مثل وعاء التفاعل أو ماكنة أو خلية كهروكيميائية أو خلية بايلوجية أو غيرها. هنالك ثلاثة أنواع من الأنظمة.

### 3-2-1 النظم المفتوح : Open System

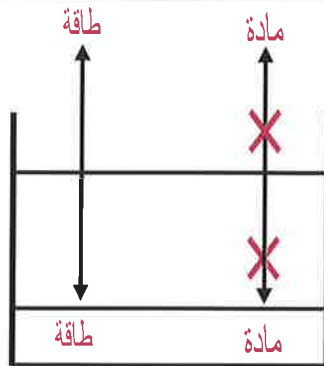
وهو ذلك النوع من الأنظمة الذي يسمح بتبادل الطاقة والمادة بينه وبين المحيط. مثال على ذلك أناء يحوي على سائل حيث أن الحرارة يمكن أن تنتقل من وإلى النظام بسهولة، وكذلك بالإمكان أن يتبدل ما بداخله من مادة بينه وبين المحيط والشكل 3-1 يمثل الشكل التخطيطي لهذا النوع من الأنظمة.



شكل 1-3 نظام مفتوح

### 3-2-2 النظم المغلق : Closed System

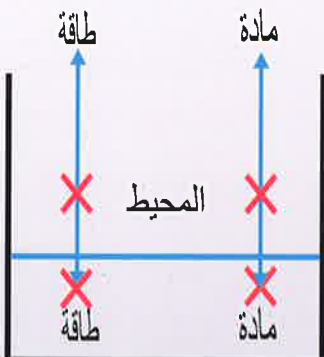
وهو ذلك النوع من الأنظمة الذي يسمح بتبادل الطاقة بينه وبين المحيط ولكن لا يسمح بتبادل المادة ومثال على ذلك أناء مغلق يحتوي على سائل (جدار الإناء من النوع المنفذ للإشعاع الحراري) (Diathermic) حيث أن هذا النوع من الأنظمة يسمح بتبادل الطاقة ولكنه مغلق بحيث لا يمكن نقل المادة إلى المحيط ولا يمكن أن نضيف لها مادة من المحيط الشكل 3-2 يمثل الشكل التخطيطي لهذا النوع من الأنظمة.



شكل 3-2 نظام مغلق

**3-2-3 النظام العزول : Isolated System**

وهو ذلك النوع من الأنظمة الذي لا يسمح بتبادل الطاقة كما لا يسمح بتبادل المادة بينه وبين المحيط مثل على ذلك قينة الترموس المغلقة حيث يكون الحاجز ما بين محتويات القنية والمحيط من النوع الأدبياتي (ثابت الحرارة).  
الشكل 3-3 يمثل الشكل التخطيطي لهذا النوع من الأنظمة.



شكل 3-3 نظام معزول

### 3-3 الطاقة والحرارة والشغل: Energy, Heat and Work

تعرف طاقة النظام ( $U$ )<sup>\*</sup> بأنها الإمكانية أو الاستطاعة على المجاز شغل، في حين أن الشغل ( $W$ ) يعرف بأنه انتقال الطاقة من نظام ميكانيكي إلى نظام ميكانيكي آخر بدلالة القوة والإزاحة. تعرف الحرارة ( $q$ ) بأنها انتقال الطاقة الناتج من الفرق بين درجات الحرارة ( $T$ ).

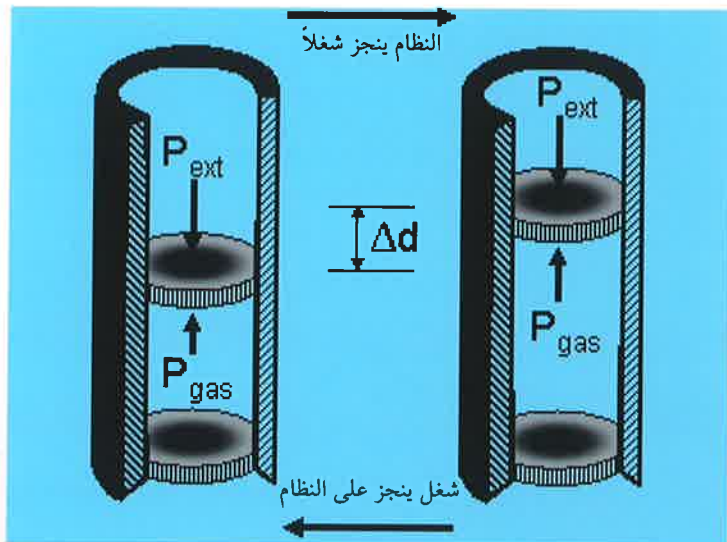
نستنتج من التعريف السابقة بأن هنالك علاقة ما بين المفاهيم الثلاثة وهي الطاقة والحرارة والشغل، كما نفهم بأن الحرارة والشغل هما شكلان من أشكال انتقال الطاقة، أو بعبارة أخرى أن الحرارة والشغل ميكانيكيتان يتم بواسطتهما تبادل الطاقة فيما بينهما وإن انتقال الطاقة من وإلى النظام المكون على شكل حرارة أو شغل.

بالرغم من أوجه التشابه الموجودة مابين الحرارة والشغل، هنالك بعض الاختلافات، طريقة انتقالهما مابين الأنظمة وبين النظام والمحيط وطريقة تحولهما من شكل لآخر والتغير الحاصل في انتظام جزيئات النظام أو المحيط عند الانتقال (سيتم توضيح ذلك لاحقاً إن شاء الله) تنتقل الحرارة بين الأنظمة المختلفة او بين النظام والمحيط عن طريق الاتصال أو الإشعاع في حين يتم انتقال الشغل بصورة ميكانيكية.

لا يمكن تحويل الحرارة بصورة كافية إلى شغل في حين ان الشغل يتحول إلى حرارة بصورة تامة. ان الحرارة تسبب في زيادة الحركة العشوائية لجزيئات النظام او المحيط عند انتقالها الى النظام او المحيط في حين ان انتقال الشغل يؤدي إلى حصول حركة منتظمة (غير عشوائية) لجزيئات النظام او المحيط الذي ينتقل اليه. هنالك مفهومان يجب أن نميز بينهما وهما أن يتم المجاز شغل (على) النظام

\* في بعض المصادر يتم استخدام  $E$  للتعبير عن طاقة النظام

أو أن النظام ينجز شغلاً. الحالة الأولى وتشمل القيام بضغط غاز في نظام معزول فإن إمكانية النظام على إنجاز شغل متزايد وبذلك فإن طاقة النظام ستزداد في حين أنه عندما ينجز النظام شغلاً (مثل تمدد الغاز داخل اسطوانة) فإن طاقة النظام ستختزل كما أن استطاعة النظام على إنجاز شغل ستختزل أيضاً. الشكل 4-3 يوضح الفرق بين المفهومين.



شكل 3-4 الفرق ما بين إنجاز شغل على النظام وإنجاز الشغل من قبل النظام

إن التفسير الجزيئي للطاقة والحرارة والشغل، هو أن الحرارة تعني انتقال الطاقة من خلال حركة غير منتظمة للجزيئات وإن هذه الحركة غير المنتظمة للجزيئات تسمى الحركة الحرارية Thermal motion. إن الحركة الحرارية للجزيئات في المحيط الحار تعمل على تحفيز جزيئات النظام الأبرد على الحركة ونتيجة لذلك فإن طاقة النظام ستزداد وعندما تنتقل الحرارة من النظام إلى المحيط الأبرد فإن جزيئات النظام تحفز الحركة الحرارية للجزيئات بالمحيط. وبذلك فان طاقة النظام ستختزل. وعلى العكس من ذلك فإن الشغل هو انتقال الطاقة عبر

الجزيئات ولكن بحركة منتظمة، عندما يتم رفع ثقل أو خفضه فإن ذراته تتحرك بصورة منتظمة وعندما ينجز النظام شغلاً فإن ذرات أو الكترونات المحيط سوف تتحرك بحركة منتظمة وعندما يتم انجاز شغل على النظام فإن جزيئات المحيط سوف تعمل على انتقال الطاقة إلى النظام وبصورة منتظمة.

### 4- القانون الأول للtermodynamics:

#### The First Law of Thermodynamics

هناك عدة صيغ للقانون الأول للtermodynamics كغيره من قوانين الشرموديناميک الأخرى. من ابسط الصيغ للقانون الأول للtermodynamics الصيغة الآتية:

- (الطاقة لا تفنى ولا تستحدث).

واستناداً إلى هذه الصيغة يسمى القانون الأول للtermodynamics بقانون حفظ الطاقة. تعني هذه الصيغة بأن طاقة النظام يمكن أن تتحرك أو تتغير ويمكن السيطرة عليها وخزنها ويعترتها ولكن لا يمكن إفانها أو خلقها من العدم.

يحصل لدى البعض ارتباك في مفهوم حفظ الطاقة، ويعتقد باننا عندما نقوم بحرق كمية من الحطب، فإننا نخلق الطاقة الضوئية والطاقة الحرارية وفي الوقت نفسه نفني مادة الحطب. إن هذا الفهم السطحي لما يحصل من عمليات عند حرق الحطب، فهم خاطئ. إننا في الحقيقة عندما نقوم بعملية الحرق، فإننا فقط نغير في موقع المادة والطاقة وتحول المادة إلى طاقة. إن المادة المحترقة لها طاقة كيميائية كامنة في الجزيئات المكونة لها، وإن هذه الطاقة تتحرر عند الاحتراق وتظهر لنا على شكل ضوء وحرارة. المادة الموجودة في الحطب تحول إلى جزيئات الدخان والرماد والدخان، وإن الكتلة الكلية للحطب المحترق تساوي كتلة وطاقة الدخان

والرماد والسخام والحرارة والضوء التي تكونت بعد الاحتراق.  
الصيغة الثانية للقانون تنص على:

- (الطاقة الداخلية للنظام تتغير عندما ينجز شغلا او عندما يتم تسخين النظام او تبريده).

وهذه الصيغة تعني بان الطاقة الكلية للنظام يمكن ان تتغير زيادة او نقصانا وذلك عند انجاز شغل على النظام او عندما ينجز النظام شغلا او عند تسخين النظام او تبريده، وهذا يعني تحول الطاقة من صيغة او شكل إلى اخر مع الاحتفاظ بالمقدار الكلي لها.

الصيغة الثالثة للقانون تنص على:

- (اي نظام ثرموديناميكي في حالة اتزان له طاقة داخلية، والتغير بهذه الطاقة بين اي حالتين لهذا النظام تساوي الفرق ما بين الحرارة المكتسبة من قبل النظام و الشغل المنجز من قبل النظام).

وهذه الصيغة تعني انه عند انتقال حالة النظام من حالة إلى حالة أخرى (النظام في الحالتين في حالة اتزان)، فان التغير في طاقته الداخلية تساوي الفرق ما بين كمية الحرارة التي يتسللها النظام من المحيط وكمية الشغل المنجز من قبل النظام.

الصيغة الرابعة تنص على:

- (الطاقة الداخلية للنظام المعزول ثابتة، ولكن يمكن ان تتحول من شكل الى شكل اخر).

وهذه الصيغة لا تختلف عن الصيغ السابقة حيث ان الطاقة الداخلية للنظام المزول تبقى ثابتة ولكن يمكن ان تغير في داخل النظام من شكل الى شكل اخر.

### 3-5 الصيغة الرياضية للقانون الأول للtermodynamics:

#### Mathematical Expression of the First Law of Thermodynamics

الطاقة الكلية للنظام و تسمى بالطاقة الداخلية في termodynamics تساوي مجموع الطاقات الحركية لكل الدقائق المكونة للنظام اضافة الى الطاقات الكامنة الناتجة من تداخل تلك الدقائق، ويرمز للتغير بالطاقة الداخلية  $\Delta U$  وهي تعبر عن التغير في الطاقة الداخلية للنظام من الحالة الابتدائية A إلى الحالة النهائية B:

$$\Delta U = U_B - U_A \quad 3-1$$

تصبح المعادلة 1-3 بصورة التعبير التفاضلي واستنادا الى الصيغ التي تم ذكرها للقانون الأول للtermodynamics على النحو الآتي:

$$dU = dQ + dW \quad 3-2$$

حيث تمثل Q كمية الحرارة المكتسبة او المفقودة من قبل النظام و W الشغل الذي قد ينجزه النظام او الذي ينجز على النظام.

اشارة Q و W تكون موجبة او سالبة حسب الحالات الآتية:

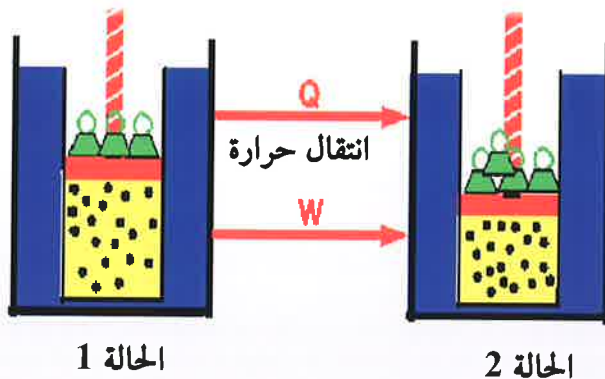
Q تكون موجبة عندما يتم انتقال الحرارة إلى النظام (عندما يكتسب النظام حرارة).

$Q$  تكون سالبة عندما يتم انتقال الحرارة من النظام إلى المحيط (عندما يفقد النظام حرارة).

$W$  تكون موجبة عندما يتم إنجاز شغل على النظام.

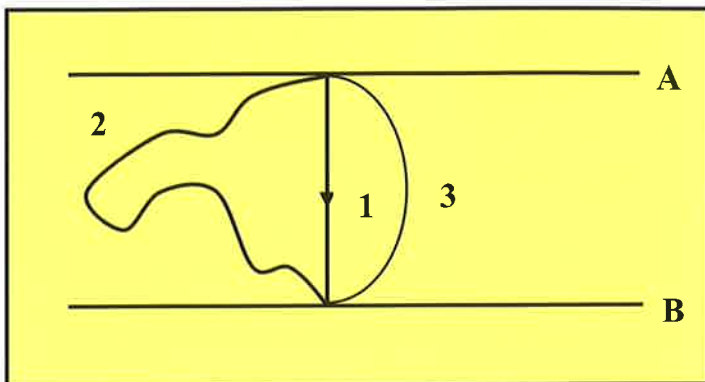
$W$  تكون سالبة عندما ينجز النظام شغلا.

الشكل 3-5 يعبر عن القانون الأول للtermodynamics.



شكل 3-5 خطط القانون الأول للtermodynamics

تعتمد ( $\Delta U$ ) على الحالتين الابتدائية والنهائية للنظام ولا تعتمد على الطريق الذي يسلكه النظام في التحول من الحالة الابتدائية إلى الحالة النهائية. يمكن للنظام أن يتحول من (A) إلى (B) خلال طرق مختلفة كما موضح بالشكل 3-6.



(B) الشكل 6-3 الطرق المحتملة للانتقال بين الحالتين (A) و (B)

### 3-6 دوال الحالة وصفاتها الرياضية

#### State Functions and there's Mathematical Properties

تتمرکز خواص الغاز المثالي بالضغط والحجم ودرجة الحرارة فإذا علم اثنان منهما يمكن حساب الثالث، ويمكن القول بأن درجة الحرارة دالة لكل من الضغط والحجم كما يأتي:

$$T = f(P, V) \quad 3-3$$

تدعى المعادلة 3-3 بأنها معادلة الحالة، وبما أن الطاقة الداخلية ( $U$ ) تختلف عن كل من ( $W$ ) و ( $q$ ) لأنها تعتمد على حالات النظام فقط، لذلك فإذا ثبت كل من ( $P$ ) و ( $T$ ) يجب على ( $U$ ) أن تتخذ قيمة معروفة وبمعنى آخر ( $U$ ) مثل ( $T$ ) و ( $P$ ) هي دالة للحالة.

من المحتمل اعتماد دوال الحالة على كتلة المادة فمثلاً ( $V$ ) و ( $U$ ) تصبح ضعف قيمتها إذا ضوّعت كمية المادة في النظام (مع بقاء الكميات الأخرى متساوية). تدعى هذه الخواص بالخواص الشاملة أو الممتدة (Extensive).

properties). أما (P) و (T) فهما لا يعتمدان على كمية المادة قيد الدرس (Intensive Properties). وتدعى هذه الخواص بالخواص المركزة (Intensive Properties).

خلاصة القول أن كل كمية فيزياوية تعتمد على الحالة الابتدائية والنهائية للنظام ولا تعتمد على الطريق الذي يسلكه النظام تدعى دالة الحالة مثل ( $dU$ ) و( $dT$ ) و( $dV$ ) وأن كل كمية فيزياوية تعتمد على الطريق الذي يسلكه النظام ولا تعتمد على الحالة الابتدائية والنهائية له لا تعد دالة للحالة مثل ( $W$ ) و ( $Q$ ) تكتب هذه الرموز بهذا الشكل لأنه لا يمكن أخذ التكامل للكمية الفيزياوية التي لا تعد دالة للحالة وأن تكاملها لا يعطى قيمة مفردة) ومثال على ذلك فإن التعبير الرياضي يمكن كتابته كالتالي:

$$\Delta U = \int_A^B dU = U_B - U_A \quad 3-4$$

$$\Delta Q = \int_A^B dQ \neq Q_B - Q_A \quad 3-5$$

لدوال الحالة عدد من الصفات الرياضية وهي كالأتي:

أ- يجب أن يؤدي تكامل الكمية  $\Delta U$  إلى قيمة معرفة وهي ( $U_B - U_A$ ):

$$\Delta U = \int_A^B dU \quad 3-6$$

لا تعتمد على طريق التكامل بين الحدود (A) و(B)، عندئذ يقال على ( $dU$ ) بأنه تفاضلي تام (أو دقيق)، أما الكمية  $\Delta W$  فلا يمكن تكاملها إذا علمت حالتا النظام الابتدائية والنهائية لأن الضغط (P) دالة للحجم (V) ودرجة الحرارة (T) بالوقت نفسه.

$$\Delta W = \int_A^B \oint w = \int_A^B pdV \quad 3-7$$

علماً بـ (T) يمكن أن تغير على طول طريق التكامل واستناداً لذلك تدعى المتفاضلات (dU) و (dT) و (dV) تفاضليات تامة أو تفاضليات مضبوطة  $\oint Q - \oint W$  و  $\oint$  Exact differentials or Complete differentials or Incomplete differentials تفاضليات غير تامة أو تفاضليات غير مضبوطة Inexact differential لأنهما لا تعتمدان على حالتي النظام الابتدائية والنهائية بل تعتمدان على الطريق بين هاتين الحالتين وأنهما لا يعادان دواؤاً للحالة. ولكن القانون الأول للديناميكية الحرارية ينص على أن مجموعهما يكون تفاضلاً مضبوطاً أو تاماً، أي أن:

$$dU = \oint Q + \oint W \quad 3-8$$

وبذلك يمكن القول بأن مجموعهما يصبح دالة للحالة وتفاضلاً تاماً.

ب- عندما تكون (T) و (V) متغيرين يستطيعان أن يعينا قيمة (U) يمكن كتابة ما يأتي للفاضلي التام:

$$dU = \left( \frac{\partial U}{\partial T} \right)_V dT + \left( \frac{\partial U}{\partial V} \right)_T dV \quad 3-9$$

يدعى  $V(\partial U / \partial T)$  معدل تغير (U) بثبوت (V)

ج- إن تغيير ترتيب تفاضل دالة الحالة يكون غير مهم أو أساسي، أي تغير ترتيب التفاضل يعطي دائماً الجواب نفسه وكما هو مبين في المعادلة الآتية:

$$\left( \frac{\partial}{\partial V} \left( \frac{\partial U}{\partial T} \right)_V \right)_T = \left( \frac{\partial}{\partial T} \left( \frac{\partial U}{\partial V} \right)_T \right)_V$$

3-10

إن أية دالة أو تفاضلها يوافق أي شرط من الشروط أعلاه تعد تلك الدالة دالة حالة.

### 3-7 أنواع العمليات термодинамическая :

#### Kinds of Thermodynamics process

يتم في هذه العمليات ثبيت أحد المتغيرات термодинамическая وتسمى بالعمليات المتشابهه isoprocesses، وتسمى كذلك العمليات شبه المتوازنة Quasi-equilibrium Processes تكون هذه العمليات بطيئة بحيث يمكن أن تكون إى مرحلة من مراحلها في حالة اتزان.

#### 1- العملية الadiabaticية:

تحصل هذه العملية بثبوت كمية الحرارة، اي إنها تحصل دون انتقال اي كمية من الحرارة من النظام او اليه، اي ان ذلك يشمل العمليات التي تحصل في نظام معزول. هذا يعني إن قيمة التغيير بالحرارة تساوي صفر، ولذلك سيكون التعبير عن القانون الأول للtermodynamics وفق المعادلة الآتية:

$$dU = -W, \quad Q = 0$$

3-11

#### 2- عملية تماثل الضغط (عملية ايزوبارية):

تحصل هذه العملية بثبوت الضغط، اي ان التغيير بالضغط بين العملية النهائية والعملية الابتدائية يساوي صفر. يعبر عن قيمة الشغل في هذه العملية وفق المعادلة الآتية:

$$W = P_2(V_2 - V_1), \quad p = \text{constant} \quad 3-12$$

### 3- عملية التماثل الحراري (عملية ايزوثرمية) : Isothermal process

تحصل هذه العملية بثبوت درجة الحرارة. لكي تحصل عمليات التماثل الحراري يجب ان يكون انتقال الحرارة من والى النظام بصورة بطئه جدا بحيث يمكن المحافظة على تساوي درجة الحرارة.

يعبر عن الشغل في هذه العملية وفق المعادلات الآتية:

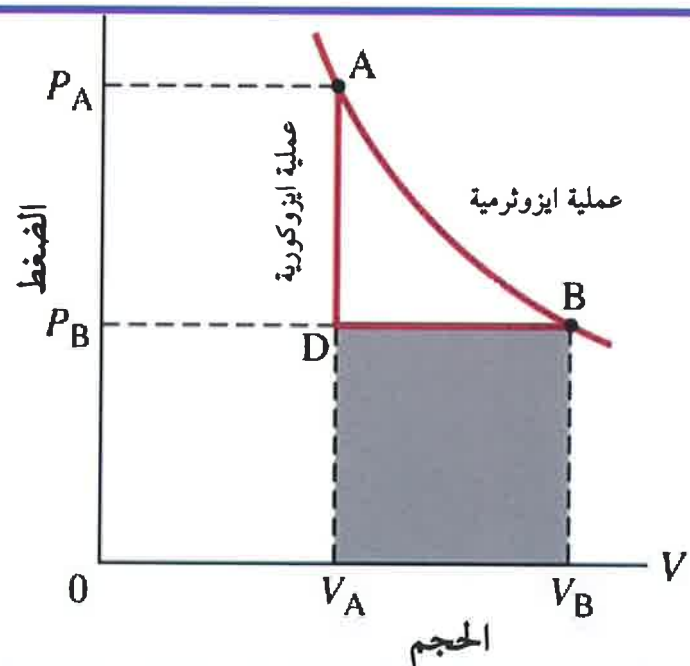
$$W = \int_{V_1}^{V_2} pdV \quad p = nRT / V \quad 3-13$$

$$W = nRT \int_{V_1}^{V_2} \frac{dV}{V} = nRT \ln \left( \frac{V_2}{V_1} \right) \quad 3-14$$

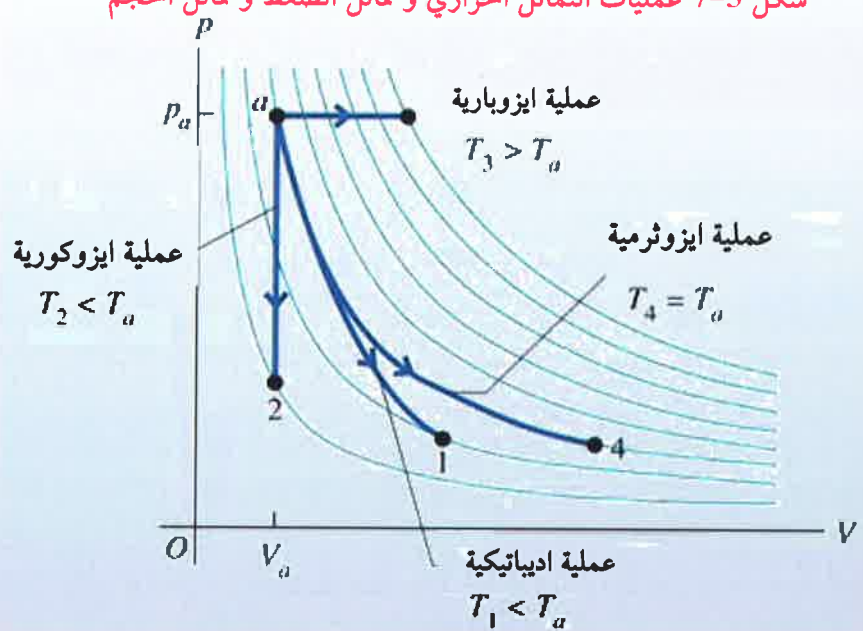
$$W = nRT \ln \left( \frac{V_2}{V_1} \right) \quad 3-15$$

### 4- عملية تماثل الحجم (عملية ايزوكورية) : Isochoric process

تحصل هذه العملية بثبوت الحجم. الشكل 3-7 يبين عملية التماثل بالحرارة (العملية الadiabaticية) وعملية تماثل الضغط وعملية تماثل الحجم والشكل 3-8 يوضح العمليات الأربع.



شكل 3-7 عمليات التماثل الحراري و تماثل الضغط و تماثل الحجم



شكل 3-8 العمليات термодинамيكية الاربعة

### 3-8 التغير بالطاقة عند ثبوت الحجم والتغير بالطاقة عند ثبوت الضغط

**Change in Energy at constant Volume and change in Energy at constant pressure**

يسمى التغير بالطاقة كذلك بالمحتوى الحراري Heat Content. إذا كان هناك نظام كيمياوي تحت حجم ثابت لا يستطيع هذا النظام أن ينجز شغلاً بسبب أن التغير في الحجم يساوي صفرأ ( $-PdV = 0$ ) لذلك فإن:

$$dW = -PdV = 0$$

$$\begin{aligned} dU &= \oint_Q + \oint_W = \oint_Q \\ dU &= (\oint Q)_V \end{aligned} \quad 3-11$$

$$\Delta U = (\oint Q)_V \quad 3-12$$

ويعنى آخر: إن الزيادة في الطاقة الداخلية تساوى الحرارة الممتصة بشروط الحجم.

من المعلوم ان اغلب التجارب الكيميائية يتم اجراؤها تحت ضغط ثابت أكثر مما تعمل تحت حجم ثابت. تحت هذه الظروف لا يساوى الشغل المنجز صفرأ وذلك نتيجة تمدد الغاز من الحجم ( $V_A$ ) إلى الحجم ( $V_B$ ), ولذلك فإن:

$$\oint_W = PdV \quad 3-13$$

$$\Delta W = -P\Delta V \quad 3-14$$

$$\Delta W = U_B - U_A = (Q)_P - P(V_B - V_A) \quad 3-15$$

$$(Q)_P = (U_B + PV_B) - (U_A + PV_A) \quad 3-16$$

تشابه الكمية  $(U + PV)$  الكمية  $(U)$  من أنها دالة للحالة بسبب أن جميع الكميات  $(U)$  و  $(P)$  و  $(V)$  هي دوال للحالة. تدعى الكمية  $(U + PV)$  المحتوى الحراري (الانثالبي) (Enthalpy) ويرمز لها بالرمز  $(H)$  وتعرف كما يأتي:

$$H = U + PV \quad 3-17$$

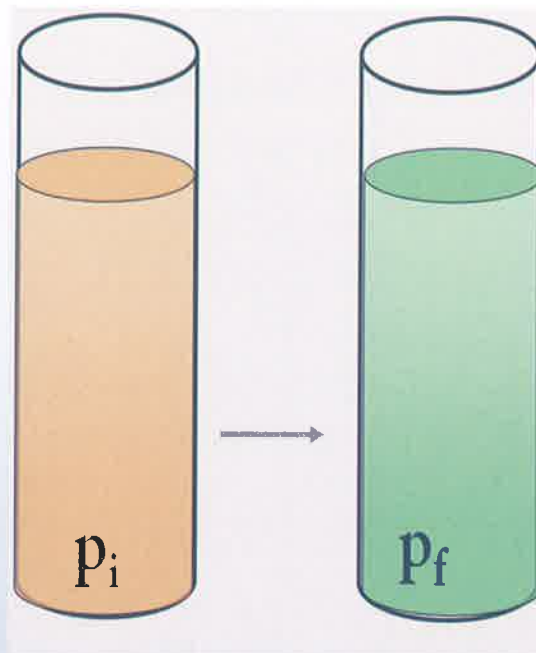
ومنها يمكن كتابة المعادلة (3-17) على النحو الآتي:

$$Q_p = H_B - H_A = \Delta H \quad 3-18$$

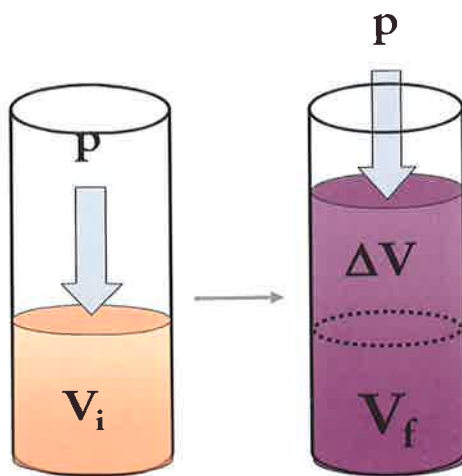
$$\Delta H = Q_p \quad 3-19$$

$$dH = (\frac{\partial}{\partial p} Q)_p \quad 3-20$$

المخططان الموضحان في الشكل 3-9 والشكل 3-10 يبينان الفرق ما بين التغير بالطاقة عند ثبوت الحجم والتغير بالطاقة عند ثبوت الضغط.



شكل 3-9 التغير بالطاقة بشروط الحجم



شكل 3-10 التغير بالطاقة بثبوت الضغط

ما ذكر في أعلاه نستطيع أن نستنتج الآتي:

- أ- الزيادة في الطاقة الداخلية للنظام ( $\Delta U$ ) تساوي الحرارة الممتصة تحت حجم ثابت (على فرض أن النظام لا ينجز أي شغل).
- ب- الزيادة في المحتوى الحراري للنظام ( $\Delta H$ ) تساوي الحرارة الممتصة تحت ضغط ثابت (على فرض أن النظام ينجز شغل PV فقط).
- ج- ( $\Delta H$ ) و( $\Delta U$ ) لهما قيمة معينة للتغيرات التي تحدث في حالة عدم ثبوت الضغط والحجم ولكن لا تساويان الحرارة الممتصة.
- د- ( $\Delta H$ ) مهمة جداً في موضوع الكيمياء الحرارية (الفصل الرابع من هذا الكتاب) لأنها جزء من термодинاميك الذي يهتم بتغيرات الحرارة التي تصاحب التفاعل الكيميائي، فمثلاً في التفاعل الآتي:



هذا يعني أن لكل مول واحد من التفاعل (المول الواحد من التفاعل يعني مول واحد من ثاني كبريتيد الكاربون  $CS_2$ ) يتفاعل مع ثلاثة مولات من غاز الأوكسجين لإنتاج مول واحد من غاز ثاني أوكسيد الكاربون ومولين من غاز ثاني أوكسيد الكبريت)، يقل المحتوى الحراري للنظام بـ (1108) كيلو جول وتحرك هذه الكمية من الطاقة بواسطة التفاعل تحت ضغط ودرجة حرارة ثابتتين.

هـ - قيم  $(\Delta H)$  و  $(\Delta U)$  تكون متساوية على وجه التقرير في العمليات التي تشمل المواد الصلبة والسائلة (بسبب أن قيمة  $PV$  في هذه الأطوار تقترب من الصفر) ولكن الاختلاف بينهما يصبح مهمًا في العمليات الغازية. إذا شمل تفاعل الغاز تغير في عدد المولات  $(\Delta n)$  لغازات النظام، أي للغاز المثالي:

$$\Delta(PV) = (\Delta n)RT \quad 3-21$$

$$\Delta(PV) = (\Delta n)RT \quad 3-22$$

وبما أن:

$$\Delta H = \Delta U + \Delta(PV) \quad 3-23$$

لذلك فإن:

$$\Delta H = \Delta U + \Delta nRT \quad 3-24$$

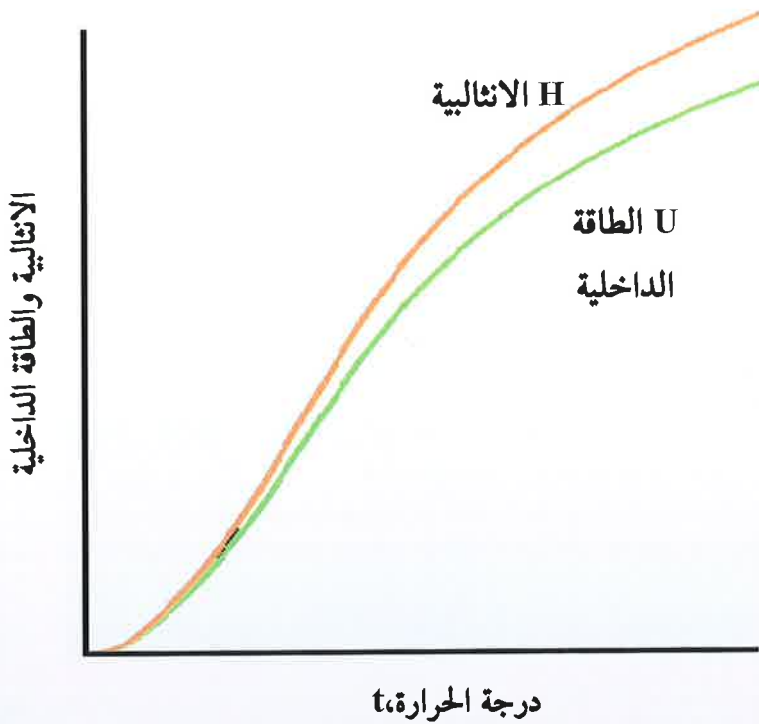
عند 298 درجة مطلقة تكون قيمة حاصل ضرب ثابت الغاز بدرجة

الحرارة المطلقة:

$$RT = 8.3 \times 298 \approx 2473 \text{ Jmol}^{-1}$$

وهذه الكميه لا يمكن تجاهلها.

الشكل 3-11 يوضح الاختلاف ما بين التغير بالطاقة الداخلية والانثالبية مع تغير درجة الحرارة المطلقة، يتضح من الشكل بان الفرق ما بين الطاقتين يزداد بازدياد درجة الحرارة المطلقة.



شكل 3-11 التغير بالطاقة الداخلية والانثالبية مع تغير درجة الحرارة المطلقة

### 3-9 السعات الحرارية : Heat Capacities

لقد ذكرنا سابقاً بأنه عندما نضع نظامين في حالة تماس وكانت درجتي حرارتيهما مختلفتين، يحصل انتقال للحرارة من النظام الاسخن الى النظام الابرد، ويستمر هذا الانتقال لحين تساوي درجتي حراري النظائر. ان مقدار الحرارة المتتصه من قبل النظام الابرد تتناسب مع التغير في درجة الحرارة. اذا

كان  $dQ$  يمثل قيمة الحرارة الممتصة وحصل تغير في درجة الحرارة مقدار  $dT$  فهذا يعني بان ( $dQ \propto dT$ ) وعليه فان:

$$dQ = C dT \quad 3-25$$

حيث تمثل  $C$  ثابت التنااسب وتساوي السعة الحرارية وتتناسب مع كتلة المادة التي تعاني التغير في درجة الحرارة وتسمي السعة الحرارية لграмм الواحد من المادة بالحرارة النوعية Specific heat وتعرف بانها كمية الحرارة اللازمة لرفع درجة حرارة غرام واحد من المادة درجة مئوية واحدة، وتسمي السعة الحرارية للمول الواحد من المادة بالسعة الحرارية المولية Molar heat capacity

$$C = \frac{dq}{dT} \quad 3-26$$

عند حصول هذا التغير بثبوت الحجم فان:

$$dU = (dQ)_v \quad 3-27$$

$$dU = C_v dT = (dQ)_v \quad 3-28$$

$$C_v = \left( \frac{\partial U}{\partial T} \right)_v \quad 3-29$$

حيث تمثل  $C_v$  السعة الحرارية عند ثبوت الحجم.

اما إذا قيست السعة الحرارية تحت ضغط ثابت، فمن المعادلتين 3-25 و 3-26 تنتج المعادلة 3-30 بالطريقة نفسها التي اشتقت بها المعادلة 3-29 وكما يأتي:

$$C_p = \left( \frac{\partial H}{\partial T} \right)_p \quad 3-30$$

حيث تمثل  $C_p$  السعة الحرارية عند ثبوت الضغط.

تكون قيمة  $(C_p)$  أكبر من قيمة  $(C_v)$  لأنه تحت ضغط ثابت يستهلك قسم من كمية الحرارة المسلط على المادة في المحاذا شغل لعملية تعدد الغاز بينما تحت الحجم الثابت تعمل كل الحرارة المسلط على الارتفاع بدرجة الحرارة. بينما تكون قيمة  $(C_p)$  مساوية إلى قيمة  $(C_v)$  على وجه التقرير في الطورين الصلب ولكنها مختلفة في الطور الغازي. ولاستفادة العلاقة ما بين  $C_p$  و  $C_v$  في الطور الغازي نعود للمعادلة 3-17 حيث ان:

$$H = U + PV \quad 3-31$$

و عند استفادة هذه المعادلة عند ثبوت الضغط فان:

$$\left( \frac{\partial H}{\partial T} \right)_P = \left( \frac{\partial U}{\partial T} \right)_P + \frac{\partial (PV)}{\partial T} \quad 3-32$$

بما أن للغاز المثالي  $PV = nRT$  و طاقته لا تعتمد على الضغط والحجم بل على درجة الحرارة فقط لذلك فإن:

$$\left( \frac{\partial U}{\partial T} \right)_P = \left( \frac{\partial U}{\partial T} \right)_V \quad 3-33$$

$$\left( \frac{\partial H}{\partial T} \right)_P = \left( \frac{\partial U}{\partial T} \right)_V + \frac{\partial (nRT)}{\partial T} \quad 3-34$$

وبما أن  $(U)$  لا تعتمد على الضغط والحجم وهي دالة للحالة، لذا فإن:

$$dU = \left( \frac{\partial U}{\partial T} \right)_P dT + \left( \frac{\partial U}{\partial P} \right)_T dp \quad 3-35$$

يجب أن لا ننسى بأن  $0 = \partial U / \partial P$  للغاز المثالي لأن  $(U)$  لا تعتمد على الضغط  $(P)$  لذلك تصبح المعادلة 3-35 كالتالي:

$$dU = \left( \frac{\partial U}{\partial T} \right)_P dT \quad 3-36$$

وبالطريقة نفسها نستنتج بأن:

$$dU = \left( \frac{\partial U}{\partial V} \right)_T dT + \left( \frac{\partial U}{\partial V} \right)_V dV \quad 3-37$$

$$dU = \left( \frac{\partial U}{\partial T} \right)_V dT \quad 3-38$$

لأن  $0 = (\partial U / \partial V)_T$  للغاز المثالي وبسبب أن  $(U)$  لا تعتمد على

الحجم  $(V)$  وبتساوي المعادلين 3-36 و 3-38 ينبع ما يأتي:

$$\left( \frac{\partial U}{\partial T} \right)_P dT = \left( \frac{\partial U}{\partial T} \right)_V dT \quad 3-39$$

$$\left( \frac{\partial U}{\partial T} \right)_P = \left( \frac{\partial U}{\partial T} \right)_V \quad 3-40$$

من المعادلة 3-40 يمكن كتابة المعادلة 3-34 كالتالي:

$$\left( \frac{\partial H}{\partial T} \right)_P = \left( \frac{\partial U}{\partial T} \right)_V + nR \quad 3-41$$

وبإدخال المعادلين 3-29 و 3-30 في المعادلة 3-41 تصبح المعادلة على

النحو الآتي:

$$C_p = C_v + nR \quad 3-42$$

ولمول واحد من الغاز المثالي:

$$C_p - C_v = R \quad 3-43$$

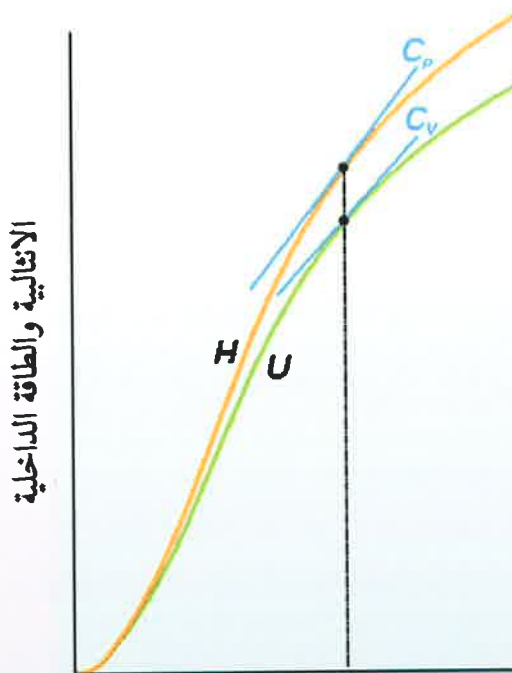
عند درجة حرارة الغرفة ولمول واحد من غاز الاركون فان  $C_p = 20.8$

و  $C_v = 12.5$  جول درجة مطلقة مول<sup>-1</sup> وبذلك تكون قيمة  $(R)$  مساوية إلى:

$$C_p - C_v = 20.8 - 12.5 = 8.3 \text{ J}^{\circ}\text{C}^{-1}\text{mol}^{-1} \quad 3-44$$

وهذه النتيجة تتوافق مع قيمة ( $R$ ) المتعارف عليها روم المشتقة بموقع مختلف من هذا الكتاب.

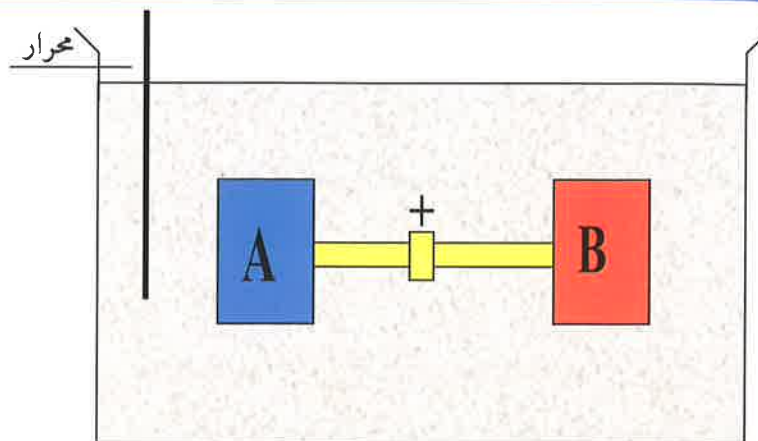
الشكل 3-12 يوضح الفرق ما بين قيم  $C_p$  و  $C_v$  عند درجة حرارية معينة، حيث ان قيمة  $C_p$  و  $C_v$  عند درجة حرارية معينة تساوي ماس المنحنى للانثالية او الطاقة الداخلية عند تلك الدرجة الحرارية.



شكل 3-12 الفرق ما بين قيم  $C_p$  و  $C_v$  عند درجات حرارية مختلفة

### 3-10-3 تجربة جول وثومسون Joule and Thomson Experiment

يُبين جول في سنة (1834م) أن تعدد الغاز في الفراغ (شكل 3-13) لا يكون مصحوباً بتغير في درجة الحرارة.



شكل 3-13 تجربة جول

في هذه التجربة ( $dW = 0$ ) ولوحظ أيضاً بأن ( $dQ = 0$ )، لذلك فإن:

$$dU = \oint Q + \oint w = 0 \quad 3-45$$

ومنها:

$$\left( \frac{\partial U}{\partial V} \right)_T = 0$$

وبقياسات أخرى دقيقة اتضح بأن  $(\partial U / \partial V)_T$  لا تساوي بالضبط صفر للغاز الحقيقي.

أن التغير في درجة الحرارة بثبوت الطاقة الداخلية يساوي كذلك صفر ،

أي ان:

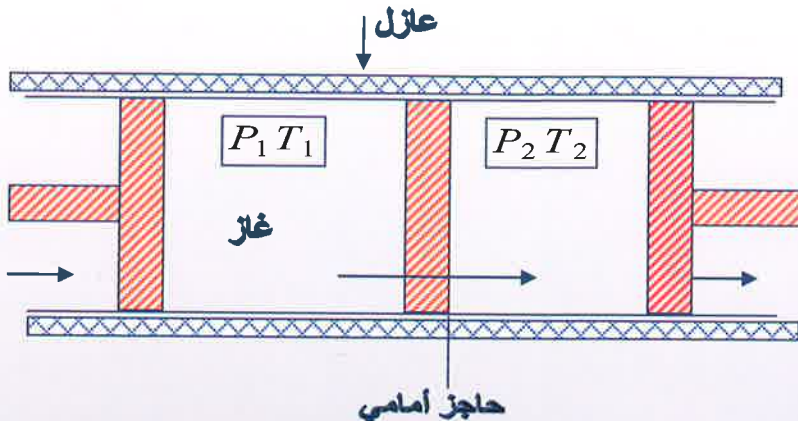
$$\left( \frac{\partial T}{\partial V} \right)_U = 0 \quad 3-46$$

تسمى هذه المشتقة الجزيئية بمعامل جول Joule Coefficient ويرمز له بالرمز  $\alpha$  حيث ان:

$$\eta = \left( \frac{\partial T}{\partial V} \right)_U$$

وبطريقة متطرفة فحصت هذه التأثيرات من قبل جول وثومسون وكما هو مبين في الشكل 3-14 يسري الغاز بمعدل مستقر خلال الحاجز المسامي لنظام  $dQ = 0$  والشغل لدفع الغاز خلال الحاجز المسامي يحسب على فرض أن الغاز بضغط في الحاجز المسامي إلى حجم يمكن إهماله ( $\bar{\delta}$ ) وبهذا يصبح الشغل المنجز الكلي عبارة عن شغل الانضغاط مطروحاً منه الشغل المنجز عند تعدد الغاز نحو الجهة الثانية.

$$W = P_1(V_1 - \bar{\delta}) - P_2(V_2 - \bar{\delta}) \quad 3-47$$



شكل 3-14 الرسم التخطيطي لتجربة جول وثومسون

و لأن  $0 \rightarrow \bar{\delta}$  لذلك فإن المعادلة 3-47 تصبح كالتالي:

$$W = P_1V_1 - P_2V_2 \quad 3-48$$

إذا كان الغاز على جهة الحاجز المسامي يعد غازاً مثالياً عندئذ  $W = 0$

و بما أن:

$$W + Q = \Delta U \quad \text{و} \quad Q = 0$$

يتبع من ذلك ما يأتي:

$$\Delta U = U_2 - U_1 = P_1 V_1 - P_2 V_2 = 0 \quad 3-49$$

$$U_2 + P_2 V_2 = U_1 + P_1 V_1 \quad 3-50$$

وعند ثبوت الضغط يمكن إعادة كتابة المعادلات كما يأتي:

$$\Delta H = H_2 - H_1 = U_2 + P_2 V_2 - U_1 - P_1 V_1 \quad 3-51$$

ويتضح الآن بأن  $\Delta H = 0$  أيضاً، وبمعنى آخر تتم تجربة جول وثومسون  
ثبوت المحتوى الحراري.

يعرف كذلك معامل جول وثومسون بأنه يساوي  $(\partial T / \partial P)_H$  ويمكن  
تعيينه بواسطة التغير بدرجة حرارة الغاز عند هبوط ثابت الضغط عبر الحاجز  
السامي. أما درجة اختلاف معامل جول وثومسون  $(\partial T / \partial P)_H$  عند الصفر  
فهو مقياس للطاقة التي تنشأ من التداخلات بين جزيئات الغاز. لاتتدخل  
جزيئات الغاز المثالي ولذلك فإن  $(\partial T / \partial P)_H$  يساوي صفرأً كما هو الحال  
للكمية  $(\partial U / \partial V)_T$  وأن أغلب الغازات المعروفة تنخفض درجة حرارتها عند  
مرورها من الضغط العالي إلى الضغط الواطع بأجهزة جول وثومسون وقد  
استخدمت هذه الظاهرة كطريقة لتسهيل الغازات.

### 11- القانون الأول للtermodynamics

#### First law of Thermodynamics

كان استنتاج جول الأساسي هو أن قيمة  $(\partial U / \partial V)_T$  لجميع الغازات  
تساوي صفرأً (الفقرة 3-8)، وتدعى هذه الكمية بالضغط الداخلي لأنها مشتقة  
الطاقة نسبة إلى الحجم، وبمعنى آخر القوة بوحدة المساحة، أي الضغط.

يمتلك الغاز الحقيقي بالمقارنة مع الغاز المثالي ضغطاً داخلياً لا يمكن إهماله مما يدل على أن هناك قوى تماسك بين جزيئات الغاز الحقيقي ولذلك تعتمد طاقة الغاز الحقيقي على الحجم فضلاً عن اعتمادها على درجة الحرارة.

يعرف الغاز المثالي بدلالة تعبيرات الترموديناميك (إضافة إلى ما تم ذكره في الفصل الأول والثاني من هذا الكتاب) بأنه:

$$1 - PV = nRT$$

2 - ضغطه الداخلي يجب أن يكون صفرًا.

3 - وقد ثبت للغاز المثالي في الفقرات السالفة الذكر أن:

$$\left( \frac{\partial U}{\partial T} \right)_V = C_V \quad 3-52$$

$$\left( \frac{\partial H}{\partial T} \right)_P = C_P \quad 3-53$$

$$dU = \left( \frac{\partial U}{\partial T} \right)_V dT \quad 3-54$$

$$dH = \left( \frac{\partial H}{\partial T} \right)_P dT \quad 3-55$$

$$dU = C_V dT \quad 3-56$$

$$dH = C_P dT \quad 3-57$$

وهذا يعني أن السعة الحرارية للغاز المثالي تعتمد أيضاً على درجة حرارته.

عند اجراء تكامل للمعادلتين 3-56 و 3-57 بين  $(T_1)$  و  $(T_2)$  يعطي المعادلتين 3-58 و 3-59 على التوالي:

$$\Delta U = U_2 - U_1 = \int_{T_1}^{T_2} C_V dT \quad 3-58$$

$$\Delta H = H_2 - H_1 = \int_{T_1}^{T_2} C_P dT \quad 3-59$$

(U)، (H) هما دالتان لدرجة الحرارة (T) فقط للغاز المثالي والعلاقتان الممثلتان بالمعادلة 3-58 و 3-59 تعملان حتى لو كان الضغط والحجم كميتين غير ثابتتين.

### 3-12 التغير في الحجم والضغط في العمليات بثبوت درجة الحرارة والتمدد

**الرجوعي الadiabaticي (الكتظيم):**

**The change in volume and pressure at constant temperature in the reversible adiabatic expansion**

تبقى الطاقة الداخلية للنظام ثابتة في التغيرات أو العمليات بثبوت درجة الحرارة (العملية بثبوت درجة الحرارة هي عملية التمايل بدرجات الحرارة حيث تحدث عندما تكون  $T = \text{ثابت}$  و  $dT = 0$ ). في هذه العمليات يكون التغير في الطاقة الداخلية نسبة إلى التغير في الحجم بثبوت درجة الحرارة مساوياً إلى صفر:

$$\left( \frac{\partial U}{\partial V} \right)_T = 0 \quad dT = 0 \quad 3-60$$

في العمليات بثبوت درجة الحرارة وكما ذكر تبقى درجة الحرارة ثابتة، وأما الضغط والحجم فهما متغيران ولأن درجة الحرارة كمية ثابتة فيجب أن تكون: الطاقة الداخلية كمية ثابتة عند  $dU = 0$  ولذلك فإن:

$$dU = dQ - PdV = 0 \quad 3-61$$

ويموجب النص الرياضي لقانون termodynamics الأول فان:

$$dU = dQ + dW \quad 3-62$$

ويجب ألا ننسى بأن  $dU = 0$  للعملية بثبوت درجة الحرارة ولذلك فأن:

$$dQ = dW = PdV \quad 3 - 63$$

من معادلة الحالة للغاز المثالي:

$$P = \frac{nRT}{V} \quad 3 - 64$$

لذلك يمكن كتابة ما يأتي:

$$dQ = -dW = \int_{V_1}^{V_2} nRT \frac{dV}{V} \quad 3 - 65$$

$$Q = -W = nRT \ln \frac{V_2}{V_1} \quad 3 - 66$$

و بما أنه للغاز المثالي تكون  $\frac{T_1}{T_2} = \frac{P_1 V_1}{P_2 V_2}$  ولأن درجة الحرارة ثابتة

(أي  $T_1 = T_2$ )، لذلك فإن:

$$\frac{P_1 V_1}{P_2 V_2} = 1 \quad 3 - 67$$

بعد تعويض المعادلة 3-67 (وهي بالحقيقة قانون بويل) في المعادلة

66-3 ينتج ما يأتي:

$$Q = -W = nRT \ln \frac{P_1}{P_2} \quad 3 - 68$$

يمثل الضغط ( $P$ ) في المعادلة 3-68 قيمة عند الموازنة والحجم ( $V$ ) في المعادلة 3-66 يتغير رجوعياً، أما الشغل ( $W$ ) فيمثل أعظم شغل منجز للتمدد أو أقل شغل منجز يحتاجه الغاز للتقلص. وبين المعادلة 3-68 أن الشغل المطلوب للتقلص الغاز من ضغط (10) إلى (100) جو هو بالضبط الشغل نفسه المطلوب

لتقليله من (1) إلى (10) ضغط جو.

تعرف العملية الكظيمة (العملية الadiabatic) (Adiabatic Process) بأنها العملية التي لا يتم فيها امتصاص أو تحرير حرارة أي أن  $q$  تكون ثابتة و  $dQ = 0$ .

من قانون الترموديناميك الأول المعادلة-2-10، تمثل العملية الكظيمة (العملية الadiabatic) ( $dQ = 0$ ) بما يأتي:

$$dQ = -dW = pdV \quad 3-69$$

بتعويض قيمة ( $dU$ ) من المعادلة-3-56 في المعادلة-3-69 نحصل على المعادلتين 3-72 و 3-73 كالتالي:

$$dU = C_v dT \quad 3-70$$

$$dw = C_v dT \quad 3-71$$

$$W = \int_{T_1}^{T_2} C_v dT \quad 3-72$$

$$C_v dT + pdv = 0 \quad 3-73$$

يؤدي تعويض معادلة الحالة للغاز المثالي في المعادلة-3-73 وتقسيم المعادلة الناتجة على الكمية ( $T$ ) ثم تكاملها ضمن الحدود ( $T_1$ ) و( $T_2$ ) و( $V_1$ ) و( $V_2$ ) إلى تكون المعادلة-3-74 وعلى النحو الآتي:

$$C_v dT + nR \frac{dV}{V} = 0 \quad 3-74$$

$$C_v \frac{dT}{T} + nR \frac{dV}{V} = 0 \quad 3-75$$

$$C_v \int_{T_1}^{T_2} \frac{dT}{T} + nR \int_{V_1}^{V_2} \frac{dV}{V} = 0 \quad 3-76$$

$$C_v \ln \frac{T_2}{T_1} + nRT \ln \frac{V_2}{V_1} = 0 \quad 3-77$$

يجب ملاحظة أن  $(C_v)$  في المعادلة 3-77 هي كمية ثابتة وليس بذالة لدرجة الحرارة .

ستجري الآن العمليات الآتية على المعادلة 3-77

أ- تعويض قيمة  $(nR)$  من المعادلة الآتية:

$$C_p = C_v + nR \quad 3-78$$

يتبع الآتي:

$$C_v \ln \frac{T_2}{T_1} + (C_p - C_v) \ln \frac{V_2}{V_1} = 0 \quad 3-79$$

ب- تقسيم المعادلة الناتجة في (أ) على الكمية  $(C_v)$ :

$$\ln \frac{T_2}{T_1} + \left( \frac{C_p}{C_v} - 1 \right) \ln \frac{V_2}{V_1} = 0 \quad 3-80$$

ج- إحلال الكمية  $C_p / C_v$  بالرمز  $\gamma$  في المعادلة الناتجة في (ب) ثم إعادة ترتيب وتبسيط المعادلة المكونة كالتالي:

$$\ln \frac{T_2}{T_1} + (\gamma - 1) \ln \frac{V_2}{V_1} = 0 \quad 3-81$$

$$(\gamma - 1) \ln \frac{V_2}{V_1} + \ln \left( \frac{\frac{T_2}{T_1}}{\frac{T_1}{T_2}} \right) = 0 \quad 3-82$$

$$\ln \left( \frac{V_2}{V_1} \right)^{(\gamma-1)} = \ln \frac{T_1}{T_2} \quad 3-83$$

$$\left(\frac{V_2}{V_1}\right)^{(\gamma-1)} = \frac{T_1}{T_2} \quad 3-84$$

د- من معادلة الغاز المثالي ( $T_1/T_2 = P_1V_1/P_2V_2$ ) في المعادلة 3-84 تنتج المعادلة النهائية لعملية التمدد الرجوعي الكظيمي (الadiabatic) وكما يأتي:

$$\frac{P_1V_1}{P_2V_2} = \left(\frac{V_2}{V_1}\right)^\gamma \cdot \left(\frac{V_2}{V_1}\right)^{(-1)} \quad 3-85$$

$$\frac{P_1V_1}{P_2V_2} = \left(\frac{V_2}{V_1}\right)^\gamma \cdot \left(\frac{V_1}{V_2}\right)^\gamma \quad 3-86$$

$$\frac{P_1}{P_2} = \left(\frac{V_1}{V_2}\right)^\gamma \quad 3-87$$

$$PV_1^\gamma = P_2V_2^\gamma \quad 3-88$$

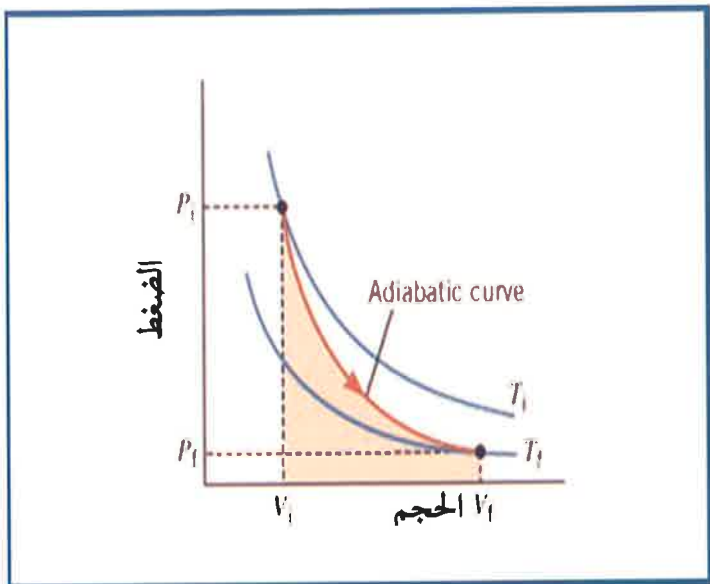
نستنتج من ذلك أن التمدد الرجوعي الكظيمي (الadiabatic) بثبوت السعة الحرارية ( $C_V$ ) والتمدد بثبوت درجة الحرارة  $T$  للغاز المثالي يخضع للمعادلتين 3-89 و 3-90 على التوالي وأن:

$$PV^\gamma = \text{كمية ثابتة} \quad 3-89$$

نحن نعلم ان:

$$PV = \text{كمية ثابتة} \quad 3-90$$

يوضح الشكل البياني 15-3 المعادلتين 3-89 و 3-90 للتمدد الرجوعي الكظيمي والتمدد بثبوت درجة الحرارة للغاز المثالي بين التغير في الحجم والضغط خلال العمليتين.



شكل 3-15 التمدد الadiabaticي (الكظيمي) وبثبوت  
درجة الحرارة الرجوعيين لغاز المثال،

### 3-13 أنواع الشغل : Types of Work

هناك طرق مختلفة يمكن للنظام بواسطتها المجاز شغل أو يمكننا المجاز شغل بها على النظام وبعبارة أخرى هناك أنواع متعددة من الشغل سواء منها المنجز من قبل النظام أو المنجزة على النظام إذا قمنا بإمداد تيار كهربائي في محلول وتحلل محلول كهربائياً نستطيع أن نقول بأننا أنجزنا شغلاً كهربائياً Electrical Work وفي الوقت نفسه فإن الخلية الكهربائية يمكن أن تنجز شغلاً.

الأنواع الأخرى من الشغل تشمل الشغل الكيميائي Chemical work والشغل التناضحي Osmotic Work والشغل الميكانيكي Mechanical Work. يحصل الشغل الكيميائي (أحياناً عندما يتم تخليق جزيئات كبيرة من أخرى صغيرة كما يحصل في الكائنات الحية). الشغل التناضحي أو التنافذi يعرف بأنه الشغل اللازم لنقل وتركيز المواد الكيميائية ويحصل عندما تقوم بتحليلية ماء البحر بعملية التناضج العكسي أما الشغل الميكانيكي فيتم عندما يرفع ثقل معين. الجدول 3-8 يوضح بعض أنواع الشغل.

جدول 3-8 بعض أنواع الشغل

الملاحظات	Dw	نوع الشغل
$P_{ex}$ يمثل الضغط الخارجي و $dV$ التغير في الحجم	$-P_{ex}dV$	شغل التمدد
$\gamma$ الشد السطحي $d\delta$ التغير في المساحة	$d\gamma \delta$	شغل الشد السطحي
$f$ الشد و $dl$ التغير في الطول	$fdl$	شغل التمدد الطولي
$\Phi$ الجهد الكهربائي و $dq$ التغير في الشحنة	$\Phi dq$	الشغل الكهربائي

### 3-14 الشغل الرجوعي والشغل غير الرجوعي :

#### Reversible and Irreversible Work

العملية الراجعة (العملية الانعكاسية) للنظام تعرف بأنها العملية التي يمكن للنظام فيها العودة إلى حالة الاتزان الابتدائية دون تأثير النظام أو المحيط، وتكون العملية مثالية وبدون احتكاك. تم العملية الراجعة ببطء شديد جداً

حيث يكون هذا البطء كافيا للحفاظ على اتزان النظام ان الشغل المنجز خلال هذه العملية يسمى الشغل الرجوعي Reversible work ويرمز له  $W_{rev}$  وعلى العكس من ذلك فان العملية غير الرجوعية (غير الانعكاسية) هي عملية طبيعية تحصل بكل حرية وبسرعة وتنحى بالنظام عن حالة الاتزان ولا يمكن عكسها بالضبط و الشغل المنجز خلال هذه العملية يسمى الشغل غير الرجوعي Irreversible work ويرمز له بالرمز  $W_{irr}$

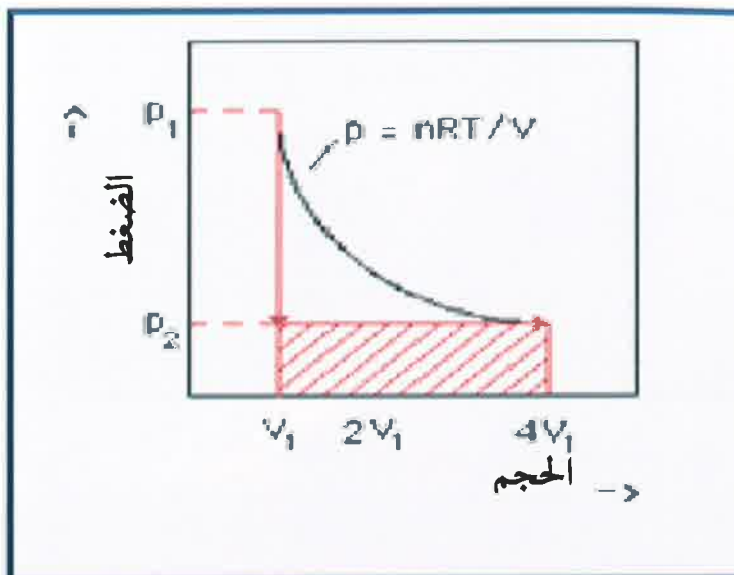
هناك طريقة واحدة بسيطة لإنجاز الشغل عندما يتم تسلیط قوه خارجية لضغط نظام معین. الشكل 3-16 یمثل كمية من الغاز في اسطوانة يعلوها مکبس عدیم الاحتكاك مع جدار الاسطوانة، وفي اعلى الاسطوانة هنالك ثقل موازنة ضغط الغاز، وهذا النظام في حالة اتزان.



**شكل 3-16 اسطوانة غاز بمکبس عدیم الاحتكاك**

يمكن ان تحصل ثلاثة عمليات لهذا النظام وهي:

- يتم ازالة الوزن الموجود على المكبس فجأة، وبذلك يتمدد الغاز الى اربعة اضعافه (يتمدد الغاز تدريجياً). لاحظ الشكل 3-17.



شكل 3-17 التمدد الحر للغاز

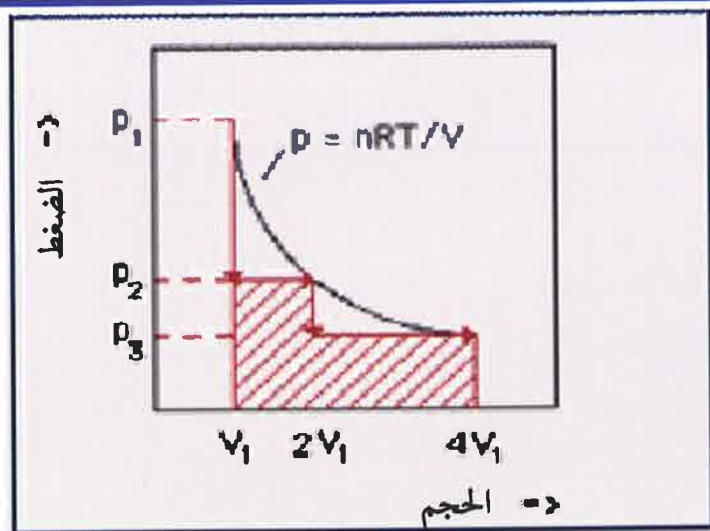
يمكن حساب الشغل المنجز بهذه العملية كما يأتي:

$$W = -p_2(V_{final} - V_{initial}) \quad 3-91$$

$$W = -p_2(4V_1 - V_1) = (RT / 4V_1)(4V_1 - V_1) \quad 3-92$$

$$W = -\frac{3}{4}RT \quad 3-93$$

- يتم ازالة نصف الثقل الموجود على المكبس، وفي هذه الحالة سيتضاعف حجم الغاز ثم يترك النظام للوصول الى حالة الاتزان ثم يتم ازالة النصف الآخر من الثقل، سيتتمدد الغاز تدريجياً حرارياً فيتضاعف حجم الغاز مرتين. (لاحظ الشكل 3-18).



شكل 3-18 تمدد الغاز على مراحلتين

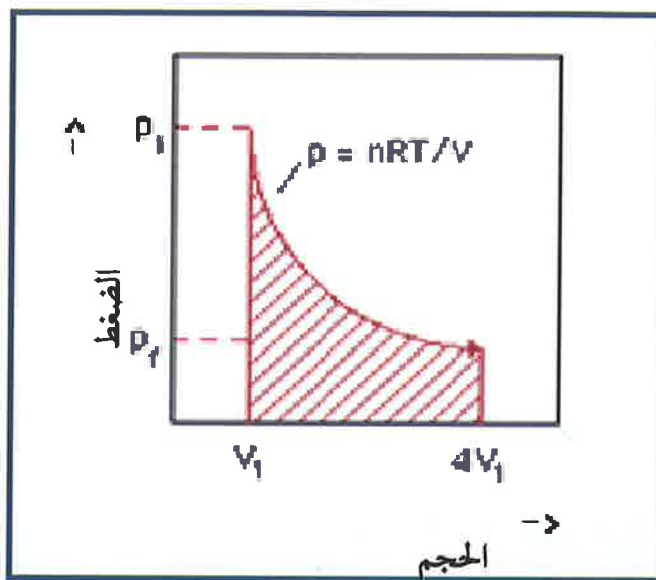
الشغل المنجز خلال هذه العملية يساوي:

$$W = -p_2(2V_1 - V_1) + -p_3(4V_1 - 2V_1) \quad 3-94$$

$$W = -(RT/2V_1)(2V_1 - V_1) + -(RT/4V_1)(4V_1 - 2V_1) \quad 3-95$$

$$W = -RT \quad 3-96$$

- يتم إزالة جزء صغير من الوزن في كل مرة ثم يترك النظام للوصول إلى حالة الاتزان ويتم الاستمرار بذلك حتى يتم إزالة آخر جزء صغير وفي كل مرة يتمدد الغاز، وعند إزالة الجزء الأخير يتضاعف حجم الغاز أربعة أمثال الحجم الأصلي. لاحظ الشكل 3-19.



شكل 3-19 تمدد الغاز بازالة اجزاء صغيرة (عملية رجوعية)

يمكن حساب الشغل المنجز خلال هذه العملية كما يأتي:

$$W = - \int_{V_1}^{V_2} P dV = - \int_{V_1}^{V_2} \frac{nRT}{V} dV = -nRT \ln\left(\frac{V_2}{V_1}\right) \quad 3-97$$

$$W = -RT \ln(4V_1/V_1) = -RT \ln 4 = -1.39RT \quad 3-98$$

عند مقارنة الشغل المنجز في العمليات الثلاثة نلاحظ بان الشغل المنجز في العملية الرجوعية هو الأكبر. يسمى الشغل المنجز بالعملية الرجوعية الشغل الأعظم maximum work. وبهذا نستنتج ان:

$$-W_{rev} > -W_{irr} \quad 3-99$$

يمكن ان نستنتاج بان الشغل الاعظم يعود الى تساوي الضغط الداخلي مع الضغط الخارجي اي ان:

$$P_{ext} \cong P \quad 3-100$$

ونستنتج كذلك بأنه في حالة المحاذا شغل على النظام فان الشغل المنجز في العملية الرجوعية يسمى الشغل الاصغر minimum work وهو اقل شغل منجز على النظام عندما تكون العلاقة ما بين الضغط الداخلي والضغط الخارجي كما موضح في المعادلة 3-100.

### أمثلة الفصل الثالث

مثال: 3-1 احسب  $\gamma$  لغاز مثالي احادي الذرة ولغاز مثالي ثنائي الذرة.

$$\gamma = \frac{C_p}{C_v}$$

للغاز المثالي احادي الذرة:

$$C_p = C_v + R = \frac{3}{2}R + R = \frac{5}{2}R$$

$$\gamma = \frac{5}{3} = 1.67$$

للغاز المثالي ثنائي الذرة:

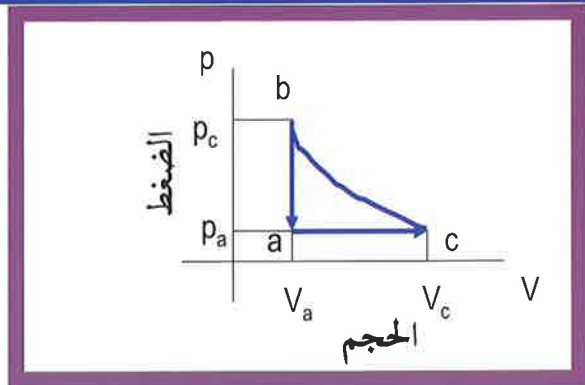
$$C_p = C_v + R = \frac{5}{2}R + R = \frac{7}{2}R$$

$$\gamma = \frac{7}{5} = 1.40$$

ملاحظة: المعادلة التي طبقت على الغاز ثنائي الذرة تطبق على اغلب الغازات.

مثال: 3-2 احسب الشغل الكلي المنجز للمسار abc في الشكل الآتي لثلاثة مولات من غاز مثالي، اذا علمت ان  $C_p$  للغاز تساوي  $29.1 \text{ J mol}^{-1}\text{K}^{-1}$

$$\text{وان } T_b = 600 \text{ K و } T_c = 492 \text{ K و } T_a = 300 \text{ K}$$



من الشكل يتضح ان العملية التي قمت وفق المسار  $ac$  قمت تحت ضغط ثابت، لذلك فان الشغل المنجز وفق المسار  $ac$  يساوي:

$$\begin{aligned} W_{ac} &= p\Delta V = nR\Delta T = nR(T_c - T_a) \\ &= (3)[8.315](492 - 300) \\ &= 4.79 \times 10^3 \text{ J}. \end{aligned}$$

والعملية التي قمت بالمسار  $cb$  هي عملية اديباتيكية:

$$\begin{aligned} W_{cb} &= Q - \Delta U = -\Delta U = -nC_v\Delta T \\ C_v &= C_p - R \\ W_{cb} &= -n(C_p - R)(T_b - T_c) \\ &= -(3)[29.1 - 8.315](600 - 492) \\ &= -6.74 \times 10^3 \text{ J}. \end{aligned}$$

والعملية التي قمت بالمسار  $ba$  قمت تحت حجم ثابت:

$$W_{ba} = 0$$

الشugal الكلي المنجز يساوي :

$$W = W_{ac} + W_{cb} + W_{ba} = -1.95 \times 10^3 \text{ J}$$

مثال: 3-3 اذا اردت ان تصمم ماكينة لتشغيل ضاغط هواء (كومبريسير) وكان الهواء يدخل إلى الماكينة عند ضغط  $1.60 \times 10^6 \text{ Pa}$  ويخرج منها عند ضغط  $2.80 \times 10^5 \text{ Pa}$ . كم يجب ان تكون درجة حرارة الهواء المضغوط لتجنب تكون طبقة ثلجية على الشبكة، اذا علمت ان الطبقة الثلجية تتكون عندما تكون درجة حرارة الهواء الرطب المضغوط اقل من صفر درجة مئوية.

$$TV^{\gamma-1} = \text{constant}$$

$$T_1 V_1^{\gamma-1} = T_2 V_2^{\gamma-1}$$

$$PV^\gamma = \text{constant}$$

$$P_1 V_1^\gamma = P_2 V_2^\gamma$$

$$P_1^{\gamma-1} T_1^\gamma = P_2^{\gamma-1} T_2^\gamma$$

$$T_1 = T_2 \left( \frac{P_1}{P_2} \right)^{\frac{1}{\gamma}}$$

$$\gamma = \frac{5}{7}$$

نستخدم للهواء

$$T_1 = (273.15) \left( \frac{1.60 \times 10^6}{2.80 \times 10^5} \right)^{\frac{5}{7}}$$

$$= 449 K = 176^\circ C.$$

مثال: 4-3 مول واحد من غاز مثالي مدد عند درجة حرارة 298 كلفن من ضغط قدره 5 بار الى 1 بار. احسب الشغل المنجز في الحالات الآتية:  
ا- اذا كان التمدد رجوعيا (عكسيا).

بـ- اذا كان التمدد مقابل ضغط خارجي قدره 1 بار.

جـ- اذا كان التمدد حررا.

-أـ

$$\begin{aligned} w &= -nRT \ln(V_f / V_i) \\ PV_i &= P_f V_f \\ V_f / V_i &= P_i / P_f \\ w &= -nRT \ln(P_f / P_i) \\ &= -(1)(8.314)(298.15) \ln(5/1) \\ &= -3988J \\ &= -3.99KJ \end{aligned}$$

-بـ

$$\begin{aligned} w &= -P_{ex} \Delta V \\ &= -P_{ex} (nRT / P_f - nRT / P_i) \\ &= -P_{ex} nRT (1/P_f - 1/P_i) \\ &= -(1)(1)(8.314)(298)(1/1) - (1/5) \\ &= -1.98KJ \end{aligned}$$

جـ- التمدد الحر يعني عدم وجود أي مقاومة للضغط ( $F=0$ )

$$W=0$$

مثال: 1 مول من غاز مثالي عند ضغط 2 جو ودرجة حرارة 298 كلفن، مدد بثبوت درجة الحرارة وذلك بتقليل ضغطه الى 1 جو وبصورة مفاجئة.

احسب الشغل المنجز وكمية الحرارة المفقودة او المكتسبة من قبل النظام.

$$\begin{aligned} w &= -P_{ex} \Delta V = P_{ex} (V_f - V_i) \\ V_i &= nRT / P_i = 1 \times 8.314 \times 298 / 202650 \\ &= 1.223 \times 10^{-2} m^3 \\ V_f &= 1 \times 8.314 \times 298 / 101325 \\ &= 2.445 \times 10^{-2} m^3 \\ w &= P_{ex} (V_f - V_i) \\ &= 101325(2.445 - 1.223) \times 10^{-2} = -1239 J \end{aligned}$$

$$\Delta U = q + w$$

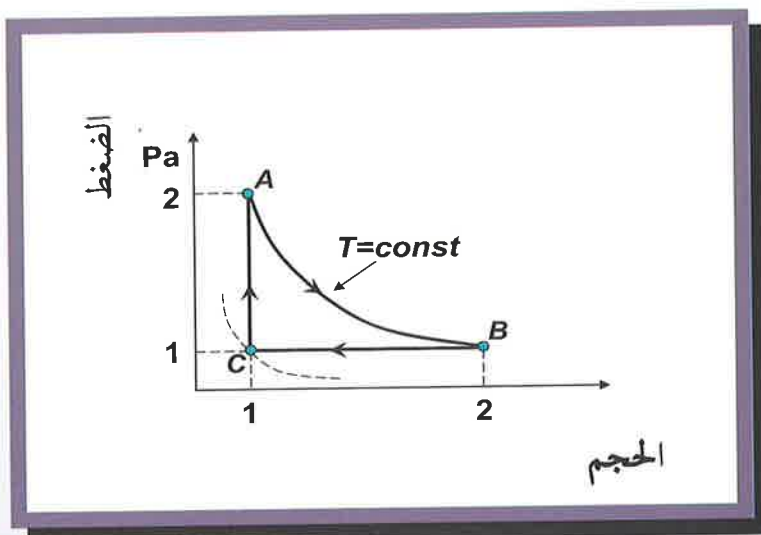
$$\Delta U = 0$$

$$q = -w$$

$$q = -w$$

$$q = -(-1239) = +1239 \text{ J}$$

مثال: 3-6 عين اشارة كل من  $Q$  و  $W$  و  $\Delta U$  لكل خطوة من الخطوات الموضحة بالشكل الاتي وضعها في المكان المخصص لها في الجدول.



الخطوة	$Q$	$W$	$\Delta U$
$A \rightarrow B$	+	-	0
$B \rightarrow C$	-	+	-
$C \rightarrow A$	+	0	+

**مثال 3-7:** افرض ان D هي دالة حالة وتعرف بالعلاقة الآتية:

$$D = H + RT$$

برهن ان:

$$C_p = \left( \frac{\partial D}{\partial T} \right)_P - R$$

من تعريف السعة الحرارية بثبوت الضغط فان:

$$C_p = \left( \frac{\partial H}{\partial T} \right)_P$$

بما ان:

$$D = H + RT$$

$$H = D - RT$$

$$\therefore C_p = \left( \frac{\partial D}{\partial T} \right)_P - R$$

**مثال 3-8:** مول من غاز مثالي تعدد عند الضغط الجوي ودرجة حرارة  $27.05^{\circ}\text{C}$  بعملية ادياتيكية رجوعية حتى اصبح حجمه  $49.2\text{ لتر}$ . اذا علمت ان السعة الحرارية المولارية تحت حجم ثابت تساوي  $12.54\text{ جول مول}^{-1}\text{ كلفن}^{-1}$ . احسب الضغط النهائي ودرجة الحرارة النهائية واحسب الشغل والتغير بالطاقة الداخلية والانثالبيه لهذه العملية.

$$PV = nRT$$

$$V = \frac{nRT}{P} = \frac{1 \times 0.082 \times 300.2}{1} = 24.61L$$

$$P_2 = P_1 \left( \frac{V_1}{V_2} \right)^{\gamma}$$

$$\gamma = \frac{C_p}{C_v}$$

$$C_p = C_v + R \\ = 12.54 + 8.314 = 20.854 \text{ Jmol}^{-1} \cdot K^{-1}$$

$$\gamma = \frac{20.854}{12.54} = 1.663$$

$$\therefore P_2 = 1 \times \left( \frac{24.61}{49.2} \right)^{1.663} = 0.316 \text{ atm.}$$

$$P_2 V_2 = n R T_2 \\ T_2 = \frac{P_2 V_2}{n R} = \frac{0.316 \times 49.2}{1 \times 0.082} = 189.6 \text{ K}$$

$$W = n C_v \Delta T \\ = 1 \times 12.54 \times (189.6 - 300.2) \\ = -1386.9 \text{ J}$$

$$\Delta U = W$$

$$\therefore \Delta U = -1386.9 \text{ J}$$

$$\Delta H = \Delta U + (P_2 V_2 - P_1 V_1)$$

$$\Delta H = \Delta U + n R T_2 - n R T_1$$

$$\Delta H = \Delta U + n R \Delta T$$

$$\Delta H = -1386.9 + 1 \times 8.314 \times (189.6 - 300.2) \\ = -2306 \text{ J}$$

**مثال 3-9:** ثلاثة مولات من غاز مثالي احادي الذرة سعته الحرارية بثبوت المحجم تساوي  $\frac{3}{2}R$  عدد درجة حرارة  $27^{\circ}\text{C}$  وضغط جوي واحد. ضغط الغاز بثبوت درجة الحرارة رجوعياً إلى نصف الحجم الاول. احسب  $\Delta H$  و  $Q$  و  $W$  و  $\Delta U$

$$T_1 = 27 + 273.15 = 300.15 \text{ K}$$

$$P_1 = 1.0 \text{ atm} = 1.0133 \times 10^5 \text{ Nm}^{-2}$$

$$R = 8.314 \text{ J K}^{-1} \text{ mol}^{-1} = 8.314 \text{ N m K}^{-1}$$

$$V_1 = \frac{nRT_1}{P_1} = \frac{3 \times 8.314 \times 300.15}{1.0133 \times 10^5} = 0.074 \text{ m}^3$$

$$V_2 = \frac{1}{2} V_1 = \frac{1}{2} \times 0.074 = 0.037 \text{ m}^3$$

$$\Delta T = 0$$

$$\Delta U = 0 = \Delta H$$

$$dq = -W$$

$$dq = -dW = -pdV = -nRT \ln \frac{V_2}{V_1}$$

$$q = -W = nRT \ln \frac{V_2}{V_1} = -3 \times 8.34 \times 300.15 \ln \frac{0.037}{0.074}$$

$$q = -W = +5.178 \text{ KJ}$$

### مثال 3-10:

أ- 50 غم من غاز النتروجين تم ضغطها رجوعياً بثبوت درجة الحرارة من ضغط 1 جو إلى 20 جو عند درجة حرارة  $25^{\circ}\text{C}$ . احسب الشغل المنجز.

بـ- احسب الشغل المنجز اذا تم إعادة تجديد الغاز بثبوت درجة الحرارة للعودة إلى حالته الابتدائية مقابل ضغط جوي ثابت. افرض ان الغاز مثالي.

أـ-

$$W = n \int_{V_1}^{V_2} p dV$$

$$W = n \int_{P_1}^{P_2} nR d \ln V = -n \int_{P_1}^{P_2} RT d \ln P$$

$$W = \left( \frac{50}{28} \right) \times 1.987 \times 298.15 \times 2.303 \log \frac{20}{1} \\ = 3170.25 \text{ Cal.}$$

بـ-

$$W = P_0 \Delta V$$

$$V_1 = \frac{nRT}{P_1}$$

$$V_2 = \frac{nRT}{P_0}$$

$$W = -P_0(V_2 - V_1)$$

$$= -nRT P_0 \left( \frac{1}{P_0} - \frac{1}{P_1} \right) = nRT \left( 1 - \frac{P_0}{P_1} \right)$$

$$= -\frac{50}{28} \times 1.987 \times 298.15 \left( 1 - \frac{1}{20} \right) = -1005.2 \text{ Cal}$$

**الفصل الرابع**

**CHAPTER FOUR**

**الكيمياء الحرارية**

**Thermochemistry**

## الفصل الرابع

### الكيمياء الحرارية

### Thermochemistry

Introduction	1-4 مقدمة
Heat of Chemical Reaction	2-4 حرارة التفاعل الكيميائي
Heat of Reaction of constant volume and pressure	3-4 حرارة التفاعل بثبوت الحجم وثبوت الضغط
Law Hess's	4-4 قانون هييس
Enthalpies of Formation	5-4 المحتويات الحرارية للتكون (انثالبية التكون)
Heat of Combustion	6-4 حرارة الاحتراق
Heat of Solution	7-4 حرارة محلول
Heat content and band energy	8-4 المحتوى الحراري وطاقة الاوامر
Heat of Neutralization	9-4 حرارة التعادل
Effect of Temperature on Enthalpy	10-4 تأثير درجة الحرارة على الانثالبية
Calorimetry	11-4 المسحيرية
Types of Calorimeter	12-4 أنواع المساعر
Relationship between $\Delta U$ and $\Delta H$	13-4 العلاقة ما بين $\Delta U$ و $\Delta H$
Examples	أمثلة

## الفصل الرابع

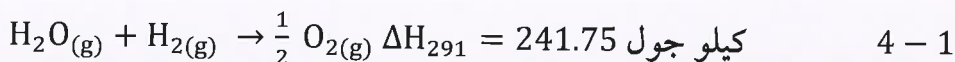
### الكيمياء الحرارية

### Thermochemistry

#### 1-4 مقدمة : Introduction

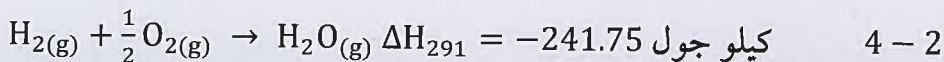
يشمل موضوع الكيمياء الحرارية (Thermochemistry) دراسة تأثيرات الحرارة التي تصاحب التفاعلات الكيميائية وتكوين المحاليل وتغيرات الحالة مثل الانصهار والتبلور. إن التغير الحراري الذي يصاحب التفاعلات الكيميائية يصنف إلى نوعين:

**الأول:** التفاعلات الماصة للحرارة Endothermic Reactions وهي التفاعلات التي يصاحبها امتصاص الحرارة من المحيط مثل تجزؤ بخار الماء:



وفي هذه الحالة يتم امتصاص حرارة من المحيط وتكتب  $\Delta H$  بإشارة موجبة.

**والثاني** التفاعلات الباعثة للحرارة Exothermic Reactions وهي التفاعلات التي تحرر حرارة مثل حرق غاز الهيدروجين:



وفي هذه الحالة تحرر حرارة من النظام لذلك تكتب  $\Delta H$  بإشارة سالبة.

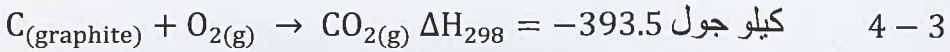
## 4-2 حرارة التفاعل الكيميائي: Heat of Chemical Reaction

يعتمد تغير كمية الحرارة على التفاعل فيما لو كان تحت ضغط ثابت أو حجم ثابت وكما سيناقش ذلك في الفقرة التالية من هذا الفصل. وبما أن العديد من التفاعلات تجرى عادة بثبوت الضغط الجوي فمن المعتاد إعطاء كمية الحرارة الرمز  $Q_P$  في هذه الحالة، وهي الحرارة الممتصلة بثبوت الضغط وهذه بالطبع تمثل  $\Delta H$ ، أي الزيادة في المحتوى الحراري بثبوت الضغط أو تحت الظروف نفسها. تدعى  $\Delta H$  هذه بحرارة التفاعل Heat of reaction وتمثل الفرق بين المحتويات الحرارية لنوافع التفاعل والمواد المتفاعلة بثبوت الضغط ودرجة حرارة معلومة وبحاله فيزياوية معروفة لكل مادة.

تعين كمية الحرارة بثبوت الحجم  $Q_V$  أو ( $\Delta U$ ) مباشرة من قيم ( $Q_P$ ) أو  $\Delta H$  إذا علم التغير بالحجم  $\Delta V$  بثبوت الضغط كما سنرى ذلك في الفقرة القادمة من هذا الفصل.

يتمثل تغير الحرارة الذي يصاحب التفاعل الكيميائي مثلاً بين الكاربون الصلب (الكرافيت) وغاز الأوكسجين بدرجة 298.15 كلفن بالمعادلة الكي米يا حرارية

الآتية:



وهذا معناه، عند تفاعل 12 غراماً من الكاربون الصلب (الكرافيت) و32غرام من غاز الأوكسجين تفاعلاً تماماً بدرجة 298.15 كلفن يتكون 44غرام من غاز ثاني أوكسيد الكاربون بثبوت الضغط وينقص المحتوى الحراري بمقدار 393.5 كيلو جول لأن إشاره  $\Delta H$  سالبة كما ذكر في الفقرة 4-1 من هذا الفصل.

تستخدم الرموز (s) و(g) و( $\ell$ ) للتعبير عن حالة المادة الكيميائية التي تشتراك بالتفاعل إذا كانت صلبة أو غازية أو سائلة على التوالي.

### 3-4 حرارة التفاعل بثبوت الحجم وثبوت الضغط

#### Heat of Reaction at constant volume and pressure

كما ذكر في الفقرتين السابقتين من هذا الفصل بان حرارة التفاعل الكيميائي تعتمد على ظروف العملية التي تنجز بها. هناك ظرفان خاصان مهمان في هذه الدراسة:

**الأول:** حصول التفاعل عند حجم ثابت: إذا ثبت حجم النظام فليس هناك شغل منجز عليه، عندئذ يصبح قانون الثرموديناميك الأول كما يأتي:

$$\Delta U = Q_v \quad 4-4$$

هذا معناه أن حرارة التفاعل المقاومة عند حجم ثابت تكون مساوية بالضبط إلى التغير في الطاقة الداخلية لنظام التفاعل. يطبق هذا الظرف بصورة تقريبية ممتازة عندما تنجز العملية في مسرع التجفير Bomb calorimeter وحصول التفاعل عند ثبوت الضغط، وهناك مساعر كثيرة تعمل بثبوت الضغط الجوي عندئذ:

$$\Delta H = Q_p \quad 4-5$$

أي أن حرارة التفاعل المقاومة تحت ضغط ثابت تكون مساوية بالضبط إلى التغير في المحتوى الحراري لنظام التفاعل. عند الحصول على قيمة ( $\Delta U$ ) من المسرع الوعائي يمكن حساب ( $\Delta H$ ) بموجب المعادلة 4-6:

$$\Delta H = \Delta U + \Delta(PV) \quad 4-6$$

تعني  $\Delta(PV)$  أن التغير في  $(PV)$  يكون للنظام برمته أو بخاصة حاصل ضرب  $(PV)$  للنواتج مطروحا منه حاصل ضرب  $(PV)$  للمواد المتفاعلة لتفاعل الكيميائي الخاص.

إذا كانت جميع المواد المتفاعلة والناتجة بطور السائل أو الصلب تكون قيم تغير  $(PV)$  قليلة جداً خلال التفاعل شريطة أن الضغط واطئ (ضغط جو واحد أو ما يقاربه). في هذه الحالة تصبح قيمة  $\Delta(PV)$  عادة قليلة بالمقارنة مع قيمة  $\Delta H$  عندئذ يمكن إهمالها، وتحت هذا الشرط تتساوى على وجه التقرير قيم  $Q_P$  و  $Q_V$ . لكن في التفاعلات التي تجري تحت الضغوط العالية، مثل تلك التي تجري في قاع المحيط، تكون قيمة غير قليلة  $\Delta(PV)$  ولا يمكن إهمالها حتى في المحيطات الكثيفة.

تعتمد قيم  $\Delta PV$  لتفاعلات الغازات على التغير بعدد مولات الغاز نتيجة لتفاعل، لذا وبموجب معادلة الغاز المثالى:

$$\Delta(PV) = \Delta n(RT) \quad 4 - 7$$

واستناداً إلى المعادلة 4-6 وبعد إدخال المعادلة 4-7 فيها يتبع ما يأتي:

$$\Delta H = \Delta U + \Delta n(RT) \quad 4 - 8$$

يجب الملاحظة بأنه لا يمكن إنجاز تفاعل بثبوت الضغط ودرجة الحرارة أو ثبوت الحجم ودرجة الحرارة وبالوقت نفسه يتطلب من الشروط الابتدائية والنهائية للضغط والحجم ودرجة الحرارة أن تكون نفسها في كلتا الحالتين. لذلك تصبح المعادلة 4-8 في حالتها العامة كما يأتي:

$$Q_P = \Delta U_p + \Delta(PV) \quad 4 - 9$$

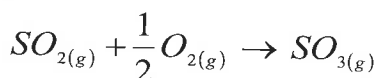
أي ان:

$$\Delta H_v = Q_v + V(\Delta P)$$

4 - 10

معتمدة بذلك على اختيار إجراء التجربة بثبوت الضغط أو ثبات الحجم.

تساوي ( $\Delta n$ ) في المعادلة 4-8 عدد مولات النواتج بطور الغاز فقط مطروحا منها عدد مولات المواد الابتدائية بطور الغاز أيضا. فمثلا في التفاعل الآتي:



4 - 11

تساوي  $\Delta U$  المقاسة بالمسعر الوعائي - 97.03 كيلو جول عند 298

كلفن. يمكن حساب  $\Delta H$  للتفاعل وكالآتي:

$$\Delta n = 1 - \left(1 + \frac{1}{2}\right) = 1 - 1 - \frac{1}{2} = -\frac{1}{2}$$

4 - 12

وبموجب المعادلة 4-8 يتبع ما يأتي:

$$\Delta H = \Delta U - \frac{1}{2} RT$$

4 - 13

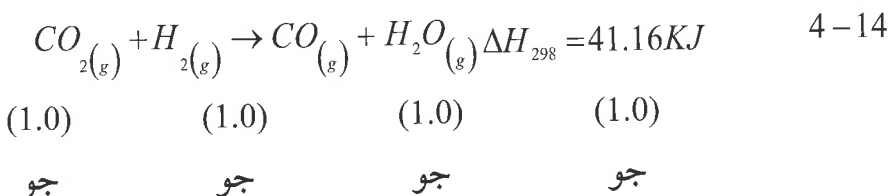
$$\Delta H = (-97.03) - \frac{1}{2}(0.0083)(298)$$

$$\Delta H = -98.27$$

نلاحظ عدم وجود اختلاف كبير بين النتائجتين.

## 4- قانون هييس : Hess's Law

لفرض حساب حرارة التفاعل يكون من الضروري كتابة المعادلة الكيميائية الدقيقة للتفاعل وتعيين حالات جميع المواد المتفاعلة والناتجة ودرجة الحرارة التي تم بها التفاعل. بما أن أغلب التفاعلات الكيميائية تدرس جوهريا تحت ضغط ثابت لذلك فمن المعتمد أن تمثل  $\Delta H$  حرارة التفاعل كما هو مبين في التفاعل الآتي:



نلاحظ ان التفاعل الموضح بالمعادلة 4-4 يبين حالة المواد المتفاعلة والناتجة من التفاعل وكذلك ظروف التفاعل من ضغط ودرجة حرارة إضافة إلى نوع التفاعل فيما اذا كان ماصا للحرارة Endothermic او باعثا للحرارة Exothermic

لا تعتمد  $\Delta H$  و  $U$  على المسار الذي يسلكه التفاعل استنادا إلى قانون الترموديناميك الأول، أي لا تعتمد على التفاعلات الوسيطة والتي يمكن أن تحدث، وبناءً على ذلك تمت صياغة ذلك بقانون هييس Hess's law، والذي يسمى أيضاً بقانون ثبوت مجموع الحرارة (The law of constant heat) ويجبر ذلك يمكن حساب حرارة التفاعل لتفاعل ما من تفاعلات أخرى مختلفة.

يعد قانون هييس التطبيق العملي للقانون الأول للترموديناميك وتم وضعه من قبل العالم هنري هييس (1802-1850) والذي ينص على:

(الإثنالية القياسية للتفاعل الكلي هي عبارة عن مجموع الاثالبيات

القياسية للتفاعلات الفردية التي يتضمنها التفاعل الكلي).

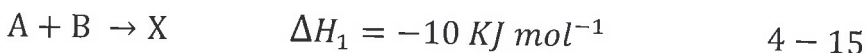
وبصيغة أخرى

(الإثنالية القياسية للتفاعل الكلي هي نفسها سوء المجزت في مرحلة

واحدة أو عدة مراحل).

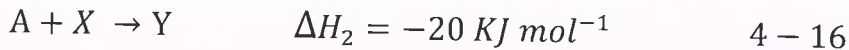
لتوضيح ذلك يمكن أن نأخذ المثال الآتي:

إذا كان لدينا تفاعل بين المادة A والمادة B وفق المعادلة الآتية:



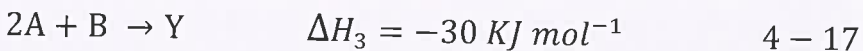
وإذا افترضنا أن المادة الناتجة X تتفاعل مع جزيئه أخرى من A لتعطي

ناتج آخر (Y) وحسب المعادلة الآتية:



واستناداً إلى قانون هيس فإن التفاعل الكلي يمكن كتابته وفق المعادلة

الآتية:



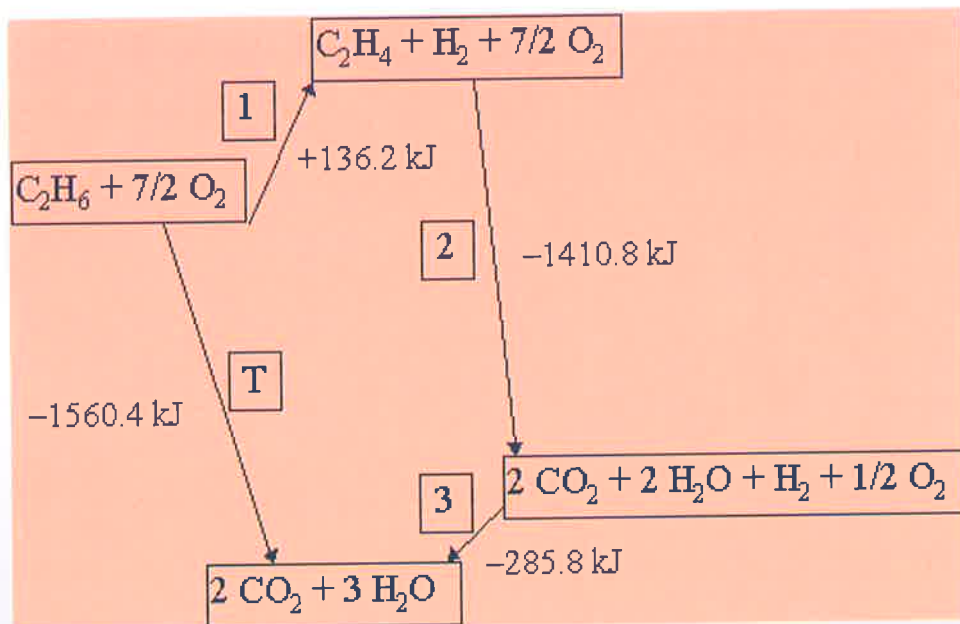
حيث تم جمع المعادلتين 15-4 و 16-4 لكي ينتج التفاعل الكلي في المعادلة 4-17.

يمكننا باستخدام قانون هيس أن نقيس إثنالية التفاعلات بصورة غير

مباشرة.

أ- المخطط الموضح بالشكل 4-1 يوضح احتراق الايثان بثلاث خطوات وهي (1 و 2 و 3) حيث ان التغيير الانثالي يساوي:

$$136.2 - 1410.8 - 285.8 = 1560.4 \text{ kJ}$$



شكل 4-1 مخطط احتراق الايثان بخطوة واحدة T وعدة خطوات 1 و 2 و 3

وعند حصول التفاعل بخطوة واحدة وهي (T) فان قيمة الانثالية تساوي ايضا 1560.4 كيلو جول، وهذا ما يثبت صحة قانون هيس.

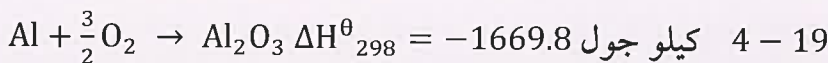
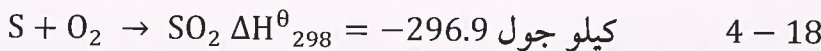
ان التغيير في المحتوى الحراري (الانثالية) للتفاعل بأخذ صيغ مختلفة وكل صيغة من هذه الصيغ يعتمد على نوع التفاعل وسيتم التطرق الى بعض انواع الانثالبيات.

## ٤-٥ المحتوى الحراري للتكون (انثالبية التكون)

### Enthalpy of Formation

إن الحالة القياسية (Standard state) لأية مادة كيمياویه هي تلك التي تكون بها المادة مستقرة بدرجة 298.15 كلفن وضغط جو واحد، مثل الأوكسجين  $O_{2(g)}$  والزئبق  $Hg_{(l)}$  والكبريت  $S_{(s)}$  كبلورات معینیه، لذلك تعد المحتويات الحرارية للعناصر الكيمياویة في تلك الحالات القياسية مساوية إلى الصفر.

يعرف المحتوى الحراري القياسي للتكون او الانثالبية القياسية للتكون  $\Delta H_f^\theta$  Standard Enthalpy of Formation  $\Delta H_f^\theta$  لأي مركب بأنه التغير الحاصل في الانثالبية عند تكون مول واحد من ذلك المركب من عناصره الأولية، إذ تكون جميع المواد المتفاعلة والناتجة في حالتها القياسية وكما هو مبين أدناه:

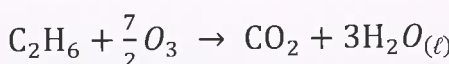


تدل الإشارة  $\theta$  على اليمين أعلى  $\Delta H^\theta$  بأنه  $\Delta H^\theta$  هنا تمثل المحتوى الحراري القياسي، أي أن ضغط المواد المتفاعلة والمادة الناتجة يساوي الضغط الجوي. يبيّن الجدول ٤-١ قيم المحتويات الحرارية القياسية  $\Delta H_f^\theta$  للتكون بدرجة 298.15 كلفن لبعض المواد الكيمياویة المحسوبة من الفرق بين المحتويات الحرارية القياسية للتكون المواد الناتجة والمتفاعلة.

## جدول 4-1 المحتويات الحرارية القياسية للتكون بدرجة (298.15) كلفن

$\Delta H_{298}^\theta$ كيلو جول مول <sup>-1</sup>	الحالة	المركب	$\Delta H_{298}^\theta$ كيلو جول مول <sup>-1</sup>	الحالة	المركب
20.63 -	غاز	H <sub>2</sub> S	241.826 -	غاز	H <sub>2</sub> O
814.00 -	سائل	H <sub>2</sub> SO <sub>4</sub>	285.830 -	سائل	H <sub>2</sub> O
296.80 -	غاز	SO <sub>4</sub>	133.2 -	غاز	H <sub>2</sub> O <sub>2</sub>
395.70 -	غاز	SO <sub>3</sub>	271.1 -	غاز	HF
110.523 -	غاز	CO	92.312 -	غاز	HCl
393.513 -	غاز	CO <sub>2</sub>	36.48 -	غاز	HB
205.9 -	سائل	COCl <sub>2</sub>	26.48 -	غاز	Hl
28.85 -	غاز	S <sub>2</sub> Cl <sub>2</sub>	238.6 -	صلب	HlO <sub>3</sub>
46.11 -	غاز	NH <sub>3</sub>	90.25 +	غاز	NO
294.10 +	غاز	HN <sub>3</sub>	82.05 -	غاز	N <sub>2</sub> O

إن اغلب المعلومات الكيمياء حرارية تم الحصول عليها من قياسات حرارات الاحتراق (Heat of Combustion)، فإذا علمت قيم حرارات تكوين المواد الناتجة المحترقة يمكن عندئذ حساب حرارة تكوين المركب من حرارة الاحتراق وكما هو موضح في المثال الآتي:



$$\Delta H_{298} = -1560 \text{ KJ} \quad 4-20$$

$$\text{C}_{(\text{graphite})} + \text{O}_2 \rightarrow \text{CO}_2 \quad \Delta H_{298} = -393.5 \text{ KJ} \quad 4-21$$

$$\text{H}_2 + \frac{1}{2}\text{O}_2 \rightarrow \text{H}_2\text{O}_{(\ell)} \quad \Delta H_{298} = -285.8 \text{ KJ} \quad 4-22$$

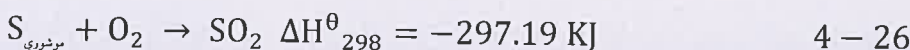
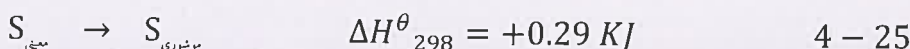
$$\text{C} + 3\text{H}_2 \rightarrow \text{C}_2\text{H}_6 \quad \Delta H_{298} = -285.8 \text{ KJ} \quad 4-23$$

يبين الجدول 4-2 قيم المحتويات الحرارية لتكوين بعض المواد الهيدروكربونية بطور الغاز.

**جدول 4-2 قيم المحتويات لتكوين بعض المواد الهيدروكربونية بطور الغاز**

$\Delta H^\theta_{298}$ كيلو جول $^{-1} \text{مول}$	الصيغة الكيميائية	المادة	$\Delta H^\theta_{298}$ كيلو جول مول $^{-1}$	الصيغة الكيميائية	المادة
5.81 -	$C_4H_8$	سز - 2 - بيوتين	74.75 -	$CH_4$	الميثان
9.78 -	$C_4H_8$	ترانس - بيوتين	84.48 -	$C_2H_6$	الإيثان
13.41 -	$C_4H_8$	- 2 - مثيل بروبين	103.60 -	$C_3H_8$	البروبان
226.9 +	$C_2H_2$	استيلين	124.30 -	$C_4H_{10}$	n - بيوتان
185.4 +	$C_3H_4$	مثيل استيلين	131.20 -	$C_4H_{10}$	ايسيوبوتان
			52.58 +	$C_2H_4$	الاثيلين
			20.74 +	$C_3H_6$	البروبيلين
			1.60 +	$C_4H_8$	- 1 - بيوتين

عند تغير حالة تجمع جزيئات المادة من شكل إلى آخر مثل تغير حالة الكبريت من الشكل البلوري المعيني (Rhombic) إلى الشكل المنشوري أحادي الميل (Monoclinic) يجب إدخال الحرارة الكامنة (Latent heat)، وكما يأتي:



## 6-4 حرارة الاحتراق Heat of Combustion

تحترق المركبات العضوية التي تحتوي على الاوكسجين والهيدروجين والكاربون بغاز الاوكسجين مكونة ثاني اوكسيد الكاربون والماء. تعرف حرارة الاحتراق (Heat of Combustion) بأنها التغير بالمحتوى الحراري الذي يصاحب احتراق كامل لمول واحد من المادة فإذا كانت جميع المواد المشتركة بالتفاعل في حالاتها القياسية تسمى عندئذ بحرارة الاحتراق القياسية حرارة الاحتراق مساوية إلى 25 متوي يبين الجدول 3-4 حرارات الاحتراق القياسية لبعض المواد العضوية.

إن حرارات احتراق البروتينات والمواد الكاربوهيدراتية والشحوم (أساسيات المواد الغذائية) مهمة جداً من الناحية الغذائية. وقد ذكر في الفقرة 4-4 من هذا الفصل كيفية استخدام حرارة الاحتراق لحساب حرارة تكون المادة العضوية التي لا يمكن تعينها بصورة مباشرة.

جدول 3-4 حرارات الاحتراق القياسية لمول واحد بدرجة 25 متوي

$\Delta H^\theta_{298}$ (كيلو جول) مول <sup>-1</sup>	الحالة	المادة	$\Delta H^\theta_{298}$ (كيلو جول) مول <sup>-1</sup>	الحالة	المادة
864.19 -	سائل	حامض الخل	882.70 -	غاز	الميثان
236.19 -	سائل	خلات الايثيل	1398.83 -	غاز	الايثيلين
323.51 -	سائل	البنزين	1546.46 -	غاز	الايثان
320110 -	صلب	حامض البنزويك	1288.45 -	غاز	الاستيلين
5108.68-	صلب	نفثالين	1355.15 -	سائل	الكحول الايثيلي
5595.24-	صلب	سكروز	720.30 -	سائل	الكحول الميثيلي

#### ٤-٧ حرارة محلول : Heat of Solution

في العديد من التفاعلات الكيميائية تكون إحدى المواد المتفاعلة أو أكثر في محلول، وتعد دراسات حرارة محلول Heat of Solution من أهم فروع الكيمياء الحرارية ويجب هنا التفريق بين حرارة محلول التكاملية Integral Heat وحرارة محلول التفاضلية Differential Heat of Solution تعرف حرارة محلول التكاملية بأنها:

التغير في الانثالبية عند إضافة مول واحد من المذاب إلى  $n_1$  مول من المذيب.

أما حرارة محلول التفاضلية فتعرف بأنها التغير في الانثالبية عند إذابة مول واحد من المذاب في كمية كبيرة من محلول، بحيث أن إضافة مول آخر من المذاب لن يؤدي إلى تغيير التركيز بصورة واضحة.

لا يمكن قياس حرارة محلول التفاضلية بطريقة عملية مباشرة، ولكن يمكن حسابها من المعلومات المتوفرة عن حرارة محلول التكاملية. تأثير حرارة تكون محلول يحتوي على  $m$  مول من المذاب و 1000غم من المذيب تساوي  $m\Delta H$  حيث أن  $\Delta H$  هي حرارة محلول التكاملية لكل مول من المذاب. إذا رسمنا هذه الكمية من التغير في الحرارة مقابل عدد مولات المذاب  $m$  فان الميل في لتركيز معين هو تأثير الحرارة لمول واحد من المذاب، أو هو حرارة محلول التفاضلية  $d(m\Delta H)/dm$ .

من المعلوم عند تحضير حامض الكبريتيك المخفف يصبح المحلول حاراً عندما يضاف الحامض المركز للماء تدريجياً مع الرج ثم يصبح معدل التسخين بنهائية الإضافة أقل بكثير من ذلك عند بدأ الإضافة وبخاصة عندما يضاف حامض الكبريتيك المركز إلى محلول الحامض المركز في الماء. يمكن كتابة معادلة هذا التغيير عند إضافة مول واحد من الحامض السائل إلى  $(n_1)$  مولات الماء كما يأتي:



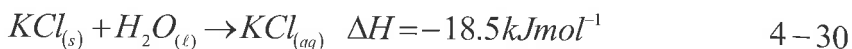
إن التغير في المحتوى الحراري لهذا التفاعل  $(\Delta H_s)$  مول واحد من حامض الكبريتيك يدعى بحرارة محلول التكاملية لمول واحد من حامض الكبريتيك وبدالة الكسور المولية  $(\chi)$ .

$$\chi_2(\text{H}_2\text{SO}_4) = \frac{1}{(n_1+1)} \quad 4 - 28$$

$$\chi_1(\text{H}_2\text{O}) = \frac{n_1}{(n_1+1)} \quad 4 - 29$$

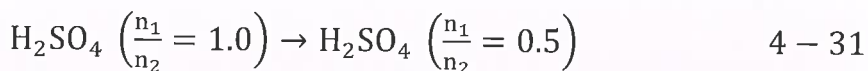
يبين الجدول 4-4 حرارة محلول  $(\Delta H_s)$  لسلسلة من قيم مختلفة لـ  $(n_1)$  ويلاحظ من الجدول بأن ازدياد قيمة  $(n_1)$  يؤدي بمحلول النهائي أن يكون أكثر تخفيفاً، أي تزداد قيمة  $(-\Delta H_s)$  لكل مول من حامض الكبريتيك بصورة ثابتة إلى أن تصل إلى القيمة المحددة وهي  $-96.19$  كيلو جول مول<sup>-1</sup> والتي تدعى بحرارة محلول التكاملية للتخفيف المطلق أو اللانهائي Integral Heat of Solution at infinite dilution.

تعرف حرارة المحلول التكاملية عند التخفيف اللانهائي بانها التغير في الانثالبية عند إذابة مول من المذاب في كمية من المذيب حيث ان أي تخفيف آخر للمحلول لا يؤدي الى أي تغير في الانثالبية ومثال على ذلك:



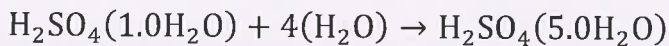
حيث ان aq وهي اختصار لكلمة aqueous وتعني مائي ومعناها انه محلول مائي خفف لدرجة بحيث ان أي اضافة أخرى من الماء سوف لن تؤدي إلى تغير الانثالبية، وبمعنى آخر ان القيمة ( $-18.5 \text{ kJ mol}^{-1}$ ) تمثل الانثالبية التكاملية للمحلول عند التخفيف اللانهائي لمول واحد من  $KCl$ .

يعطي الفرق بين حرارات المحلول التكاملية لتركيزين مختلفين حرارة التخفيف (Heat of dilution) ومثال على ذلك:



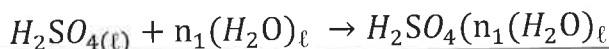
$$\Delta H = (-58.03) - (28.07) = -29.96 \text{ kJ mol}^{-1} H_2SO_4$$

أو



$$\Delta H = -29.96 \text{ kJ mol}^{-1} \quad 4-32$$

## جدول 4-4 حرارات محلول التكاملية



$-H_S^{(298.15)}$ of $H_2SO_4$ كيلوجول مول <sup>-1</sup>	$\Delta$	$\frac{\text{مول } H_2O}{\text{مول } H_2SO_4} = \frac{n_1}{n_2}$
15.73		0.5
28.07		1.0
27.07		1.0
36.90		1.5
41.62		2.0
58.03		5.0
58.03		5.0
67.03		10.0
73.35		50.0
73.97		100.0
78.58		1000.0
87.07		10000.0
93.64		100000.0
96.19		$\infty$

تدعى  $\Delta H_S$  المبينة في الجدول 4-4 بحرارات محلول التكاملية لأنها تمثل مجموع جميع ( $\Delta H$ ) عند إضافة  $H_2SO_4$  للمحاليل التي تتغير أجزاء تركيبها من الماء النقي إلى التركيز النهائي ( $n_1$ ) مول من الماء لكل مول من حامض الكبريتيك.

إذا قيس التغير في المحتوى الحراري لكل مول من حامض الكبريتيك المسبب عند إضافة الحامض إلى محلول الذي يحتوي على الحامض والماء بتركيب ثابت معرف مثلا ( $n_1$ ) من مولات الماء و ( $n_2$ ) من مولات حامض الكبريتيك.

يعتمد التغير في المحتوى الحراري لهذه العملية على التركيب المعرف ولذلك يمكن كتابته كدالة لـ  $(n_1)$  و  $(n_2)$  أي  $\Delta H_2(n_1, n_2)$  ، تعرف هذه الكمية بحرارة المحلول التفاضلية لحامض الكبريتيك عند تركيب معرف، ولكن من الناحية العملية لا يمكن إذابة حامض الكبريتيك ب محلول يحتوي على حامض الكبريتيك والماء بدون التغير في تركيب المحلول، لذلك يجب تعريف الحرارة التفاضلية بأنها حدود الكمية  $(\Delta H / \Delta n_2)$  بشروط  $(n_1)$  واقتراض  $(\Delta n_2)$  من الصفر، أي:

$$\Delta H_2 \lim_{\Delta n_2 \rightarrow 0} \left( -\frac{\Delta H}{\Delta n_2} \right) n_1 + \left( -\frac{\partial \Delta H}{\partial n_2} \right) n_1 \quad 4 - 33$$

يمكن اشتقاق العلاقة بين حرارات المحلول التكاملية والتفاضلية كما يأتي:

تعتمد  $(\Delta H)$  التكاملية على عدد مولات المكونين  $(n_1)$  و  $(n_2)$ ، أي:

$$\Delta H_s = \Delta H_s(n_2, n_1) \quad 4 - 34$$

يصبح التغير بشروط درجة الحرارة والضغط كما يأتي:

$$d(\Delta H_s) = \left( \frac{\partial \Delta H_1}{\partial n_1} \right) dn_1 + \left( \frac{\partial \Delta H_2}{\partial n_2} \right) dn_2 \quad 4 - 35$$

وبإدخال المعادلة 4-33 في المعادلة 4-35 يت俊 ما يأتي:

$$d(\Delta H_s) = \Delta H_1 dn_1 + \Delta H_2 dn_2 \quad 4 - 36$$

تكامل المعادلة 4-36 بشروط  $(n_1)$ ،  $(n_2)$  وكذلك  $(\Delta H_1)$  و  $(\Delta H_2)$  يعطي

المعادلة 4-37.

$$\Delta H_s = n_1 \Delta H_1 + n_2 \Delta H_2 \quad 4 - 37$$

يمكن الحصول على قيمة  $\Delta H_s$  عند معرفة قيم  $\Delta H_1$  و  $\Delta H_2$  من المعادلة 4-37.

الجدول 4-5 يوضح حرارة المحلول لبعض المحاليل المائية، حيث يلاحظ بعضها باعث للحرارة والأخر ماصل للحرارة.

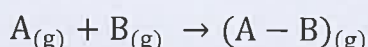
جدول 4-5 حرارة المحلول لبعض المحاليل المائية

المذاب	الناتج	حرارة المحلول
<u>أ- باعثة للحرارة</u>		
$\text{CH}_2\text{O}_2(\text{l})$	$\text{H}^+(\text{aq}) + \text{CHO}_2^-(\text{aq})$	-0.86 kJ/mol
$\text{C}_2\text{H}_4\text{O}_2(\text{l})$	$\text{H}^+(\text{aq}) + \text{C}_2\text{H}_3\text{O}_2^-(\text{aq})$	-1.5 kJ/mol
$\text{CH}_4\text{O}(\text{l})$	$\text{CH}_4\text{O}(\text{aq})$	-0.2 kJ/mol
$\text{CaCl}_2(\text{s})$	$\text{Ca}^{2+}(\text{aq}) + 2\text{Cl}^-(\text{aq})$	-82.9 kJ/mol
$\text{CaCl}_2(\text{s})$	$\text{CaCl}_2 \cdot 2\text{H}_2\text{O}(\text{aq})$	-240 kJ/kg
$\text{Ca}(\text{OH})_2(\text{s})$	$\text{Ca}^{2+}(\text{aq}) + 2\text{OH}^-(\text{aq})$	-16.2 kJ/kg
$\text{CO}_2(\text{g})$	$\text{CO}_2(\text{aq})$	-19.4 kJ/mol
$\text{H}_2\text{O}_2(\text{l})$	$\text{H}_2\text{O}_2(\text{aq})$	-3.5 kJ/mol
$\text{H}_2\text{O}(\text{l})$	$\text{H}^+(\text{aq}) + \text{OH}^-(\text{aq})$	-58 kJ/mol
$\text{H}_2\text{SO}_4(\text{l})$	$2\text{H}^+(\text{aq}) + \text{SO}_4^{2-}(\text{aq})$	-96.2 kJ/mol
$\text{MgSO}_4(\text{s})$	$\text{Mg}^{2+}(\text{aq}) + \text{SO}_4^{2-}(\text{aq})$	-91.2 kJ/mol
$\text{HCl}(\text{g})$	$\text{H}^+(\text{aq}) + \text{Cl}^-(\text{aq})$	-74.8 kJ/mol
$\text{HClO}_4(\text{l})$	$\text{H}^+(\text{aq}) + \text{ClO}_4^-(\text{aq})$	-88.8 kJ/mol
$\text{HNO}_3(\text{l})$	$\text{H}^+(\text{aq}) + \text{NO}_3^-(\text{aq})$	-33.3 kJ/mol
$\text{KOH}(\text{s})$	$\text{K}^+(\text{aq}) + \text{OH}^-(\text{aq})$	-56 kJ/mol
$\text{LiBr}(\text{s})$	$\text{Li}^+(\text{aq}) + \text{Br}^-(\text{aq})$	-49 kJ/mol
$\text{LiBr} \cdot \text{H}_2\text{O}(\text{s})$	$\text{Li}^+(\text{aq}) + \text{Br}^-(\text{aq})$	-23 kJ/mol
$\text{LiBr} \cdot 2\text{H}_2\text{O}(\text{s})$	$\text{Li}^+(\text{aq}) + \text{Br}^-(\text{aq})$	-9 kJ/mol
$\text{LiCl}(\text{s})$	$\text{Li}^+(\text{aq}) + \text{Cl}^-(\text{aq})$	-37 kJ/mol

المذاب	الناتج	حرارة المخلول
LiOH(s)	$\text{Li}^+(\text{aq}) + \text{OH}^-(\text{aq})$	-23.6 kJ/mol
NaOH(s)	$\text{Na}^+(\text{aq}) + \text{OH}^-(\text{aq})$	-44.3 kJ/mol
NH <sub>3</sub> (g)	NH <sub>3</sub> (aq)	5 kJ/mol
O <sub>2</sub> (g)	O <sub>2</sub> (aq)	-11.7 kJ/mol
SO <sub>2</sub> (g)	SO <sub>2</sub> (aq)	-39.5 kJ/mol
<u>بـ ماصة للحرارة</u>		
C <sub>12</sub> H <sub>22</sub> O <sub>11</sub> (s)	C <sub>12</sub> H <sub>22</sub> O <sub>11</sub> (aq)	5.4 kJ/mol
C <sub>6</sub> H <sub>12</sub> O <sub>6</sub> (s)	C <sub>6</sub> H <sub>12</sub> O <sub>6</sub> (aq)	11 kJ/mol
C <sub>6</sub> H <sub>12</sub> O <sub>6</sub> ·H <sub>2</sub> O(s)	C <sub>6</sub> H <sub>12</sub> O <sub>6</sub> ·H <sub>2</sub> O(aq)	19 kJ/mol
CO(NH <sub>2</sub> ) <sub>2</sub> (s)	CO(NH <sub>2</sub> ) <sub>2</sub> (aq)	15 kJ/mol
KBr(s)	$\text{K}^+(\text{aq}) + \text{Br}^-(\text{aq})$	20 kJ/mol
KCl(s)	$\text{K}^+(\text{aq}) + \text{Cl}^-(\text{aq})$	17 kJ/mol
KClO <sub>3</sub> (s)	$\text{K}^+(\text{aq}) + \text{ClO}_3^-(\text{aq})$	42 kJ/mol
KMnO <sub>4</sub> (s)	$\text{K}^+(\text{aq}) + \text{MnO}_4^-(\text{aq})$	44 kJ/mol
KNO <sub>3</sub> (s)	$\text{K}^+(\text{aq}) + \text{NO}_3^-(\text{aq})$	35 kJ/mol
NaC <sub>2</sub> H <sub>3</sub> O <sub>2</sub> ·3H <sub>2</sub> O(s)	NaC <sub>2</sub> H <sub>3</sub> O <sub>2</sub> ·3H <sub>2</sub> O(aq)	150 kJ/kg

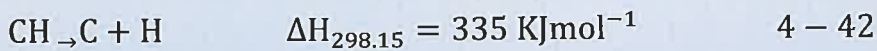
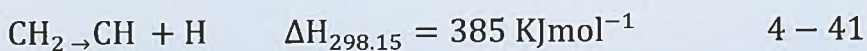
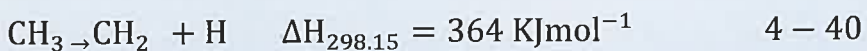
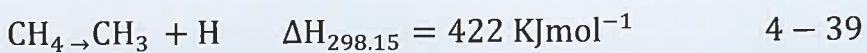
#### 4- المحتوى الحراري وطاقة الأواصر

يمكن اعتبار حرارة تكوين الجزيئة صفة إضافية للأواصر التي تكون الجزيئة وتدعى هذه الصفة بطاقة الأصرة Bond Energy أو المحتوى الحراري للأصرة فعند انكسار أصرة بين ذرتين مثل:



4 – 38

يمكن تعريف طاقة الآصرة بأنها التغير بالطاقة عند الصفر المطلق أو ( $\Delta H_{\text{}}^{\circ}$ ) التغير بالمحتوى الحراري عند الصفر المطلق ( $\Delta H_{\text{}}^{\circ}$  )، وهذا التعريفان مفيدان عند مناقشة التركيب الجزيئي الذي يعني أحياناً بالمعلومات الطيفية لطاقات تفكك الجزيئات. ويمكن تعريف طاقة الآصرة بأنه التغير بالمحتوى الحراري عند درجة (298.15) كلفن  $\Delta H_{298.15}^{\circ}$  ، وهذا التعريف يعد مناسباً جداً للاستخدام في المعلومات الكيمياء حرارية وحسابات حرارات التفاعل. واستناداً إلى التعريف الأخير تعرف طاقة الآصرة  $\Delta H_{\text{}}^{\circ}$  (A-B) للآصرة (A-B) بأنها  $\Delta H_{298.15}^{\circ}$  للتفاعل أعلى وتمثل بصورة أدق المحتوى الحراري للآصرة، وتعرف بأنها معدل كمية الطاقة للمول الواحد اللازمة لكسر آصرة معينة في الجزيئة وتكوين الذرات أو الجذور الحرة وبموجب ذلك تساوي طاقة آصرة (C-H) ربع كمية الطاقة اللازمة لتفكك مول واحد من جزيئة الميثان إلى ذرة الكربون وذرات الهيدروجين بطور الغاز، أي أن الطاقات اللازمة لرفع أربع ذرات هيدروجين من جزيئة الميثان هي طاقات مختلفة وما هو موضح أدناه، ولذلك تعرض طاقات الآصرة بصورة عامة بشكل متوسط قيم تلك الطاقات وهذا السبب تختلف هذه الطاقات من مركب إلى آخر للآصرة نفسها:



تمثل هذه القيم الموضحة مقابل كل معايرة من المعادلات أعلاه، فيما تقريرية لأنها من الصعب الحصول على معلومات دقيقة جداً في هذا الخصوص. يمثل الجدول 4-5 متوسط قيم طاقات الأصرة المنفردة لبعض الأواصر الكيميائية.

<sup>١</sup> جدول 4-5 متوسط قيم طاقات الأصرة لبعض الأواصر الكيميائية / كيلوجول مول

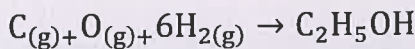
الطاقة	الأصرة	الطاقة	الأصرة	الطاقة	الأصرة
203	O - Cl	240	C - I	339	H - S
185	O - F	276	C - Br	299	H - I
139	O - O	328	C - Cl	366	H - Br
258	F - I	441	C - F	432	H - Cl
237	F - Br	351	C - O	563	H - F
254	F - Cl	391	C - N	463	H - O
153	F - F	348	C - C	319	H - N
210	Cl - I	200	N - Cl	413	H - C
219	Cl - Br	270	N - F	436	H - H
243	Cl - Cl	161	N - N	259	C - S

وكما يمثل الجدول 4-6 قيم طاقات الأصرة المنفردة والمزدوجة والثلاثية لبعض المركبات الكيميائية.

## جدول 4-6 قيم طاقات الأصرة المنفردة والمزدوجة والثلاثية لبعض المركبات

الطاقة	الأصرة	الطاقة	الأصرة	الطاقة	الأصرة
452	H <sub>3</sub> C – F	268	H <sub>3</sub> C – CH <sub>3</sub>	946	N≡N
234	H <sub>3</sub> C – I	243	H <sub>2</sub> N – NH <sub>2</sub>	962	CH≡CH
178	Br – I	21	HO – HO	937	N≡CH
193	Br – Br	349	H <sub>3</sub> C – Cl	1075	O=C
151	I – I	251	H <sub>2</sub> N – Cl	682	H <sub>2</sub> C=CH <sub>2</sub>
177	Si – Si	251	HO – Cl	732	CH <sub>2</sub> =O
213	S – S	431	H <sub>2</sub> N – H	498	O=O
		498	HO – H	481	O=NH
		331	H <sub>3</sub> C – NH <sub>2</sub>	458	HN=NH
		381	H <sub>3</sub> C – OH	644	H <sub>2</sub> C=NH

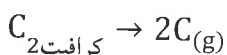
يوضح المثال الآتي استخدام طاقات الأصرة لحساب المحتوى الحراري القياسي لتكون المركب الكيميائي والمثال هو تكون جزيئه الكحول الايثيلي:



$$\Delta H_{298.15} = -3227 \text{ KJ}$$

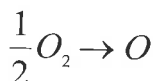
4 - 43

ومن قيم المحتويات الحرارية لتكون الذرات (Atomization)



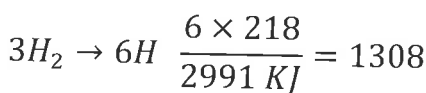
$$2 \times 717 = 1434$$

4 - 44



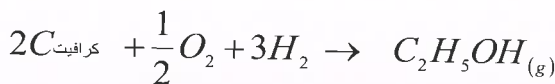
$$249$$

4 - 45



4 - 46

فلذلك:



4 - 47

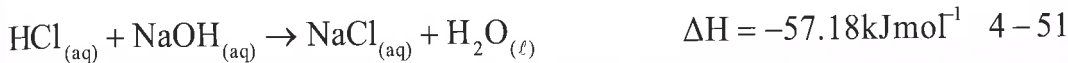
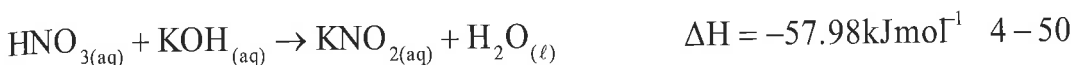
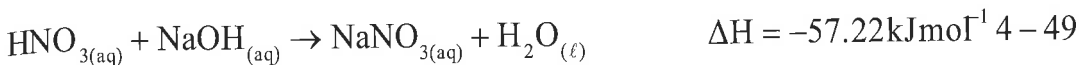
$$\Delta H_{298.15} = -3227 + 2991 = -236 \text{ كيلو جول}$$

4 - 48

إن القيمة التجريبية للمحتوى الحراري القياسي تساوي  $-237 \text{ kJ}$ . ويعني هذا أن هناك توافقاً كبيراً بين القيمة التجريبية والقيمة المحسوبة من التفاعلات الكيميائية.

**4-9 حرارة التعادل**

تعرف حرارة التعادل Heat of Neutralisation بأنها التغير الحراري الحاصل عندما يعادل مكافئ غرامي واحد من الحامض مكافئ غرامي من القاعدة أو بالعكس في محلول مخفف. مثال على حرارة التعادل ما يأتي:

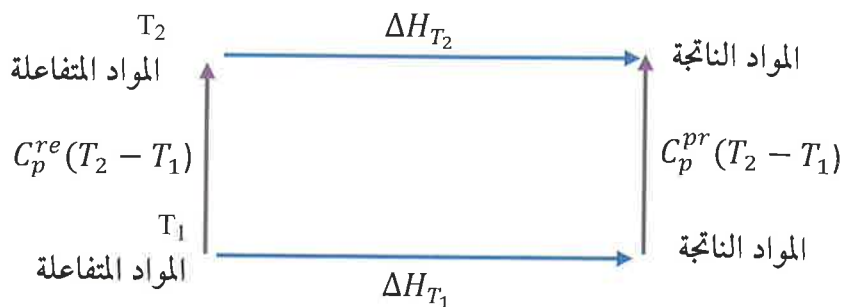


ان حرارة التعادل للحامض القوي والقاعدة القوية هو بحدود  $-57 \text{ kJ mol}^{-1}$  بعض النظر عن القاعدة او الحامض المقابل لها. ان هذه الحقيقة تم تفسيرها بشكل مرض باستناد إلى نظرية التأين Ionization Theory.

**4-10 تأثير درجة الحرارة على الانشائية:****Effect of Temperature on Enthalpy**

تقاس في بعض الأحيان  $\Delta H$  لتفاعل ما بدرجة حرارة واحدة والمطلوب

معرفة قيمتها بدرجة أخرى كما هو مبين في الشكل التخطيطي الآتي:



يفترض في هذا الشكل التخطيطي أن السعات الحرارية ( $C_p$ ) ثابتة بحدى درجات الحرارة وتمثل ( $C_p^{re}$ ) مجموع السعات الحرارية لجميع المواد المتفاعلة بمعادلة الاتحاد الجزيئي للتفاعل و ( $C_p^{pr}$ ) مجموع السعات الحرارية للمواد الناتجة.

استناداً إلى القانون الأول للtermodynamics فإن:

$$\Delta H_{T_2} + C_p^{re}(T_2 - T_1) = C_p^{pr}(T_2 - T_1) + \Delta H_{T_1} \quad 4-53$$

$$\Delta H_{T_2} - \Delta H_{T_1} = (C_p^{pr} - C_p^{re})(T_2 - T_1) \quad 4-54$$

$$\frac{\Delta H_{T_2} - \Delta H_{T_1}}{T_2 - T_1} = (C_p^{pr} - C_p^{re}) \quad 4-55$$

خلال الحدود  $(T_2 - T_1) \rightarrow 0$  أي عند اقتراب  $(T_2 - T_1)$  من الصفر

يعطي الفرق في المعادلة 4-55 الهيئة التفاضلية الآتية:

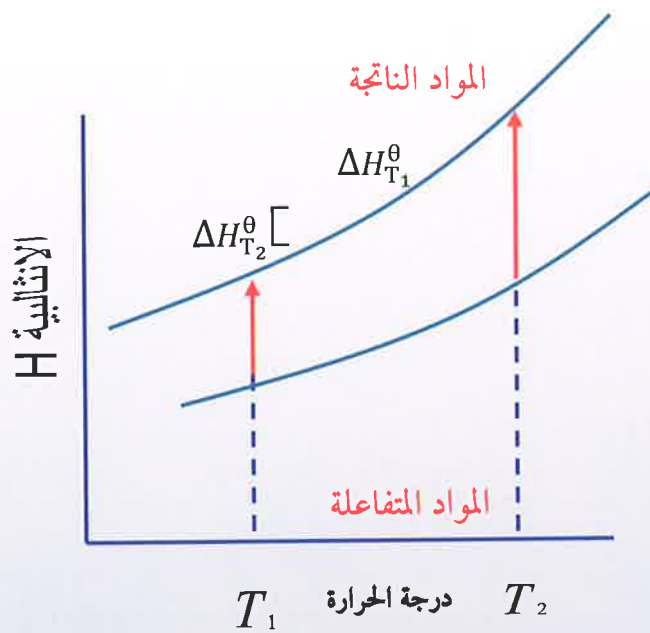
$$\frac{d(\Delta H)}{dT} = \Delta C_p \quad 4-56$$

لقد اشتقت هذه المعادلات لأول مرة من قبل العالم كروتشوف عام 1858م وسميت باسمه (معادلة كروتشوف Kirchhoff's Equation) وتوضح

بأن معدل تغير الانثالبية لتفاعل ما مع درجة الحرارة يساوي الفرق بين السعات الحرارية للمواد الناتجة والمواد المتفاعلة.

هناك تبسيط واحد قد يؤدي إلى الخطأ في هذه المعالجة. بما أن السعات الحرارية بالحقيقة تتغير مع درجة الحرارة فغالباً ما يكون من الدقة الكافية استخدام متوسط قيمة السعة الحرارية على مدى درجات الحرارة قيد الدرس.

يوضح الشكل 4-2 محتويات قانون كروتشوف Kirchhoff's Law عندما تزداد درجة الحرارة فإن الانثالبية للمواد الناتجة والمواد المتفاعلة تزداد ولكن زیادتها ليست متساوية كما موضح بالشكل.



شكل 4-2 محتويات قانون كروتشوف

إن التغير بالانثالبية الكلية للتفاعل يعكس الفرق بين انثالبيات المواد الناتجة والمواد المتفاعلة:

$$\Delta H = H_{\text{product}} - H_{\text{reactant}} \quad 4-57$$

ومثلاً على استخدام المعادلة 4-56 هو التفاعل الآتي:



والمطلوب حساب ( $\Delta H_{298.15}$ ) بمدى درجات الحرارة القليل تكون قيم (C<sub>P</sub>) الفعالة لكل مول كالتالي:

$$C_P(H_2O) = 0.03356, C_P(H_2) = 0.02883, C_P(O_2) = 0.02912 \text{ KJ K}^{-1} \text{ mol}^{-1}$$

$$\Delta C_P = C_P(H_2) + \frac{1}{2} C_P(O_2) - C_P(H_2O) \quad 4-59$$

$$C_P = 0.02883 + 0.02192 - 0.03356 = 0.02439 \text{ KJ K}^{-1} \text{ mol}^{-1}$$

تطبيق المعادلة 4-56

$$\frac{\Delta H_{298} - 241.75}{298 - 291} = 0.02439 \quad 4-60$$

$$\Delta H_{298} = 7(0.02439) + 241.75$$

$$\Delta H_{298} = 241.921 \text{ جول كيلو}$$

يتطلب تكامل المعادلة بدقة أكثر تعبيرات السعة الحرارية للمواد الناتجة والمترادفة بحدى درجات الحرارة قيد الاهتمام. ويمكن تمثيل المعلومات التجريبية للسعة الحرارية كما يأتي:

$$C_p = a + bT + CT^2 + \dots \quad \dots \quad 4-61$$

توافق الحدود الثلاث للمعادلة 4-61 المعلومات التجريبية بنسبة خطأ تراوح حوالي 0.5% ضمن درجات الحرارة من 273 إلى 1500 كلفن.

$$\Delta H_2 - \Delta H_1 = \int_{T_1}^{T_2} C_p dT \quad 4-62$$

وبإدخال المعادلة 4-61 بالمعادلة 4-62 ينتج الآتي:

$$\Delta H_r = \int_{T_1}^{T_2} (A + BT + CT^2 \dots) dT \quad 4-63$$

$$X\Delta T = \Delta H^\circ + AT + \frac{1}{2}BT^2 + \frac{1}{3}CT^3 + \dots \quad 4-64$$

تمثل A و B و C مجاميع (a) و (b) و (c) في المعادلة 4-61 و ( $\Delta H^\circ$ ) ثابت التكامل. إن قياس  $\Delta H$  بدرجة حرارة معلومة يجعل حساب ( $\Delta H^\circ$ ) ممكناً بوجب المعادلة 4-64 ولذلك يمكن حساب  $\Delta H$  بأي درجة حرارة من المعادلة 4-64 ضمن مدى فعالية معادلات السعة الحرارية.

#### Calorimetry 11-4 المسعرية

المسعرية Calorimetry هي علم قياس حرارة التفاعلات الكيميائية والتغيرات الفيزيائية والسعنة الحرارية. يستخدم المسعر لقياس المسعرية.

المسعر Calorimeter هو الـ لقياس المسعرية. ان كلمة Calorimeter مشتقة من الكلمة اللاتينية Calor والتي تعني حرارة، وبذلك Calorimeter تعني مقياس الحرارة.

يتم حساب كمية الحرارة عند حصول التفاعل داخل المسعر وفق المعادلة الآتية:

$$Q=mc \Delta t \quad 4-65$$

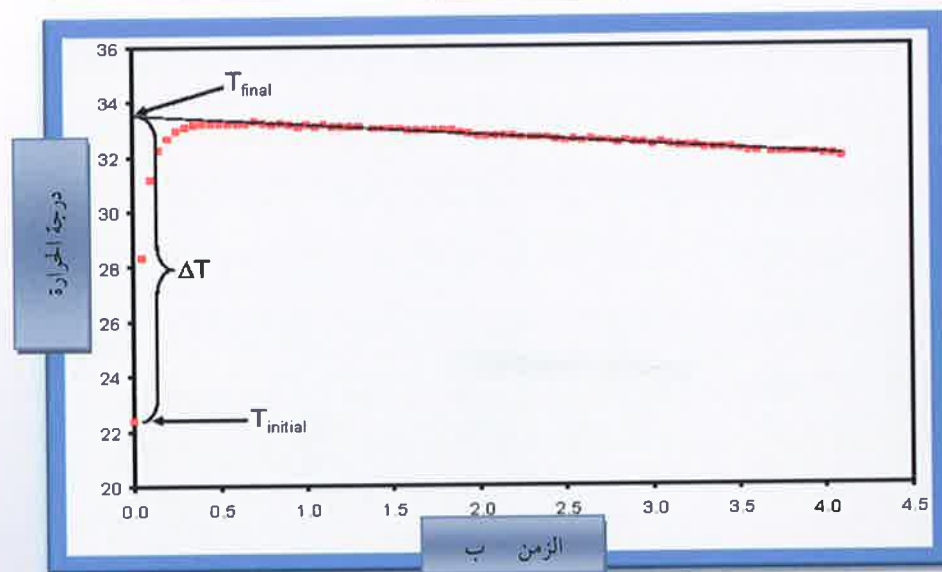
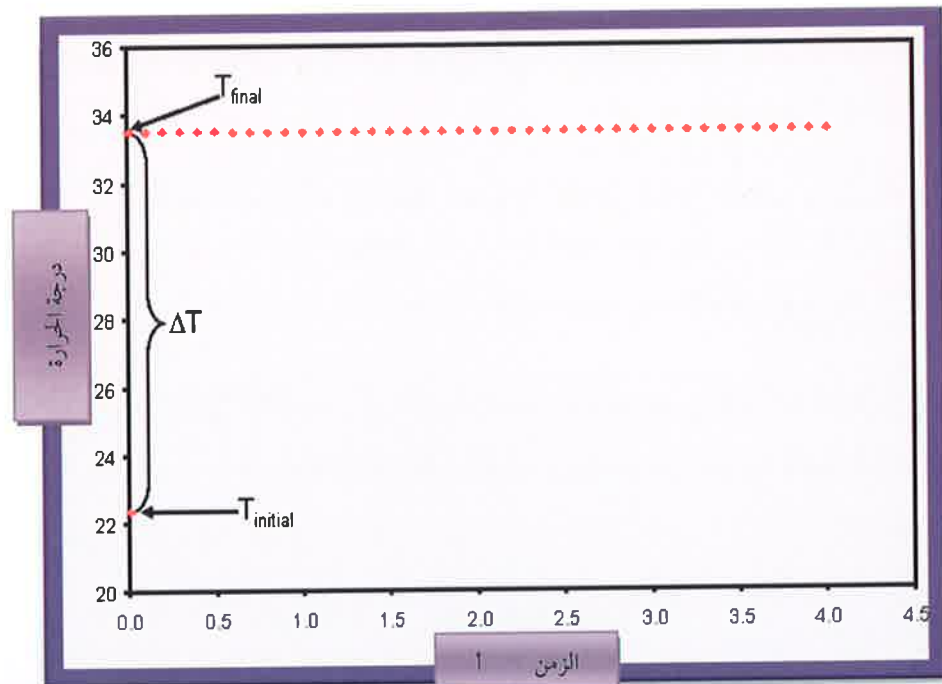
حيث تمثل  $Q$  التغير في كمية الحرارة و  $m$  هي كتلة المادة في المحيط و  $c$  السعة الحرارية النوعية و  $\Delta t$  يمثل الفرق ما بين درجتي حرارة المحيط قبل وبعد التفاعل.

ولحساب الانثالبية المولارية نستخدم المعادلة الآتية:

$$Q=n \Delta H \quad 4-66$$

حيث تمثل  $n$  عدد مولات المادة المتفاعلة.

يتضح من المعادلين 4-65 و 4-66 بان قيمة التغير بدرجة الحرارة عامل مهم جدا لحساب انثالبية التفاعل. الشكل 4-3 أ يمثل التغير بدرجة حرارة المحيط في بداية التفاعل وعند نهايته، حيث نلاحظ بقاء درجة الحرارة النهائية ثابتة مع مرور مدة من الزمن. يمثل الشكل 4-3 مسيرا تاما العزل، وهذا هو افتراض نظري. ان الحقيقة هي غير ذلك حيث نرى تغير بدرجة الحرارة النهائية مع مرور الزمن وذلك بسبب تسرب درجة الحرارة إلى الخارج (لاحظ الشكل 4-3 ب).



شكل 4-3 تغير درجة الحرارة مع الزمن لتفاعل باعث للحرارة في أ- مسحير تمام العزل  
(نظري) ب- مسحير حقيقي

## 4-12 أنواع المساعر: Types of Calorimeter

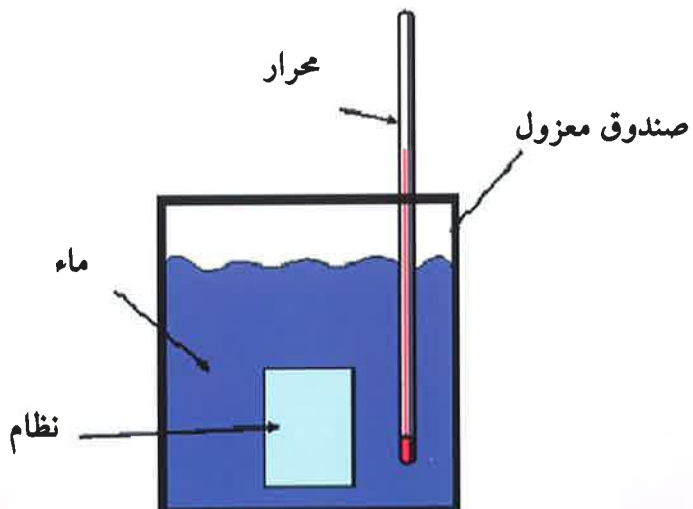
هناك أنواع مختلفة من المساعر، وتصنف حسب الغرض الذي تستخدم من أجله إلى الأنواع الآتية:

- 1- مساعر التفاعل الكيميائي Reaction calorimeters
- 2- مسurer الضغط الثابت Constant-pressure calorimeter
- 3- مسurer المسح التفاضلي Differential scanning calorimeter
- 4- مسurer التسحیج المتماثل حراریا Isothermal titration calorimeter
- 5- مسurer الاشعة السینیة X-ray microcalorimeter
- 6- مسurer الدقائق عالیة الطاقة High-energy particles calorimeter

هناك نوع آخر من المساعر المایکروویہ يدعى مسurer الجریان المستمر Continuous Flow Calorimeter يتم قیاس حرارة التفاعل بهذه النوع من المساعر وذلك بالسماح لمحلوی التفاعل المتوازنین حراریاً بالمرور خلال أنبویتین من البلاطین وبعدها يتم جمع المحلولین بتجویف المزج وعندھا يتم قیاس التغير بدرجة الحرارة عند انتهاء التفاعل.

الشكل 4-4 يبيّن الرسم التخطيطي للمسurer التقليدي حيث أن المسurer محاط بواء خارجي مصنوع من مواد تضمن عزلًا تاماً عن المحيط الخارجي لضمان عدم تسرب الحرارة من وإلى النظام. يلا الوعاء بالماء، لضمان اکبر عزل عن المحيط (يستخدم الماء عادة في المساعر وذلك لأن سعته الحرارية النوعية Specific heat capacity عالية، وهذا يعني قدرة الماء على حفظ كمية كبيرة من الحرارة دون حصول تغير كبير في درجة الحرارة، ويعني هذا أيضًا قدرة الماء على إطلاق كمية كبيرة من الحرارة دون حصول تغير كبير في درجة الحرارة). يتم

تحريك الماء باستمرار ويتم قياس الفرق بين درجتي الحرارة قبل وبعد إجراء التفاعل بواسطة محار مثبت داخل الماء. يتم معایرة الجهاز بإجراء تفاعل معروف درجة الحرارة.



شكل 4-4 رسم تخطيطي للمسعر التقليدي

#### 13-4 العلاقة ما بين $\Delta U$ و $\Delta H$

##### Relationship between $\Delta U$ and $\Delta H$

في مساعر التفجير وأنواع المساعر الأخرى يتم إجراء التفاعل عند حجم ثابت لذلك فإن قياس التغير بالطاقة الداخلية يعود إلى  $\Delta U$  ، صممت بعض المساعر لإجراء التفاعل تحت ضغط ثابت عندئذ يمكن قياس  $\Delta U$  .

من المعروف أن الحصول على القيمة الثانية باستخدام المعادلة الآتية:

$$\Delta H = \Delta U + \Delta(PV)$$

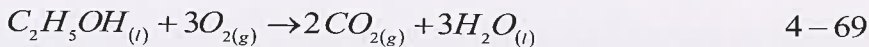
4-67

إذا كانت جميع المواد المتفاعلة والناتجة من التفاعل بالحالة السائلة أو الصلبة فإن التغير بالحجم يكون صغيراً جداً وبذلك يمكن إهمال قيمة الحد  $(\Delta PV)$  و بذلك تكون  $\Delta U$  مساوية إلى  $\Delta H$ . إن حجم مول واحد من المادة الصلبة أو السائلة غالباً ما يساوي 1 دسم<sup>3</sup> وأن التغير بالحجم يساوي تقريراً أقل من 0.01 دسم<sup>3</sup> أي أنه أقل من 1% عندما يكون الضغط 1 بار والتغير بالحجم يساوي 0.01 دسم<sup>3</sup> فإن:

$$\Delta(PV) = 100000 \text{ } pa \times 16^{-5} \text{ } m^3 \text{ } mol^{-1} = 1 \text{ } J \text{ } mol^{-1} \quad 4-68$$

إن هذا التغير بالطاقة والذي يساوي 1 جول مول<sup>-1</sup> هو قليل جداً عند المقارنة بقياسات  $\Delta H$  أو  $\Delta U$  وهو أقل من الخطأ التجريبي Experimental Error وعليه يمكن إهماله وبذلك فإن القياس عند ضغط ثابت أو حجم ثابت لا يغير من قيمة  $\Delta H$  أو  $\Delta U$ .

إذا كان واحداً أو جميع المواد المتفاعلة أو الناتجة من التفاعل بالحالة الغازية فإن كمية  $\Delta H$  سوف تختلف كثيراً عند قيمة  $\Delta U$  وذلك لأن التغير بالحجم سيكون كبيراً. على سبيل المثال فإن الاحتراق الكامل للايثانول في حالته السائلة بكمية كافية من الأوكسجين وفق المعادلة الآتية:



نجد أن قيمة  $\Delta U$  تساوي 1364470 جول مول<sup>-1</sup>، في حين أن قيمة  $\Delta H$  تساوي 1366950 جول مول<sup>-1</sup> وبذلك نرى بأن الفرق يساوي 2880 جول مول<sup>-1</sup> وهذا الفرق كبير بحيث لا يمكن إهماله.

## امثلة الفصل الرابع

**مثال 4-1:** اذا علمت ان حرارة احتراق الايثيلين عند  $17^{\circ}\text{C}$  وعند ثبوت الحجم تساوي -332.19 كيلو سعرة. احسب حرارة الاحتراق تحت ضغط ثابت.  
افرض ان الماء المتكون في الحالة السائلة.



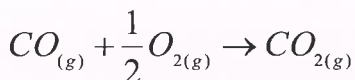
$$\Delta H = \Delta U + \Delta nRT$$

$$\Delta n = -2$$

$$\Delta H = -332.19 + (-2 \times 1.98 \times 10^{-3} \times 290.15)$$

$$\Delta H = -331 \text{ KCal}$$

**مثال 4-2:** حرارة احتراق أول اوكسيد الكاربون عند حجم ثابت وعند درجة حرارة  $17^{\circ}\text{C}$  تساوي 283.3 كيلو جول. احسب حرارة الاحتراق تحت ضغط ثابت.



$$\Delta n = -\frac{1}{2}$$

$$\Delta H = \Delta U + \Delta nRT$$

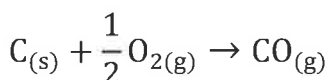
$$\Delta H = -283.3 + \left(-\frac{1}{2} \times 0.0083 \times 290.15\right)$$

$$\Delta H = -284.5 \text{ KJ}$$

**مثال 4-3:** مقلاة يحوي باطنها على 125 غم من النحاس. احسب الحرارة اللازمه لرفع درجة حرارتها من 25° إلى 100° اذا علمت إن الحرارة النوعية للنحاس تساوي 0.387 جول غم⁻¹ كلفن⁻¹.

$$\begin{aligned}\Delta T &= 100 - 25 = 75^\circ C \\ &= 348.15 K \\ Q &= C \times m \times \Delta T \\ &= 0.387 \times 125 \times 348.15 \\ &= 16841.7 J = 16.84 KJ\end{aligned}$$

**مثال 4-4:** احسب انثالية احتراق الكاربون الصلب وفق المعادلة الآتية:



اذا كانت لديك المعادلات الآتية:



عند جمع المعادلين نحصل على المعادلة الآتية:



**مثال 4-5:** اذا كانت لديك المعادلات الآتية:

1- $2 \text{O}_{(\text{g})}$	$\rightarrow \text{O}_{2(\text{g})}$	-249 kJ/mol
2- $\text{H}_2\text{O}_{(\text{l})}$	$\rightarrow \text{H}_2\text{O}_{(\text{g})}$	44 kJ/mol
3- $2 \text{H}_{(\text{g})} + \text{O}_{(\text{g})}$	$\rightarrow \text{H}_2\text{O}_{(\text{g})}$	-803 kJ/mol
4- $\text{C}_{(\text{graphite})} + 2\text{O}_{(\text{g})}$	$\rightarrow \text{CO}_{2(\text{g})}$	-643 kJ/mol
5- $\text{C}_{(\text{graphite})} + \text{O}_{2(\text{g})}$	$\rightarrow \text{CO}_{2(\text{g})}$	-394 kJ/mol
6- $\text{C}_{(\text{graphite})} + 2\text{H}_{2(\text{g})}$	$\rightarrow \text{CH}_{4(\text{g})}$	-75 kJ/mol
7- $2 \text{H}_{(\text{g})}$	$\rightarrow \text{H}_{2(\text{g})}$	-436 kJ/mol
8- $\text{H}_2\text{O}_{(\text{l})}$	$\rightarrow \text{H}_2\text{O}_{(\text{g})}$	41 kJ/mol

احسب انتالبية احتراق مول واحد من غاز الميثان بكمية كافية من الاوكسجين.

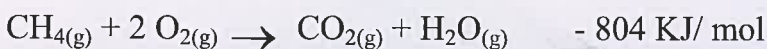
من المعلوم ان احتراق مول واحد من غاز الميثان في كمية كافية من الاوكسجين يمكن حسب المعادلة الآتية:



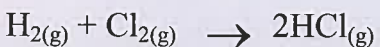
المعادلة الأخيرة يمكن الحصول عليها من الآتي:

$$2(3) + (4) - (6) - 2(7) - 2(1)$$

وبذلك نحصل على الآتي:



**مثال 4-6:** احسب انتالبية التفاعل الآتي:



اذا اعطيت التفاعلات الآتية:

1. $\text{NH}_3 \text{ (g)} + \text{HCl} \text{ (g)}$	$\rightarrow \text{NH}_4\text{Cl}_{(s)}$	- 176 KJ
2. $\text{N}_2 \text{ (g)} + 3\text{H}_2 \text{ (g)}$	$\rightarrow 2\text{NH}_3 \text{ (g)}$	- 92 KJ
3. $\text{N}_2 \text{ (g)} + 4\text{H}_2 \text{ (g)} + \text{Cl}_2 \text{ (g)}$	$\rightarrow 2\text{NH}_4\text{Cl}_{(s)}$	- 629 KJ

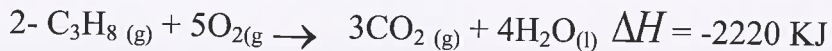
يمكن الحصول على معادلة التفاعل من الآتي:

$$(3) - 2(1) - (2) = -185 \text{ KJ}$$

وبذلك نحصل على:



مثال 4-7: جد انتالبية تكوين غاز البروبان من تفاعل الكاريون مع الهيدروجين  
اذا كانت لديك المعادلات الكيميائية الآتية:



اولا يجب كتابة معادلة تكوين البروبان:



ثم بعدها يتم إجراء العمليات الرياضية بالمعادلات الثلاثة الموجودة في السؤال لغرض الحصول على معادلة تكون غاز البروبان من الكاربون والهيدروجين.

يمكن الحصول على معادلة التفاعل من الآتي:

$$3(1) - 2 + 4(3) = 106 \text{ KJ}$$

وبذلك نحصل على:



مثال 4-8: اذيب 0.860 غم من بروميد النحاس ( $\text{CuBr}_2$ ) في 100 مل من الماء، وقد لوحظ تغير درجة حرارة الماء من 23.1 م إلى 23.41 م. احسب حرارة المحلول اذا علمت ان الحرارة النوعية للماء تساوي 4.184 جول غم<sup>-1</sup> م<sup>-1</sup>.



$$Q = (\text{mass})(\text{specific heat})(\Delta T)$$

$$Q = (100.860)(4.184)(23.41 - 23.10)$$

$$Q = (100.860)(4.184)(0.31)$$

$$Q = 130.8 \text{ J}$$

ان ازدياد درجة الحرارة بعد الاذابة يعني ان التفاعل باعث للحرارة اي ان التغير بالاتساعية يكون سالب:

$$\Delta H = \frac{-Q}{\text{mol}}$$

أي أن:

$$mol CuBr_2 = 0.860 \times \frac{1}{223.35} = 0.00385 \text{ mol}$$

لذلك:

$$\Delta H = \frac{-(130.8)}{0.00385} = 33974 \times \frac{1}{1000} = -33.974 \text{ KJ/mol}$$

وبذلك فإن حرارة المحلول تساوي:

$$\Delta H_{\text{solu}} = -3.4 \times 10^4 \text{ J/mol or } -34 \text{ kJ/mol}$$

**مثال 4-9:** احسب حرارة المحلول عند اذابة 1.893 غم من فلوريد الليثيوم في 250 مل من الماء، علماً بأن درجة حرارة الماء تغيرت من 19.59 إلى 23.69 عند الاذابة.



نحسب عدد مولات فلوريد الليثيوم:

$$1.893 \times \frac{1}{25.94} = 0.07298 \text{ mol LiF}$$

يتم احتساب كمية الحرارة كما يأتي:

$$Q = (\text{mass solution})(\text{specific heat water})(\Delta T)$$

$$Q = (251.9)(4.184)(23.69 - 19.59)$$

$$Q = (251.9)(4.184)(4.10)$$

$$Q = 4321 \text{ J}$$

حرارة المحلول موجبة لأن درجة الحرارة قلت بعد الإضافة، لذلك:

$$\begin{aligned} \Delta H &= \frac{+Q}{mol} = \frac{-(4321)}{0.07298} = +59.211 \text{ J mol}^{-1} = +5.92 \times 10^4 \text{ J mol} \\ &= +59.21 \text{ KJ mol}^{-1} \end{aligned}$$

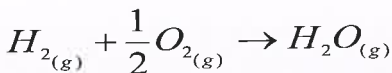
مثال 4-10: ادعى احد الصناعيين بأنه قام بتصنيع نوع من الحلويات تحوي الوجبة منها على 10 سعرات حرارية. تم تحليل هذه الحلوي في احد المختبرات العلمية باستخدام مسعر تفجير سعته الحرارية 8.151 كيلو جول كلفن<sup>-1</sup>. عند حرق وجبة من هذه الحلويات في مسعر التفجير ازدادت درجة حرارة المسعر بمقدار 4.937 م°. هل أن الادعاء صحيح؟.

$$Q = C\Delta T$$

$$Q = 8.151 \times 4.937 = 40.24 KJ$$

∴ الادعاء صحيح حيث ان الوجبة الواحدة من الحلوي المصنوعة فيها اقل من 10 سعرات حرارية.

مثال 4-11: اذا علمت ان طاقة الاصرة H-H و O=O تساوي 104 و 118 كيلو سعرة مول<sup>-1</sup> على التوالي. احسب حرارة التفاعل الآتي:



### الاواصر المتكسرة

$$1 (H-H) = 104 \text{ k Cal mol}^{-1}$$

$$\frac{1}{2} (O=O) = 59 \text{ k Cal mol}^{-1}$$

$$163 \text{ K Cal mol}^{-1}$$

### الاوامر المتكونة

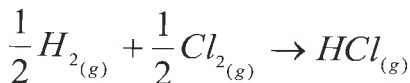
$$2(O-H) = 222 \text{ k Cal mol}^{-1}$$

$$222 \text{ K Cal mol}^{-1}$$

$$\Delta H_{re} = 163 - 222 = -59 \text{ K Cal mol}^{-1}$$

∴ التفاعل باعث للحرارة وانثالبيته تساوي 59 كيلو سعرة مول<sup>-1</sup>.

مثال 4-12: احسب طاقة الآصرة في HCl اذا علمت ان طاقة الآصرة H-H تساوي 433 كيلو جول مول<sup>-1</sup> و Cl-Cl تساوي 242 كيلو جول مول<sup>-1</sup> اذا علمت ان حرارة تكوين غاز HCl تساوي 91 كيلو جول مول<sup>-1</sup>.



الاواصر المتكسرة

$$\frac{1}{2}(H-H) = 216.5 \text{ k Cal mol}^{-1}$$

$$\frac{1}{2}(Cl-Cl) = 121 \text{ k Cal mol}^{-1}$$

$$337.5$$

الاواصر المتكونة

$$1(H-Cl) = X$$

$$X$$

$$\Delta H = 337.5 - X$$

$$-91 = 337.5 - X$$

$$X = 337.5 + 91 = 428.5 \text{ KJ mol}^{-1}$$

**الفصل الخامس**

**CHAPTER FIVE**

**القانون الثاني للtermodynamics**

**Second Law of  
Thermodynamics**

## الفصل الخامس

### القانون الثاني للtermodynamics

#### Second Law of Thermodynamics

Introduction	1-5 مقدمة
Spontaneous and Non-spontaneous Processes	2-5 العمليات التلقائية والعمليات غير التلقائية
Entropy	3-5 الانترóبي
Thermodynamics' Cycle	4-5 الدورة الثرموديناميكية
Second Law of Thermodynamics	5-5 القانون الثاني للtermodynamics
The Entropy as a state Function and the Entropy of Ideal Gas	6-5 الانترóبي كدالة للحالة وانترóبي الغاز المثالي
Entropy as a Function of Pressure and Temperature	7-5 الانترóبي كدالة للضغط ودرجة الحرارة
The Carnot Cycle	8-5 الأهمية الفيزياوية والأساس الجزيئي للانترóبي
Efficiency of Engine	9-5 دورة كارنوت
Domestic Refrigerator	10-5 الماكنة الحرارية والمضخة الحرارية
Heat Pumps	11-5 كفاية الماكنة
The Condition of Equilibrium	12-5 الثلاجة المنزلية
Gibbs Energy	13-5 المضخات الحرارية
Helmholtz energy	14-5 شروط الاتزان
Molecular interpretation of Gibbs energy	15-5 طاقة كيس
	16-5 طاقة هلمهولتز
	17-5 التفسير الجزيئي لطاقة كيس

Gibbs energies of formation	18-5 طاقات كييس للتكون
Gibbs energy and reversible work	19-5 طاقة كييس والشغل الرجوعي
Maxwell relations	20-5 علاقات ماكسويل
Fugacity and Activity	21-5 الضغط الفعال والنشاطية
The Gibbs – Helmholtz equation	22-5 معادلة كييس وهلمهولتز
Examples	أمثلة

## الفصل الخامس

### القانون الثاني للtermodynamics Second Law of Thermodynamics

#### 1-5 مقدمة: Introduction

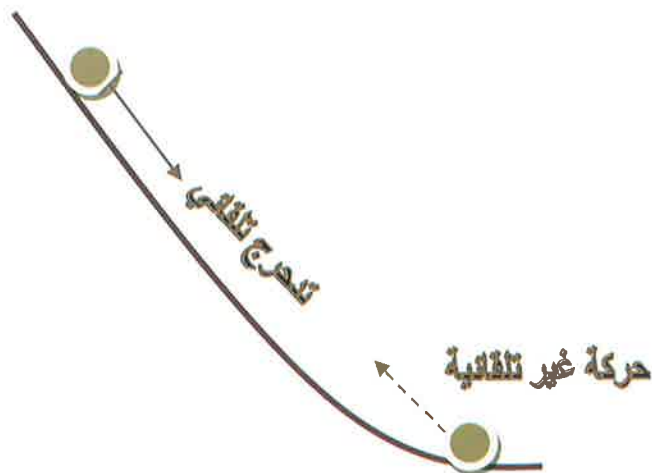
يختص القانون الثاني للtermodynamics بالتعامل مع العمليات الكيميائية والفيزيائية التي تحصل بصورة تلقائية Spontaneously. تسمى العمليات التلقائية بالعمليات الطبيعية Natural Processes. إن عملية انتقال الحرارة من جسم حار إلى جسم بارد يمكن أن تحصل بصورة طبيعية، ولكن عملية انتقال الحرارة من جسم بارد إلى جسم حار لا يمكنها أن تحصل بصورة تلقائية ولو أنها لا تخل أو لا تنتهك القانون الأول للtermodynamics إذا كان القانون الأول يعالج موضوع حفظ الطاقة وتحولها من شكل إلى آخر ويفسر كذلك علاقة الشغل والحرارة فإن القانون الثاني للtermodynamics يتعلق بفهم التغيرات التي تحصل بصورة تلقائية.

#### 5-2 العمليات التلقائية والعمليات غير التلقائية

#### Spontaneous and Non-spontaneous Processes

هناك العديد من الأمثلة عن العمليات التي لا تتناقض أو تخل بالقانون الأول للtermodynamics ولكنها لا يمكن أن تحصل بصورة طبيعية أو تلقائية ومن هذه الأمثلة:

- لو تصورنا بأن هناك كرة صلبة موجودة على حافة منحدر وتم إعاقة تدحرجها بواسطة حاجز معين كما موضحة في الشكل 1-5.



شكل 1-5 كرة صلبة على منحدر

نلاحظ بأن تدحرج الكرة سيكون تلقائياً مجرد أن نرفع الحاجز الذي يمنع تدحرجها وأنها في النهاية ستصل إلى قاع المنحدر؛ أما إذا أردنا إعادة الكرة إلى أعلى المنحدر مرة ثانية فلا يمكن لذلك أن يحصل بصورة تلقائية ويمكن أن يحصل فقط عندما نبذل شغلاً يعمل على رفعها وإعادتها إلى مكانها الأصلي.

2- إذا كانت لدينا اسطوانة مقسمة على قسمين متساوين بواسطة صفيحة ذات مسام (Diaphragm) تفصل بين غازين كما موضح بالشكل 5-2، وكان ضغط الغاز على الجانب الأيسر أعلى من ضغط الغاز عن الجانب الأيمن. إذا افترضنا بأننا أزلنا الحاجز أو الصفيحة التي تفصل بين الجانبين فإننا سنحصل على تساو بالضغط Equalization of Pressure على طول الاسطوانة. إذا ما أردنا عكس العملية والعودة إلى الحصول على ضغط عال في أحد الجوانب وضغط واطئ على الجانب الآخر. فهل يمكننا عمل ذلك؟

## صفيحة ذات مسام

غاز عند ضغط عالٍ

غاز عند ضغط واطي

شكل 5-2 اسطوانة مفصولة بصفيحة ذات مسام تحتوي غازين بضغطين مختلفين

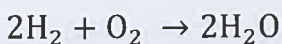
إن العملية الأولى والتي حصلنا من خلالها على تساو بالضغط على الجانبين تسمى بالعملية التلقائية Spontaneous Process أو العملية الطبيعية Natural Process أما عملية إعادة النظام إلى حالته الأولى بعد تساوي الضغط تسمى بالعملية غير التلقائية Non-spontaneous Process أو عملية غير طبيعية unnatural Process. نلاحظ أن العملية التلقائية هي عملية غير رجوعية Irreversible. إن عكس العملية أو إعادة الضغط إلى حالته الأولى (ما قبل إزالة الحاجز) يمكن إعادتها ولكن بشرط أن يتم بذلك شكل معين لغرض الإعادة لذلك فإن مثل هذه العملية لا يمكن أن تكون تلقائية.

- عند انتقال الحرارة من طرف قضيب حار إلى طرفه الآخر البارد إلى أن تصبح درجة الحرارة متقطمة على طرفي القضيب Equalization of Temperature، من المهم هنا أن نلاحظ عدم انعكاس هذه العملية تلقائياً حيث لا يمكن للقضيب المعدني الذي له درجة حرارة متساوية على الطرفين أن يصبح أحد طرفيه حاراً والآخر بارداً بصورة تلقائية. من جهة

أخرى يمكن لهذه العملية أن تعكس ولكن بطريق معين وهو السماح للحرارة بان تمر من أحد طرفي القصيب إلى ماكنته يمكنها تحويل الحرارة إلى شغل بواسطة الاحتكاك ثم يعاد تحويل الشغل إلى كمية مكافئه من الحرارة والتي بدورها تنتقل إلى الطرف الآخر بحيث يبرد الطرف الذي تم اخذ الحرارة منه ويسخن الطرف الذي تم تزويد الحرارة له، وبهذا يرجع القصيب المعدني إلى حالته الأولى ولكن العملية لم تكن تلقائية (غير طبيعية).

4- إذا عدنا للشكل 5-2 وافتضنا وجود غاز الأوكسجين على أحد أطراف الاسطوانة ووجود غاز التروجين على الطرف الآخر يفصلهما الحاجز المسامي، ثم قمنا بإزالة الحاجز المسامي فسيمتزج الغازان وتحصل عملية المزج هذه بصورة تلقائية. لو فكرنا بإعادة النظام إلى حالته الأولى بحيث يكون الأوكسجين على طرف والتروجين على الطرف الآخر وتنتهي عملية الامتزاج، إن هذه العملية سوف لن تحصل بصورة تلقائية أو طبيعية ولكننا إذا قمنا ببذل شغل على النظام لتمكننا من إعادة النظام إلى حالته الأولى. ولكن هذه العملية تم بعملية غير تلقائية (غير طبيعية).

5- يتفاعل غازا الهيدروجين والأوكسجين لإنتاج الماء وذلك بإمداد شرارة كهربائية في مزيج من الغازين وستكون انتالبية التفاعل ( $\Delta H$ ) سالبة أي أن التفاعل باعث للحرارة .Exothermic



5 - 1

إن عملية إعادة تكوين الهيدروجين والأوكسجين من الماء المتكون، وباستخدام الحرارة التي تم إنتاجها من التفاعل ليس بالمستحيل ولكنها تحتاج على

كمية من الشغل يتم بذله على النظام وعليه فإن التفاعل من اليسار على اليمين هو تفاعل تلقائي في حين أن التفاعل المعاكس (من اليمين إلى اليسار) هو غير تلقائي.

المهم في الأمثلة السابقة التي تم ذكرها هو أنه من الواضح وجوب فهم العوامل التي تحسّب اتجاه العملية التي بواسطتها يكون التغيير تلقائياً.

إن ذلك يتطلب معرفة موقع الاتزان Position of Equilibrium لأن النظام سوف لن يتحرك تلقائياً باتجاه الاتزان (بالرغم من أن ذلك قد يحصل ببطء شديد جداً كما في المثال الخامس، حيث أن وجود الهيدروجين والأوكسجين يمزّج يمكن أن يتوج الماء بصورة تلقائية ولكن ببطء شديد جداً ولكننا قمنا بتعجيل العملية بإمرار الشرارة الكهربائية).

كل هذه الأشياء تمأخذها بنظر الاعتبار في القانون الثاني للtermodynamics.

### 5-3 الانتروبي Entropy :

الانتروبي هي المقياس النظري لكمية الطاقة التي لا يمكن أن تتحول إلى شغل ميكانيكي في النظام termodynamic ويرمز لها بالحرف  $S$ ، وتعرف في بعض الأحيان بأنها مقياس لعدم انتظام النظام disorder، أو هي التي تمنع العمليات إن تكون انعكاسية. تعرف الانتروبي كذلك في بعض المصادر العلمية بأنها الجزء الحاسم في termodynamics الحقيقي.

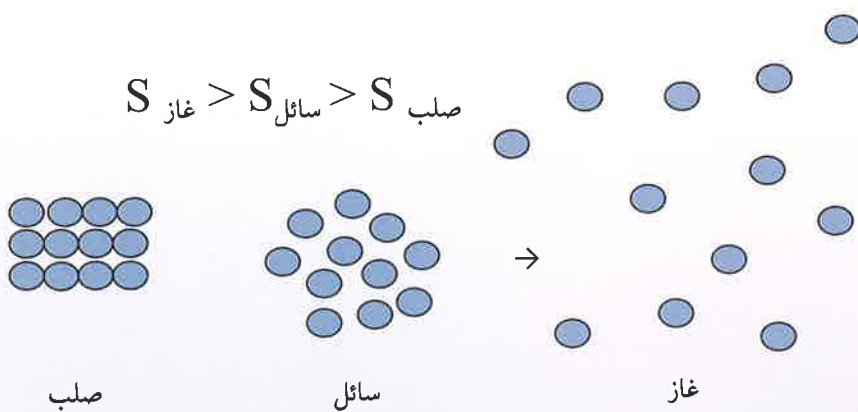
في النظام المعزل تحدد قيمة التغيير بالأنتروبي  $\Delta S_{isolated\ system}$  حسب طبيعة العملية، إذا كانت تلقائية أو غير تلقائية أو كان النظام في حالة اتزان و كما يأتي:

$\Delta S_{\text{isolated system}} > 0$  عند التغير التلقائي

$\Delta S_{\text{isolated system}} < 0$  عند التغير غير التلقائي

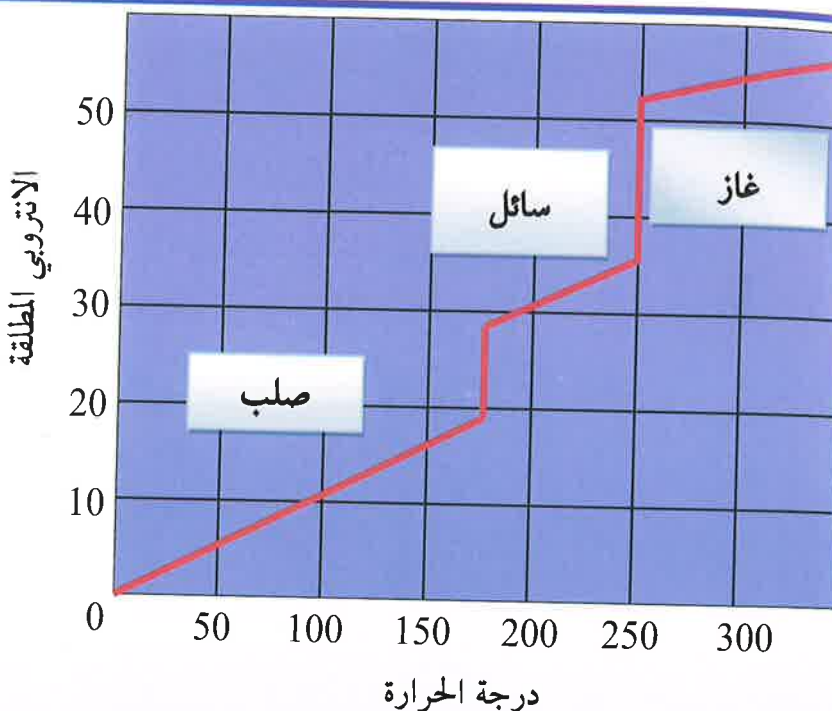
$\Delta S_{\text{isolated system}} = 0$  عند الاتزان

عند مقارنة قيمة الانتروبي لمادة معينة في حالتها الغازية والسائلة والصلبة، تكون قيمة الانتروبي في الحالة الغازية كبيرة جداً عند مقارنتها مع الحالة الصلبة، ويعود ذلك إلى طبيعة ترتيب دقائق المادة في كل حالة من حالاتها. الشكل 5-3 يوضح ترتيب دقائق المادة في الحالة الغازية والسائلة والصلبة.



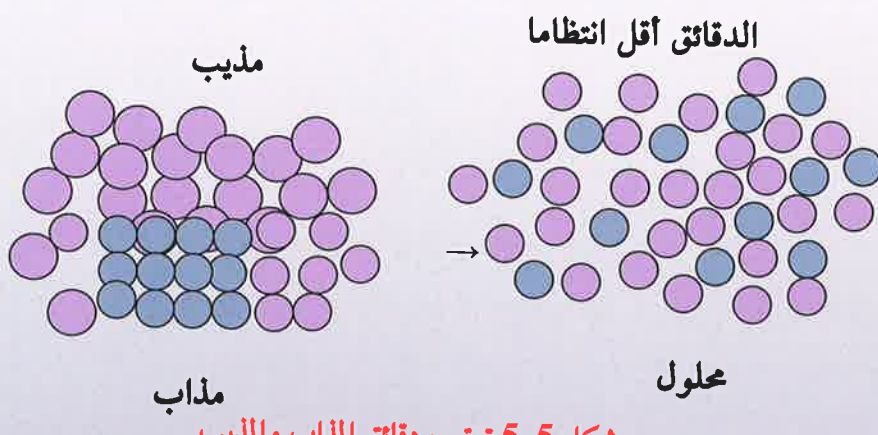
شكل 5-3 ترتيب دقائق المادة في الحالة الصلبة والسائلة والغازية

الانتروبي تزداد بزيادة درجة الحرارة، وهذا ما سيتم التطرق إليه بالتفصيل في الفقرات القادمة إن شاء الله، والشكل 5-4 يوضح الزيادة في الانتروبي المطلقة لمادة من المواد في الحالة الصلبة والسائلة والغازية وبدرجات حرارية مختلفة.



شكل ٤-٥ زيادة الانتروبي المطلقة مع زيادة درجة الحرارة

الشكل ٥-٥ يوضح بان دقائق المادة تصبح اقل انتظاما في المحلول، وهذا يعني حصول زيادة في الانتروبي عند إذابة المذاب في المذيب.



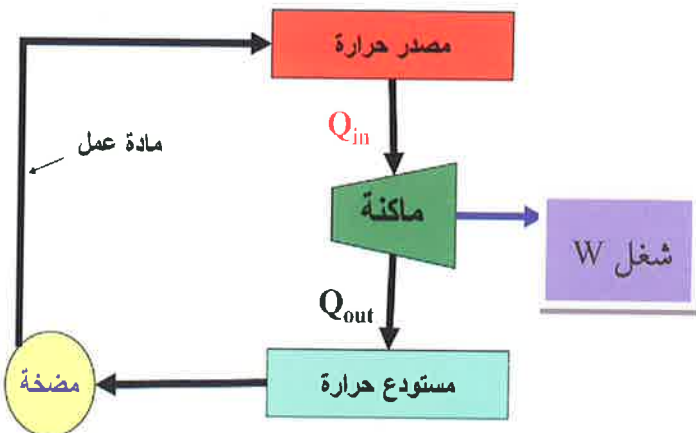
شكل ٥-٥ ترتيب دقائق المذاب والمذيب

## 4-5 الدورة الترموديناميكية : Thermodynamics' Cycle

المachine الحرارية Heat Engine عبارة عن آلة تأخذ الحرارة من مستودع حار وتحوله إلى شغل (لا تحول الحرارة بصورة تامة إلى شغل)، ونقل الجزء غير المتحول من الحرارة إلى مستودع بارد، ويتم ذلك خلال دورة كاملة تسمى الدورة الترموديناميكية Thermodynamics, Cycle.

تكون الدورة الترموديناميكية من خمسة عناصر أساسية  
 (لاحظ الشكل 5-6):

- 1 مادة التشغيل Working Substance وتمثل الوسط الذي تنتقل الطاقة من خلاله في الدورة.
- 2 المصدر الحراري Heat Source وتمثل الجزء الذي يقوم بتجهيز الطاقة الحرارية.
- 3 المستقبل الحراري Heat Receiver ويسمى كذلك المستودع الحراري ويمثل الجزء الذي يمتص الحرارة الفائضة.
- 4 المضخة Pump وتمثل الجزء الذي يقوم بتدوير مادة التشغيل ويعمل كصمام بين الضغط الواطيء والعلوي.
- 5 الماكنة Engine وتمثل آلة تقوم بتحويل الطاقة الحرارية لمادة التشغيل إلى طاقة ميكانيكية مفيدة.



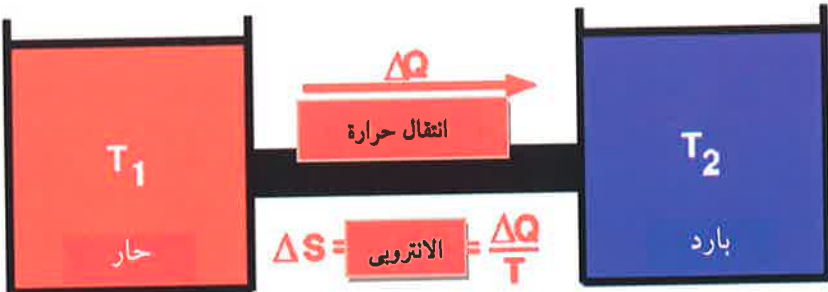
شكل 5-6 أساس عمل الدورة термодинамическая

نلاحظ من الشكل (5-6) ان الحرارة تنتقل من المستودع الحار إلى الماكينة التي تحول هذه الحرارة إلى شغل، وبما ان كمية الحرارة المتحولة إلى شغل هي اقل من الحرارة الواردة من المستودع الحار، فان الفائض ينتقل كحرارة إلى المستودع البارد. من خلال المضخة يتم إعادة مادة العمل، التي انخفضت درجة حرارتها، إلى المستودع الحار وبذلك تكتمل الدورة.

### 5- القانون الثاني للtermodynamics :

يسمى القانون الثاني للtermodynamics بقانون الانترóبي The Law of Entropy وهذا القانون اثار جدلا واسعا بين العلماء وبعد القانون الثاني للtermodynamics مفندا قويا لنظرية التطور. لا يوجد مجال في هذا الكتاب للتوضيح اكثر من ذلك سوى اشارة بسيطة وهي ان نظرية التطور تدعى تطور خلق الانسان مع مرور الزمن، في حين ان القانون الثاني للtermodynamics وبحسابات رياضية دقيقة يثبت ان انترóبي الكون تميل الى الزيادة اي ان الكون يسير في اتجاه

اللانتظام. ان انتروبي الكون وحسب القانون الثاني للترموديناميك لا يمكن ان تقل، فهي اما ان تزداد، وهذا ما يحصل في العمليات غير الانعكاسية، او ان تبقى كما هي، كما في العمليات الانعكاسية، لاحظ الشكل 5-7 والذي يمثل الشكل التخططي للقانون الثاني للترموديناميك.



$S_f = S_i$  اذا كانت العملية انعكاسية (رجوعية)

$S_f > S_i$  اذا كانت العملية غير انعكاسية (لا رجوعية)

شكل 5-7 الشكل التخططي للقانون الثاني للترموديناميك

يعبر عن القانون الثاني للترموديناميك بعدة صيغ، ومن هذه الصيغ الآتية:

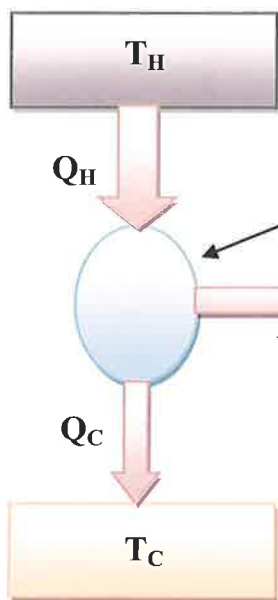
اولاً: صيغة كلاسيوس (1822-1888) :Clausius Statement

تنص صيغة كلاسيوس على الاتي:

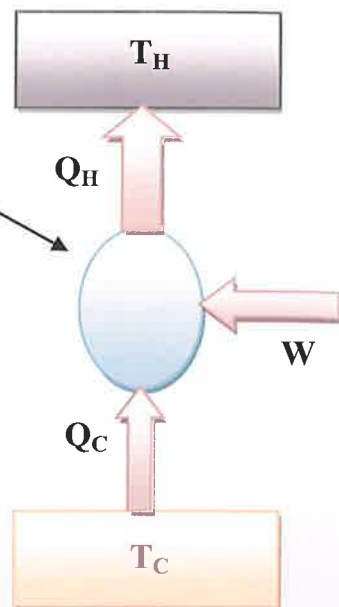
(لا يمكن في دورة ثرموديناميكية نقل الحرارة من مستودع بارد إلى مستودع حار ما لم يتم بنفس الوقت تحويل كمية من الشغل إلى حرارة).

الشكل 5-8 يعبر عن صيغة كلاسيوس، حيث نلاحظ عدم امكانية نقل الحرارة من مستودع بارد إلى مستودع حار دون إدخال شغل محدد لغرض اتمام العملية. التطبيق العملي لذلك هو الثلاجة المنزلية او أجهزة التبريد.

صيغة كلفن



صيغة كلاسيوس



شكل 5-8 صيغة كلاسيوس وصيغة كلفن للقانون الثاني للtermodynamics

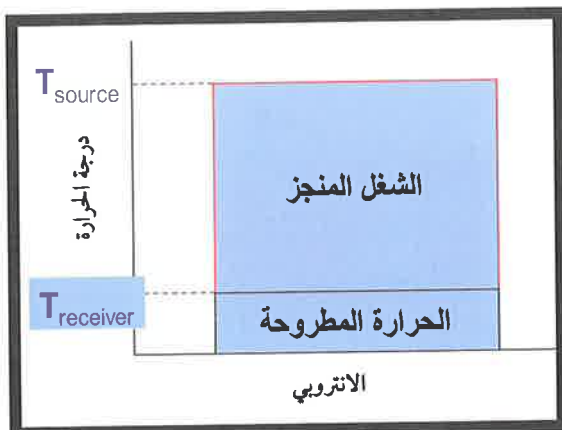
ثانياً: صيغة اللورد كلفن (1907-1824)

تنص صيغة لورد كلفن على الآتي:

(في الدورة termodynamيكية لا يمكن ان تنتقل الحرارة من المستودع الحار وتحول إلى شغل بدون ان يتم تحويل جزء من الحرارة إلى مستودع بارد).

جاءت هذه الصيغة، كذلك، استناداً إلى التجربة. لكي تحول ماكينة ما الحرارة بصورة مستمرة إلى شغل بدون احداث تغيرات في أجزاء النظام الأخرى، يجب في هذه الحالةأخذ الحرارة من مصدر له درجة حرارة عالية بحيث تحول قسماً من تلك الحرارة إلى شغل مكافئ والقسم الثاني ينقل إلى حوض

درجة حرارته أو طاً، لاحظ الشكل 5-8. الشكل 5-9 يوضح كمية الحرارة المطروحة إلى المستودع البارد وهي الحرارة التي لم تحول إلى شغل.



شكل 5-9 كمية الحرارة المطروحة في الدورة термодинамическая

يسمى جزء الحرارة المتصلة عند درجة الحرارة العالية والمتحول إلى الشغل المكافئ، كفاءة الماكنة (Efficiency) عندما بأنه ليست هناك ماكينة صنعت لحد الآن لها كفاءة تامة (100٪) وهذا التعبير يعد أحد تعريف قانون термодيناميك الثاني وسيتم التطرق إليه فيما بعد.

استناداً إلى ما جاء بالفقرة 3 من 5-2 من أن الحرارة تنتقل من طرف القضيب المعدني الحار إلى طرفه البارد تلقائياً إلى أن تصبح درجة حرارة القضيب منتظمة، فإن الاستنتاج العام الذي يستنتج بهذا الخصوص من أن العملية التلقائية لا يمكن أن تكون عملية رجوعية، لذا يمكن تطبيق الاستنتاج لعمليات فизياوية تلقائية أخرى مثل تعدد الغاز من وعاء عالي الضغط إلى آخر واطماع الضغط وانتشار الغاز بغاز آخر وتنافذ المحلول المركز في الماء وتحويل الطاقة الكهربائية إلى حرارة وإنتاج الحرارة بواسطة الاحتكاك وهكذا.

يجب تطبيق الاستنتاجات أيضاً على العمليات التلقائية الكيميائية، فمثلاً

الذوبان التلقائي لقطعة صغيرة من فلز الخارصين في محلول كبريتات النحاس بموجب المعادلة الآتية محررة كمية معروفة من الحرارة:



ويمكن عكس هذا التفاعل بإمرار تيار كهربائي بين فلز النحاس المكون ومحلول كبريتات الخارصين وبذلك يعاد توليد فلز الخارصين وكبريتات النحاس، ولكي تعكس العملية بصورة تامة، يجب تحويل الحرارة التي تحررت في التفاعل الأصلي بصورة تامة إلى طاقة كهربائية.

يمكن القول بأن جميع العمليات الطبيعية أو التلقائية، أي العمليات التي تحدث بدون تأثير خارجي، هي عمليات غير رجوعية بسلوكها термодинاميكية ويعد هذا أيضاً واحد تعاريف قانون термодинاميك الثاني.

إن العملية التلقائية هي التي تحدث بمعدل محدود أو متناهي الصغر لذلك يتوقع بأنها عملية غير رجوعية طالما تحدث التغيرات الرجوعية термодинاميكية بصورة بطيئة ومتناهية الصغر. التغير بالانتروبي كما في المعادلة الآتية:

$$ds = \frac{dQ}{T} \quad 5-3$$

يعتمد الحد الرياضي على الحالة الابتدائية (A) والحالة النهائية (B) للنظام ولا يعتمد على الطريق الذي يسلكه النظام إلى الوصول إلى الحالة (B) ولذلك يمكن كتابة المعادلة 5-3 على النحو الآتي:

$$\Delta S = S_B - S_A = \int_A^B \left( \frac{dQ}{T} \right)_{\text{رجوع}} \quad 5-4$$

يعد التغير في الانتروبي قياس فقدان سعة النظام لأنجاز شغل معين، فإذا كان التغير بالانتروبي عالياً فإن فقدان سعة النظام لأنجاز شغل يكون عالياً. تمثل المعادلة 5-3 التعريف الرياضي لقانون термодинاميك الثاني. تقدر وحدة

الانتروبي بوحدة الحرارة مقسومة على وحدة درجة الحرارة، أي وحدة الطاقة مقسومة على وحدة درجة الحرارة، بمعنى آخر جول درجة مطلقة<sup>1</sup> أو سعره درجة مطلقة<sup>1</sup>.

### ثالثاً: صيغة بولتزمان (1844 - 1906)

تنص صيغة بولتزمان على:

(في العملية الadiabaticية لنظام معين، لا يمكن ان تقل الانتروبي. لذلك فان مستوى عال من الترتيب غير محتمل).

الصيغة التي جاء بها بولتزمان لا تختلف عن الصيغ المذكورة سابقاً، حيث أنها تؤكد كذلك على أن هناك زيادة في انتروبي النظام وهو مقياس لعدم انتظام النظام.

### رابعاً: صيغة سيرز وزمان斯基:

تنص هذه الصيغة على:

(من المستحيل ان يتم تحويل 100% من الحرارة الى شغل ميكانيكي).  
ان صيغة سيرز وزمان斯基 تم التطرق اليها ضمناً في الصيغ السابقة والتي توضح عدم امكانية تحويل الحرارة بصورة تامة الى شغل ميكانيكي.

## 5-6 الانتروبي كدالة للحالة وانتروبي الغاز المثالى

### The Entropy as a state Function and the Entropy of Ideal Gas

استناداً إلى قانون(termodynamics) الأول وعند ثبوت درجة الحرارة فإن:

$$dU = \delta Q + \delta W \quad 5-5$$

$$\delta W = dU - \delta Q \quad 5-6$$

عند إدخال المعادلة 5-3 بالمعادلة 5-6 ينتج الآتي:

$$\oint w = (dU + Tds) \quad 5-7$$

بما أن (q) تفاضلي غير تام Inexact differential، ولكن عند تقسيمها على درجة الحرارة يصبح المقدار تفاضلاً تاماً Exact differential لذلك تعد الانتروبي دالة من دوال الحالة. والآن يمكن كتابة تعبير رياضي موحد لقانوني термодинамики الأول والثاني وكالاتي:

$$dU = \oint Q + \oint w \quad \text{القانون الأول}$$

$$\oint Q = Tds \quad \text{القانون الثاني}$$

$$dU = TdS - PdV \quad \text{القانون الموحد} \quad 5-8$$

تطبق المعادلة 5-8 أو القانون الموحد على الأنظمة التي تنجز شغلاً من نوع (PV) فقط.

إذا كانت (U) دالة لكل من (S) و(V)، أي:

$$U(S, V)$$

فإن:

$$dU = \left( \frac{\partial U}{\partial S} \right)_V dS + \left( \frac{\partial U}{\partial V} \right)_S dV \quad 5-9$$

وعند مقارنة المعادلتين 5-8 و 5-9، يمكن استنتاج ما يأتي:

$$\left( \frac{\partial U}{\partial S} \right)_V = T \quad 5-10$$

$$\left( \frac{\partial U}{\partial V} \right)_S = -P$$

5-11

إن المعادلين 5-10 و 5-11 تعطي تفسيراً للمتغيرات المركزية أو المكثفة وهما الضغط (P) و درجة الحرارة (T) بدلالة المتغيرات الشاملة أو الممتدة للنظام وهي الطاقة (U) والاتروري (S) والحجم (V).

مول واحد من الغاز المثالي ( $PV = RT$ ) واستناداً إلى قانون الترموديناميك الأول والثاني وإذا كان النظام ينجز شغل (PV) فقط يمكن دمج المعادلات الآتية وكالاتي:

$$dU = dQ - PdV \quad 5-12$$

$$dQ = dU - RT \frac{dV}{V} \quad \text{القانون الأول}$$

$$\frac{dq}{T} = dS \quad \text{القانون الثاني}$$

ونحن نعلم بأن:

$$dU = C_v dT \quad 5-13$$

وبتعويض المعادلة 5-13 بمعادلة القانون الأول ثم قسمة المعادلة الناتجة على (T) ينتج الآتي:

$$\frac{dQ}{T} = C_v \frac{dT}{T} + R \frac{dV}{V} \quad 5-14$$

والآن تعوض معادلة القانون الثاني بالمعادلة 5-14 لنحصل على:

$$dS = C_v \frac{dT}{T} + R \frac{dV}{V} \quad 5-15$$

تكامل المعادلة 5-15 بين الحالة الابتدائية للنظام (A) والحالة النهائية (B)

يؤدي إلى المعادلة المتكاملة 5-16:

$$\Delta S = S_B - S_A = C_v \ln \frac{T_B}{T_A} + R \ln \frac{V_B}{V_A} \quad 5-16$$

تؤيد المعادلة 5-16 بأن الكمية رجوعي  $\left(\frac{dQ}{T}\right)$  تفاضل مضبوط

أو تام والانتروبي دالة من دوال الحالة. وبما أن المعادلين  $P_A V_A = RT_A$  و  $P_B V_B = RT_B$  تصف الحالتين الابتدائية والنهائية لغاز المثالي فإن:

$$\frac{V_B}{V_A} = \frac{T_B P_A}{T_A P_B} \quad 5-17$$

وبتعويض هذه المعادلة بالمعادلة 5-16 يتتج الآتي:

$$\Delta S = S_B - S_A = C_v \ln \frac{T_B}{T_A} + R \ln \frac{T_B}{T_A} - R \ln \frac{P_B}{P_A} \quad 5-18$$

ولمول واحد من الغاز المثالي:

$$C_p = C_v + R$$

أو

$$C_v = C_p - R$$

تصبح المعادلة 5-18 على النحو الآتي:

$$\Delta S = S_B - S_A = C_p \ln \frac{T_B}{T_A} - R \ln \frac{T_B}{T_A} + R \ln \frac{T_B}{T_A} - R \ln \frac{P_B}{P_A} \quad 5-19$$

$$\Delta S = S_B - S_A = C_p \ln \frac{T_B}{T_A} + R \ln \frac{P_B}{P_A} \quad 5-20$$

هناك ثلاثة حالات خاصة وهي:

- أ- ليس هناك تغير في العملية بثبوت درجة الحرارة، لذلك  $T_A = T_B$  ونتيجة لذلك تبسط المعادلين 5-16 و 5-20 كما يأتي:

$$\Delta S_T = R \ln \frac{V_B}{V_A} \quad 5-21$$

$$\Delta S_T = -R \ln \frac{P_B}{P_A} \quad 5-22$$

$$\Delta S_r = R \ln \frac{V_B}{V_A} = -R \ln \frac{P_B}{P_A} \quad 5-23$$

تعني ( $\Delta S_T$ ) أن التغير بالانتروربي يتم بثبوت درجة الحرارة.  
إذا كان ( $V_B$ ) أكبر من ( $V_A$ ) (أي في عملية التمدد) تكون قيمة ( $\Delta S$ ) موجبة ولذلك يصاحب تمدد الغاز المثالي بثبوت درجة الحرارة زيادة بانتروربي الغاز وبالتالي يصاحب الانضغاط بثبوت درجة الحرارة للغاز المثالي نقصاناً بالانتروربي.

- ب- في العمليات الايزوبارية (العمليات التي تحصل عند ضغط ثابت) يصبح  $P_B = P_A$  وعندئذ تختزل المعادلة 5-20 إلى الآتي:

$$\Delta S_P = C_p \ln \frac{T_B}{T_A} \quad 5-24$$

تبين المعادلة 5-24 أن زيادة درجة الحرارة بثبوت الضغط يصاحبها

زيادة في انتروبي الغاز المثالي.

ج- في العمليات الايزوکورية Isochoric (العمليات التي تحصل عند حجم ثابت) تختزل المعادلة 5-18 إلى ما يأتي:

$$\Delta S_v = C_v \ln \frac{T_B}{T_A} \quad 5-25$$

تبين المعادلة 5-25 أن زيادة درجة الحرارة بثبوت الحجم يصاحبها زيادة في

انتروبي الغاز المثالي.

الجدول 5-1 يوضح قيم التغير بالانتروبي في العمليات термодинамиكية المختلفة.

### جدول 5-1 قيم الانتروبي في العمليات термодинاميكية

العملية	التغير بالحرارة	التغير بالانتروبي
ايزوثيرمية	$dQ_{rev} = nRT \frac{dV}{V}$	$\Delta S = \int_1^2 \frac{dQ_{rev}}{T} = nR \ln \left( \frac{V_2}{V_1} \right)$
ايزوکورية	$dQ_{rev} = nC_v dT$	$\Delta S = \int_1^2 \frac{dQ_{rev}}{T} = nC_v \ln \left( \frac{T_2}{T_1} \right)$
ايزوبارية	$dQ_{rev} = nC_p dT$	$\Delta S = \int_1^2 \frac{dQ_{rev}}{T} = nC_p \ln \left( \frac{T_2}{T_1} \right)$

## 7-5 الانتربي كدالة للضغط ودرجة الحرارة

## Entropy as a Function of Pressure and Temperature

## أ- الضغط: Pressure

لقد تم توا اشتقاق العلاقة بين التغير في الانتربي والضغط بموجب المعادلة 22-5 وإذ عرفت ( $S^\circ$ ) بأنها الانتربي لمول واحد من الغاز المثالي عند ضغط جو واحد ودرجة حرارة معينة، تأخذ المعادلة 22-5 الهيئة الآتية:

$$S - S^\circ = -R \ln \frac{P}{1} \quad 5-26$$

$$S - S^\circ = -R \ln P \quad 5-27$$

وهذا يعني بأنه عند ازدياد الضغط يقل انتربي الغاز.

## ب- درجة الحرارة Temperature

بالعودة إلى المعادلة 24-5:

$$\Delta S = S_B - S_A = C_p \ln \frac{T_B}{T_A} \quad 5-28$$

فإذا عرض عن ( $S_A$ ) بـ ( $S_0$ ) التي تمثل انتربي المادة عند الصفر المطلق و( $S_B$ ) بـ ( $S_T$ ) التي تمثل انتربي المادة عند درجة الحرارة ( $T$ )، عندئذ يمكن كتابة المعادلة 28-5 على النحو الآتي:

$$S_{(T)} - S_0 = \int_0^T C_p \frac{dT}{T} \quad 5-29$$

وكذلك يمكن كتابتها على الشكل الآتي:

$$S_{(T)} - S_0 = \int_0^T C_p \ln \frac{T}{0} \quad 5-30$$

يمكن تكامل المعادلة 5-29 إذا كانت ( $C_p$ ) دالة لدرجة الحرارة. إن قياسات الانتروبي عند الصفر المطلق لبلورة المادة الصلبة التامة يمثل موضوع قانون الثرموديناميک الثالث كما سنرى في الفصل السادس إن شاء الله.

### 5-8 الاهمية الفيزياوية والأساس الجزيئي للانتروبي

إن للانتروبي علاقة مع درجة انتظام (ترتيب) النظام ومن ثم مع انتظام الجزيئات وعشوائتها، ويعد الانتروبي قياساً لانتظام النظام. إن الزيادة في الانتروبي نتيجة تغير معين في نظام معزول تعني الزيادة في عدم انتظامه، وعشوائية جزيئاته، والقصاصان فيها يعني انتظام جزيئات ذلك النظام.

لو فرضنا بان هناك (M) من جزيئات غاز تحتل نصف وعاء (الحالة أ في الشكل 5-3) وسمح لها بأن تسرب أو تنتشر لتشغل الوعاء بكامله بحيث تكون الجزيئات في النهاية موزعة بانتظام في الوعاء (الحالة ب في الشكل 5-10).



أ



ب

شكل 5-10 غدد الغاز

إن احتمالية وجود الجزيئات في حالة (أ) تتمثل بالمقدار ( $\frac{1}{2}$ ) وهذه هي الفرصة الساحقة نفسها للجزيئات (M) بأن تكون جميعها بأحد النصفين والتي

تتوزع بينهما بصورة عشوائية عندئذ يمكن كتابة الاحتمالية النسبية للحالة (A) نسبة إلى الحالة (B) كالتالي:

$$\frac{\rho_A}{\rho_B} = \left(\frac{1}{2}\right)^M \quad 5 - 31$$

تمثل ( $\rho$ ) احتمالية النظام. ولو وضع بدلاً من  $(\frac{1}{2})$  في المعادلة 5-31 قيماً تحكمية مثل  $(V_A/V_B)$  عندئذ تصبح المعادلة على النحو الآتي:

$$\frac{\rho_A}{\rho_B} = \left(\frac{V_A}{V_B}\right)^M \quad 5 - 32$$

$$\ln \frac{\rho_A}{\rho_B} = M \ln \left(\frac{V_A}{V_B}\right) \quad 5 - 33$$

توجه النظام من الحالة (A) إلى الحالة (B) معناه التوجه من حالة الاحتمالية الواطئة إلى الاحتمالية العالية، وبمعنى آخر حالة المعادلة 5-21:

$$S_B - S_A = R \ln \frac{V_B}{V_A} \quad 5 - 21$$

لمول واحد من الغاز عندئذ يمكن كتابة المعادلين 5-21 و 5-22 على النحو الآتي:

$$\frac{1}{N_A} \ln \frac{\rho_B}{\rho_A} = \ln \frac{V_B}{V_A} \quad 5 - 34$$

$$\frac{1}{R} (S_B - S_A) = \ln \frac{V_B}{V_A} \quad 5 - 35$$

وبتساوي المعادلين يحصل الآتي:

$$\frac{1}{R} (S_B - S_A) = \frac{1}{N_A} \ln \frac{\rho_B}{\rho_A} \quad 5-36$$

$$(S_B - S_A) = \frac{R_B}{N_A} \ln \frac{\rho_B}{\rho_A} \quad 5-37$$

وبما أن  $K = R/N_A$  حيث أن  $K$  هو ثابت بولتزمان لذلك فإن انتروبي النظام لأية حالة خاصة يتاسب مع  $(\ln W)$  و  $W = \frac{\rho_B}{\rho_A}$  تمثل هذه احتمالية النظام لذا يمكن كتابة المعادلة 38-35 كالتالي:

$$S = K \ln W \quad 5-38$$

تمثل  $(W)$  احتمالية النظام أو عدد الحالات المجهريّة (Microstates) . وتدعى أيضاً بعدد الطبائع للنظام Complexions.

تعرف عدد الحالات المجهريّة للنظام:  
((عدد الطرق التي تستطيع بها الحالة أن تشكل وذلك بتسمية الواقع والسرع للدرجات التي تؤلفها)).

لقد عرف العالم فيمان الاحتمالية  $(W)$  على النحو الآتي:  
((عدد الطرق التي يمكن أن تؤلف بداخل النظام إذا بقى خارج النظام على وضعه)).

لنظام له  $(10^3)$  من الجزيئات تكون قيمة  $(W)$  كبيرة جداً وتتراوح بمحدود  $(10^{23})$ .

إن الموضع الذي يعالج حسابات (W) يعد من الفروع المهمة في الكيمياء الفيزياوية ويدعى الميكانيك الإحصائي (Statistical Thermodynamics)، وسيتم التطرق إلى ذلك بشيء من التفصيل في الفصل الرابع عشر إن شاء الله.

يعد الفرق بالانترóبي للأنظمة الميكانيكية البسيطة بين حالتين غير مهم عادة، فمثلاً إذا رمى جسم من مسافة باتجاه صندوقين أحدهما حجمه ضعف الآخر، تكون احتمالية سقوط الجسم في الصندوق الكبير ضعف احتمالية سقوطه في الصندوق الصغير، عندئذ تكون قيمة ( $\Delta S$ ) كالتالي:

$$\Delta S = K \ln 2 \quad 5 - 39$$

$$= 1.38 \times 10^{-23} \times 2.303 \times 0.301$$

$$= 1 \times 10^{-23} \text{ جول كلفن}^{-1}$$

إن هذه القيمة التي تمثل فرق الانترóبي تعد قليلة جداً ويمكن إهمالها بدون التأثير على دقة الحسابات بمثيل هذه الأنظمة. ولهذا السبب تستخدم الطاقة لتعيين موقع الموازنة في الأنظمة الميكانيكية بينما كون الفرق بالانترóبي بين حالتين ملول واحد من الغاز عندما يكون الغاز في الحالة الأولى بحجم ضعف الحجم في الحالة الثانية مهما ولا يمكن إهماله وكما يأتي:

$$S = R \ln 2$$

$$= 8.314 \times 2.303 \times 0.301$$

$$= 5.8 \text{ جول كلفن}^{-1}$$

## 5-5 دورة كارنوت The Carnot Cycle

تعد الخطوة التي قام بها العالم الفرنسي الشاب سادي كارنو Sadi Carnot عام 1825 (1796-1832) من أهم الخطوات باتجاه القانون الثاني للtermodynamics الديناميك حيث قام بتفسير آلية عمل الماكينة البخارية التي تم تصميمها من قبل المهندس الاسكتلندي جيمس واط James Watt (1736-1819).

إن أول ظهور للماكينة البخارية كان باسطوانة واحدة مع مكبس حيث يقوم البخار المتولد عند دخوله الاسطوانة بتحريك المكبس باتجاه الخارج وبعد أن يتم تبريد الاسطوانة يتحرك المكبس بالاتجاه المعاكس (إلى الداخل).

هناك فقدان كبير بالحرارة بمثل هذا النوع من المكائن حيث لم تتعذر كفاية هذا النوع من المكائن 1%. إن الابتكار العظيم للعالم واط هو استخدام اسطوانتين مربوطتين مع بعضهما حيث تكون أحدهما بدرجة حرارة البخار وتبقى الأخرى باردة، وبهذه الطريقة تم زيادة كفاية الماكينة إلى حوالي 18% وبعد مدة قليلة تم تطوير ابتكار آخر للماكينة بحيث وصلت كفايتها إلى 19%.

لقد كانت مساهمة كارنوت النظرية كبيرة جداً حيث أوضح بأن الشغل المنجز من قبل الماكينة يعتمد على انتقال الحرارة من درجة حرارة عالية ( $T_h$ ) إلى درجة حرارة واطئة ( $T_c$ ). ثم التعبير عن نوع مثالي للماكينة حيث يتم استخدام رجوعية تامة وبذلك تكون كفاية الماكينة في حالتها العظمى عندما تعمل بين درجتين حراريتين مختلفتين.

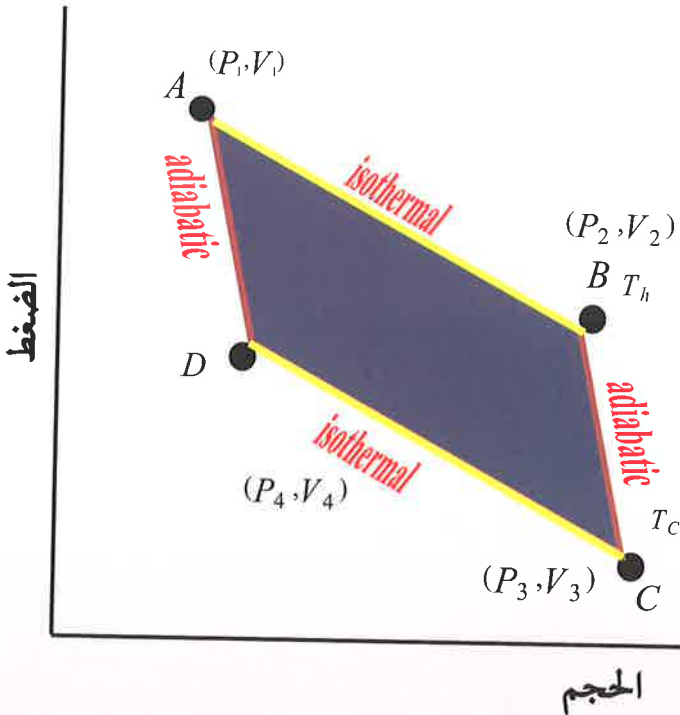
إذا افترضنا أن مول واحد من غاز مثالي داخل اسطوانة مزودة بمحبس تحت ضغط ابتدائي  $P_1$  وحجم ابتدائي  $V_1$  ودرجة حرارة ابتدائية  $T_h$ . الشكل 5-11 يمثل رسم الضغط مقابل الحجم لدورة كارنوت حيث تجري أربعة عمليات رجوعية بالنظام.

يجري التحول من الحالة A إلى الحالة B عبر عملية تمدد للغاز بتماثل حراري Isothermal Expansion حيث يتم تغيير الضغط والحجم إلى  $P_2$  و  $V_2$  على التوالي مع بقاء درجة الحرارة ثابتة ( $T_h$ ), حيث يمكننا أن تخيل بأن الاسطوانة مغمورة بسائل درجة حرارته تساوي  $T_h$ .

الخطوة الثانية تتضمن حصول تمدد اديبياتيكي (دون انتقال حرارة من وإلى النظام) ويمكن لهذه العملية أن تحصل بإحاطة الاسطوانة بمواد عازلة. بما أن الغاز سينجز شغلاً خلال عملية التمدد ولا يوجد هنالك تغيير بدرجة الحرارة، لذلك فإن درجة الحرارة يجب أن تنخفض إلى  $T_c$  ويتغير الضغط والحجم إلى  $P_3$  و  $V_3$  على التوالي.

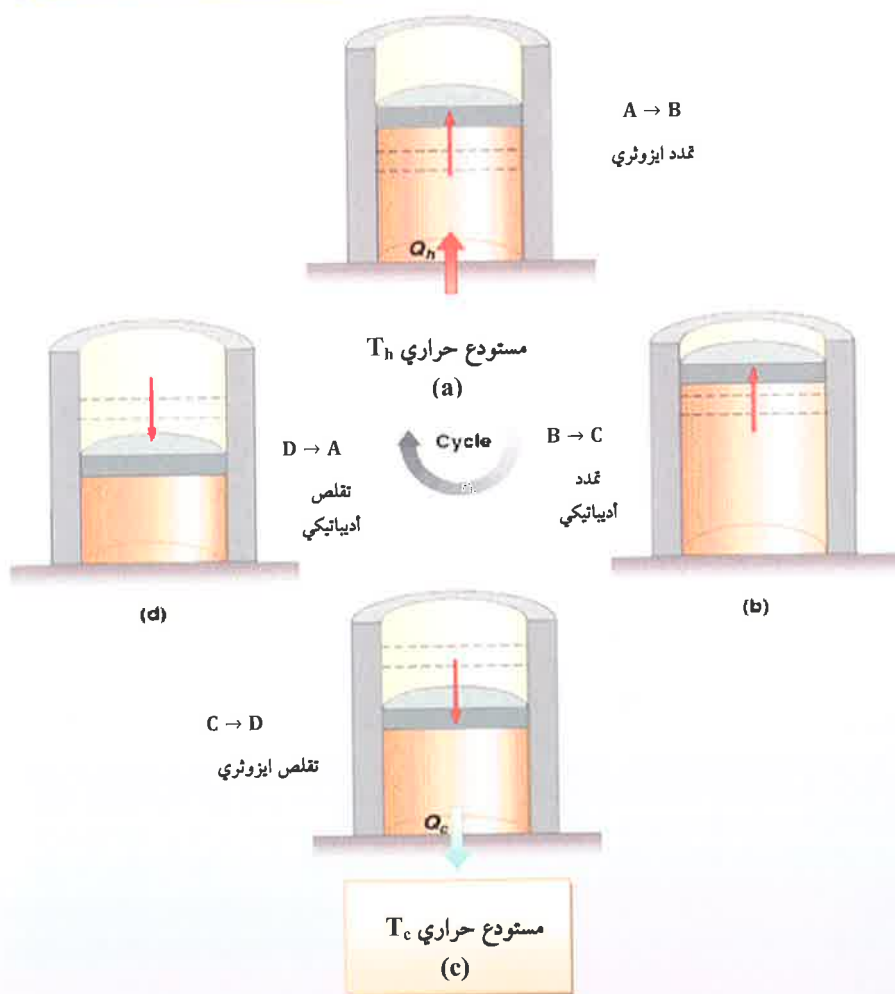
في الخطوة الثالثة يتم انضغاط الغاز بعملية التمايل الحراري Isothermal Compression  $P_4$  وعند درجة الحرارة  $T_c$  ليصبح الضغط والحجم  $V_4$  على التوالي.

إن المجاز شغل على النظام وعدم السماح بتغيير في كمية الحرارة سوف يحصل بارتفاع درجة الحرارة من  $T_h$  إلى  $T_c$  ويعود الضغط والحجم إلى حالتهما الأولى  $P_1$  و  $V_1$  على التوالي وهذا هو ما يحصل بالخطوة الرابعة.



شكل 11-5 خطط دورة كارنوت

سيتم شرح العمليات التي تحصل في الخطوات الأربع من دورة كارنوت بالتفصيل والجدول 5-2 يوضح العمليات والتغيرات الحاصلة بها.



شكل 5-12 تمثيل دورة كارنوت

جدول 5 - 2 قيم  $\Delta U$  و  $Q$  و  $W$  للمخطوات الأربع

بدورة كارنوت لمول واحد من غاز مثالي

$W_{rev}$	$Q_{rev}$	$\Delta U$	المخطوة
$RT_h \ln \frac{V_2}{V_1}$	$RT_h \ln \frac{V_2}{V_1}$	0	$A \rightarrow B$
$-C_v (T_h - T_c)$	0	$C_v (T_h - T_c)$	$B \rightarrow C$
$-RT_c \ln \frac{V_4}{V_3}$	$-RT_c \ln \frac{V_4}{V_3}$	0	$C \rightarrow D$
$C_v (T_h - T_C)$	0	$-C_v (T_h - T_c)$	$D \rightarrow A$
$R(T_h - T_c) \ln \frac{V_2}{V_1}$	$R(T_h - T_c) \ln \frac{V_2}{V_1}$	0	الكلي

1- المخطوة الأولى: ( $A \rightarrow B$ )

وهي خطوة تدبر الغاز بعملية رجوعية وبتماثل حراري (ايزوثيرمي)

عند درجة حرارة  $T_h$  وعليه فإن التغير

بالطاقة الداخلية يساوي صفر.

$$\Delta U_{A \rightarrow B} = 0$$

5 - 40

$$W_{A \rightarrow B} = RT_h \ln \frac{V_2}{V_1}$$

5 - 41

وبتطبيق القانون الأول للديناميك الحرارية (قانون حفظ الطاقة):

$$\Delta U_{A \rightarrow B} = Q_{A \rightarrow B} + W_{A \rightarrow B} \quad 5-42$$

وعليه فإن:

$$Q_{A \rightarrow B} = RT_h \ln \frac{V_2}{V_1} \quad 5-43$$

### 2- الخطوة الثانية: (B → C)

تتضمن هذه الخطوة عملية تعدد رجوعي اديباتيكي Reversible يضمن حصول العملية الاديباتيكية Adiabatic Expansion بما أن العملية اديباتيكية فإن:

$$Q_{B \rightarrow A} = 0 \quad 5-44$$

لقد أوضحنا في الفصل الثاني أنه بالعمليات الاديباتيكية يكون التغير بالطاقة الداخلية لمول واحد من الغاز وفق المعادلة الآتية:

$$\Delta U = C_V (T_c - T_h) \quad 5-45$$

لذلك فإن التغير بالطاقة الداخلية بالخطوة (B → C) ستكون كما يأتي:

$$W_{(B \rightarrow C)} = -C_V (T_c - T_h) \quad 5-46$$

### 3- الخطوة الثالثة: (C → D)

وتتضمن هذه الخطوة وضع الاسطوانة في حمام حراري درجة حرارته  $T_c$  وضغط الغاز رجوعيا حتى يصبح حجمه  $V_4$  وضغطه  $P_4$ .

بما أن العملية هي عملية تمايل حراري ايزوثيرمية فإن:

$$\Delta U_{C \rightarrow D} = 0 \quad 5-47$$

والشغل المنجز على النظام يساوي:

$$W_{C \rightarrow D} = -RT_C \ln \frac{V_4}{V_3} \quad 5-48$$

إن قيمة الشغل موجبة وذلك لأن  $V_3 > V_4$ .

حسب القانون الأول للtermodynamics فإن:

$$Q_{C \rightarrow D} = RT_C \ln \frac{V_4}{V_3} \quad 5-49$$

4- الخطوة الرابعة:  $(D \rightarrow A)$

يتم ضغط الغاز رجوعياً وبعملية اديباتيكية لذلك فإن قيم Q ستكون

صفر:

$$Q_{D \rightarrow A} = 0 \quad 5-50$$

$$\Delta U_{(D \rightarrow A)} = -C_v (T_h - T_c) \quad 5-51$$

وبتطبيق القانون الأول للtermodynamics:

$$W_{(D \rightarrow A)} = C_v (T_h - T_c) \quad 5-52$$

## 10-5 الماكنة الحرارية والمضخة الحرارية

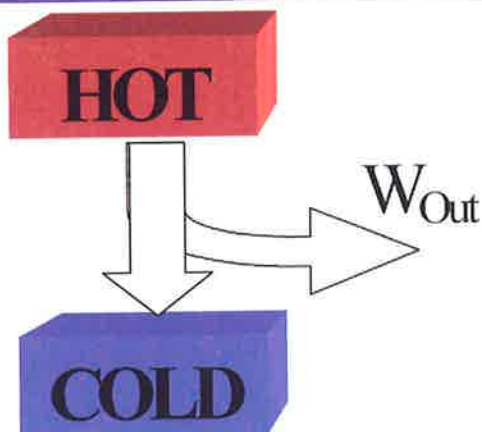
الشكل 5-13 والشكل 5-14 يوضحان الفرق ما بين الماكنة الحرارية

Thermal Pump والمضخة الحرارية Thermal Engine الماكنة الحرارية تنتج

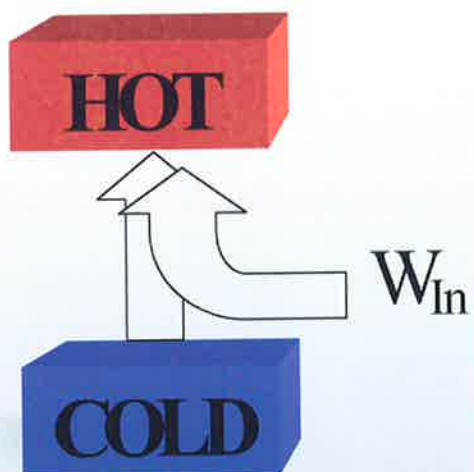
شغلاً من انتقال الحرارة من الجسم الحار إلى الجسم البارد. والمضخة الحرارية هي

ماكينة حرارية تعمل بالعكس ويتم فيها تحويل الحرارة من جسم بارد إلى جسم

حار بعد أن يتم بذلك شغل عليها



شكل 5-13 ماكينة حرارية



شكل 5-14 مضخة

## 5-11 كفاية الماكنة Efficiency of Engine

تعرف كفاية الماكنة حسب المعادلة الآتية:

$$\varepsilon = \frac{\text{الشغل المنجز}}{\text{الممتصدة}} = \frac{W}{Q_{h_0}} \quad 5-53$$

حيث تمثل  $\varepsilon$  كفاية الماكنة.

نرى من المعادلة 5-52 بأنه كلما كان الشغل المنجز من قبل النظام أكبر بالنسبة للحرارة المنجزة له من قبل الخزان الحار (Hot Reservoir) كلما كانت الكفاية عالية بالنسبة للماكنة.

بإمكاننا أن نحسب كفاية المكائن وذلك باستخدام التحولات الحرارية فقط وبذلك يحسب الشغل المنجز من قبل الماكنة بحساب الفرق بين الحرارة المجهزة للنظام بواسطة الخزان الحار والحرارة العائد للخزان البارد:

$$\varepsilon = \frac{Q_h - Q_c}{Q_h} = 1 - \frac{Q_c}{Q_h} \quad 5-54$$

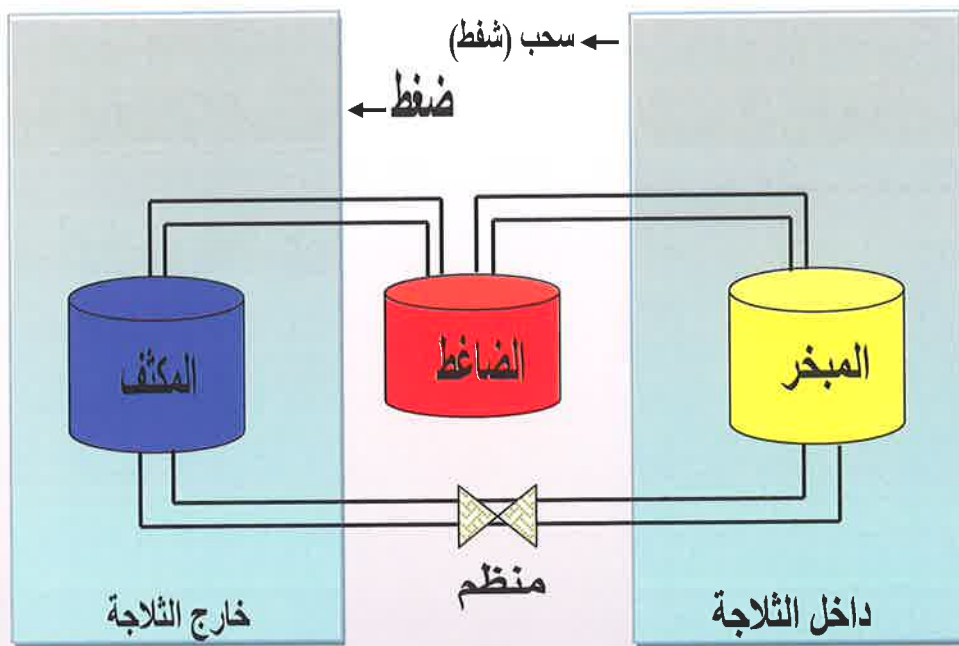
القانون الثاني للtermodynamics يفرض بأن كل المكائن رجوعية لها نفس الكفاية بغض النظر عن تركيبها أو بنيتها.

كفاية ماكنة كارنوت تحسب وفق المعادلة الآتية:

$$\varepsilon = \frac{T_h - T_c}{T_h} = 1 - \frac{T_c}{T_h} \quad 5-55$$

## 12-5 الثلاجة المنزلية Domestic Refrigerator

تعمل الثلاجة المنزلية على الحفاظة على حفظ المواد الغذائية بدرجات حرارية واطئة حيث يكون داخل الثلاجة بارداً في حين يتم طرد الحرارة إلى خارج الثلاجة وهذا ما يفسر ارتفاع درجة حرارة الغرفة التي توضع بها الثلاجة. يوضح الشكل 5-15 فكرة الثلاجة المنزلية من خلال دورة ثرموديناميكية



شكل 5-15 شكل تخطيطي لعمل الثلاجة المنزلية

لغاز الفريون حيث يكون الغاز في حالته السائلة موجوداً في خزان السائل Liquid Storage وعند تشغيل الثلاجة فإن الضاغط Compressor يقوم بانجاز

شغل على الغاز لدفعة من خلال الصمام الخانق Valve Throttling والذى يحول السائل إلى رذاذ ليساعد على تبخيره عندما يصل إلى المبخر Evaporator وبذلك يكتسب رذاذ غاز الفريون حرارة قدرها  $Q_c$  من المستودع البارد (داخل الثلاجة). يقوم بعدها الضاغط بضغط الغاز ونقلة إلى المكثف Condenser حيث يتكتف غاز الفريون على سطح المكثف ويطرد حرارة قدرها  $Q_n$  إلى المستودع الحار (خارج الثلاجة) ويتحول الغاز إلى سائل حيث يعود السائل إلى مستودع السائل ليتم تكرار العملية وبنفس الدورة.

إن دورة الثلاجة المنزلية هو عكس دورة الماكنة الحرارية وعليه لا يمكننا حساب كفاية الماكنة الحرارية (كما أوضحتنا سابقاً). هنا تعرف كمية فизيائية جديدة وهي معامل الانجاز Performance Factor وهو يساوي كمية الحرارة المتتصة من قبل المستودع البارد مقسومة على الشغل المنجز على الثلاجة:

$$\frac{Q_c}{W} \text{ معامل الانجاز} - 5-56$$

$$\frac{Q_c}{Q_c - Q_n} \text{ معامل الانجاز} = 5-57$$

إذ أن الثلاجة تعمل بصورة رجوعية وأن المكثف يكون عند 20م° والمبخر عند درجة حرارة صفر درجة مئوية، وهذا يعني بأنه لدينا ماكينة كارنوت تعمل بصورة رجوعية وأن نسبة درجة الحرارة تساوي  $\frac{293.15}{273.15}$  وهي نسبة درجة

الحرارة المتحررة عند درجة الحرارة العالية إلى درجة الحرارة الممتصة عند درجة الحرارة الواطئة:

$$\frac{293.15}{273.15} = -\frac{Q_h}{Q_c} \quad 5-58$$

إذا افترضنا بأن المبخر يزيل 1000 جول من داخل الثلاجة عند 273.15 كلفن فأن كمية الحرارة ( $Q_h$ ) المطروحة بواسطة المكثف إلى المحيط الخارجي عند 293.15 كلفن تساوي:

$$-Q_h = \frac{293.15}{273.15} \times 1000 = 1073.2J \quad 5-59$$

إن الفرق هو 73.2 جول وهو الشغل المبذول من قبل الضاغط.

$$\frac{1000}{73.2} = 13.7 \quad \text{وبذلك يمكننا أن نحسب عامل الانجاز للثلاجة وهو 13.7}$$

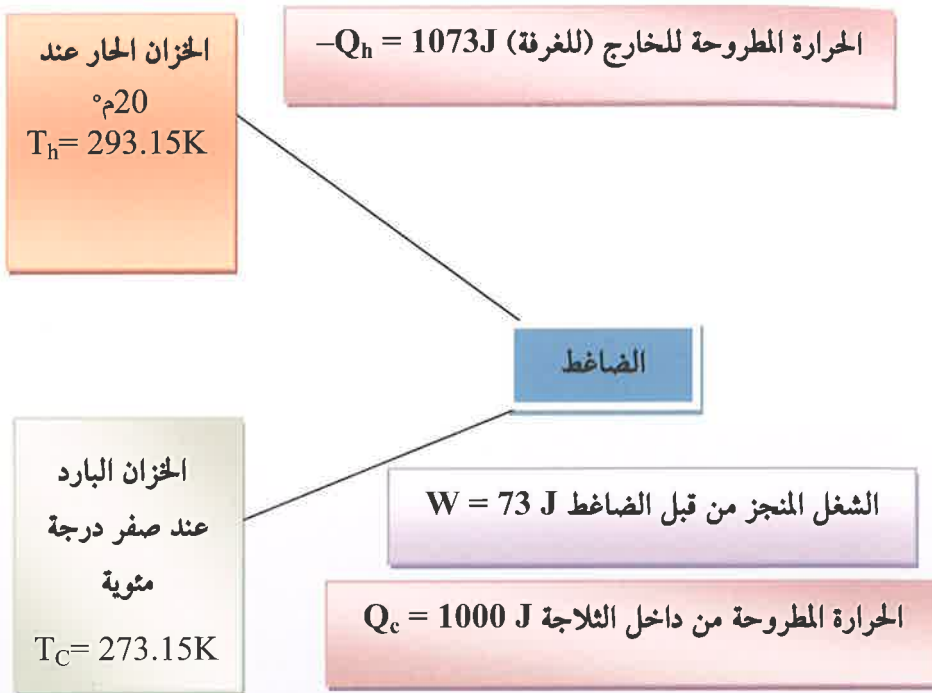
وبصورة عامة فإن عامل الإنجاز الأعظم Maximum Performance Factor للثلاجة يساوي:

$$\text{Maximum Performance Factor} = \frac{T_c}{T_h - T_c} \quad 5-60$$

عملياً إن عامل الانجاز هو أقل من ذلك المسحوب بصورة نظرية وذلك لأن الدورة ليست رجوعية بصورة تامة، ولكي تتم المحافظة على درجة حرارة

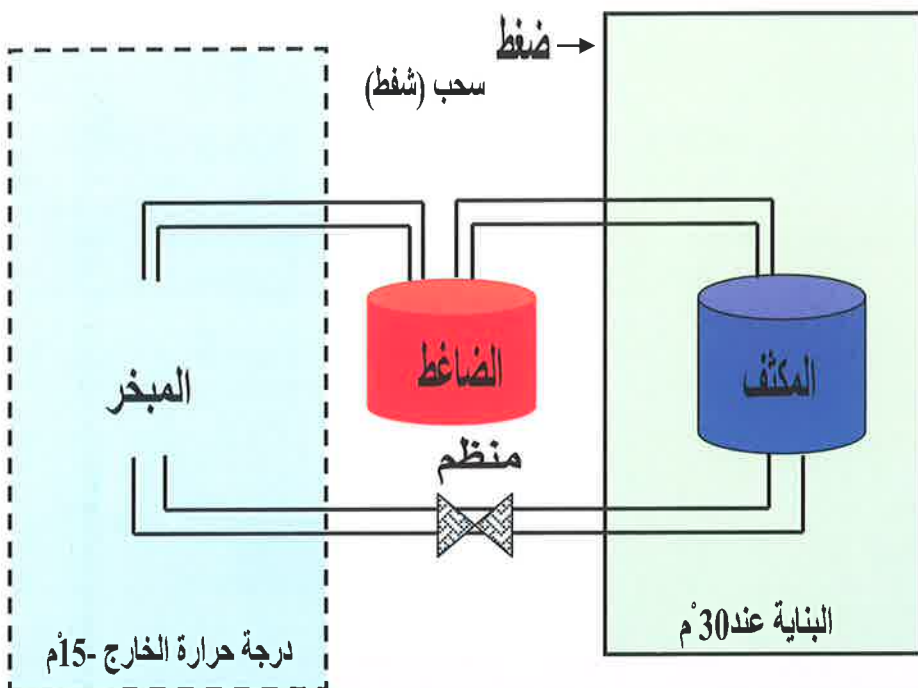
صفر درجة مئوية داخل الثلاجة فإن درجة حرارة المبخر يجب أن تكون أقل من صفر ودرجة حرارة المكثف ستكون أعلى من المحيط.

الشكل التخطيطي 5-16 يمثل كيفية احتساب عامل الإنجاز.



### 5-13 المضخات الحرارية : Heat Pumps

تعمل المضخات الحرارية بنفس المبدأ الذي تعمل به الثلاجة المنزلية ولكن الفرق بين الاثنين يوضحه المخطط الموضح في الشكل 5-17.



شكل 5-17 الشكل التخطيطي لعمل المضخة الحرارية

إذا افترضنا أن درجة الحرارة في الخارج هي أقل 15م° من الصفر المئوي (-15م°) والبنية يراد تدفتها إلى 30م° فإن نسبة درجتي الحرارة هو:

$$\frac{303.15}{258.15} = 1.17$$

ولكي يتم توفير حرارة من قبل المكثف قدرها 1000 جول فان  $\frac{1000}{1.17} = 855J$  أي أنه يجب أن يتم تطرح 855 جول من الحرارة أي المحيط الخارجي. إن الفرق البالغ 145 جول هو الشغل الذي يجب أن ينجذه الضاغط إذا افترضنا أن جميع العمليات تجرى بصورة رجوعية تامة.

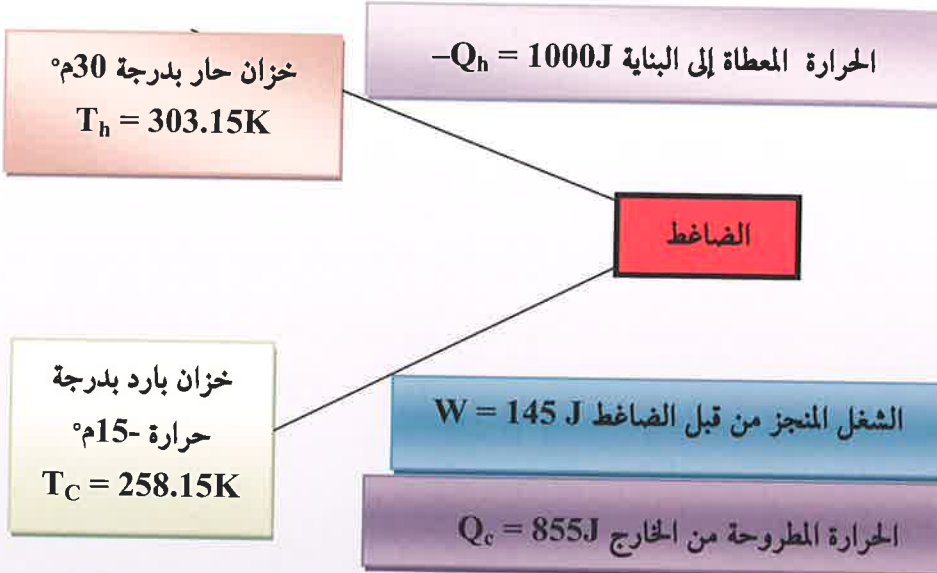
إن عامل الإنجاز الذي يساوي الحرارة المجهزة إلى البناءة مقسوماً على الشغل المنجز بواسطة الضاغط ويساوي:

$$\frac{1000}{145} = 6.9$$

وبصورة عامة فإن معامل الإنجاز للمضخة الحرارية والتي تعمل رجوعياً تعطي حسب المعادلة الآتية:

$$\text{Maximum Performance Factor} = \frac{T_h}{T_h - T_c} \quad 5 - 61$$

عملياً إن قيمة عامل الإنجاز أقل من ذلك وذلك لأن العمليات لا تجري رجوعياً بصورة تامة. الشكل 5-18 يوضح حساب عامل الإنجاز للمضخة الحرارية



### شكل 5-18 حساب معدل الإنجاز للمضخة الحرارية

إن مبدأ المضخة الحرارية معروف منذ حوالي أكثر من قرن من الزمان، ولكن تطبيقاتها العملية بدأت منذ عدة سنوات.

نستنتج من المثال السابق أن استخدام المضخة الحرارية يوفر لنا كمية كبيرة من الطاقة حيث قمنا باستهلاك 145 جول فقط لتسخين البناء، في حين إننا سنحتاج إلى 1000 جول من الطاقة لتأدية نفس الغرض في حالة عدم استخدام المضخة الحرارية. إن التقديرات المذكورة حسبت على أساس أن درجة الحرارة خارج البناء تساوي 15 درجة مئوية، إما إذا كانت درجة الحرارة خارج البناء أعلى من ذلك فان عامل الانجاز سيكون أكبر من ذلك وفق المعادلة 5-60. بالرغم من كل ذلك فهنالك مشاكل في التطبيق العملي ويؤدي وجود هذه المشاكل إلى اختزال معامل الإنجاز إلى أقل من القيمة المثالية المحسوبة من تطبيق القانون الثاني للtermodynamics (القيمة النظرية).

#### 5-14 شروط الاتزان: The Condition of Equilibrium

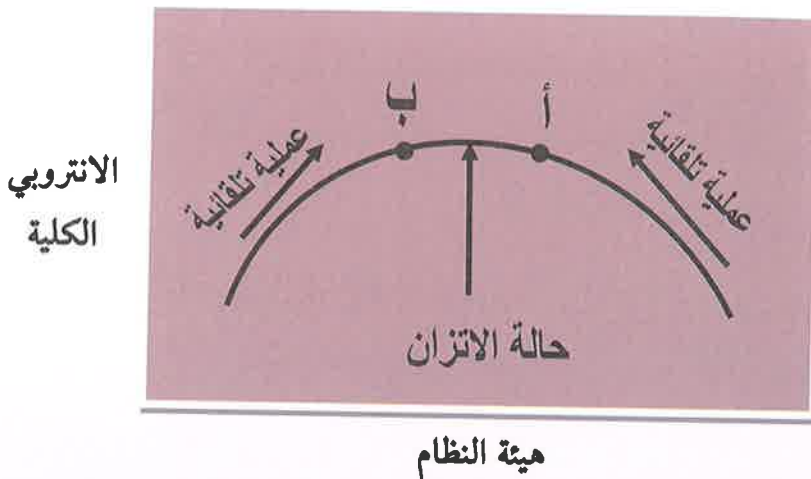
يشير القانون الثاني للtermodynamics على أنه يصاحب العمليات التلقائية زيادة في الانترóبي الكلية (انترóبي النظام مضافاً إليها انترóبي المحيط) ويمكن لذلك أن يعطينا فكرة من شرط الاتزان Condition of equilibrium حيث أن النظام في حالة الاتزان لا يمكن أن يقوم بأي تغير تلقائي.

نفترض أن هنالك نظاماً في حالة اتزان عند النقطة A كما في الشكل 5-12 وحصل تغير متناهي الصغر infinitesimal change وتحرك النظام بموجب ذلك التغير إلى النقطة B وهذه النقطة أيضاً تقع في منطقة الاتزان، فإن التغير A → B لا يمكن أن يتضمن زيادة في الانترóبي وذلك لأن العملية لا تحصل تلقائياً والنظام لا يزال في حالة اتزان وبينما المنطق فإن التغير B → A لا يمكن أن

يتضمن زيادة في الانتروبي، وبمعنى آخر فإن الحالتين (أ، ب) لهما نفس الانتروبي الكلية. لذلك فإن شرط الاتزان هو كما في المعادلة الآتية:

$$dS^{\text{tot}} = dS^{\text{sys}} + dS^{\text{surr}} = 0 \quad 5-62$$

حيث أن  $dS^{\text{tot}}$  تمثل الانتروبي الكلية و  $dS^{\text{sys}}$  تمثل انتروبي النظام و  $dS^{\text{surr}}$  تمثل انتروبي المحيط.



شكل 5-19 تحرك النظام باتجاه زيادة انتروبي الكلية

يتضح من الشكل السابق بأن موقع الاتزان يكون عندما تكون الانتروبي عند أعلى قيمة لها طالما أن الانتروبي الكلية تزداد عند العمليات التلقائية.

من المناسب جداً أن يتم تعريف الاتزان على أساس التغير الحاصل بالنظام فقط دون الأخذ بنظر الاعتبار ما يحصل في المحيط إذا افترضنا أن النظام والمحيط عند نفس درجة الحرارة فإن:

$$T^{\text{sys}} = T^{\text{surr}} \quad 5-63$$

إذا افترضنا حصول عملية تغير تلقائية بالنظام وهنالك كمية من الحرارة

وقدرها  $dQ$  تحركت من النظام وانتقلت إلى المحيط وهذا يعني أن الحرارة المضافة إلى المحيط تكتب بالشكل  $dQ_{\text{surr}}$  وهي تساوي الحرارة المفقودة من قبل النظام - وبذلك فإن:  $-dQ_{\text{surr}}$

$$dQ_{\text{surr}} = -dQ^{\text{sys}} \quad 5-64$$

$dQ^{\text{surr}}$  تعكس مدى قابلية المحيط لتقبل هذا الانتقال بالحرارة وإذا ما تم ذلك فهذا يعني بأن الانتقال يحصل دون تغير بالحجم ومن ثم فإن  $dU_{\text{surr}} = dQ_{\text{surr}}$ . بما أن الطاقة الداخلية دالة للحالة فإنه لا يوجد أي فرق إذا كان انتقال الحرارة إلى المحيط يحصل بعملية رجوعية أو غير رجوعية:

$$dQ_{\text{irrev}}^{\text{surr}} = dQ_{\text{rev}}^{\text{surr}} = dU^{\text{surr}} \quad 5-65$$

التغير بانتروبي المحيط يساوي:

$$ds^{\text{surr}} = \frac{dQ^{\text{surr}}}{T^{\text{surr}}} \quad 5-66$$

بما أن:

$$T^{\text{surr}} = T^{\text{sys}}$$

و

$$dQ^{\text{surr}} = dQ^{\text{sys}}$$

لذلك فإن

$$ds^{\text{surr}} = -\frac{dQ^{\text{sys}}}{T^{\text{sys}}} \quad 5-67$$

وبذلك فإن المعادلة 5-67 وهي تمثل شرط الاتزان يمكن إعادة كتابتها

بالشكل الآتي:

$$dS^{tot} = dS^{sys} - \frac{dQ^{sys}}{T^{sys}} = 0 \quad 5-68$$

وعند تبسيط المعادلة 5-68 ستأخذ الشكل الآتي:

$$dS - \frac{dQ}{T} = 0 \quad 5-69$$

أي أن:

$$dQ - TdS = 0 \quad 5-70$$

والمعادلة 5-69 تمثل شرط الاتزان

### 15-5 طاقة كيبيس: <sup>(\*)</sup>

لقد ذكرنا سابقاً بأن اغلب التفاعلات الكيميائية تحصل في أنظمة مفتوحة

أي أنها تحصل تحت ضغط ثابت وبذلك يمكننا إعادة كتابة المعادلة 5-70 بشكل

آخر لأن في مثل هذه الحالة يكون  $dH = dQ$ :

$$dH - TdS = 0 \quad 5-71$$

قام العالم الأمريكي الفيزيائي جوسيه كيبيس

Gibbs (1839-1903) بتعريف دالة ثرموديناميكية جديدة سميت بدالة كيبيس

أو طاقة كيبيس Gibbs energy ويرمز لها بالحرف G وهي function

$$G = H - TS \quad 5-72$$

ويثبت درجة الحرارة فإن:

$$dG = dH - TdS \quad 5-73$$

(\*) كانت سابقاً تعرف بطاقة كيبيس الحرارة ولكن IUPAC قرر إلغاء الكلمة الحرارة والاكتفاء بطاقة كيبيس فقط وهذا نفسه ينطبق على طاقة هلمهولتز.

وبالعودة للمعادلة 5-70 وشرط الاتزان عندما تكون  $T$  و  $p$  ثابتين فإن:

$$dG = 0$$

5 - 74

لأن  $G$  تحتوي على  $H$  و  $S$  والتي جميعها دلالات حالة فهي أيضا دالة حالة.  
إن شرط الاتزان موضح بالشكل 5-21 حيث نرى بأن النظام يسير باتجاه  
أو طأ قيمة لطاقة كييس عند التحرك باتجاه الاتزان في حين أن الحركة التلقائية  
تكون كالتالي:

$$dS^{\text{tot}} = dS^{\text{sys}} + dS^{\text{surr}} > 0$$

5 - 75

وهي تعود إلى الحالة غير الرجوعية Irreversible، وبذلك ستأخذ المعادلة  
73-5 الشكل الآتي:

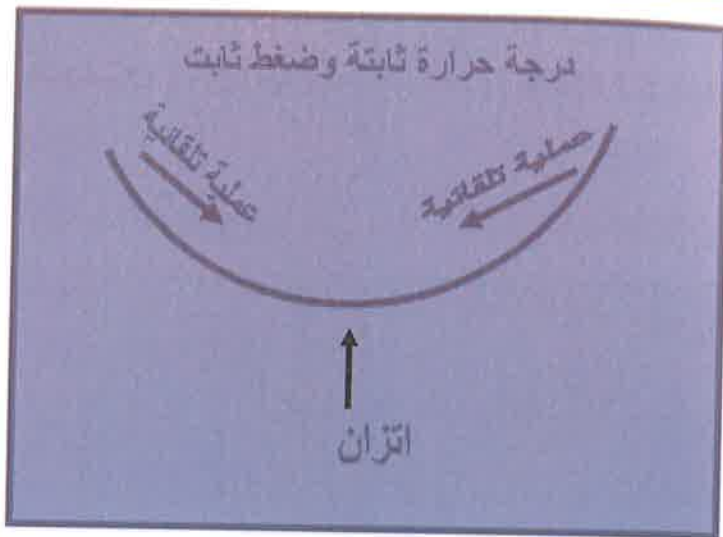
$$dG < 0$$

5 - 76

وبعبارة أخرى في العمليات التلقائية التي تحصل بثبوت درجة الحرارة  
والضغط فإن النظام يتوجه باتجاه أو طأ قيمة لطاقة كييس.

$$G = H - TS$$

بيان



### هيئه النظام

شكل 5 - 20 طاقة كيس

### 16- طاقة هلمهولتز Helmholtz energy

عند حصول أي عملية عند حجم ثابت فإن  $dQ$  تكون مساوية إلى التغير بالطاقة الداخلية  $dU$  وعليه فإن المعادلة 5-70 تكون على الشكل الآتي:

$$dU - TdS = 0 \quad 5-77$$

إن الكمية  $U - TS$  هي دالة حالة وتسمى دالة هلمهولتز Helmholtz function أو طاقة هلمهولتز Helmholtz energy نسبة إلى العالم الفيزيائي الألاني ليدويك هلمهولتز Ludwing Ferdinand Von (1894-1821)

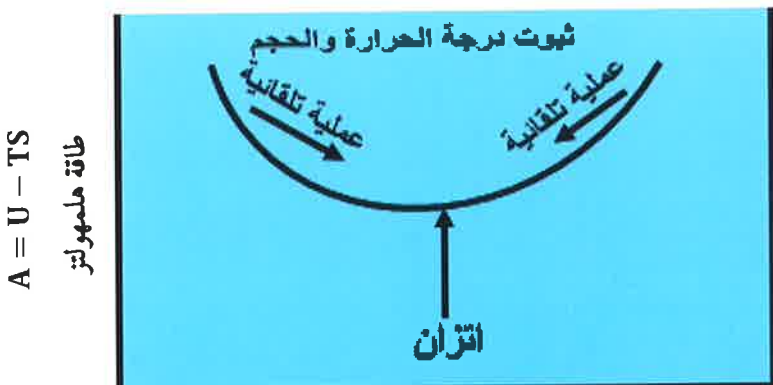
ويرمز لها بالرمز  $A$  وهي:

$$A = U - TS \quad 5-78$$

وعند الاتزان فإن

$$dA = 0 \quad 5-79$$

وهذا هو شرط الاتزان عندما تكون درجة الحرارة ثابتة والحجم يكون ثابتاً أيضاً حيث أن النظم يتحرك باتجاه أوطاً قيمة لطاقة هلمهولتز كما في الشكل 5-21.



هيئه النظام

شكل 5-21 طاقة هلمهولتز

## 17-5 التفسير الجزيئي لطاقة كيبس

## Molecular interpretation of Gibbs energy

بالرغم من أن دراسة علم الترموديناميكي لا يتأثر بالتصيرات أو الخواص الذرية أو الجزيئية الفردية ولكن ذلك لا يمنع أن نفسر بعض الظواهر والعلاقات الترموديناميكية بضوء التركيب الجزيئي.

إن العلاقة بين  $\Delta G$  و  $\Delta H$  و  $\Delta S$  محددة بالمعادلة الآتية:

$$\Delta G = \Delta H - T\Delta S$$

5 – 80

تعد المعادلة 5-80 من معادلات الترموديناميك المهمة ومن حساب قيمة  $\Delta G$  للتفاعلات الكيميائية يمكننا التعرف على إمكانية حصول التفاعل بصورة تلقائية أو غير تلقائية.

إن تفكك جزيئه الهيدروجين إلى ذرات يتم وفق المعادلة الآتية:



إن اتجاه التفاعل من اليسار إلى اليمين يحصل بصورة محددة وبطبيعة جداً عند درجات الحرارة الاعتيادية ولكن الاتجاه المعاكس لذلك يحصل بصورة تلقائية حيث تتحدد ذرات الهيدروجين لتكوين جزيئه الهيدروجين وبهذه العملية تخترق قيمة طاقة كييس إلى أو طأ ما يمكن بحيث تكون قيمة  $\Delta G$  سالبة وتحت الظروف الاعتيادية.

تحدد ذرات الهيدروجين فيما بينها بتفاعل باعث للحرارة Exothermic وعند الظروف الاعتيادية حيث أن:



أضف إلى ذلك فإن قيمة التغير بالانتروبي سالبة أيضاً، وذلك لأن اتحاد ذرات الهيدروجين وتحولها إلى جزيئات يؤدي إلى ترتيب النظام بصورة أفضل مما هو عليه في الحالة الذرية حيث أن:



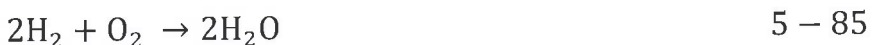
وبالعودة للمعادلة 5-80 يتضح الآتي:

$$\Delta G_{<0} = \Delta H_{<0} - T\Delta S \quad 5 - 84$$

إذا كانت قيمة  $T$  صغيرة فإن القيمة النهائية  $-\Delta G$  تكون سالبة وهذا ما يفسر تحول ذرات الهيدروجين إلى الحالة الجزيئية عند درجات الحرارة الاعتيادية

حيث يحصل ذلك بصورة تلقائية. أما في درجات الحرارة العالية جداً فإن الحد  $\Delta S$  سيكون كبيراً وبقيمة سالبة وللحد الذي يجعل قيمة الحد أكبر من  $\Delta H$  وبالتالي ستكون قيمة  $\Delta G$  موجبة وهذا ما يفسر عدم تلقائية تحول ذرات الهيدروجين إلى جزيئات عند درجات الحرارة العالية جداً بل على العكس حصول تفكك جزيئات الهيدروجين إلى ذرات وبصورة تلقائية عند تلك الدرجات الحرارية.

مثال آخر على ذلك هو تكون جزيئات الماء باتحاد جزيئتين من غاز الهيدروجين وجزيئة من غاز الأوكسجين:



والتفاعل كما هو معروف باعث للحرارة (أي أن قيمة  $\Delta H$  سالبة)، كما أن تكون جزيئات الماء يقلل من عدد الجزيئات الكلي ويؤدي إلى نظام أكثر ترتيباً وانتظاماً وهذا يعني أن قيمة  $\Delta S$  للتفاعل اعلاه سالبة:

$$\Delta G_{<0} = \Delta H_{<0} - T\Delta S \quad 5 - 86$$

عند الدرجات الحرارية العالية فإن الحد  $T\Delta S$  يكون كبيراً وهذا يعني بأن قيمة  $\Delta G$  بالمعادلة 5-86 ستكون موجبة وبذلك فإن التفاعل التلقائي بالمعادلة 5-85 سيكون بالاتجاه المعاكس (من اليمين إلى اليسار) وبعبارة أخرى فإن جزيئات الماء ستتفكك إلى الهيدروجين والأوكسجين.

من المثالين السابقين نستنتج الآتي:

1- إن درجة الحرارة هي العامل المحدد لفعالية الحد  $\Delta H$  و  $\Delta S$  ومن ثم تؤثر على القيمة النهائية للتغير بطاقة كيسن  $\Delta G$ .

2- في التفاعلات الباعثة للحرارة Exothermic غالباً ما تكون قيمة  $\Delta q$  سالبة وخاصة عند درجات الحرارة الاعتيادية.

3- تكون التفاعلات الماصة للحرارة Endothermic تلقائية فقط في حالة

أن تكون قيمة الحد  $T\Delta S$  كبيرة جداً بحيث يؤدي ذلك إلى إبقاء قيمة  $\Delta G$  سالبة.

4- تكون قيمة  $\Delta G$  مساوية للصفر في حالة الاتزان وتكون قيمتها موجبة في التفاعلات غير التلقائية.

5- عند درجة حرارة الصفر المطلق تكون:

$$\Delta G = \Delta H \quad 5-87$$

6- عند درجات الحرارة العالية جداً تكون قيمة التغير بالانترودي هي العامل المحدد لتلقائية التفاعل.

### 18-5 طاقات كييس لتكوين Gibbs energies of formation

إن طاقة كييس لتكوين القياسية The standard Gibbs energies of formation  $\Delta G_f^\circ$  لأي مركب هي طاقه كييس التي تصاحب تكون المركب في حالته القياسية من عناصره الأولية في حالتها القياسية. يمكن حساب التغير في طاقة كييس القياسية لأي تفاعل كيميائي ( $\Delta G^\circ$ ) وذلك بجمع طاقات كييس لتكوين النواتج وطرح منها طاقات كييس لتكوين المتفاعلات:

$$\Delta G^\circ = \sum \Delta G_f^\circ (\text{Product}) - \sum \Delta G_i^\circ (\text{Reactant}) \quad 5-88$$

إن القيمة السالبة للتغير في طاقة كييس القياسية لتفاعل ( $\Delta G^\circ$ ) تعني بأن العملية تلقائية والمركبات التي لها قيمة  $\Delta G_f^\circ$  سالبة تكون مستقرة بالنسبة إلى عناصرها الأولية. المركب الذي يكون طاقة كييس القياسية لتكوين سالبة يسمى مركبا باعثا للطاقة Exoergonic compound والمركب الذي تكون طاقة كييس

القياسية لتكوينه موجبة يسمى مركب ماص للطاقة Endoergic compound علمًا بأن معظم المركبات باعثة للطاقة.

إن تسمية باعث للطاقة أو ماص للطاقة يمكن أن يطلق على العمليات الأخرى فمثلاً في التفاعلات التي تكون فيها قيمة  $\Delta G^\circ$  سالبة تسمى تفاعلات باعثة للطاقة Exoergonic reaction or Exergonic reactions إما التفاعلات التي تكون فيها قيمة  $\Delta G^\circ$  موجبة فتسمى تفاعلات ماصة للطاقة Endergonic reactions or Endoergic reactions.

من غير الممكن قياس طاقات كييس لتكوين الأيونات بصورة فردية وذلك لأن مثل هذه التجارب تتضمن وجود أيونات أخرى بشحنات معاكسة. لغرض التغلب على هذه الصعوبة يتم معاملة قياس طاقة كييس لتكوين مثل معاملة قياس الانثالبية حيث يتم افتراض قيمة طاقة كييس لتكوين البروتون بالماء تساوي صفرًا ويتم حساب طاقات التكوين الحرة لبقية الأيونات على هذا الأساس. إن القيم التي يتم الحصول عليها بهذه الطريقة بطلاقات كييس لتكوين الاصطلاحية أو المعتمدة Conventional Gibbs energy of formation.

تجدر الإشارة هنا إلى حالة خاصة تطبق على التفاعلات التي تشتمل وجود أيونات الهيدروجين حيث أن  $\Delta G^\circ$  وهي دالة كييس القياسية والتي يفترض أن يكون النظام فيها عند دالة حامضية تساوي صفر، أما إذا كانت قيمة الدالة الحامضية غير ذلك فيتم كتابة طاقة كييس عند الظروف القياسية عدا قيمة pH حيث لا تساوي صفر بالشكل  $\Delta G^{\theta_1}$  وهي تختلف عن  $\Delta G^\circ$ .

إذا كان لدينا التفاعل الآتي:

$$\Delta G^{\theta_1} = \Delta G + RT \ln \frac{(C)(D)(H^+)}{(A)(B)} \quad 5-89$$

حيث أن (A) و(B) تمثل الفعاليات القياسية لمكونات المواد المتفاعلة في حين أن (C) و(D) هي الفعاليات القياسية لمكونات المواد الناتجة وجميعها عند وحدة الفعالية أي تساوي 1 ما عدا قيمة  $(H^+)$  لا تساوي واحداً. لذلك فان المعادلة 5-89 يتم اعادة كتابتها كالتالي:

$$\Delta G^{\theta_1} = \Delta G^\theta + RT \ln(H^+) \quad 5-90$$

$$\Delta G^{\theta_1} = \Delta G^\theta + RT \cdot 2.303 \log(H^+) \quad 5-91$$

$$pH = -\log(H^+) \quad 5-92$$

وهذا يعني أن

$$\Delta G^{\theta_1} = \Delta G^\theta + 2.303 RT pH \quad 5-93$$

### 19-5 طاقة كيبيس والشغل الرجوعي

#### Gibbs energy and reversible work

عندما يتم ضغط الغاز رجوعياً عند درجة حرارة ثابتة فإن الشغل المنجز سيزيد طاقة كيبيس، أو الشغل الراجعي المنجز عندما يتم ضغط كمية من الغاز (n مول) عند درجة حرارة T من الحجم  $V_1$  إلى الحجم  $V_2$  يساوي:

$$W_{rev} = nRT \ln \frac{V_1}{V_2} = nRT \ln \frac{P_1}{P_2} \quad 5-94$$

إن حصول هذه العملية عند درجة حرارة ثابتة (تماثل حراري) يعني عدم حصول أي تغير بالطاقة الداخلية وهذا يعني حسب القانون الأول للtermodynamics بأن كمية الحرارة المتتصبة من قبل النظام سالبة بالنسبة للشغل المنجز على النظام:

$$Q_{rev} = nRT \ln \frac{V_2}{V_1} \quad 5-95$$

$$\Delta S = \frac{Q_{rev}}{T} = nR \ln \frac{V_2}{V_1} \quad 5-96$$

لا يوجد هنالك أي تغير بالانثالبية (الانثالبية هي دالة لدرجة الحرارة فقط)، لذلك فإن التغير بطاقة كييس تساوي:

$$\Delta G = \Delta H - T \Delta S \quad 5-97$$

$$= nRT \ln \frac{V_1}{V_2} = nRT \ln \frac{P_2}{P_1} \quad 5-98$$

وهذا يعني أن التغير بطاقة كييس يساوي الشغل الرجوعي المنجز على النظام.

هنالك علاقة مهمة تظهر ما بين طاقة كييس والشغل في العمليات التي تحصل عند ثبوت درجة الحرارة وثبوت الضغط.

من المعلوم أنه بالإمكان تصنيف أنواع الشغل إلى نوعين وهما:

1- الشغل الناتج من التغير بالحجم.

2- الأنواع الأخرى من الشغل.

فمثلاً عند عمل الخلية الكيميائية الكهربائية فهناك تغير بسيط جداً يحصل بالحجم وبذلك هناك شغل منجز على المحيط أو أن المحيط يعمل شغلاً على النظام، والشغل الآخر والمهم هو الشغل الكهربائي المنجز عند تشغيل الخلية الكهربائية، وبصورة عامة يمكننا القول بأن هناك شغلاً يسمى شغل (PV work) وأي نوع آخر من الشغل ويرمز له بالرمز ( $W_{non-pv}$ ) تساوي أيضاً التغير بطاقة كيسن للعملية الرجوعية التي تحصل عند درجة حرارة ثابتة وضغط ثابت.

من تعريف كيسن فإن:

$$G = H - TS = U + PV - TS \quad 5-99$$

و عند حصول أي تغير في النظام فإن:

$$dG = dU + pdV + Vdp - TdS - SdT \quad 5-100$$

عندما تكون درجة الحرارة ثابتة والضغط ثابت فإن:

$$dG = dU + pdV - TdS \quad 5-101$$

ومن القانون الأول للtermodynamics حيث أن ( $dU = dQ_p + dw$ ) وبذلك فإن المعادلة 5-100 ستكون كما يأتي:

$$dG = dQ_p + dW + PdV - TdS \quad 5-102$$

في العمليات التي تحصل بالنظام عند تغير الحجم ( $dV$ ) فإن الشغل يساوي ( $-PdV$ ) والشغل الكلي سيساوي

$$dW = dw_{pv} + dw_{non-pv} = pdv + dw_{non-pv} \quad 5-103$$

ويربط هذه المعادلة مع المعادلة 5-101 نحصل على:

$$dG = dQ_p + dw_{non-pv} - TdS \quad 5-104$$

و بما أن العملية رجوعية فإن ( $dQ_p = Tds$ ) وبذلك فإن:

$$dG = dw_{non-pv} \quad 5-105$$

أو أن:

$$\Delta G = W_{non-pv} \quad 5-106$$

### 20-5 علاقات ماكسويل : Maxwell relations

في العمليات التي يحصل فيها تغير متناهي الصغر والتي تتضمن شغل PV فقط فإن الرابط فيها بين قانوني termodynamics الأول والثاني ينتج:

$$dU = dw + dQ = -PdV + Tds \quad 5-107$$

وفي حالة  $dH$  فإن:

$$dH = d(U + PV) = dU + d(PV) = dU + PdV + VdP \quad 5-108$$

$$dH = -PdV + Tds + PdV + VdP = VdP + Tds \quad 5-109$$

وبطريقة مشابهة بالنسبة لحساب طاقة هلمهولتز وطاقة كيسن فإن:

$$dA = d(U - TS) = dU - Tds - SdT \quad 5-110$$

$$dA = -PdV + Tds - Tds - SdT = -PdV - SdT \quad 5-111$$

$$dG = d(H - TS) = dH - Tds - SdT \quad 5-112$$

$$dG = VdP + Tds - Tds - SdT = VdP - SdT \quad 5-113$$

ومن المعادلات السابقة نفسها من 5-106 إلى 5-114 عمليات رياضية

بسطة نستنتج الآتي:

$$dU = PdV + TdS = \left( \frac{\partial U}{\partial V} \right)_S dV + \left( \frac{\partial U}{\partial S} \right)_V dS \quad 15-115$$

$$dH = Vdp + TdS = \left( \frac{\partial H}{\partial P} \right)_S dP + \left( \frac{\partial H}{\partial S} \right)_p dS \quad 15-116$$

$$dA = -PdV - TdS = \left( \frac{\partial A}{\partial V} \right)_S dV + \left( \frac{\partial A}{\partial T} \right)_V dT \quad 15-117$$

$$dG = Vdp - SdT = \left( \frac{\partial G}{\partial P} \right)_T dP + \left( \frac{\partial G}{\partial T} \right)_p dT \quad 15-118$$

يمكننا الحصول على علاقات مهمة من المعادلات أعلاه فمثلاً يمكننا

الحصول على العلاقات الآتية من المعادلة 5-115:

$$\left( \frac{\partial U}{\partial V} \right)_S = -P, \quad \left( \frac{\partial U}{\partial S} \right)_V = T \quad 5-119$$

ومن المعادلات 5-115 إلى المعادلة 5-117 نحصل على العلاقات الآتية:

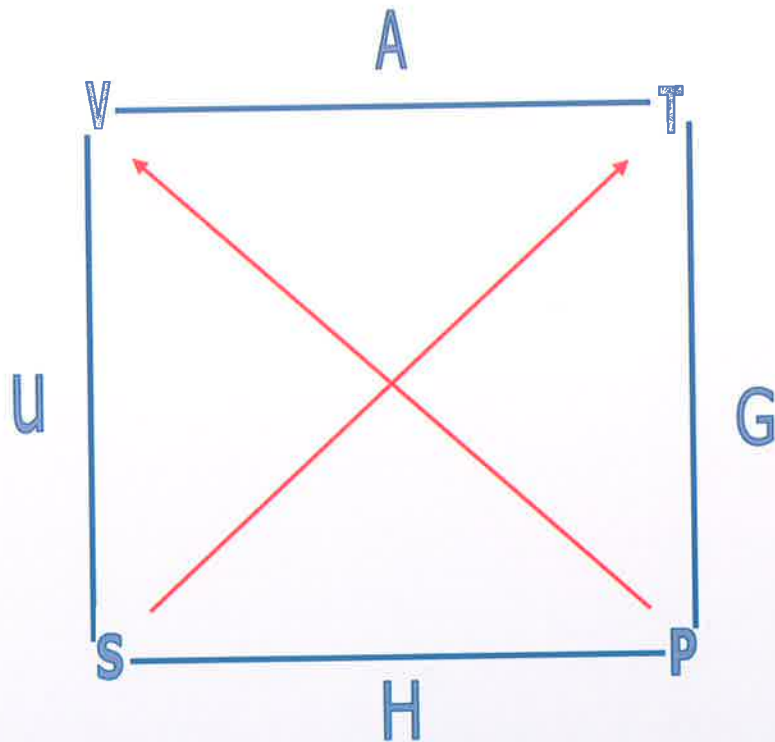
$$\left( \frac{\partial H}{\partial P} \right)_S = V, \quad \left( \frac{\partial H}{\partial S} \right)_p = T \quad 5-120$$

$$\left( \frac{\partial A}{\partial V} \right)_T = -P, \quad \left( \frac{\partial A}{\partial T} \right)_V = -S \quad 5-121$$

$$\left( \frac{\partial G}{\partial P} \right)_T = V , \quad \left( \frac{\partial G}{\partial T} \right)_P = -S \quad 5-122$$

هناك وسيلة لتنذكر العلاقات الثمانية المذكورة في المعادلات 5-119

إلى 5-122 يمكن توضيحيها بالشكل 5-22



شكل 5-22 مربع الترموديناميك

يمكن ان نفهم هذه العلاقات وطريقة رسم المربع الترموديناميك بما يأتي:

- 1 لقد تم اختيار العوامل الترموديناميكية ووضعها على اضلاع المربع والزوايا وفق العلاقات الآتية:

$$H = f(S, P)$$

$$U = f(S, V)$$

$$G = f(T, P)$$

$$A = f(T, V)$$

-2 اتجاه الاسهم يحدد اشارة المشتقة. اذا كان السهم يشير الى العامل الثرموديناميكي فتكون اشارة المشتقة سالب والعامل الثرموديناميكي عند قاعدة السهم ف تكون اشارة المشتقة موجبة.

من ذلك نحصل على :

$$dU = TdS - PdV \quad 5-123$$

$$dA = PdV - SdT \quad 5-124$$

$$dH = VdP + TdS \quad 5-125$$

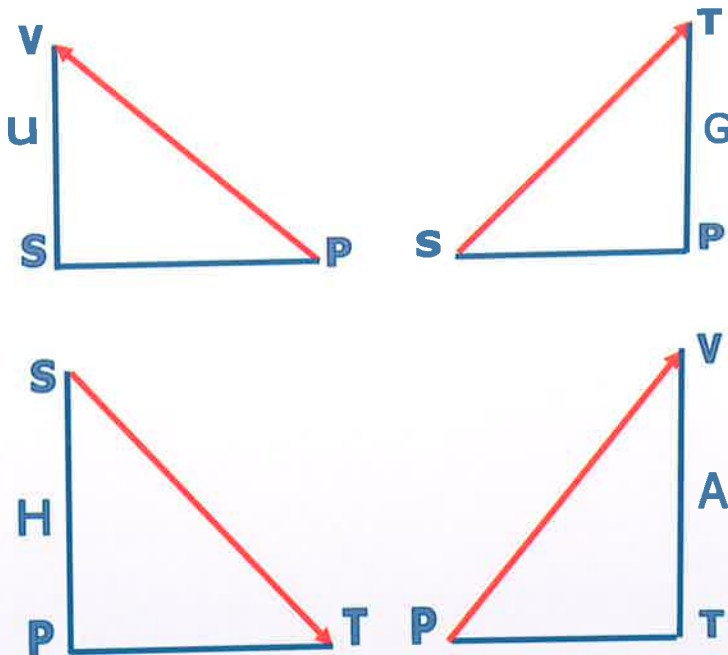
$$dG = VdP - SdT \quad 5-126$$

العلاقات الموضحة بالمعادلات 5-123 الى 5-126 هي نفس العلاقات التي تم الحصول عليها من المعادلات 5-108 الى 5-114.

الشكل 5-23 يمثل تجزئة لمربع الثرموديناميک. من هذت الشكل يمكن ان نحصل على العلاقات الآتية:

$$\left(\frac{\partial V}{\partial S}\right)_P = \left(\frac{\partial T}{\partial P}\right)_S \quad 5-127$$

$$\left(\frac{\partial S}{\partial P}\right)_T = \left(\frac{\partial V}{\partial T}\right)_P \quad 5-128$$



شكل 23-5 اشكال علاقات ماكسويل

**21-5 الضغط الفعال والنشاطية Fugacity and Activity**

سبق وأن ذكرنا بالمعادلة 5-95 بأن التغير بطاقة كيبيس في عمليات التماثل الحراري عند تعدد أمول من غاز مثالي رجوعياً يساوي:

$$\Delta G_m = RT \ln \frac{V_1}{V_2} = RT \ln \frac{P_2}{P_1} \quad 5-129$$

$G_m$  تمثل الحالة القياسية لطاقة كيبيس المولارية عند أي ضغط إذا كان

الضغط الابتدائي ( $P_1$ ) يساوي 1 بار و  $G_m^\circ$  تمثل طاقة كييس المولارية القياسية عند هذا الضغط فإن  $G_m$  تساوي:

$$G_m = G_m^\circ + RT \quad (P/\text{bar}) \quad 5 - 130$$

إذا كان الغاز غير مثالي (غاز حقيقي) فلا يمكن تطبيق المعادلة 5-123، لذلك قام العالم الأمريكي الكيميائي كلبرت لويس Gilbert وGilbert (1875-1946) بتقديم دالة جديدة سميت الضغط الفعال fugacity وأعطيت الرمز  $f$  وهي تمثل قيمة الضغط المعدل لكي يتاسب مع الحبيود عن التصرف المثالي وهي تساوي ضغط الغاز عندما يكون الغاز مثاليًا. وللغاز الحقيقي يتم إعادة كتابة المعادلة 5-129 وفق الآتي:

$$\Delta G_m = RT \ln \frac{f_2}{f_1} \quad 5 - 131$$

ويعاد كتابة المعادلة 5-130 وفق الآتي:

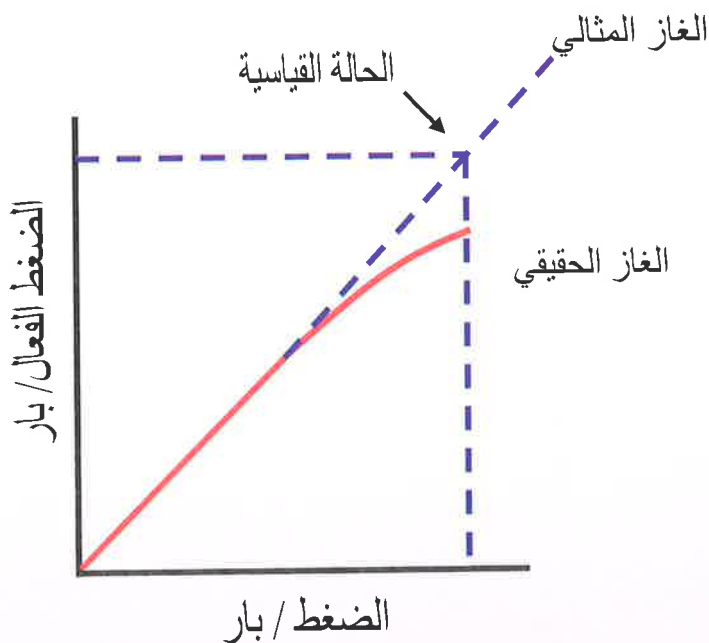
$$G_m = G_m^\circ + RT \ln \left( \frac{f}{\text{bar}} \right) \quad 5 - 132$$

تسمى نسبة الضغط الفعال عند أي حالة إلى الضغط الفعال عند الحالة القياسية بالفعالية Activity ويرمز لها بالرمز  $a$ ، بما أن قيمة الضغط الفعال للغاز المثالي عند الحالة القياسية يساوي 1 بار فإن المعادلة 5-132 يمكن إعادة كتابتها كالتالي:

$$G_m = G_m^\circ + RT \ln a \quad 5 - 133$$

الشكل 5-24 يمثل علاقة الضغط الفعال بالضغط بالنسبة للغاز الحقيقي والغاز المثالي حيث أن الغاز يتصرف مثاليًا كلما كان الضغط واطئاً وذلك بسبب

قلة تأثير قوى التجاذب بين الجزيئات كما أن حجم الجزيئات يعتبر قليلاً عند مقارنته مع الحجم الكلي للغاز.



شكل 5-24 علاقة الضغط الفعال بالضغط للغاز المثالي والغاز الحقيقي

### 22-5 معادلة كيبيس وهلمهولتز The Gibbs – Helmholtz equation

إن تغير طاقة كيبيس مع درجة الحرارة هي أحدى العمليات الكيميائية المهمة. المعادلة 5-122 والتي تم ذكرها سابقاً تمثل هذه العلاقة.

$$\left( \frac{\partial G}{\partial T} \right)_P = -S$$

5 - 134

بما أن:

$$\Delta G = \Delta H - T\Delta S \quad 5-135$$

إذن يمكننا إعادة كتابة المعادلة 5-134 كما يأتي:

$$\left( \frac{\partial G}{\partial T} \right)_P = \frac{G-H}{T} \quad 5-136$$

ويمكننا إعادة كتابة المعادلة 5-136 كما يأتي:

$$\left[ \frac{\partial}{\partial T} \left( \frac{\partial G}{\partial T} \right) \right]_P = -\frac{H}{T^2} \quad 5-137$$

تسمى المعادلة 5-137 بمعادلة كيس وهلمهولتز.

تكون هذا المعادلة أكثر فائدة عندما تطبق على التغيرات التي تحصل في الرسم ، كيميائية كانت أو فيزيائية وبما أن ( $\Delta G = G_f - G_i$ ) حيث أن  $G_f$  تساوي طاقة كيس في حالة النظام النهائية و  $G_i$  طاقة كيس في حالة النظام الابتدائية وبذلك بإمكاننا إعادة كتابة 5-137 كما يأتي:

$$\left[ \frac{\partial}{\partial T} \left( \frac{\Delta G}{T} \right) \right]_P = \frac{\Delta H}{T^2} \quad 5-138$$

وهو شكل من أشكال معادلة كيس وهلمهولتز.

المواد المتفاعلة والناتجة من التفاعل في حالتها القياسية فيمكن للمعادلة أن تأخذ شكلا آخر وهو:

$$\left[ \frac{\partial}{\partial T} \left( \frac{\Delta G^\circ}{T} \right) \right]_P = \frac{\Delta H^\circ}{T^2} \quad 5-139$$

## امثلة الفصل الخامس

**مثال 5-1:** احسب قيمة التغير بالانتروبي عند تسخين غاز مثالي احادي الذرة من 298 كلفن الى 350 كلفن.

$$\Delta S = \int_1^2 \frac{dQ_{rev}}{T} = nC_V \ln\left(\frac{T_2}{T_1}\right)$$

$$\Delta S = (1\text{mol})\left(\frac{3}{2} R\right) \ln\left(\frac{350}{298}\right)$$

$$\Delta S = 2 \text{ J K}^{-1}$$

**مثال 5-2:** احسب  $\Delta S^\circ_{rec}$  للتفاعل الاتي:



اذا كانت لديك المعطيات الاتية:

$S^\circ \text{ (JK}^{-1}.\text{mol}^{-1})$	المادة
186.2	$\text{CH}_4 \text{(g)}$
205.03	$\text{O}_2 \text{(g)}$
213.64	$\text{CO}_2 \text{(g)}$
188.72	$\text{H}_2\text{O (g)}$

$$\begin{aligned} \sum S^\circ \text{ products} &= 1\text{mol CO}_2 \left( \frac{213.64 \text{J}}{\text{K.mol CO}_2} \right) \\ &\quad + 2\text{mol H}_2\text{O} \left( \frac{188.72 \text{J}}{\text{K.mol H}_2\text{O}} \right) \\ &= 591.08 \end{aligned}$$

$$\begin{aligned}\sum S^\circ \text{reactants} &= 1 \text{ mol } CH_4 \left( \frac{186.2J}{K \cdot \text{mol } CH_4} \right) \\ &+ 2 \text{ mol } O_2 \left( \frac{205.03J}{K \cdot \text{mol } O_2} \right) \\ &= 596.3\end{aligned}$$

$$\begin{aligned}\sum S^\circ_{\text{reaction}} &= \sum S^\circ_{\text{products}} - \sum S^\circ_{\text{reactants}} \\ &= (591.08 - 596.3) \text{ JK}^{-1} \\ &= -5.2 \text{ JK}^{-1}\end{aligned}$$

تبين النتيجة بان التغير بالانترودي سالب بالرغم من ان العملية غير رجوعية ولكن هنالك مناقشة حول التلقائية لهذه العملية واذا ما صحت تسمية التلقائية عليها فان الانترودي لم تعط الصورة الكاملة للتفاعل.

عند حل هذا المثال هنالك ملاحظتان مهمتان يجب الانتباه اليهما، الاولى هو اننا لم نعرف (بتشديد العين وكسر الراء) انترودي التكوين Entropy of formation، وثانيهما هو ان انترودي التكوين للعناصر لا تساوي صفر.

**مثال 5-3:** قالبان من الحديد تم وضعهما في حالة تماس وكانت درجة حرارة الاول 273 كلفن والثاني 373 كلفن. وضح ماذا سيحصل ثم احسب التغير الكلي بالانترودي. افرض ان السعة الحرارية للقالبين متساوية في حدود درجاتهما الحرارية وتساوي  $c$  واهمل التغير بالحجم.

سيتم انتقال الحرارة من الجسم الحار الى الجسم البارد حال تماسهما وسيستمر هذا الانتقال لحين تساوي درجة الحرارة للطرفين بحيث تساوي 323 كلفن.

$$\Delta S = \int_1^2 \frac{dQ_{rev}}{T} = C \int_{T_1}^{T_2} \frac{dT}{T} = C \ln\left(\frac{T_2}{T_1}\right)$$

$$\begin{aligned}\Delta S &= \Delta S_C + \Delta S_H = C \ln\left(\frac{T_f}{T_C}\right) + C \ln\left(\frac{T_f}{T_H}\right) = C \ln\left(\frac{T_f^2}{T_H T_C}\right) \\ &= C \ln\left(\frac{323^2}{273 \times 273}\right) = 0.024 C\end{aligned}$$

نلاحظ بان قيمة التغير بالانترóبí موجبة، كما نلاحظ بان وحدات الانترóبí هي وحدات السعة الحرارية نفسها وهي جول كلفن<sup>1</sup>.

مثال 4-5: للقالبين في المثال السابق أنفسهما، احسب الشغل المنجز من قبل القالب الحار علما بانه لا يوجد مستودع اخر بارد لاستقبال الحرارة المفقودة.

يجب ان نذكر بانه لا يمكن ان نطرح حرارة من القالب البارد ونحوها الى شغل، لأن الانترóبí في القالب الحار ستقل بدون حدوث زيادة في الاجزاء الاخرى من النظام، وهذا مناقض للقانون الثاني للtermodynamics، لذلك نحتاج الى اضافة كمية من الانترóبí الى القالب البارد وبما يساوي ما تم فقدانه من القالب الحار.

$$\Delta S = C \ln\left(\frac{T_f^2}{T_H T_C}\right) \geq 0$$

$$\Delta S = 0$$

$$T_f = \sqrt{T_H T_C} = 319$$

$$Q_H = c(T_H - T_f)$$

$$Q_C = c(T_f - T_H)$$

لأن الشغل المنجز هو بسبب الحرارة فقط، لذلك سياوي الشغل الآتي:

$$W = Q_H - Q_C$$

$$W = c(T_H + T_C - 2T_f)$$

$$\eta = \frac{W}{Q_H} = \frac{(T_H + T_C - 2T_f)}{(T_H - T_f)} = 0.144$$

نلاحظ بأنه فقط 14% من الحرارة تحولت إلى شغل.

مثال 5-5: غاز مثالي احادي الذرة تم تحوله ببطء من الحالة الابتدائية  $P_1, V_1$  إلى الحالة النهائية  $P_2, V_2, T_2$ . بين الشغل المنجز وفق الشرط المذكور في العمود اليسير وضعه أمام ما يناسبه في العمود اليمين.

ضغط ثابت (.)

$$i) \quad nRT_1 \ln\left(\frac{V_1}{V_2}\right)$$

حجم ثابت (.)

$$ii) \quad P_1(V_1 - V_2)$$

درجة حرارة ثابتة (.)

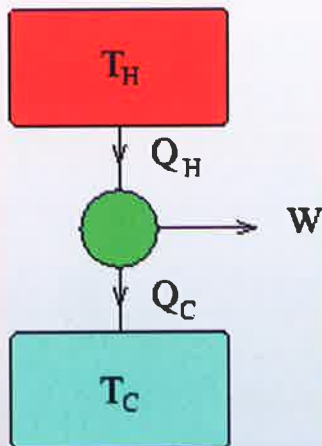
$$iii) \quad \frac{3}{2}nR(T_2 - T_1)$$

انتروبي ثابتة (.)

$$iv) \quad 0$$

ضغط ثابت (a)	ii)	$P_1(V_1 - V_2)$
حجم ثابت (b)	iv)	0
درجة حرارة ثابتة (c)	i)	$nRT_1 \ln\left(\frac{V_1}{V_2}\right)$
انتروبي ثابتة (d.)	iii)	$\frac{3}{2}nR(T_2 - T_1)$

مثال 5-6: محطة كهرباء فيها ماكينة حرارية تعمل بين مستودعين حراريين. يحتوي المستودع الأول على بخار الماء درجة حرارة 100 م° والمستودع الثاني يحتوي ماء عند درجة حرارة 20 م°. ماهي كمية الطاقة الكهربائية القصوى التي يمكن ان تجهزها هذه المحطة لكل جول من الحرارة يؤخذ من بخار الماء. مثل للمحطة برسم تخطيطي.



الكافأة العظمى للماكينة الحرارية تكون باستخدام دورة كارنوت الانعكاسية وبها:

$$\frac{Q_H}{Q_C} = \frac{T_H}{T_C}$$

$$W = Q_H - Q_C = Q_H \left(1 - \frac{T_C}{T_H}\right)$$

وعند التعويض نجد بان عندما:

$$Q = 1J$$

يكون الشغل الاعظم يساوي:

$$W_{\max} = 0.21J$$

مثال 5-7: ماكينة تعمل بين 150°C و 25°C وتستقبل حرارة قدرها 500 جول من المستودع الحار. افترض عدم وجود أي فقدان بسبب الاحتكاك واحسب الشغل المنجز من قبل الماكينة.

$$\begin{aligned} \epsilon &= \frac{W}{Q_2} = \frac{T_h - T_c}{T_h} \\ \epsilon &= \frac{W}{500} = \frac{423.15 - 298.15}{423.15} \\ \therefore W &= 147.7J \end{aligned}$$

مثال 5-8: درجة غليان الماء تساوي 265°C عند 50 جو. قارن بين كفاية الماكينة النظرية عند 1 جو و 50 جو. افترض ان درجة حرارة الحوض المستقبل تساوي 35°C.

$$\epsilon = \frac{T_h - T_c}{T_h} = \frac{373.15 - 308.15}{373.15} = 0.174$$

$$\epsilon = \frac{T_h - T_c}{T_h} = \frac{538.15 - 308.15}{538.15} = 0.428$$

نلاحظ هنالك زيادة كبيرة في كفاية الماكينة عند الضغط العالي.

**مثال 5-9:** تعدد 4 مول من غاز مثالي بثبوت درجة الحرارة من حجم 1 لتر الى 10 لتر عند 300 كلفن. احسب التغير بطاقة كيبيس.

$$\Delta G = nR T \ln \frac{V_1}{V_2}$$

$$\begin{aligned}\Delta G &= 2.303 \times 300 \times 4 \times 8.314 \quad \log \frac{1}{10} \\ &= 22976.5 \times (-1) \\ &= -22976.5 \text{ J} \\ &= 22.977 \text{ kJ}\end{aligned}$$

**مثال 5-10:** تعدد 2 مول من غاز مثالي رجوعياً وبثبوت درجة الحرارة عند 300 كلفن من ضغط 1 جو الى 0.1 جو. احسب التغير بطاقة كيبيس.

$$\Delta G = nR T \ln \frac{P_2}{P_1}$$

$$\begin{aligned}\Delta G &= 2.303 \text{ nR T} \log \frac{P_2}{P_1} \\ &= 2.303 \times 2 \times 8.314 \times 300 \log \frac{0.1}{1} \\ &= 11488.2 \times (-1) \\ &= -11.488 \text{ kJ}\end{aligned}$$

## الفصل السادس

## CHAPTER SIX

القانون الثالث للtermodynamics

Third Law of Thermodynamics

## الفصل السادس

### القانون الثالث للtermodynamics

### Third Law of Thermodynamics

#### Introduction

1-6 مقدمة

#### The Difference Between Enthalpy of Reaction and Entropy of Reaction Calculations

2-6 الفرق بين حساب انتالبيه التفاعل وانتروبيه التفاعل

#### The Nernst Heat Theorem

3-6 نظرية نيرنست الحرارية

#### Very Low Temperatures

4-6 درجات الحرارة الواطئة جدا

#### Third Law of Thermodynamics

5-6 القانون الثالث للtermodynamics

#### Absolute Entropies

6-6 الانتروبيات المطلقة

#### The Entropy of Phase transition in the transition temperature

6-7 انترولي تحول الحالة (تغير الطور) عند درجة حرارة التحول

#### Residual Entropy

6-8 الانترولي المتبقية

#### The entropy of a Perfect gas expansion

6-9 انترولي تمدد الغاز المثالي

#### The Variation of entropy with temperature

6-10 تغير الانترولي مع درجة الحرارة

#### The measurement of entropy

6-11 قياس الانترولي

#### Fourth Law of Thermodynamic

6-12 القانون الرابع للtermodynamics

#### Examples

أمثلة

## الفصل السادس

### القانون الثالث للtermodynamics

### Third Law of Thermodynamics

#### ١-٦ مقدمة : Introduction

هنا لك مقوله عن قوانين الثرموديناميك الاول والثاني والثالث، ملخص هذه المقوله هي ان تتصور نفسك في لعنه، وحسب القانون الاول للثرموديناميك لا يمكنك الفوز اطلاقا في هذه اللعبة، وذلك حسب قانون حفظ الطاقة (لا ربح ولا خسارة)، ولكن حسب القانون الثاني لا يمكنك حتى التعادل، لأن الانتروبي في ازيد ياء، وحسب القانون الثالث انك لا تستطيع الخروج من اللعبة لأن الصفر المطلق مستحيل الإدراك.

لفرض تصوّر معنى القانون الثالث للثرموديناميك Third Law of Thermodynamics علينا ان نتصور الماء. جزيئات الماء في الحالة الغازية حرّة الحركة الى حد بعيد حيث ان الانتروبي بها عال جدا مقارنة بالحالات الاخرى للماء، ولكن عند تبريد الماء حتى يتم تحويل البخار الى سائل تكون حرية الجزيئات مقيدة ولم تعد حرّة كما كانت في الحالة الغازية. تقل حركة الجزيئات اكثراً واكثر كلما ازداد التبريد حتى تكون الحركة قليلة جداً (تقتصر على الحركة الاهتزازية) عندما يتجمد الماء . كلما ازداد التبريد تتقييد حركة الجزيئات اكثراً واكثر حتى تتوقف الحركة الاهتزازية عندما يتحول الثلج الى الحالة البلورية التامة حيث تتوقف حركة جميع الجزيئات بشكل تام. يعني ذلك عدم وجود الانتروبي، ويحصل ذلك عند درجة الصفر المطلق.

يمتنص القانون الثالث للثرموديناميك بدرجات الحرارة المنخفضة وصولاً إلى درجة حرارة الصفر المطلق Absolute Zero وعلاقتها بالانتروبي. عندما

تكون درجة الحرارة المطلقة مساوية إلى صفر ( $T = 0$ ) فإن كل طاقات الحركة الحرارية سوف تُنبط وإن جميع الجزيئات أو الذرات أو الأيونات ستترتيب بشكل بلوري تام ومنتظم. إن غياب الحركة العشوائية للجزيئات أو الذرات أو الأيونات ومن غياب الحركة الحرارية يؤدي إلى أن تصبح الانتروبي للنظام متساوية للصفر ( $S = 0$ ). إن الاستنتاجات التجريبية تشير إلى إمكانية أن تكون الانتروبي متساوية للصفر إذا كانت جميع الجزيئات أو الذرات أو الأيونات بصورة بلورية تامة ومرتبة بشكل منتظم.

### 6-2 الفرق بين حساب الانثالبية لتفاعل وانتروبيه لتفاعل:

The Difference between Enthalpy of Reaction and Entropy of Reaction Calculations

المدول 6-1 يبين قيمة الانثالبية والانتروبيه لعنصر الالミニوم ومركباته. اذا دققنا النظر في المدول نلاحظ الانثالبية أعطيت بصيغة انثالبية التكوين للحالة القياسية Standard-state enthalpy of formation

جدول 6-1 معلومات ثرموديناميكية عن الالミニوم ومركباته

$S^\circ$ (J/mol.K)	$\Delta H_f^\circ$ (kJ/mol)	المادة
0	28.33	$Al_{(s)}$
326.4	164.54	$Al_{(g)}$
-1675.7	50.92	$Al_2O_3(s)$
-704.2	110.67	$AlCl_3(s)$

وهذه الكمية تمثل الحرارة المتحررة او المتصدة عندما تكون المادة من عناصرها الاساسية، فمثلا ان تكون كلوريد الالミニوم وفق المعادلة الكيميائية الآتية:



ان الأرقام المعطاة في الجدول للانثالبيات هي اعداد نسبية حيث تقارن لكل مركب بعناصره الأولية. ان الانثالبيات نسبية لانه لا يوجد هنالك صفر مطلق تقاس على أساسه الانثالبيات، والذي يقاس هو الحرارة التي تبعث او تتضىع عند تكون اي مركب. لذلك كل الذي نستطيع قياسه هو الفرق ما بين انثالبيات المواد الناتجة من التفاعل وانثالبيات المواد المتفاعلة. تم اعتبار حرارة تكوين العناصر تساوي صفراء في حالتها الترموديناميكية المستقرة، وعلى ضوء ذلك اخذت انثالبيات المركبات لتكون اكبر او اصغر من ذلك.

ان المعلومات التي تخص الانتروبيات تختلف كليا عن تلك التي تخص الانثالبيات. القانون الثالث للترموديناميك عرف الانتروبي المطلقة لكل عنصر ومركب عند درجة الصفر المطلقة وتعتبر الانتروبي عند الصفر المطلق هي نقطة المصدر Reference Point لباقي قيم الانتروبيات للعنصر او المركب في درجات الحرارة الاخرى، لذلك فان الانتروبيات المعطاة في الجدول 1-6 هي انتروبيات مطلقة  $S^\circ$  وليس تكوين  $\Delta S_f^\circ$ ، وكما في المثال الاتي:

$$AlCl_{3(s)} \quad S^\circ = 110.67 \text{ Jmol}^{-1} \cdot \text{K}^{-1}$$

### 6-3 نظرية نيرنست الحرارية : The Nernst Heat Theorem :

قام العالم نيرنست في عام 1906 بوضع نظرية سميت فيما بعد (بنظرية نيرنست الحرارية). تنص نظرية نيرنست الحرارية على:

(أن التغير بالانتروبي المصاحب للتغيرات الفيزيائية والكيميائية يقترب من الصفر عندما تقترب درجة الحرارة المطلقة من الصفر أي أن  $0 \rightarrow 5$  عندما

$T \rightarrow 0$  وهذا يؤدي إلى أن كل المواد الموجودة ضمن التحول منتظمة وبصورة بلورية تامة.

لغرض توضيح ما جاء بهذه النظرية دعنا نتفحص المثال التجاري الآتي:

إذا اعتربنا أن الانتروبي لتحول الكبريت المعيني Orthorhombic Sulfur يساوي  $S_{\alpha}$  وللكبريت المنشوري Monoclinic Sulfur يساوي  $S_{\beta}$  والتي يمكن حسابها من المعلومات المتوفرة عن التغير بالانثالبية والتي تساوي  $(-402 \text{ J mol}^{-1})$  عند درجة حرارة التحول والبالغة 369 كلفن.

$$\Delta S_{\text{tran}} = S_{m(\alpha)} - S_{m(\beta)} \quad 6-2$$

$$= \frac{-402 \text{ J mol}^{-1}}{369} = -1.09 \text{ J K}^{-1} \text{ mol}^{-1}$$

إن التغير بالانتروبي لكل من الكبريت المعيني والكبريت المنشوري يمكن حسابها باستخدام قيم السعات الحرارية بين  $T=0$  و  $T=369$  كلفن وقد وجدت كالتالي:

$$S_{m(\alpha)} = S_{m(\alpha,0)} = +37 \text{ J K}^{-1} \text{ mol}^{-1} \quad 6-3$$

$$S_{m(\beta)} = S_{m(\beta,0)} = +38 \text{ J K}^{-1} \text{ mol}^{-1} \quad 6-4$$

وهذا يعني بأن الفرق بالانتروبي يساوي:

$$\Delta S_{\text{tran}} = S_{m(\alpha,0)} - S_{m(\beta,0)} = -1 \text{ J K}^{-1} \text{ mol}^{-1} \quad 6-5$$

ومن المعادلات أعلاه نستنتج ما يأتي:

1- الفرق بالانتروبي المحسوب من المعلومات المتوفرة عن التغيير بالانثالبية لا تختلف عن تلك التي تم حسابها باستخدام قيم السعات الحرارية.

2- إن التغيير بالانتروبي نتيجة التحول يساوي تقريراً صفر وكما موضح في المعادلة الآتية:

$$S_m(\alpha, 0) - S_m(\beta, 0) \cong 0 \quad 6-6$$

وهذا ما يطابق ما جاء بالنظرية (نظرية نيرنست الحرارية).

#### ٤- درجات الحرارة الواطئة جداً : Very Low Temperatures

هناك تقنيات مختلفة تم استخدامها للحصول على درجات حرارة واطئة وكانت أول التقنيات نجاحاً هو استخدام الثلاجة المنزلية حيث يتم تحت ظروف معينة تضغط الغازات ثم تُمدد الغازات مما يؤدي إلى التبريد ونتيجة للشغل المنجز لمقاومة التجاذب المتبادل بين الجزيئات. هذا هو تطبيق لتأثير جول وثومسون.

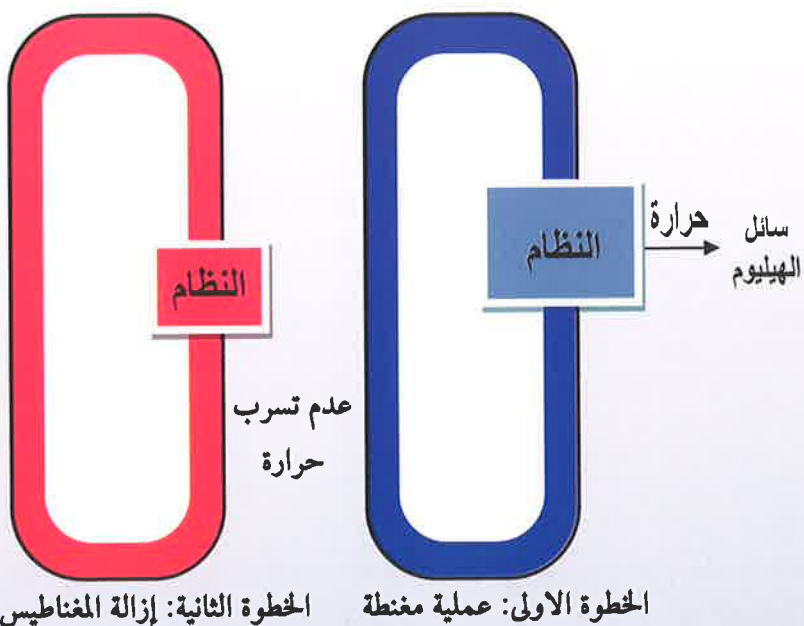
النتروجين السائل الذي يغلي عند درجة 77 كلفن والذي تم إنتاجه تجارياً باستخدام هذا الأسلوب وعند إجراء عمليات تُمدد متعاقبة للغاز أولاً مع النتروجين ثم مع الهيدروجين وأخيراً مع الهيليوم، حيث قام العالم الهولندي الفيزيائي هيكي اونيس (1853-1926) بتسهيل غاز الهيليوم وذلك عام 1808 وبذلك تم الوصول إلى درجة حرارة أقل من واحد كلفن.

في عام 1926 قام العلمن، وكل مفردة، بإجراء تجارب مشابه حيث قام العالم الكيميائي الأمريكي فرانكس كايكيو (1895-1982) والعالم الكيميائي الهولندي بيترديباي (1884-1966) حيث تم إجراء تغير في درجة الحرارة خلال عملية معنطة وإزالة المغнطة Magnetization and Demagnetization. يتم استخدام عناصر الأتربة النادرة حيث لها متأثرية بارا مغناطيسية عالية

.High Paramagnetic Susceptibilities

إن الأيونات الموجبة تتصرف وكأنها مغناطيس صغير حيث أنها تترافق عندما تتعرض للمجال المغناطيسي وبذلك كأنها في أوطاً انتروبي في هذه الحالة، وعندما تقوم بإزالة المجال المغناطيسي فإن الانتروبية تزداد.

الشكل 6-1 يوضح كيفية الحصول على درجة حرارة واطئة باستخدام هذه التقنية حيث يتم وضع ملح متوازي المغناطيسية Paramagnetic مثل كبريتات الكادوليانيوم المائية Gadolinium(3) sulfate octahydrate على [Gd<sub>2</sub>(SO<sub>4</sub>)<sub>8</sub>H<sub>2</sub>O] حيث كل أيون من أيونات الكادوليانيوم يحتوي على الكترونات غير مزدوجة مفصولة عن الأخرى بواسطة كرات من جزيئات ماء التبلور.

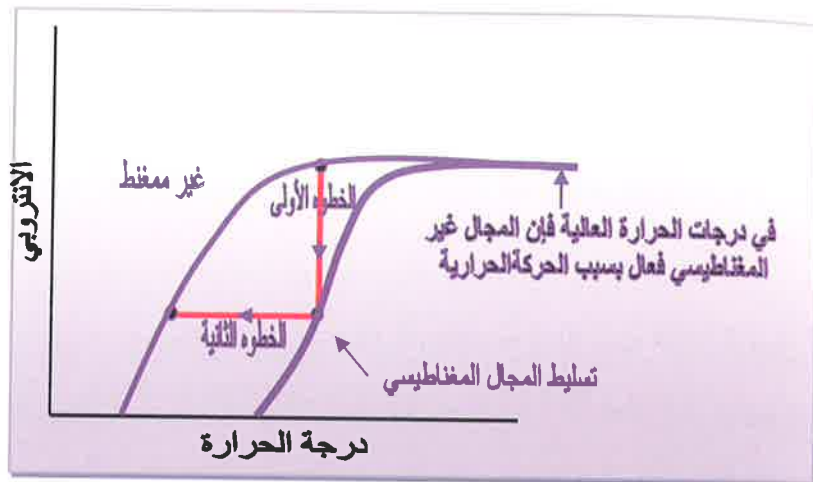


الخطوة الأولى: عملية مغناطة الخطوة الثانية: إزالة المغناطيس

### شكل 6-1 الحصول على درجة حرارة واطئة بعملية المغناطة الadiabatic

تمثل الخطوة الأولى عملية المغناطة والثانية إزالة المغناطيس المنحني الموضح

بالشكل 6-2 يوضح اختزال درجة الحرارة بالخطوتين المذكورتين في أعلاه.



شكل 6-2 تغير الانترóبي باختلاف درجة الحرارة نتيجة لتسليط المجال المغناطيسي

عندما يوضع الملح بين قطبي المغناطيس الكهربائي ويرد إلى درجة حرارة 1 كلفن عندها يسلط المجال المغناطيسي والحرارة الناتجة يُسمح لها بالمرور أو التحول إلى المحيط البارد والذي يمثل سائل الهيليوم وهذا هو ما يحصل بالخطوة الأولى.

في الخطوة الثانية يتم عزل النظام ويتم إزالة المجال المغناطيسي وتمثل هذه العملية استرخاء اديبaticي Adiabatic Relaxation والتي تؤدي إلى تبريد النظام إلى درجة حرارة 0.005 كلفن.

يمكن الوصول إلى درجة حرارة قدرها 0.000001 كلفن وذلك بالاستفادة من خاصية المغناطيس النووي Nuclear Magnetic. المغناطيس النووي أصغر من المغناطيس النووي الموجود في كبريتات الكادوليانيوم المائية بحوالي 2000 مرة.

## 6- القانون الثالث للدينمية الحرارية :

### Third Law of Thermodynamics

القانون الثالث للترموديناميک، كغيره من قوانین الترموديناميک تمت صياغته بعدة صيغ، وكل الصيغ تربط مابین قيمة الانتروبي ودرجة حرارة الصفر المطلق.

إن أول تعريف لقانون الترموديناميک الثالث جاء سنة 1923م من قبل لويس وراندال Lewis and Merle Randall ونصه:

(إذا كانت الانتروبي لكل عنصر في حالة بلورية معينة صفراء بدرجة الصفر المطلق عندئذ تصبح الماد في الحالة البلورية التامة).

تشير الدراسات بأنه لا يمكن الوصول الى درجة حرارة الصفر المطلق، وبصورة عامة يمكن ان يأخذ قانون الترموديناميک الثالث الصيغة الآتية:

(لا يمكن بأية طريقة عمل مهما كانت مثالية أن تخزل درجة أي نظام لدرجة الصفر المطلق بعد محدد من العمليات).

وكما هو الحال في قانوني الترموديناميک الأول والثاني يعد قانون الترموديناميک الثالث ناشئاً من التجربة بدرجة كبيرة، أي يقود للنتائج المستحصلة نفسها من التجارب المباشرة وله أيضاً اسنادات نظرية متعددة. والآن يمكن تعريف قانون الترموديناميک الثالث ببساطة التعبير:

(إن الانتروبي للصلب البلوري التام لأية مادة نقية صفراء عند درجة حرارة الصفر المطلق).

يؤكد القانون الثالث للtermodynamics ان انتروبي اي نظام عند درجة الصفر المطلق يعد ثابتا محددا ومهما، لأن اي نظام من الانظمة يكون عند هذه الدرجة عند ادنى مستوى للطاقة (المستوى الارضي Ground State) ويكون بذلك في حالته البلورية التامة.

### 6- الانتروبيات المطلقة : Absolute Entropies

عندما نأخذ بنظر الاعتبار ما جاء بنظرية نيرنست الحرارية فإن الانتروبي يساوي صفر لكل مادة بلورية عند درجة حرارة الصفر المطلق وعلىه فإنه من الممكن أن نحسب انتروبي المواد عند أي درجة حرارية أخرى أعلى من درجة الصفر المطلق وذلك بالتركيز على العمليات الرجوعية والتي بها يتم رفع درجات الحرارة للدرجة الحرارية التي تزيد حساب الانتروبي بها. الجدول 6-2 يتضمن قيم الانتروبي لبعض المواد عن  $25^{\circ}\text{C}$  وتحت ضغط 1 بار.

جدول 6-2 قيم الانتروبي لبعض المواد عن  $25^{\circ}\text{C}$  وتحت ضغط 1 بار

الانتروبي $S^{\circ}/\text{JK}^{-1}\text{mol}^{-1}$	الحالة	المادة
5.74	صلب (الكريافيت)	الكاربون
130.68	غاز	الميدروجين
205.14	غاز	الأوكسجين
191.61	غاز	النتروجين
213.60	غاز	ثاني أوكسيد الكاربون
69.91	سائل	الماء
192.45	غاز	الامونيا
229.60	غاز	الإيثان

الانتروبي $S' / JK^{-1} mol^{-1}$	الحالة	المادة
219.56	سائل	الميثanol
126.80	سائل	الإيثanol
160.70	سائل	حامض الخليليك
250.30	غاز	الاستلديهايد
104.60	صلب	اليوريا

إذا تمكنا من حساب الانتروبيات المطلقة لكل المواد المشتركة في التفاعل الكيميائي فمن السهولة حساب انتروبي التفاعل وفق المعادلة الآتية:

$$\Delta S = \sum S_{\text{product}} - \sum S_{\text{reactant}} \quad 6-7$$

الجدول 6-3 يبين المقارنة ما بين انتروبي التفاعل لبعض التفاعلات الكيميائية عند 25°C وتحت الضغط الجوي الاعتيادي المحسوب من القانون الثالث للtermodynamics وتلك التي تم الحصول عليها بالتجربة العملية.

جدول 6-3 قيم انتروبي التفاعل لبعض التفاعلات الكيميائية عند 25°C

### وتحت الضغط الجوي

$\Delta S$ المحسوبة من التجربة $JK^{-1} mol^{-1}$	$\Delta S$ المحسوبة من القانون الثالث $JK^{-1} mol^{-1}$	التفاعل
-57.4	-57.9	$Ag_{(s)} + \frac{1}{2} Cl_{2(g)} \rightarrow AgCl_{(s)}$
101.4	-100.7	$Zn_{(s)} + \frac{1}{2} O_{2(g)} \rightarrow ZnO_{(s)}$
89.45	84.8	$C_{(s)} + \frac{1}{2} O_{2(g)} \rightarrow CO_{(g)}$
159.1	160.7	$CaCO_3_{(s)} \rightarrow CaO_{(g)} + CO_{2(g)}$

## 6-7 انترóبي تحول الحالة (تغíير الطور) عند درجة حرارة التحول

### The Entropy of Phase transition at the transition temperature

يحصل تغير في الانترóبي عندما تتحول المادة من حالة إلى أخرى (من طور إلى آخر) وذلك لأن تغير المادة من حالة إلى أخرى يتبعه تغير في ترتيب جزيئات المادة. مثلاً عند تحول المادة من حالة الانجماد (الطور الصلب) إلى حالة الغليان (الطور السائل) يتغير ترتيب الجزيئات في المادة وبالتالي يتغير الانترóبي وكذلك عند تبخر المادة وتحوّلها من الطور السائل إلى الطور الغازي فإن الجزيئات تبتعد فيما بينها وتزداد انترóبيتها بصورة كبيرة.

إذا افترضنا وجود نظام معين في حالة اتزان مع محیطة عند درجة تحول اعتيادية  $T_{trs}$  (Normal transition temperature) حيث يوجد طوران للمادة في حالة اتزان تحت ضغط 1 جو وهذه الدرجة تساوي صفر درجة مئوية (حيث يمكن أن يوجد الثلج وسائل المادة في حالة اتزان عند هذه الدرجة تحت ضغط 1 جو) أو قد تكون هذه الدرجة  $T_{trs}$  تساوي 100 درجة مئوية (حيث يمكن أن يوجد سائل الماء مع بخاره في حالة اتزان عند هذه الدرجة).

إن أي عملية انتقال للحرارة بين النظام ومحیطة عند درجة حرارة الانتقال هي عملية رجوعية بين طورين، ولأن التحول يحصل تحت ضغط ثابت فإن  $\Delta H_{trs} = Q$  وبذلك فإن التغيير المولاري بالانترóبي للنظام يساوي:

$$\Delta S_{trs} = \frac{\Delta H_{trs}}{T_{trs}} \quad 6-8$$

عندما تكون حالة التحول باعثة للحرارة  $\Delta H_{trs} < 0$  Exothermic

كما في حالة الانجماد أو التكتيف يكون التغيير بالانترóبي سالباً حسب المعادلة 6-7 وهذا يعني بأن النظام يتحول إلى الحالة التي تكون فيها الجزيئات أكثر ترتيباً

وأكثراً انتظاماً. أما إذا كان حالة التحول ماصاً للحرارة Endothermic حيث تكون  $\Delta H_{trs} > 0$  كما في حالة الانصهار أو في حالة التبخر والنتيجة النهائية حسب المعادلة 6-8 سيكون التغير بالانترóبي موجباً وهذا ما يعكس تحول النظام إلى الحالة غير النظامية حيث من المؤكد بأن ترتيب النظام هو في الحالة السائلة هو أفضل منه في الحالة الغازية وترتيب النظام في الحالة الصلبة أكثر منه في الحالة السائلة.

الجدول 6-4 يبين الانترóبي القياسي لحالة الانتقال ودرجة التحول لبعض المواد والجدول 6-5 انترóبي التبخر لبعض السوائل.

**جدول 6-4 الانترóبي القياسي لحالة الانتقال ودرجات**

**حرارة التحول لبعض المركبات  $\Delta S_{trs}/JK^{-1} mol^{-1}$**

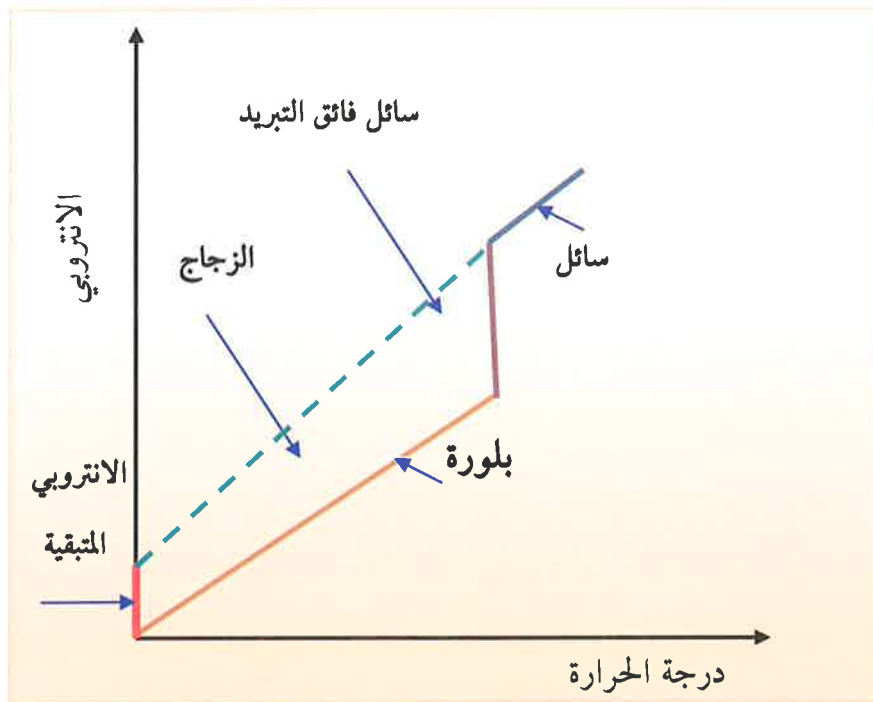
التبخر عند ( $T_b$ )	الانصهار عن ( $T_f$ )	المادة
74.53(87.3K)	14.17 (83.8K)	Ar
88.61(332.4K)	39.66 (265.9K)	Br <sub>2</sub>
87.19(353.2K)	38.00(278.6K)	C <sub>6</sub> H <sub>6</sub>
61.9(391.4K)	40.4(289.8K)	CH <sub>3</sub> COOH
104.6(337.2K)	18.03(175.2K)	CH <sub>3</sub> OH
85.38(239.0K)	37.22(175.2K)	Cl <sub>2</sub>
44.96(20.38K)	8.38(14.0K)	H <sub>2</sub>
109.5(373.2K)	22.00(273.2K)	H <sub>2</sub> O
87.75(212.0K)	12.67(187.6K)	H <sub>2</sub> S
75.22(77.4K)	11.39(63.2K)	N <sub>2</sub>
97.41(239.7K)	28.93(195.4K)	NH <sub>3</sub>
75.63(90.2K)	8.17(54.4K)	O <sub>2</sub>

## جدول 6-5 الانترóبي القياسي لتبخر بعض السوائل عند درجة الغليان الاعتيادية

$\Delta S_{vap}^{\theta} / JK^{-1} mol^{-1}$	$T_b / ^\circ C$	$\Delta H_{vap}^{\theta} / KJ mol^{-1}$	المادة
87.2	80.10	30.80	C <sub>6</sub> H <sub>6</sub>
83.7	46.25	26.74	CS <sub>2</sub>
85.8	76.70	30.00	CCl <sub>4</sub>
85.1	80.70	30.10	C <sub>6</sub> H <sub>14</sub>
86.7	174.00	38.60	C <sub>10</sub> H <sub>22</sub>
110.0	78.30	38.60	C <sub>2</sub> H <sub>5</sub> OH
87.9	-66.40	18.70	H <sub>2</sub> S
94.2	356.60	59.30	Hg
73.2	-161.50	8.18	CH <sub>4</sub>
104.1	65.00	35.21	CH <sub>3</sub> OH
109.1	100.00	40.70	H <sub>2</sub> O

## 6-8 الانترóبي المتبقية : Residual Entropy

هناك حالات لا تساوي فيها الانترóبي المطلقة صفرًا  $S^{\theta} \neq 0$  حتى عندما عند درجات الصفر المطلق، وهذا خلاف لقانون الترموديناميك الثالث. تعرف هذه الانترóبي بالانترóبي المتبقية .Residual Entropy



شكل 6-3 الانتروبي المتبقية

توجد مثل هذه الظاهرة في حالتين:

- 1- هنالك بعض المركبات تبقى فيها كمية من الانتروبي حتى في حالتها البلورية التامة. تعود هذه الانتروبي إلى التعديدية للترتيبات الجزيئية المختملة في الحالة البلورية multiplicity of possible molecular orientations وتسمي بحالة الانحلال في المستوى الطافي الأدنى Degeneracy of the ground state (المستوى الأرضي)

2- نظرية نيرنست الحرارية تطبق على الانظمة في حالة الاتزان Equilibrium، والزجاج لا يوجد في حالة اتزان وله زمن استرخاء relaxation time كبير جداً، ولذلك له كمية من الانتروبي حتى عند الصفر المطلق (لاحظ الشكل 6-3).

الشكل 6-3 يبين بأنه عند الحالة البلورية التامة وعند الصفر المطلق تكون قيمة الانتروبي المطلق صفراء، وهذه القيمة تزداد عند زيادة درجة الحرارة حتى في حالة بقاء المادة في الحالة البلورية. ويتبين من الشكل كذلك بأن قيمة الانتروبي للسائل فائق التبريد أقل منه في حالة السائل.

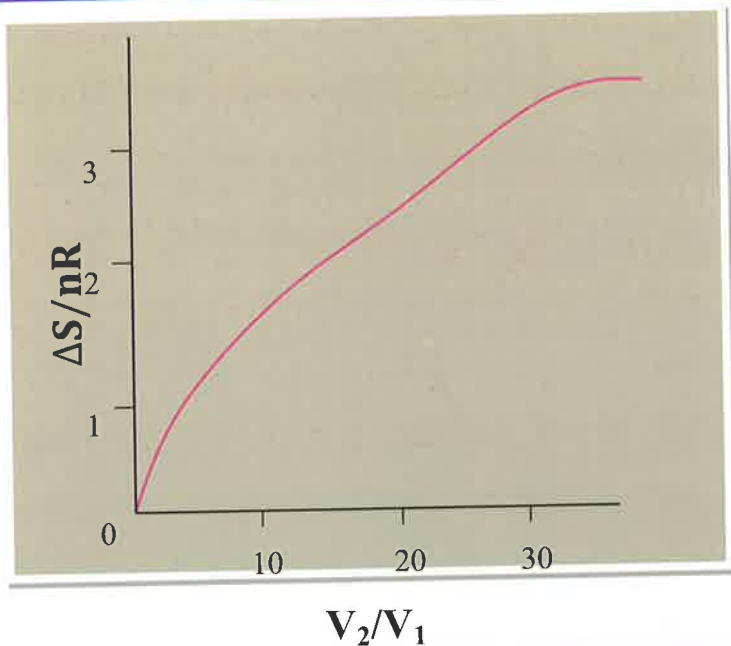
### 6-9 انتروبي تمدد الغاز المثالي

#### The entropy of a Perfect gas expansion

لقد ذكرنا سابقاً بأن التغير بالانتروبي للغاز المثالي عند تمدده بتماثل حراري (تمدد ايزوثيرمي Isothermal Expansion) يمكن حسابه وفق المعادلة الآتية:

$$\Delta S = nR \ln \frac{V_2}{V_1} \quad 6-9$$

حيث أن  $V_2$  هو الحجم النهائي و  $V_1$  هو الحجم الابتدائي للغاز. من المعلوم أن الانتروبي هي دالة حالة لأن  $\Delta S$  لا تعتمد على المسار بين الحالة الابتدائية والحالة النهاية لذلك فإن المعادلة 6-9 تطبق على كل الحالات سواء أكانت رجوعية أم غير رجوعية. أن اعتماد لوغاريتم الانتروبي على الحجم موضحة بالشكل 6-4.



شكل 6-4 زيادة لوغاريتم الانتروري للغاز المثالى عند تمدد الغاز بتماثل حراري

ولكن التغير الكلى بالانتروري يعتمد على الطريقة التي يحصل بها تمدد الغاز. إذا تمدد الغاز رجوعياً فإن التغير بالانتروري في المحيط يجب أن يكون بقيمة بحيث تعطى التغير النهائي بالانتروري يساوي صفر ( $\Delta S_{tot} = 0$ )، ولذلك فإن التغير بالانتروري للمحيط ( $\Delta S_{sur}$ ) يجب أن يكون سالباً في المعادلة 6-9. أما إذا حصل التمدد بتماثل حراري غير رجوعي Irreversible Isothermal expansion حيث أن  $Q=0$  و  $W=0$  وعليه فإن ( $\Delta U=0$ ) ونتيجة لذلك أن التغير في الانتروري الكلية ( $\Delta S_{tot} = 0$ ) والتغير في انتروري المحيط ( $\Delta S_{sur}$ ) في المعادلة 6-9 ستكون موجبة.

## ٦-١٠ تغير الانتروبي مع درجة الحرارة

## The Variation of entropy with temperature

تستخدم المعادلة الآتية لحساب الانتروبي عند درجة الحرارة النهائية  $T_2$  معلومات الانتروبي عند درجة الحرارة الابتدائية  $T_1$  وكمية الحرارة المبذولة لتغيير درجة الحرارة من قيمة إلى قيمة أخرى:

$$\Delta S = \int_{T_1}^{T_2} \frac{dQ_{rev}}{T} \quad 6-10$$

المعادلة 6-10 يمكن إعادة كتابتها بالصيغة الآتية:

$$S_{T_2} = S_{T_1} + \int_{T_1}^{T_2} \frac{dQ_{rev}}{T} \quad 6-11$$

بما أن اغلب التفاعلات الكيميائية يتم إجراؤها تحت ضغط ثابت ومن تعريف السعة الحرارية تحت ضغط ثابت:

$$dQ_{rev} = C_p dT \quad 6-12$$

وطالما أن النظام لا ينجز شغلا بالتمدد، لذلك فإنه تحت ضغط ثابت تكون المعادلة كما يأتي:

$$S_{(T_2)} = S_{(T_1)} + \int_{T_1}^{T_2} \frac{C_p dT}{T} \quad 6-13$$

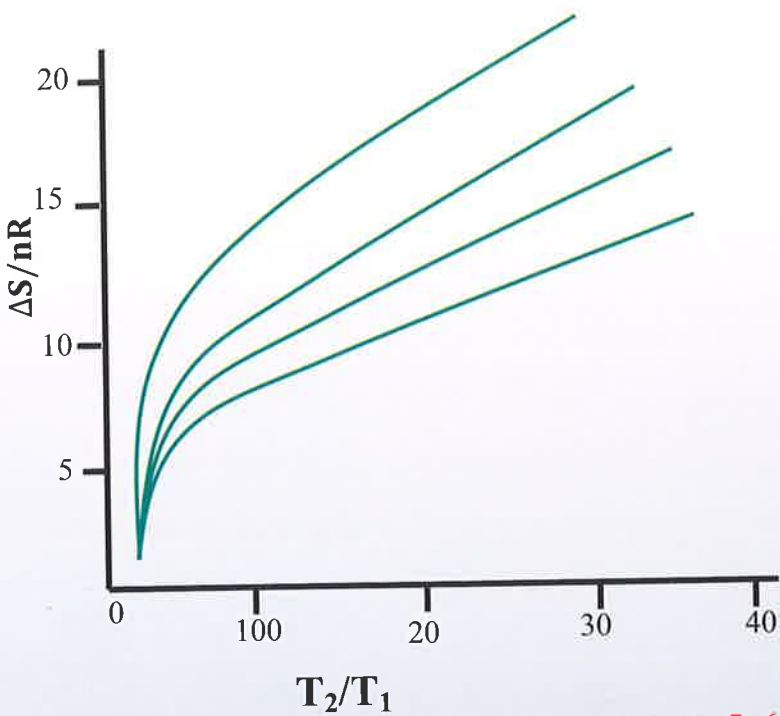
و عندما يحصل التفاعل بثبوت الحجم يمكن أن نستخدم نفس المعادلة مع استخدام  $C_v$  بدلاً من  $C_p$  عندما لا تعتمد  $C_p$  على درجة الحرارة بالمعنى الحراري المستخدم في التفاعل تكون المعادلة على الشكل الآتي:

$$S_{(T_2)} = S_{(T_1)} + C_p \int_1^2 \frac{dT}{T} \quad 6 - 14$$

$$= S_{(T_2)} + C_p \frac{T_2}{T_1} \quad 6 - 15$$

وبالطريقة نفسها يمكن استخدامها على التفاعلات التي تحصل عند حجم ثابت مع استخدام  $C_v$  بدلاً من  $C_p$ .

إن اعتماد لوغاريم الانتروري على درجة الحرارة موضحة بالشكل 5-6.



شكل 5-6 زيادة لوغاريم الانتروري للمادة عند تسخينها تحت حجم ثابت.

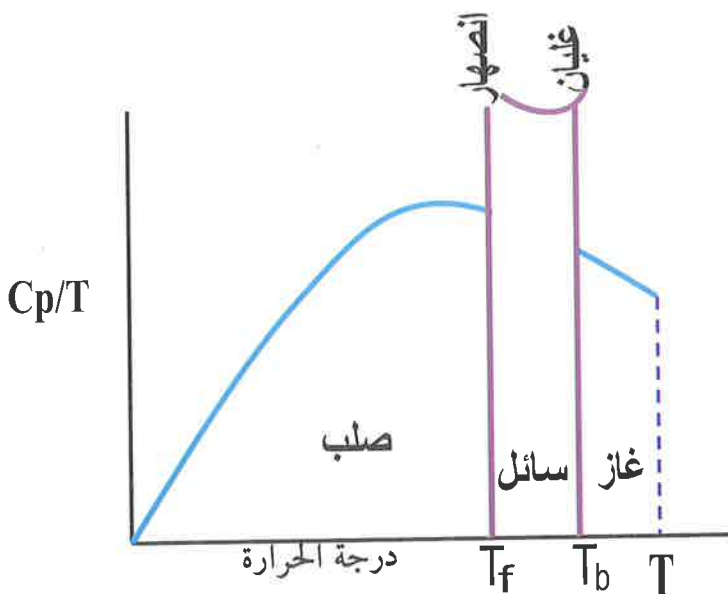
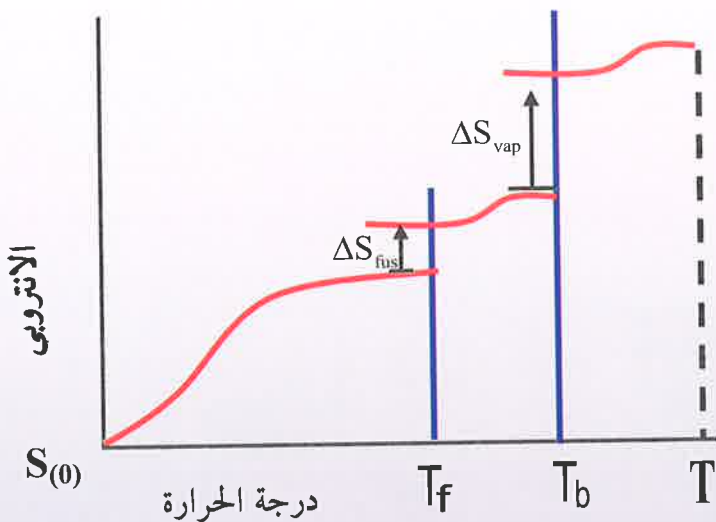
## 11-6 قياس الانتروري The Measurement of Entropy

هناك علاقة ما بين انتروري النظام عند درجة حرارة  $T$  وانتروري النظام عندما يكون  $T$  تساوي صفر كلفن وذلك بقياس السعة الحرارية ( $C_p$ ) في

درجات حرارية مختلفة و إيجاد قيمة التكامل للمعادلة 6-14 مع وجوب إضافة انتروبي تحول الحالة ( $\Delta H_{trs}/T_{trs}$ ) لكل تحول بالطور بين درجة الحرارة  $T=0$  والدرجة الحرارية التي نرغب بقياس الانتروبي عنها فمثلاً إذا كانت لدينا مادة تنصهر عند  $T_f$  وتغلي عند  $T_b$  فإن الانتروبي لها عند درجة حرارية أعلى من درجة غليانها يمكن إيجادها حسب المعادلة الآتية:

$$S_T = S_0 + \int_0^{T_f} \frac{C_p(s)dT}{T} + \frac{\Delta H_{fus}}{T_f} + \int_{T_f}^{T_b} \frac{C_p(l)dT}{T} + \frac{\Delta H_{vap}}{T_b} \int_{T_b}^T \frac{C_p(g)dT}{T} \quad 6-16$$

جميع حدود المعادلة 6-16 يمكن حسابها مسعيارياً عدا الحد  $S_{(0)}$  وكذلك يمكن حساب قيمة التكاملات أما من الرسم أو بحسابها من أعداد متعدد المحدود Polynomials للمعلومات المتوفرة لدينا ثم القيام بتكميل تحليل متعدد الحدود كما موضحة بالشكلين 6-6 و 6-7 على التوالي. إن المساحة تحت المنحنى الموجودة في رسم  $C_p/T$  مقابل  $T$  هو قيمة التكامل المطلوب هنالك عملية بديلة لحساب المساحة تحت المنحنى وذلك برسم  $C_p$  مقابل  $\ln T$ .

شكل 6-6 تغير  $C_p/T$  مع درجة الحرارة

شكل 6-7 الانزوي يساوي المساحة تحت المنحنى مضاعفاً إليها انزوي حالة الانتقال

## 6-12 القانون الرابع للtermوديناميك

ظهرت أول فكرة للقانون الرابع للtermوديناميك عام 1937 وقد طرح الفكرة العالم الألماني ويلهير نيرنست Waither Nernst حيث ذكر ذلك عالم الكيمياء الفيزيائية الانكليزي كيثيدار Keithesaider في جامعة أكسفورد. وبقيت فكرة القانون الرابع تتراجع مابين القبول والنقد والرفض، وقد أوضح العالم الفيزيائي الأمريكي بيتر لاندزبيرك Peter Landsberg عام 1990 فكرة طريفة وهي (إذا كان هنالك ثلاثة أشخاص وراء تطور وصياغة القانون الأول للtermوديناميك وهم هلمهولتز وماير وجول Mayer و Helmholz و Joule وهنالك شخصين وراء صياغة وتطوير القانون الثاني للtermوديناميك وهم كالازيوس وكارنوت Carnot و Clausius في حين كان هنالك شخص واحد صاغ القانون الثالث وهو العالم نيرنست Nernst ولذلك لا يوجد شخص يتمكن من صياغة القانون الرابع للtermوديناميك) تبدو فكرة هذه الأرقام طريفة ولكنها لا تطبق إطلاقاً على قانون الصفر للtermوديناميك.

هنالك عدة صيغ للقانون الرابع للtermوديناميك، والصيغة الأكثر تداولاً هي صيغة جورجنسون S. E. Joergenson وتنص على:

(إذا تعرض النظام إلى دفق من الإكسيرجي Exergy فان النظام سيتجه للابتعاد عن الاتزان termodynamيكي).

إذا كان هنالك أكثر من مسار يمكن أن يسلكه النظام للابتعاد عن الاتزان termodynamيكي فان النظام سيسلك المسار الأطول أي بمعنى آخر المسار الذي يقلل من استهلاك الإكسيرجي أو المسار الأكثر ترتيباً.

تعرف الإكسيرجي للنظام termodynamيكي Exergy of Thermodynamic

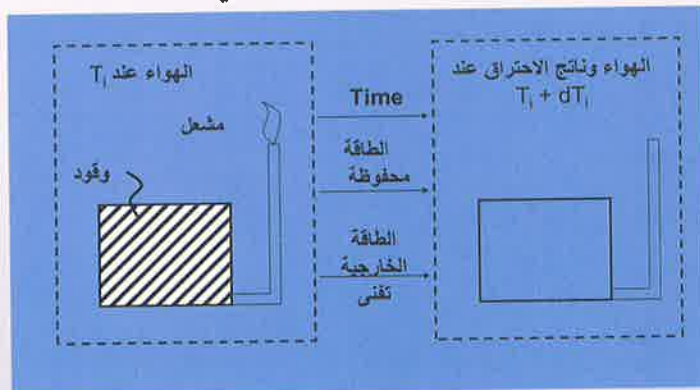
System بانها أقصى شغل نظري مفيد يمكن الحصول عليه عندما يتوجه النظام إلى الاتزان термодинамический التام مع المحيط термодинامический عندما يكون اتصال النظام مع هذا المحيط فقط.

يمكن حساب هذه الطاقة وفق المعادلة الآتية:

$$E_{\text{sys}}^{\text{TH}} = (U - U_0) + p_0(V - V_0) - T_0(S - S_0) \quad 6-17$$

يمكن كذلك أن تمثل الإكسيرجي أكبر شغل مفيد ينجز من قبل النظام خلال عملية اتجاه النظام غير المتزن إلى حالة الاتزان термодинامический مع مستودع الحرارة، عندما يكون المحيط هو المستودع فان الإكسيرجي تمثل الطاقة الكامنة للنظام التي تسبب هذا التغيير للوصول إلى الاتزان терموديناميكي مع المحيط، عند وصول النظام والمحيط (المستودع الحراري) إلى حالة الاتزان فان الإكسيرجي تساوي صفر. الشكل 6-8 يوضح العلاقة ما بين الطاقة والإكسيرجي.

### الطاقة والإكسيرجي



الإكسيرجي

شكل 6-8 العلاقة ما بين الطاقة والإكسيرجي

تحتَّلُّ الإكسيرجي عن طاقة النّظام حيث أن الإكسيرجي يمكن أن تفني لأنها تعبَّرُ عن كمية الشغل القصوى التي يمكن أن تؤخذ من النّظام الفيزيائى أثناء تبادل المادّة والطاقة مع مستودع كبير يكون كمرجع. هذا الشغل الكامن قد يكون بسبب القوّة أو درجة الحرارة أو درجة عدم الانتظام. هنالك كمية محددة من الطاقة في الكون وهذه الكمية لا تفني ولا تستحدث وفق القانون الأول للثرموديناميك فان كمية الإكسيرجي تنقص بصورة ثابتة خلال أي عملية فيزيائية تحدث في الكون.

الإكسيرجي مفيدة لقياس كفاءة عمليات تحول الطاقة. إن كفاءة الإكسيرجي تساوي النسبة ما بين الطاقة الناتجة والطاقة الداخلة.

تستخدم بعض المصادر الأمريكية الكلمة الوفرة أو التوفّر Availability للتعبير عن الإكسيرجي exergy ويمكن توضيحها بصورة مبسطة كما يأتي:  
إذا كانت لدينا طاقة كهربائية مخزونة في بطارية فإن قابلية تحولها إلى شغل تساوي حوالي 100%. أما إذا كانت نفس الكمية من الطاقة مخزونة على شكل حرارة (Q) فإن قابلية تحولها إلى شغل لا تتجاوز 10% وهذه القيمة هي الإكسيرجي أو الوفرة لكل منهما.

## امثلة الفصل السادس

**مثال 6-1:** اذا علمت بان السعة الحرارية ثابت الحجم لمول واحد من الالمنيوم عند درجة حرارة اقل من 50 كلفن تساوي :

$$a = 2.48 \times 10^{-5} \text{ J}$$

احسب قيمة  $S(T)$  وقيم الانتروبي عند درجة حرارة 10 كلفن و 1 كلفن وقارن بين النتيجتين.

$$S_{(T)} = \int_0^T \frac{C_v(T') dT'}{T'} = \int_0^T \frac{(aT' + bT'^3) dT'}{T'} = aT + \frac{b}{3} T^3$$

$$S_{(10K)} = 1.35 \times 10^{-3} \times 1 + \frac{1}{3} \times 2.48 \times 10^{-5} = 1.36 \times 10^{-3} \text{ J/K}$$

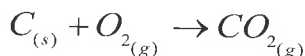
عند الدرجات الحرارية المنخفضة تعود الانتروبي الى حركة بعض الالكترونات.

$$S_{(10K)} = 1.35 \cdot 10^{-3} \text{ J/K}^2 \times 10K + \frac{1}{3} 2.48 \cdot 10^{-5} \text{ J/K}^4 \times 10^3 K^3 = 2.18 \cdot 10^{-2} \text{ J/K}$$

اغلب كمية الانتروبي عند هذه الدرجة تعود الى الاهتزازات الموجودة في الشبكة البلورية.

$$\frac{S_{(1K)}}{k_B} = \frac{1.35 \cdot 10^{-3}}{1.38 \cdot 10^{-23}} \approx 10^{20} \quad \frac{S_{(10K)}}{k_B} = \frac{2.18 \cdot 10^{-2}}{1.38 \cdot 10^{-23}} \approx 1.6 \cdot 10^{21}$$

**مثال 6-2:** احسب الانتروبي القياسي لتكوين غاز ثاني اوكسيد الكاربون اذا علمت ان الانتربيات القياسية لغاز ثاني اوكسيد الكاربون وصلب الكاربون والوكجين تساوي 213.60 و 5.74 و 205.0 جول كلفن<sup>-1</sup> مول<sup>-1</sup> على التوالي.

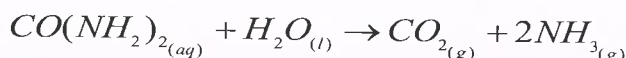


$$S_f^\circ = S_{product}^\circ - \sum S_{reactant}^\circ$$

$$S_f^\circ = S_{CO_{2(g)}}^\circ - \left[ S_{C_{(s)}}^\circ + S_{O_{2(g)}}^\circ \right]$$

$$\begin{aligned} S_f^\circ &= 213.60 - [5.74 + 205.0] \\ &= 2.86 \text{JK}^{-1} \end{aligned}$$

**مثال 6-3:** تتحلل اليوريا بوجود الماء حسب المعادلة الآتية:



ما هو التغير بالانتروبي القياسي لهذا التفاعل عندما يتفاعل مول واحد من اليوريا مع الماء. الانتربيات القياسية للمواد المتفاعلة والناتجة كما يأتي:

<u>S°/JK⁻¹mol⁻¹</u>	<u>المادة</u>
173.68	CO(NH <sub>2</sub> ) <sub>2(aq)</sub>
69.90	H <sub>2</sub> O <sub>(l)</sub>
213.43	CO <sub>2(g)</sub>
192.32	NH <sub>3(g)</sub>

$$\Delta S^\circ = \sum S_{product}^\circ - \sum S_{reactant}^\circ$$

$$\Delta S^\circ = \left( S_{CO_2}^\circ + 2S_{NH_3}^\circ \right) - \left( S_{CO(NH_2)_2}^\circ + S_{H_2O}^\circ \right)$$

$$= [(213.43 + 2(192.32)] - [173.68 + 69.90]$$

$$= 354.51 \text{ J K}^{-1} \text{ mol}^{-1}$$

مثال 6-4: السعة الحرارية لغاز الهيدروجين بوحدات جول كلفن<sup>-1</sup> مول<sup>-1</sup> كما في المعادلة الآتية:

$$C_p = 27.2 + 0.0038 T$$

احسب مقدار التغير بالانتروبي عندما يتم تسخين مول واحد من الهيدروجين من 200 كلفن الى 500 كلفن.

$$\begin{aligned}\Delta S &= \int_{T_1}^{T_2} C_p d \ln T = \int_{T_1}^{T_2} C_p \frac{dT}{T} \\ &= (27.2 + 0.0038 T) \frac{dT}{T}\end{aligned}$$

$$\begin{aligned}\Delta S &= \int_{T_1}^{T_2} \frac{27.2}{T} dT + \int_{T_1}^{T_2} 0.0038 dT \\ &= 27.2 \times 2.30310 \ln \frac{500}{200} + 0.0038 (500 - 200) \\ &= 26.07 \text{ J K}^{-1} \text{ mol}^{-1}\end{aligned}$$

مثال 6-5: جد مقدار التغير بالانتروبي للعمليتين الآتتين.

- أ- تحول الثلج في درجة حرارة الصفر المئوي إلى ماء عند نفس الدرجة:
- ب- تحول ماء بدرجة 100°C إلى بخار عند نفس الدرجة. علماً أن الحرارة اللازمة لانصهار الثلج وتبخر الماء تساوي 334 و 2424 كيلوجول كغم⁻¹.

$$\Delta S = \frac{Q}{T} \quad \text{أ}$$

$$\Delta S = \frac{334}{273.15} = 1.22 \text{ kJ K}^{-1}\text{g}^{-1}$$

$$\Delta S = 1.22 \times 18 = 21.96 \text{ kJ K}^{-1}\text{mol}^{-1}$$

$$\Delta S = \frac{2424}{373.15} = 6.5 \text{ kJ K}^{-1}\text{g}^{-1} \quad \text{بـ}$$

$$= 605 \times 18 = 117 \text{ J K}^{-1}\text{mol}^{-1}$$

**الفصل السابع**

**CHAPTER SEVEN**

**الخواص العامة للسوائل**

**General Properties of Liquids**

## الفصل السابع

### الخواص العامة للسوائل

### General Properties of Liquids

Introduction	1-7 مقدمة
States of Matter	7-2 حالات المادة
Theory of Liquids	7-3 نظرية السوائل
Macroscopic Comparison of Gases Liquids and Solids	7-4 المقارنة العينانية بين الغازات والسوائل والمواد الصلبة
Changes of States and Changes in Enthalpies	7-5 تغيرات الحالة والتغيير بالإenthalبية
General Properties of Liquids	7-6 الخواص العامة للسوائل
Surface Tension	7-6-1 الشد السطحي
Viscosity	7-6-2 اللزوجة
Intermolecular Forces	7-7 قوى التجاذب بين الجزيئات
Liquid Crystals	7-8 البلورات السائلة
Examples	أمثلة

## الفصل السابع

### الخواص العامة للسوائل

### General Properties of Liquids

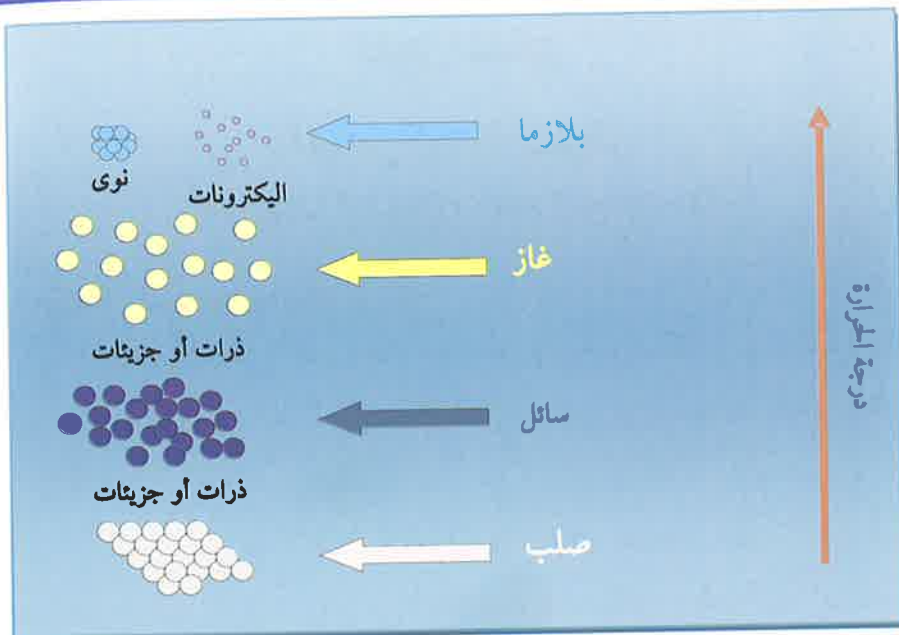
#### 1-7 مقدمة : Introduction

الحالة السائلة هي أحدى حالات المادة الأربع، الصلبة والسائلة والغازية والبلازما (البلازما هي الحالة الرابعة للمادة وتحتلت عن الحالات الأخرى كون أن الإلكترونات فيها تكون منفصلة تماماً عن النوى، وبذلك فإنها مزدوجة الشحنات الموجبة والشحنات السالبة وتكون نسبتها عند سطح الأرض قليلة جداً ولكن معظم الكون يتكون من البلازما وتستخدم في مجالات الصناعات الإلكترونية وفي مصايد النيون).

الحالة السائلة هي الحالة الوحيدة التي تربط ما بين قابليتها على الانسياق وقوه الترابط والتي منشؤها قوى التجاذب بين جزيئات السائل. إن هذا الترابط بين هاتين الخاصتين أدى إلى استخدامات واسعة للسوائل في مجالات الحياة المختلفة. إن أبسط تعريف للمادة السائلة هو أنها المواد التي تأخذ شكل الإناء الذي توضع فيه ولكن ليس بالضرورة أن تملأه (كما هو الحال في الحالة الغازية).

#### - 2 حالات المادة : States of Matter

الشكل 1-7 يوضح تأثير درجة الحرارة على تحول المادة من حالة إلى أخرى، فعند الدرجات الحرارية العالية جداً نرى انفصال الإلكترونات عن النوى لتكوين حالة البلازما وعند الدرجات الحرارية الواطئة نرى تكون المادة الصلبة، حيث تكون الدوائر فيها مرتبة بموقع ثابتة.



شكل 1-7 تغير حالة المادة مع درجة الحرارة

وتكون قريبة جداً من بعضها البعض. في الحالة الغازية تكون الذرات أو الجزيئات المكونة لها غير مرتبة ولها الحرية الكاملة بالتحريك ضمن الفراغات الكبيرة الموجودة بينها.

مكونات الحالة السائلة تكون أكثر ترتيباً من الدقائق المكونة للحالة الغازية ولكنها أقل ترتيباً من دقائق الحالة الصلبة. ترتيب الدقائق في الحالة السائلة غير منتظم وتكون فيه الدقائق أو مجموعة الدقائق حررة الحركة نسبياً بالنسبة لبعضها البعض.

### 7-3 نظرية السوائل : Theory of Liquids

لا يمكن القول أن هناك نظرية محددة للسوائل يمكن أن تكون شاملة ودقيقة وإن نظرية السوائل تعطي قناعات قليلة جداً بالمقارنة بنظرية الغازات أو البليورات.

إن تعبير نظرية السوائل قلماً يستخدم في الكتب العلمية وعليه يمكن الاستنتاج أن هناك نظريات عديدة للسوائل وإن معظم خصائص السوائل تمت دراستها وتعريفها من الفرضيات الخاصة بالقوى الذرية الداخلية وان الطاقات التي تحسب في السوائل غالباً ما تكون نتيجة للتغيرات المتبادلة بين الأزواج الذريي أو الجزيئي Pair Interactions وبمعنى آخر أنه في حالة وجود ثلاث ذرات أو أكثر في حالة تقارب من بعضها في سائل كثيف فإن طاقة النظام تتحسب على أساس مجموع الطاقات الناتجة عن أخذ الذرات على شكل أزواج وبهذا تهمل القوى الناتجة ما بين الأجسام الثلاثة أو أكثر.

إن تعبير النظرية الثانية للسوائل يعني المحاولة للوصول إلى تعبير رياضي وفيزيائي لجميع خواص السوائل (مثل الاتزان والانتقال والخصائص المجهريه والخصائص الظاهرية)، وهذا التعبير مبني على أساس التقريرات الثانية أو المزدوجة، لكن عند تطبيقها وجد بأن هناك صعوبات كثيرة وأساسية في حالة استخدام هذا التقرير للحصول على قيم عددية دقيقة لمعظم هذه الخصائص، ويمكن الاستنتاج إن هذه النظرية لم تؤد المطلوب منها على أكمل وجه خاصة عند تطبيقها للتنبؤ بالنتائج التجريبية لإيجاد معاملات الإنتشار والزوجة لدى

يجب إستخدام تعبيرات تقريبية أخرى مبنية على نماذج أخرى فضلاً عن استخدام النظرية الثانية.

إن هذه النماذج يمكن استخدامها لفرضين هما:

- 1- للحصول على تعبيرات رياضية لكميات فيزيائية.
- 2- للحصول على فرضيات عددية للعمليات التي تظهرها هذه التعبيرات.

هناك ثلاثة مجاميع من النظريات المهمة تخص السوائل وهي:

1- نظريات الشبكة Lattice Theories: وهي نظريات تعد خواص السائل قريبة جداً من الحالة الصلبة.

2- نظريات الميكانيك الإحصائي Statistical Mechanics Theories وهي نظريات تعتمد كلياً على مبادئ الميكانيك الإحصائي.

3- نظريات المحاكاة بالحاسوب Computer Simulation Theories:

وهي نظريات تعتمد على المحاكاة بالحاسوب لحركة أعداد كبيرة من جزيئات السائل.

#### 7- المقارنة عيانية بين الغازات والسوائل والمواد الصلبة

#### Macroscopic Comparison of Gases Liquids and Solids

يبين الجدول 7-1 مقارنة عيانية بين الحالات الغازية والسائلة

والصلبة حيث يلاحظ الفرق الكبير ما بين خواص السوائل مع خواص المواد

الغازية والصلبة في الشكل والحجم وكذلك قابليتها على الإنضغاط وقابليتها على السريان.

### جدول 7-1 المقارنة العيانية بين الحالات الغازية والسائلة والصلبة

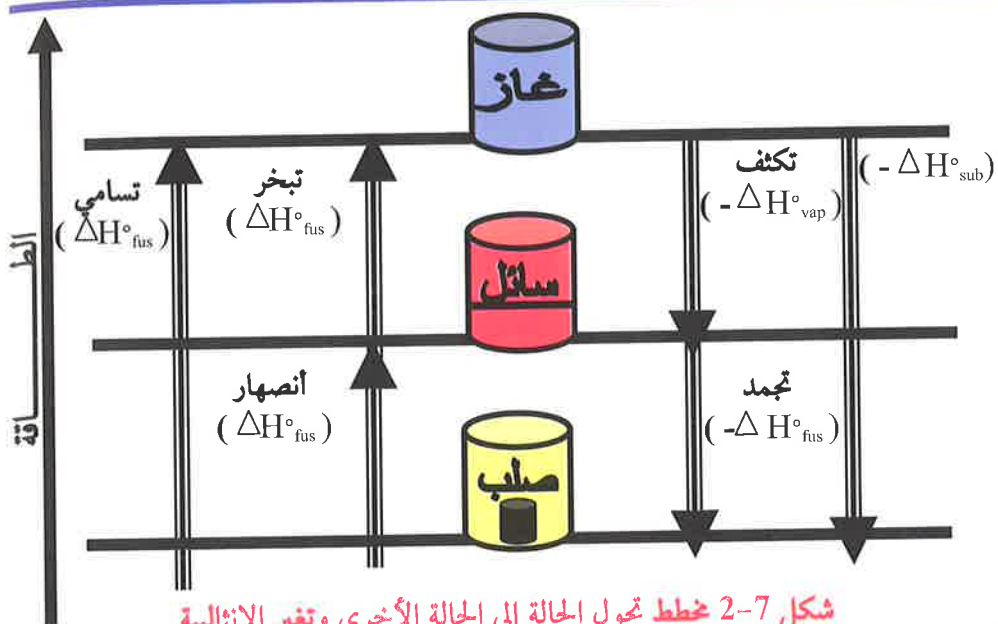
القابلية على السريان	القابلية على الإنضغاط	الشكل والحجم	الحالة
عالية جداً	عالية جداً	تأخذ شكل وحجم الإناء الذي توضع فيه	الغازية
معتدلة	قليلة جداً	تأخذ شكل الإناء الذي توضع فيه و لها حجم ثابت	السائلة
معدومة	معدومة	لها شكل ثابت وحجم ثابت	الصلبة

### 7-5 تغيرات الحالة والتغير بالإنتالبيا:

#### Changes of States and Changes in Enthalpies

يوضع المخطط المبين بالشكل 7-2 العلاقة ما بين تحول الحالة السائلة إلى الحالة الغازية أو إلى الحالة الصلبة وكذلك التحول ما بين الحالتين الصلبة والغازية والتغير بالإنتالبيا الذي يرافق هذا التحول.

تحول السوائل إلى غاز بعملية التبخر Vaporization كذلك يمكن أن تتحول إلى الحالة الصلبة بعد أن تنخفض درجة حرارتها إلى حد معين وتسمى بعملية التجمد Freezing ويصاحب العمليتين تغير بالإنتالبيا ويلاحظ أن قيمة  $\Delta H$  تكون موجبة عند تحول المادة السائلة إلى الحالة الغازية في حين أن قيمتها سالبة عند ما تتحول الحالة السائلة إلى مادة صلبة.

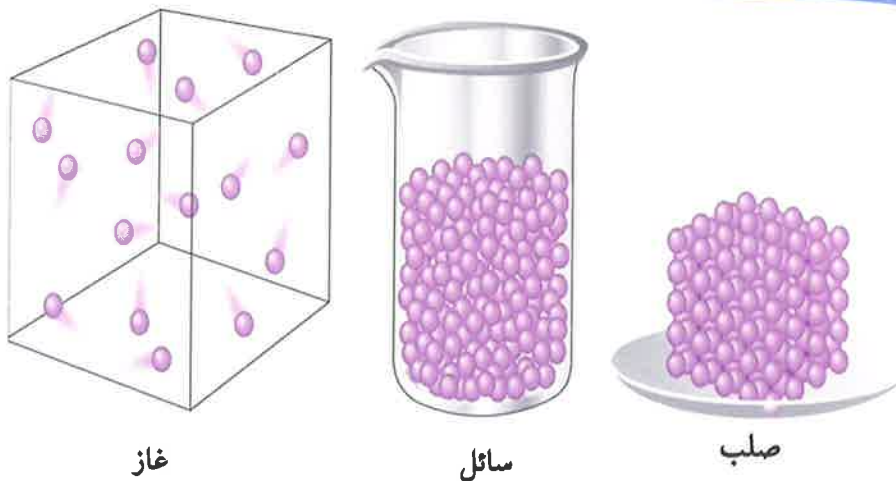


شكل 7-2 خطط تحول الحالة إلى الحالة الأخرى وتغير الإنثالبيّة

## 7- الخواص العامة للسوائل General Properties of Liquids

للسوائل خصائص عديدة تميزها عن حالات المادة الأخرى وي يكن تلخيص هذه الخصائص بما يأتي :

- أ) القابلية على الانضغاط: السوائل غير قابلة للانضغاط وهي بذلك تختلف عن الغازات ولا يحدث تغير كبيرا في حجم السوائل عند تسلیط الضغط عليها حتى لو كان الضغط كبير (1000 جو)، ويعزى ذلك حسب تفسير النظرية الحرکية إلى أن كمية الفراغ المسموح به بين جزيئات السوائل صغيرة جداً، وعليه فإن أية محاولة لضغط السائل تقابل بالمقاومة وذلك لتناقض السحابات الإلكترونية للجزيئات المجاورة. لاحظ الشكل 7-3.



### شكل 7-3 قابلية السوائل على الانضغاط

**ب) الحجم:** تحافظ السوائل على أحجامها فعند وضع 100 سم<sup>3</sup> من سائل في أي إناء فإن حجمه لا يتغير عكس الغازات التي تشغّل حجم الإناء الذي توضع فيه بسهولة ويعزى ذلك إلى قوة التجاذب الكبيرة نسبياً الموجودة بين جزيئات السائل.

ج) الشكل: ليس للسوائل شكل معين وإنما تأخذ شكل الإناء الذي توضع فيه وتفسر نظرية الحركة ذلك بعدم وجود موقع محدد بالنسبة للجزئيات حيث أن جزيئات السائل قادرة على الإنزلاق فوق بعضها لكي تشغل مواقع ذات أقل طاقة حرارية ممكنة.

د) الانتشار: تنتشر السوائل ببطء في حين أن الانتشار في الغازات يكون سريعاً وذلك لأن جزيئات السائل لا تتحرك لمسافات بعيدة قبل تصادمها بالجزيئات المجاورة لأن معدل المسار الحر بين هذه الجزيئات قصير ومن ثم

فإن جزيئه السائل تعاني من اصطدامات كثيرة جداً (تقدر بالbillions) عند إنتقالها من جهة الإناء إلى جهة الأخرى.

ـ) التبخر: تتبخر السوائل حيث أن جزيئات السائل ذات طاقة حرارية كبيرة لدرجة تكفي للتغلب على قوى التجاذب بين جزيئات السائل ويمكنها الهروب والتحول إلى الحالة الغازية.

يمكن دراسة الخواص العامة للسوائل في مجالين رئيسيين يتعلقا بوضع السائل، حيث الخصائص العامة للسوائل يمكن دراستها في حالة السكون وكذلك يمكن دراسة خصائصها في حالة الحركة وعليه سُلطة الضوء على هذين المجالين.

و- الشد السطحي Surface Tension

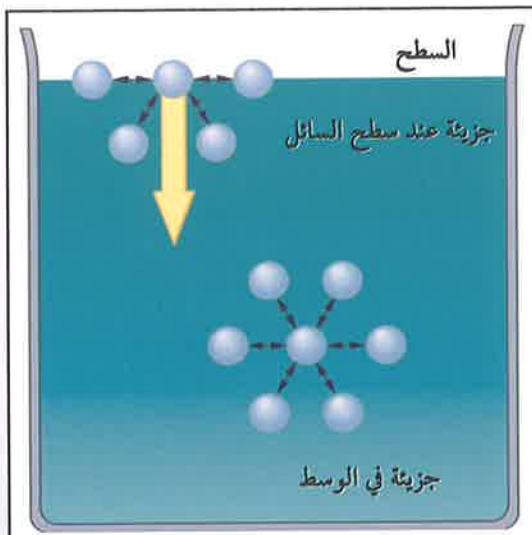
ز- اللزوجة Viscosity

نظراً لأهمية خاصية الشد السطحي واللزوجة سيتم شرحها بشيء من التفصيل المبسط.

### 6-1 الشد السطحي: Surface Tension

تمثل هذه الخاصية ظهر التجاذب بين جزيئات السائل. إن جزيئات السائل الموجودة وسط السائل تتجاذب مع الجزيئات المجاورة لها بكافة الإتجاهات (لاحظ الشكل 7-4) في حين أن الجزيئات الموجودة على سطح السائل والتي هي في تجانس مع الحالة البخارية فإنه من الناحية العلمية لا توجد أي قوى تجذبها نحو الأعلى ولكن هناك جزيئات مجاورة لها تجذبها نحو الأسفل لذلك تكون قوة شد سطحي تجعلها تتماسك بقوة أعلى من تماسك الجزيئات الموجودة عند حافة

الكأس الزجاجية، وتجعلها تحمل أجساماً على السطح أعلى من كثافتها بكثير. وجود ظاهرة الشد السطحي تفسر ما موضح بالشكل 7-5 حيث نلاحظ طفو الحشرات على سطح الماء. عند زيادة المساحة السطحية تزداد أعداد الجزيئات عند السطح ولغرض حصول ذلك لابد من إنجاز شغل. في هذه الحالة تكون للسطح زيادة من طاقة كيبيس Gibbs مقارنة بالجزيئات الداخلية للسائل. أن وحدات الطاقة على وحدة السطح هي ( $Nm^{-1} = Kgs^{-2} = Jm^{-2}$ ). أن هذه العلاقة التي تمثل زيادة طاقة السطح عن وحدة المساحة هي عبارة عن قوة على وحدة الطول.



شكل 7-4 قوى التجاذب بين جزيئات السائل



7-5 طفو الحشرات على سطح الماء

يتميز الماء بأن له أعلى مقدار للشد السطحي عند مقارنته بالسوائل المعروفة (عدا الزئبق) ويتبين ذلك عندما تحاول ملاً قدح من الماء إلى ما فوق حافته حيث ستلاحظ أن الماء يعلو بشكل محدب فوق حافة القدح.

من الشرح أعلاه يمكننا أن نستنتج بأنه يمكن أن يعرف الشد السطحي للسائل: بأنه يمثل القوة على سنتيمتر من السطح والتي تقام (أو تقابل) التمدد بالمساحة السطحية (حيث تمدد السوائل إلى تبني الأشكال التي تقلل من مساحتها السطحية).

أوضح الطبيب الفيزيائي توماس يونك عام 1805 بأن سطوح السوائل تتصرف وكأنها أغشية (أغلفة) تمدد فوق السوائل، يمكن ملاحظة ذلك بوضوح في فقاعة الصابون Soap bubble حيث أنها ويسبب شد هذا الغشاء تبدو وكأنها

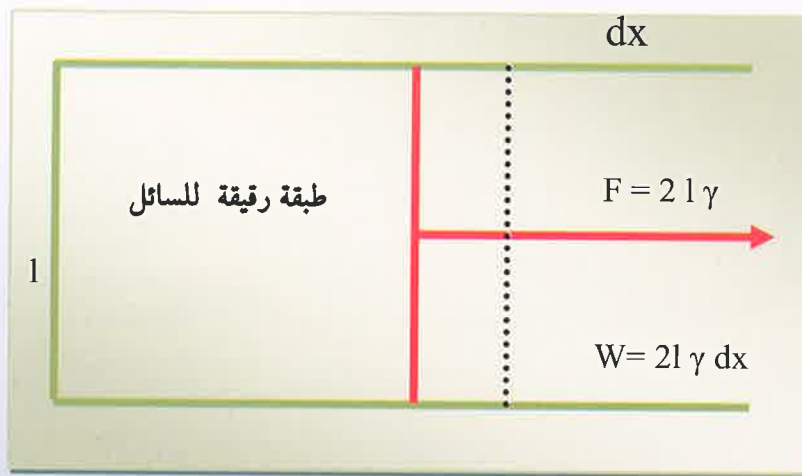
كروية. غالباً ما تكون الفقاعات الصغيرة لأي سائل على شكل كرة أما الكبيرة فإنها تتسطح بسبب وزنها.

يوضح الشكل 7-6 طريقة بسيطة تستخدم لحساب الشغل اللازم لتكوين طبقة رقيقة من السائل Liquid film عندما يتم رفع سلك بطول  $l$  من سائل بحيث يقوم بسحب الطبقة الرقيقة للسائل (مثل الطبقة الرقيقة لفقاعة الصابون) بارتفاع  $h$ ، فإن هذه الطبقة الرقيقة وجهاً لذاك فإن الطول الكلي للطبقة الرقيقة (Liquid film) يساوي  $2l$ . إن القوة اللازمة لتمدد هذه الطبقة تناسب طردياً مع الطول الكلي:

$$F \propto 2l \quad 7-1$$

$$F = \gamma l \quad 7-2$$

أي ثابت التناوب الطردي ( $\gamma$ ) هو الشد السطحي.

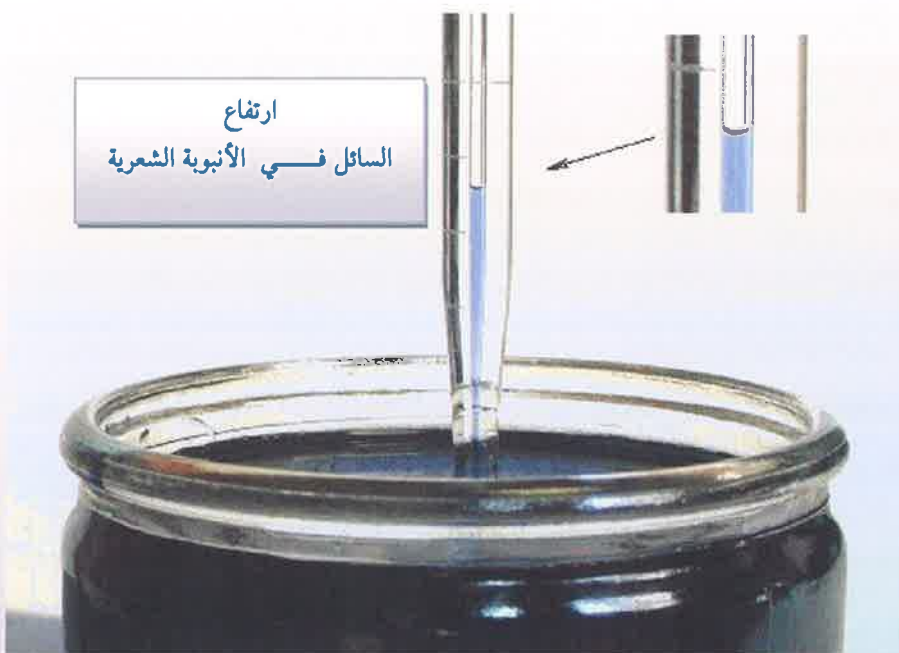


شكل 7-6 نموذج لحساب الشغل المنجز لتكوين طبقة رقيقة من السائل عندما يتم رفع سلك سحب السطح بارتفاع  $h$

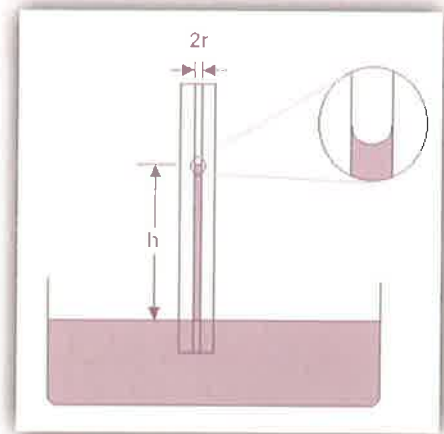
إذا قمنا بتحريك الطبقة الرقيقة لمسافة  $dx$  فإن مساحة جانبي الطبقة ستزداد بمقدار  $2\gamma dx$  ويكون الشغل المنجز يساوي  $2\gamma dx$  لأن نسبة الشغل المنجز إلى الزيادة بالمساحة السطحية يساوي:

$$\frac{\text{الشغل المنجز}}{\text{الزيادة بالمساحة السطحية}} = \frac{2\gamma dx}{21 dx} = \gamma \quad 7-3$$

هناك طرق عديدة لحساب الشد السطحي، ومن أبسط هذه الطرق وأكثرها شيوعاً هي طريقة إرتفاع السوائل في الأنابيب الشعرية Capillary – rise method. الشكل 7-7 يوضح ارتفاع السائل الملون في الانبوبة الشعرية والشكل 7-8 يوضح طريقة قياس الشد السطحي عند غمر أنبوبة شعرية بصورة عمودية في حوض السائل المراد حساب شده السطحي.

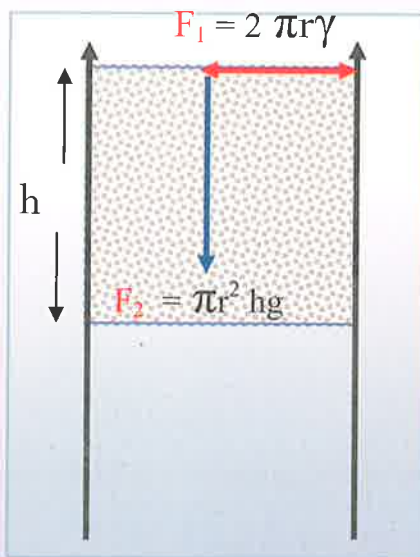


شكل 7-7 ارتفاع السائل الملون في الانبوبة الشعرية



شكل 7 - 8 ارتفاع السوائل في الأنبوية الشعرية

إذا كان السائل من النوع الذي ييلل (يرطب) الزجاج عند ملامسته له وبصورة تامة فإن الزاوية وهي الزاوية المقصورة بين السطح المحدب (meniscus) وسطح السائل تساوي صفراء (لاحظ الشكل 7 - 9).



شكل 7 - 9 القوى المؤثرة في حالة كون السائل ييلل الزجاج بصورة تامة

إن القوى  $F_1$  ستؤثر إلى الأعلى وهي تساوي الشكل السطحي مضروباً بطول الإتصال ما بين حافة السائل والأنبوبة (هذا الطول يساوي  $2\pi r\gamma$ ) وعلىه فإن:

$$F_1 = 2\pi r\gamma \quad 7-4$$

حيث أن  $g$  يساوي التسجيل الأرضي عند الاتزان تكون:

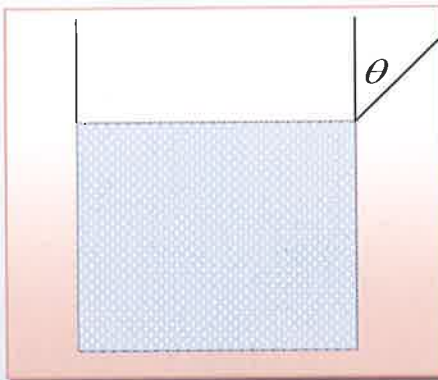
$$F_1 = F_2 \quad 7-5$$

$$2\pi r\gamma = \pi r^2 \rho h g \quad 7-6$$

$$\gamma = \frac{rh\rho g}{2} \quad 7-7$$

في حالة أن السائل الموجود داخل الأنبوة لا يرطب (لا يبلل) الزجاج بصورة كاملة كما في الشكل 7-10 فإن الزاوية  $\theta$  لا تساوي صفر وعليه فإن المعادلة 7-7 ستكون على الشكل الآتي:

$$\gamma = \frac{rh\rho g}{2\cos\theta} \quad 7-8$$



شكل 7-10 السائل لا يبلل الزجاج بصورة تامة

يتضمن الجدول 7-2 قيم الشد السطحي لبعض السوائل عند 293 كلفن ونلاحظ من الجدول بأن قيمة الشد السطحي للماء هي أعلى قيمة مقارنة بالسوائل الأخرى المعروفة عدا الزئبق (كما ذكرنا سابقاً). الزئبق له أعلى قيمة للشد السطحي وهي تساوي  $472.00 \times 10^{-3}$  جول متر<sup>-2</sup> وهي أكبر من قيمة الشد السطحي للإيثانول بحوالي 20 مرة.

**جدول 7-2 قيم الشد السطحي لبعض السوائل عند 293 كلفن**

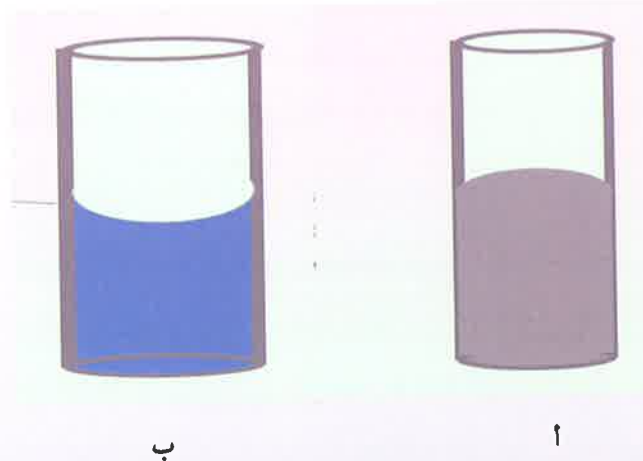
المركب	الشد السطحي γ (Nm <sup>-1</sup> ) أو (Jm <sup>-2</sup> )
البنزين	$28.88 \times 10^{-3}$
رابع كلوريد الكاريون	$27.00 \times 10^{-3}$
الإيثانول	$22.80 \times 10^{-3}$
الهكسان	$18.40 \times 10^{-3}$
الزئبق	$472 \times 10^{-3}$
الميثانول	$22.60 \times 10^{-3}$
الماء	$72.75 \times 10^{-3}$

الجدول 7-3 يتضمن قيم للشد السطحي لبعض السوائل المعروفة عند درجات حرارية مختلفة. نلاحظ بأن الشد السطحي للسوائل يقل عندما ترتفع درجة الحرارة. أن الشد السطحي لسوائل المعادن وكذلك المنصهرات الملحية أعلى بكثير من الشد السطحي للمركبات العضوية السائلة، فمثلاً أن الشد السطحي للزئبق عند درجة حرارة 273 كلفن تساوي 0.480 جول متر<sup>-2</sup> في حيث أن قيمة الشد السطحي لمنصره الفضة عند 1073 كلفن يساوي 0.8 جول متر<sup>-2</sup>.

## جدول 7-3 الشد السطحي لبعض السوائل عند درجات حرارية مختلفة

الشد السطحي $(\text{J m}^{-2}) / 10^{-3}$						درجة الحرارة / K
حامض الخل	فينول	نايتروبزين	البنترين	رابع كلوريد الكربون	الماء	
24.50	24.00	46.40	31.60	29.00	75.64	273
27.10	21.80	43.20	28.20	26.10	71.97	298
24.60	19.80	40.20	24.00	23.10	67.91	323
22.00	---	373	21.90	20.20	63.56	348

الشكل 7-11 الإختلاف بين ارتفاع الماء والزئبق في الأنابيب الشعرية بسبب ظاهرة التوتر السطحي.



شكل 7-11 ارتفاع السوائل في الأنابيب الشعرية أ- الزئبق ب- الماء

يلاحظ أن سطح الماء في الأنابيب الشعرية يكون منحنيناً وتجه حافتاً المنحنى نحو الأعلى في حين أنه في حالة الزئبق يكون هذا الإنحاء باتجاه الأسفل، تعود هذه الظاهرة إلى الاختلاف بين قوى التلاصق Adhesive Forces وقوى التماسك Cohesive Forces. في الماء تكون قوى التلاصق (وهي القوى التي

تحصل بين جزيئات الماء والزجاج) اكبر من قوى التماسك (وهي القوى التي تربط جزيئات الماء مع بعضها)، إما في الزئبق فان قوى التماسك اكبر من قوى التلاصق لذلك يكون اتجاه المنحني فيها نحو الاسفل.

من التطبيقات المهمة لظاهرة التوتر السطحي (غير ارتفاع السوائل في الأنابيب الشعرية) إضافة مواد تزيد من التوتر السطحي للأقمصة أثناء معالجتها مما يجعلها قادرة على تقليل البطل كما يتم اضافة بعض المواد التي تقلل من التوتر السطحي لمعجون الأسنان أثناء تحضيره لأن ذلك يؤدي إلى انتشار المادة الفعالة على سطح الأسنان ويعود ذلك إلى فعالية أكبر لمعجون الأسنان في التنظيف.

## 2-6-7 اللزوجة Viscosity

تعبر اللزوجة عن قوى الاحتكاك بين جزيئات المائع ويمكن أن تعرف بأنها مقاومة السائل للأنسياب وتقاس اللزوجة بوحدة بويز (Poise) (البويز يساوي داين ثا سم<sup>-2</sup>) وسميت كذلك نسبة إلى العالم الفرنسي بوازلي الذي وضع المعادلة الرياضية التي يتم تعين معامل اللزوجة المطلقة وذلك عام 1844 م حيث وجد العالم بوازلي أن معدل أنسياب الماء خلال أنبوبة شعرية يتتناسب طردياً مع الضغط ومع القوة الرابعة لنصف قطر الأنبوبة الشعرية وعكسياً مع طول الأنبوبة وحسب المعادلة الآتية:

$$\eta = \frac{\pi t \rho r^4}{8 L V} \quad 7-9$$

حيث أن  $\eta$  يعبر عن معامل اللزوجة و  $V$  حجم السائل الذي يتتناسب خلال الأنبوبة الشعرية التي طولها  $L$  ونصف قطرها  $r$  خلال زمن  $t$ .  
إن القياس الكمي للزوجة المطلقة باستخدام المعادلة 7-9 صعب جداً وبجاجة إلى دقة عالية جداً، لذلك يتم عادة قياس الزوجة النسبية. أن الزوجة

النسبية تعني قياس لزوجة السائل بالنسبة إلى سائل يكون معامل لزوجته معروفة وعادة ما يستخدم معامل لزوجة الماء (معامل لزوجة الماء يساوي  $10.50 \times 10^3$  بوز عنده 293 كلفن).

الشكل 7-12 يوضح الجهاز المستخدم في قياس اللزوجة Viscometer حيث يتم فيه قياس الزمن الذي يستغرقه أنساب حجم معين من سائل تكون معامل لزوجته معروفة وكذلك قيم قياس الزمن الذي يستغرقه السائل المراد تحديد معامل لزوجته وباستخدام المعادلة 7-9 يتم قياس معامل اللزوجة للسائل وكما يأتي:

$$\eta_1 = \frac{\pi r^4 P_1 t_1}{8 LV} \quad 7-10$$

$$\eta_2 = \frac{\pi r^4 P_2 t_2}{8 LV} \quad 7-11$$

حيث أن  $\eta_1$  يمثل معامل لزوجة السائل المعروف لدينا و  $\eta_2$  معامل لزوجة السائل المراد قياس معامل لزوجته، وبذلك فإن:

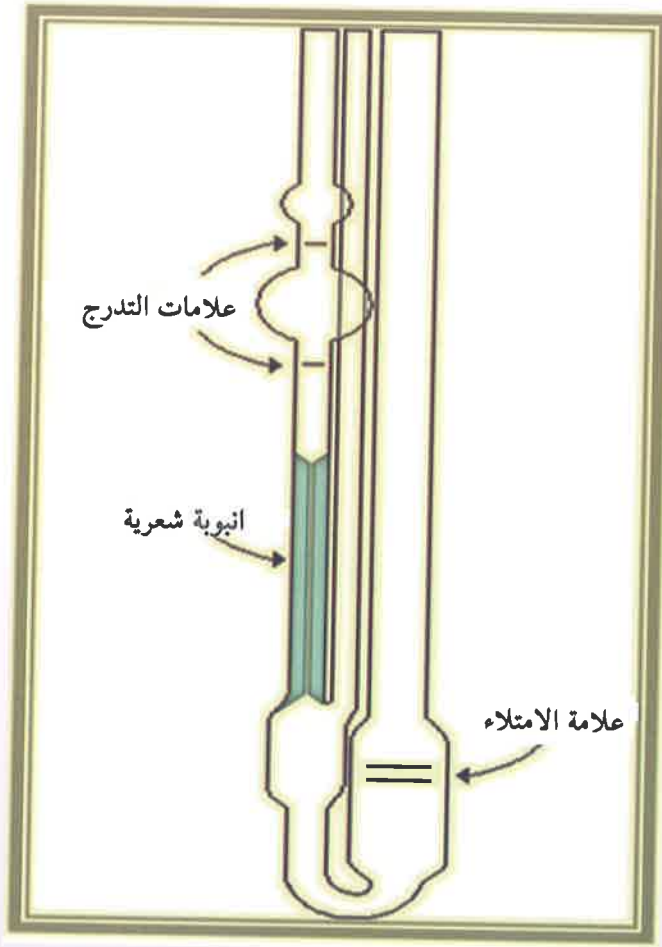
$$\frac{\eta_1}{\eta_2} = \frac{P_1 t_1}{P_2 t_2} \quad 7-12$$

حيث أن  $P_1$  و  $P_2$  يمثلان الضغط الهيدروستاتي لعمود السائل الأول والثاني على التوالي. بما أن الضغط الهيدروستاتي يتاسب طردياً مع كثافة السائل لذلك فإن المعادلة 7-12 تحوّل على الشكل الآتي:

$$\frac{\eta_1}{\eta_2} = \frac{\rho_1 t_1}{\rho_2 t_2} \quad 7-13$$

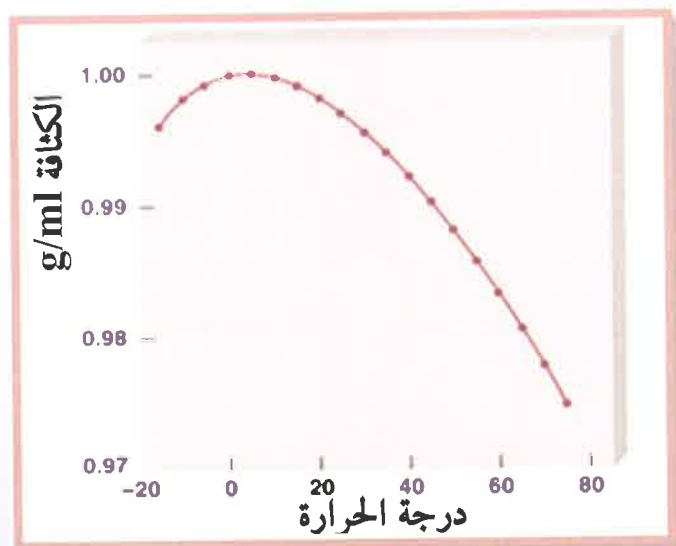
$$\eta_2 = \frac{\rho_2 t_2}{\rho_1 t_1}$$

حيث أن  $\rho_1$  و  $\rho_2$  تمثلان كثافة السائل الأول والثاني على التوالي و  $t_1$  و  $t_2$  الزمان اللازم لانسياب السائلين الأول والثاني على التوالي.



شكل 7-12 جهاز قياس الزوجة

من المعلوم بأن كثافة السائل تتأثر بتغير درجة حرارته، ولكن هذا التغير يعد قليلاً جداً عندما تم مقارنته بتغير لزوجة السائل مع درجة الحرارة. كثافة الماء تنخفض بنسبة 0.27 %. عند رفع درجة حرارته من 283 كلفن إلى 303 كلفن حيث أن كثافته تنخفض من  $0.99973 \text{ غم سم}^{-3}$  إلى  $0.99707 \text{ غم سم}^{-3}$  بين الدرجتين الحراريتين المذكورين، في حين أن لزوجة الماء تنخفض من  $0.7975 \times 10^{-2}$  بويز عند 283 كلفن إلى  $0.7975 \times 10^{-3}$  بويز عند 303 كلفن وبذلك فإن نسبة الانخفاض تعادل 39٪، وهذه النسبة كبيرة جداً عند مقارنتها بنسبة الانخفاض بالكثافة بين نفس الدرجتين الحراريتين. الشكل 7-11 يبين تغير كثافة الماء مع درجة الحرارة.



شكل 7-13 تأثير درجة الحرارة على الكثافة

تغير كثافة الماء باختلاف درجات الحرارة بطريقة معقدة لا تشبه ما يحصل للمواد الأخرى. نلاحظ من الشكل 7-13 حصول زيادة بالكثافة عند ارتفاع درجة الحرارة (عند درجات الحرارة التي تقل عن الصفر المئوي) لحين وصوها

إلى الكثافة العظمى عند  $3.98\text{ m}^3$ . عند رفع درجة الحرارة فوق  $3.98^\circ\text{C}$  نلاحظ حصول اختزال بالكثافة نتيجة للتمدد الطبيعي للسوائل. إن المسافات البينية في الثلج تؤدي إلى أن تكون كثافة الثلج أقل من الماء وهذا ما يفسره طفو الثلج فوق الماء السائل. إن هذه الظاهرة (ظاهرة أن يكون الصلب أقل كثافة من السائل) خاصة بالماء فقط دون المواد الأخرى ولو لا هذه الظاهرة لحلقت الأحياء المائية الموجودة في البحيرات خاصة أثناء فصل الشتاء عند وصول درجة الحرارة إلى الصفر المئوي.

الجدول 7-4 يتضمن قيمًا لتغير لزوجة الماء مع درجة الحرارة ما بين 239-323 كلفن. الجدول 7-5 يتضمن قيم اللزوجة لبعض السوائل المعروفة عند 273 كلفن.

جدول 7-4 تغير لزوجة الماء مع درجة الحرارة

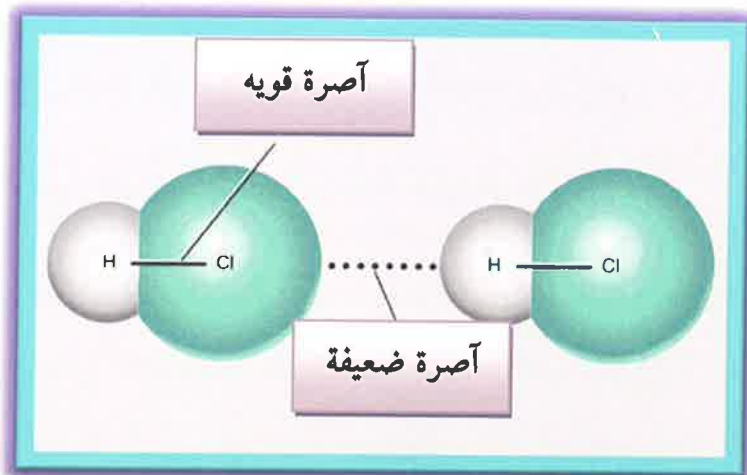
اللزوجة / بويرز	درجة الحرارة / K
$10787 \times 10^{-2}$	273
$1.519 \times 10^{-2}$	278
$1.307 \times 10^{-2}$	283
$1.139 \times 10^{-2}$	288
$1.002 \times 10^{-2}$	293
$8.904 \times 10^{-3}$	298
$7.975 \times 10^{-3}$	303
$6.529 \times 10^{-3}$	313
$5.468 \times 10^{-3}$	323

### جدول 7-5 قيم معامل اللزوجة لبعض السوائل عند 293 كلفن

اللزوجة	المادة
$1.002 \times 10^{-2}$	الماء
$7.100 \times 10^{-4}$	ثاني أكسيد الكربون
$2.400 \times 10^{-3}$	البستان
15	الكليسروبل
$5.800 \times 10^{-3}$	الكلوروفوم
$9.700 \times 10^{-3}$	رباعي كلوريد الكاربون
$2.000 \times 10^{-2}$	البروموفورم

### 7-7 قوى التجاذب بين الجزيئات : Intermolecular Forces

يجب التمييز بين نوعين من القوى التي تخص الجزيئات، فهناك قوى تربط مكونات الجزيئة مع بعضها البعض، وتسمى هذه القوى بالقوى البينية Intramolecular Forces، اما النوع الآخر فهي القوى التي تربط الجزيئات مع بعضها البعض، وتسمى بقوى التجاذب بين الجزيئات Intermolecular Forces. القوى البينية اقوى بكثير من قوى التجاذب بين الجزيئات، فمثلاً ان قوة الآصرة مابين الهيدروجين والكلور في حامض الهيدروكلوريك تساوي 431 كيلو جول مول<sup>-1</sup> مقابل 16 كيلو جول مول<sup>-1</sup> لقوى الآصرة بين جزيئات الحامض (لاحظ الشكل 7-14). عندما تنصهر المادة او تتبخر فان القوى التي تربط ما بين الجزيئات هي التي تتعرض للانكسار وعند التكثيف تكون هذه الأواصر ولا علاقة للأواصر البينية بما يحصل في هذه العمليات.



شكل 7-14 الأصرة التساهمية والأصرة البنية لحامض الهيدروكلوريك

المجدول 7-6 يوضح المقارنة ما بين قوى الأواصر المختلفة.

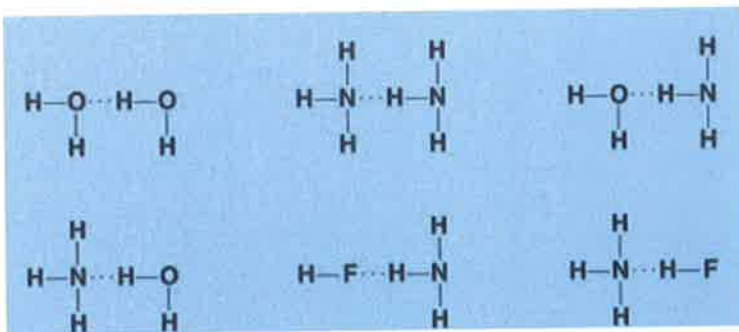
جدول 7-6 مقارنة ما بين طاقات الأواصر المختلفة

الطاقة / كيلو جول مول <sup>-1</sup>	نوع الأصرة
300- 600	ايونية Ionic
200-400	تساهمية Covalent
20-40	هيدروجينية Hydrogen- bond
10-20	ايون - ثبائي القطب Ion- Dipole
1-5	ثبائي القطب - ثبائي القطب Dipole- Dipole
0.05- 2	ثبائي القطب اني - ثبائي القطب مستحدث Instantaneous Dipole-Induced Dipole

ولأهمية الأواصر بين الجزيئات وتأثيرها على خواص السوائل سيتم التعرف على طبيعة كل نوع من أنواع قوى التجاذب بين الجزيئات وباختصار.

### أولاً: الأواصر الهيدروجينية: Hydrogen Bonds

يعبر عن الآصرة الهيدروجينية بانها نوع خاص من أنواع تداخل ثنائي القطب - ثنائي القطب، والذي يحصل بين ذرة الهيدروجين في قطب مثل H-O-H او N-H او F-H والسلبية الكهربائية لذرة الأوكسجين او النيتروجين او الفلور. الشكل 7-15 يوضح أنواع الآصرة الهيدروجينية التي تحصل ما بين جزيئات السائل نفسه او سائل مع سائل آخر.



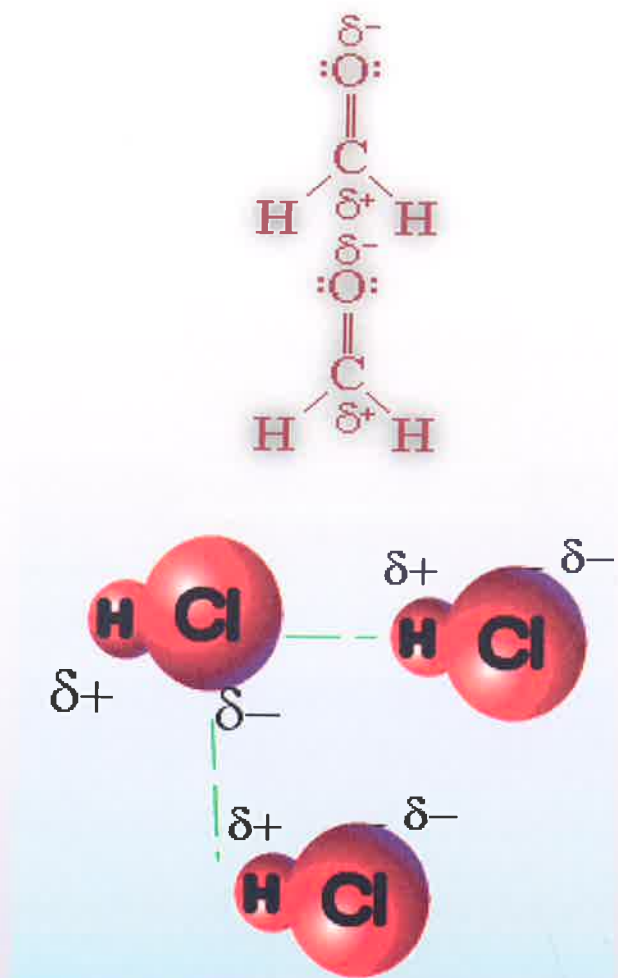
شكل 7-15 تكون الآصرة الهيدروجينية

### ثانياً: قوى فاندر فالز: Van der Waal's Forces

تحصل عادة قوى فاندر فالز بين الجزيئات المتعادلة وتشمل ما يأتي:

## 1- قوى ثانوي القطب - ثانوي القطب:

تحصل بين جزيئتين قطبيتين. في الجزيئات التساهمية القطبية هنالك مناطق غنية بالاليكترونات ومناطق اخرى غير ذلك. المناطق الغنية بالاليكترونات (حيث تكون الشحنة عندها سالبة)، تتجاذب مع المناطق الفقيرة بالاليكترونات في الجزيئة المجاورة، حيث تكون الاشارة موجبة. تتراوح قيمة هذه القوى ما بين 5-25 كيلو جول مول<sup>-1</sup>. الشكل 7-16 يوضح هذا النوع من القوى.



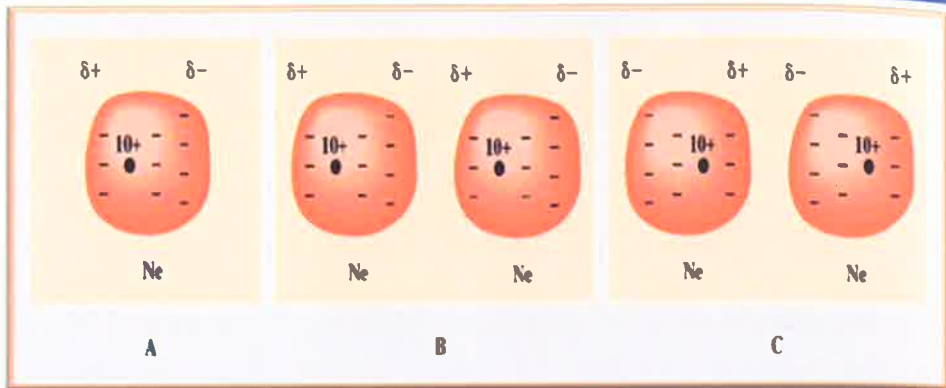
شكل 7-16 قوى ثانوي القطب - ثانوي القطب

## 2- قوى ثبائي القطب - ثبائي القطب المستحدث Dipole – Induced dipole

تحصل بين جزيئه قطبية وآخر غير قطبية. يتولد هذا النوع من القوى نتيجة للتوزيع غير المتناظر في جزيئه قطبية نتيجة لوقوعها في المجال الكهربائي للجزيئات الأخرى مما يؤدي إلى حصول تشوّه في توزيع الالكترونات داخل هذه الجزيئه. عند اقتراب هذه الجزيئه من أخرى غير قطبية، يؤدي إلى نشوء عزم ثبائي القطب المستحدث في الذرة أو الجزيئه المجاورة. هذا النوع من القوى يفسر قابلية ذوبان الغازات الخاملاة في الماء. ان جزيئه الماء القطبية يمكن ان تستحدث ذرة الزيتون القربيه منها مما يؤدي إلى نشوء قطب مستحدث لذرة الغاز.

## 3- قوى لندن: London forces

تسمى كذلك قوى تشتت لندن London dispersion forces. تحصل بين جميع أنواع الجزيئات، وهي القوى الوحيدة التي تحصل بين الجزيئات غير القطبية. تنشأ هذه القوى نتيجة لحصول انحراف في التوزيع المنظم للشحنات داخل الذرة او داخل الجزيئه. الشكل 7-17 يوضح خطوات نشوء قوى لندن، حيث نلاحظ وجود انحراف في توزيع الشحنات داخل الذرة وتجمعها في مكان اكثـر من آخر مما يؤدي إلى ظهور ثبائي قطب داخل الذرة نفسها. ان اقتراب ذرة من هذا النوع من ذرة أخرى يؤدي إلى ظهور عزم ثبائي القطب (ولو انه ضعيف ولكنه مؤثر). يظهر هذا التشوّه كذلك بصورة واضحة في ذرات الجزيئات ثنائية الذرة مثل النتروجين والهيدروجين.

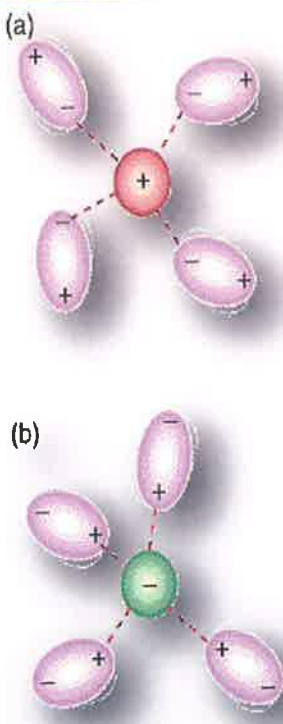


شكل 7-7 نشوء قوى لندن

### ثالثاً: تجاذب ايون - ثنائي القطب: Ion- Dipole attraction:

في هذا النوع من الأواصر يحصل ترابط مابين الايون الموجب او السالب مع ثنائى القطب، فعندما يتم إذابة ملح الطعام في الماء فان الايون الموجب للصوديوم والايون السالب للكلور يحاطان بجزئيات الماء.

ان قيمة القوة الكلية في هذا النوع تتناسب طرديا مع الشحنة وعكسيا مع قطر الايون. الشكل 7-18 يوضح هذا النوع من الترابط.



شكل 7-18 اصرة ايون- ثانوي القطب (a) ايون الصوديوم و (b) ايون الكلور  
محاطة بجزيئات الماء)

#### 7-8 البليورات السائلة : Liquid Crystals

يمكن تعريف البليورات السائلة بأنها جزيئات منسقة بشكل قضبان لها القابلية على الإنسياب كالسوائل ولها صفات مشتركة ما بين الحالتين الصلبة والسائلة.

ت تكون هذه الحالة عند صهر بعض المركبات الصلبة حيث أنها تر بهذه الحالة قبل تحولها إلى الحالة السائلة الاعتيادية. وقد اكتشفت هذه الحالة أول مرة

من قبل العالم النمساوي رينتزر وذلك عام 1888م. حيث أن بلورات بنزوات الكوليسترول النقية لوحظت بأنها تحول إلى حالة سائلة معكراً عند درجة حرارة 154°C قبل تحولها إلى الحالة السائلة الرائقة عند درجة حرارة 178°C. أن تشابه بعض صفات البلورات السائلة مع السوائل واختلافها عن السوائل في بعض الخصائص الضوئية دعت الكثيرين من العلماء إلى دراستها بصورة تفصيلية ونتيجة لهذه الدراسات وجد أنها وسطية تختلف عن حالات المادة الأخرى ولذلك فقد سماها بعض العلماء بالطور الوسطي.

إن مصطلح البلورات السائلة والحلة الوسطية والسائل البلوري جميعها مرادفات لوصف تجمع الجزيئات وبيان ترتيبها والتي تشبه الحالة البلورية تقريباً وبالوقت نفسه تتمتع بخصائص الموائع وهذا يمكن أن تكون هي الحالة الخامسة للمادة والمكملة لحالات المادة الثلاث وهي الصلبة والسائلة والغازية والبلازما ضمن درجات الحرارة الاعتيادية.

يمكن تصنيف البلورات السائلة إلى صنفين في ضوء نشوئها وهما:

1- البلورات السائلة الترمومتروبية Thermo Tropic وتشير هذه الأطوار الوسطية نتيجة للتغير بدرجة الحرارة، وحسب التنظيم الجزيئي فإنها تنقسم على ثلاثة أطوار وسيطة ورئيسة هي:

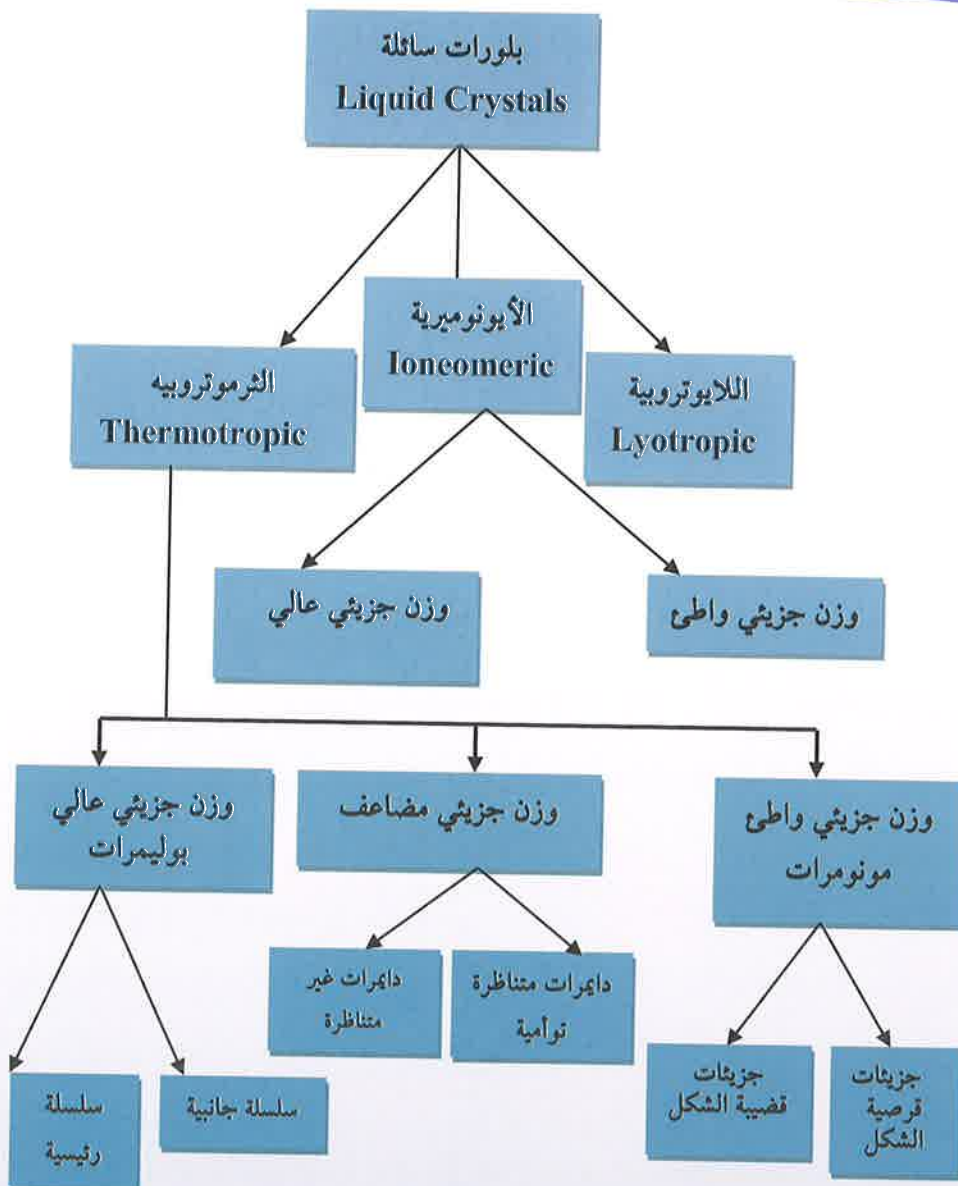
أ- الطور النيماتي (الخيطي) Nematic Phase

ب- الطور الكوليستيري Cholesteric Phase

ج- الطور السمعكي (الصابوني) Smectic Phase

2- البلورات السائلة اللايتروبية Lyotropic و تظهر هذه الأطوار الوسيطة نتيجة لإذابة بعض المركبات في مذيب مناسب، ويكون تركيز هذه المركبات وطبيعة التجاذب فيما بينها وبين المذيب هي العوامل المؤثرة في الانتقال من طور إلى طور آخر وتعد الأغشية الاحيائية والمحلول المائي للصابون أمثلة على هذا النوع من البلورات السائلة.

3- البلورات السائلة الايونوميرية Ionemeric وهي نوعان منها ذات وزن جزيئي صغير وأخرى لها وزن جزيئي كبير. بینت دراسات حديثة أجريت في الثمانينيات أنه بالإمكان تصنيف البلورات السائلة المعروفة إلى الآن حسب كيفية نشوئها ووزنها الجزيئي وكما في المخطط الآتي (شكل 7-19).



شكل (19-7) خطط أنواع البلورات السائلة

## أمثلة الفصل السابع

**مثال 7-1:** وصفت أنبوبة شعرية قطرها 0.21 ملم في سائل كثافته 0.79 غم سم<sup>3</sup>. ارتفع السائل داخل الأنابيب الشعرية إلى ارتفاع 6.30 سم. احسب الشد السطحي للسائل.

$$\gamma = \frac{hr\rho g}{2}$$

$$\gamma = \frac{6.30 \times 0.0105 \times 0.79 \times 980}{2}$$

$$\gamma = 25.6 \text{ dynes cm}^{-1}$$

**مثال 7-2:** إلى أي حد يمكن أن يرتفع السائل في أنبوبة شعرية قطرها 0.01 ملم، تم وضعها في سائل كثافته 1.30 غم سم<sup>3</sup>. الشد السطحي للسائل يساوي 0.065 نيوتن م<sup>-1</sup>.

$$\gamma = \frac{hr\rho g}{2}$$

$$h = \frac{2\gamma}{r\rho g}$$

$$h = \frac{2 \times 2 \times 0.065}{10^{-5} \times 1.30 \times 10^{-3} \times 9.8} = 2.04 \text{ m}$$

**مثال 7-3:** ما هو الضغط اللازم لمنع الماء من الارتفاع بانبوبة شعرية قطرها 10<sup>-4</sup> سم عند 25°C وضغط 1 جو.

$$\Delta P = \frac{2\gamma}{r} = \frac{2(71.97 \times 10^{-3})}{(0.5 \times 10^{-6}) 101325} = 2.84 \text{ atm}$$

مثال 7-4: عند إجراء تجربة لتعيين الشد السطحي للسوائل بطريقة عدد قطرات وجد نزول 55 قطرة من السائل معين مقابل 25 قطرة من الماء لنفس الحجم. إذا كانت كثافة السائل تساوي  $0.8 \text{ غم سم}^3$  في حين ان كثافة الماء تساوي  $0.996 \text{ غم سم}^3$  عند نفس الظروف. احسب الشد السطحي للسائل اذا كان الشد السطحي للماء يساوي 72 داين  $\text{سم}^{-1}$ .

$$\frac{\gamma_1}{\gamma_2} = \frac{n_2 d_1}{n_1 d_2}$$

$$\gamma_1 = \frac{\gamma_2 n_2 d_1}{n_1 d_2}$$

$$\gamma_1 = \frac{72 \times 0.996 \times 25}{0.80 \times 55} = 40.7 \text{ dynes cm}^{-1}$$

مثال 7-5: عند إجراء تجربة لقياس اللزوجة باستخدام جهاز اوستوالد عند درجة حرارة  $20^\circ \text{م}$  ، وجد ان زمن مرور الماء والايثانول في الجهاز تساوي 80 و 175 ثانية على التوالي. إذا كانت كثافة الماء والايثانول تساوي 0.998 و  $0.790 \text{ غم سم}^3$  على التوالي ولزوجة الماء عند نفس الدرجة الحرارية تساوي 0.01008 بويز. احسب لزوجة الايثانول.

$$\frac{\eta_1}{\eta_2} = \frac{d_1 t_1}{d_2 t_2}$$

$$\eta_1 = \frac{\eta_2 d_1 t_1}{d_2 t_2} = \frac{0.01008 \times 0.79 \times 175}{0.998 \times 80}$$

مثال 7-6: في تجربة لقياس لزوجة السوائل باستخدام جهاز اوستوالد، وجد ان جريان الماء يستغرق 1.52 دقيقة في حين ان سائل آخر كثافته تساوي

0.80 غم سم<sup>3</sup> يستغرق 2.25 دقيقة للمرور عند 20°C. احسب اللزوجة النسبية واللزوجة المطلقة للسائل اذا كانت كثافة الماء عند 20°C تساوي 0.9982 غم سم<sup>3</sup> ولزوجة الماء المطلقة تساوي 1.005 سنتي بويرز.

$$\frac{\eta_1}{\eta_2} = \frac{t_1 d_1}{t_2 d_2} = \frac{0.80 \times 2.25}{0.9982 \times 1.52} = 1.184$$

$$\eta_1 = 1.184 \times 1.005 = 1.19 \text{ centipoise}$$

لذلك فان اللزوجة النسبية للسائل تساوي 1.184 واللزوجة المطلقة تساوي 1.19 سنتي بويرز.

مثال 7-7: اذا كانت لزوجة السائل تساوي  $1.2 \times 10^{-3}$  و  $0.834 \times 10^{-3}$  كغم م<sup>3</sup> ثا<sup>-1</sup> عند 20°C على التوالي. احسب طاقة تنشيط الجريان للايثانول.

$$\log \frac{\eta_1}{\eta_2} = \frac{E_a}{2.303 R} \left[ \frac{T_2 - T_1}{T_1 T_2} \right]$$

$$\log \frac{1.2 \times 10^{-3}}{0.834 \times 10^{-3}} = \frac{E_a}{2.303 \times 8.314} \left[ \frac{313.15 - 293.15}{313.5 \times 293.15} \right]$$

$$E_a = 13855.4 \text{ J mol}^{-1} = 13.855 \text{ KJ mol}^{-1}$$

مثال 7-8: أي من الجزيئات الآتية قطبية. اذا كانت الجزيئه قطبية عين اتجاه عزم ثنائي القطب من الطرف الموجب الى الطرف السالب.

- أ- فلوريد الهيدروجين.
- ب- الكلوروفورم.

ج- الاستيلين.

د- البروم.

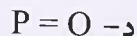
أ- فلوريد الهيدروجين قطبي. مركز الشحنة الموجبة موجود الى اليسار من الشحنة السالبة.

ب- الكلوروفورم قطبي. جميع الأواصر قطبية. مركز الشحنة الموجبة موجود فوق مركز الشحنة السالبة.

ج- الأواصر في الاستيلين قطبية ولكنها قليلة القطبية ومركز الشحنة الموجبة ومركز الشحنة السالبة في مركز الجزيئة.

د - البروم ليس قطبي

مثال 7-9: أي من الأواصر قطبية في الجزيئات الآتية، وإذا كانت قطبية أي ذرة فيها موجبة أكثر.



أ -  $\text{N} \equiv \text{N}$  غير قطبية.

ب -  $\text{B} - \text{N}$  قطبية و  $\text{B}$  موجبة أكثر.

ج -  $\text{S} - \text{Cl}$  قطبية و  $\text{S}$  موجبة أكثر.

د -  $\text{P} = \text{O}$  قطبية و  $\text{P}$  موجبة أكثر.

الفصل الثامن

CHAPTER EIGHT

اتزانات الأطوار

Phase Equilibria

## الفصل الثامن

### اتزانات الأطوار

### Phase Equilibria

Introduction

8-1 المقدمة

Stability of phases

8-2 استقرارية الأطوار

Equilibrium in Phases

8-3 التوازن في الأطوار

Phase boundaries

8-4 حدود الطور

Phases equilibrium diagrams

8-5 مخططات اتزان الأطوار

Phase diagram of Water System

8-6 مخطط الأطوار لنظام الماء

Phase Diagram for Carbon Dioxide system

8-7 منحنى الأطوار لنظام ثاني أوكسيد الكاربون

Phases diagram of helium dioxide system

8-8 منحنى الأطوار لنظام المليوم

Phase Rule

8-9 قاعدة الأطوار

Degree of Freedom

8-1 عدد درجات الحرية

Number of Components

8-2 عدد المكونات

Phases numbers

8-3 عدد الأطوار

Derivation the Phase rule

8-4 إثبات قاعدة الطور

Applications of Phase

8-5 تطبيقات قاعدة الطور

Examples

أمثلة

## الفصل الثامن

### اتزانات الأطوار

### Phase Equilibria

#### 1-8 المقدمة : Introduction

يعرف الطور بأنه ذلك الجزء من النظام الذي يتصرف بالتجانس كيميائياً وفزيائياً، وينفصل عن باقي الأجزاء المتاجنة الأخرى من النظام بواسطة حدود سطحية واضحة.

لفرض التعرف على حالة النظام فمن الضروري تعين قيم بعض متغيرات الحالة وفي الأقل يجب أن نعرف الحد الأدنى من متغيرات الحالة التي بحاجة إلى تعين كي يمكن تحديد النظام وهذا يعتمد على طبيعة النظام، مثلاً إذا أخذنا  $1000\text{ سم}^3$  من الماء النقي في وعاء وكانت درجة حرارته  $298$  كلفن وتحت ضغط  $1$  جو نلاحظ أن الشد السطحي والحجم النوعي ومعامل الانكسار لنماذج مختلفة منه تحمل القيمة نفسها تحت شروط معينة، أي أن كل الخصائص الكيميائية المختلفة (متغيرات الحالة الأخرى) تبقى غير متغيرة، وإذا أخذنا الكمية نفسها من الماء وكانت بتماس مع بخار الماء عند درجة حرارة  $298$  كلفن فإن ضغط البخار يأخذ قيمة ثابتة مقدارها  $23.8$  ملم زئبق وتبقى هذه القيمة ثابتة مادام الطوران موجودين معاً عند ثبوت درجة الحرارة، وأن بالإمكان تغيير حالي الطورين أو حالة النظام بصورة تامة عند تغير قيمة متغير واحد فقط هو درجة الحرارة. أما كيفية تحديد الحد الأدنى من المتغيرات المطلوبة فهذا سوف يتم النظر إليه خلال هذا الفصل مع شرح مفصل لأنواع من الأطوار.

## 8-2 استقرارية الأطوار

عندما تكون المادة في حالة اتزان فإن الجهد الكيميائي لعينة من هذه المادة يكون متشابهاً بجميع الأجزاء. لكي نتأكد من ذلك دعنا نفترض العكس فعندي ذي يكون الجهد الكيميائي في نقطة ما مساوياً إلى  $\mu_1$  وفي نقطة ثانية مساوياً إلى  $\mu_2$  وعند انتقال كمية معينة من المادة مقدارها  $dn$  من النقطة الأولى إلى النقطة الثانية عند ثبوت درجة الحرارة والضغط فإن التغير في دالة كيس (dG) سيكون مساوياً إلى  $(-\mu_{(1)} + d\mu_{(2)})$  في النقطة الأولى و  $(+\mu_{(2)})$  في النقطة الثانية وعليه سيكون التغير الكلي:

$$dG = (\mu_{(2)} - \mu_{(1)})dn \quad 8-1$$

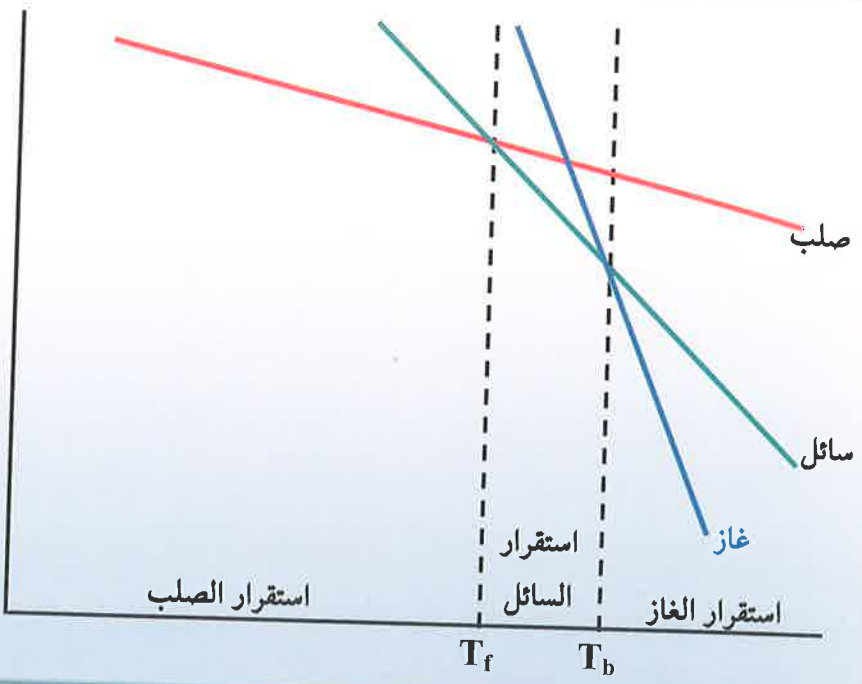
وتؤسسا على ذلك فإنه في حالة كون الجهد الكيميائي  $\mu_{(1)}$  أكبر من الجهد الكيميائي  $\mu_{(2)}$  فإن الانتقال من النقطة (1) إلى النقطة (2) سيكون تلقائياً (لوجود نقصان في دالة كيس) وهذا يعني أن المادة ليست في حالة اتزان، وعليه فإنه في حالة الإتزان يجب أن يكون:

$$\mu_{(2)} = \mu_{(1)} \quad 8-2$$

وفي الشكل 8-1 والذي يعبر عن التغير في الجهد الكيميائي بتغير درجة الحرارة، نلاحظ أن الطور الذي يكون الجهد الكيميائي فيه أقل هو الأكثر استقراراً في درجة حرارة معينة إذا كان الجهد الكيميائي للطور السائل  $\mu_{(1)}$  عند درجة حرارة وضغط معينين مثلاً أقل من الجهد الكيميائي للطور الصلب  $\mu_{(s)}$  والطور الغازي (البخاري)  $\mu_{(g)}$  ليكون بذلك الطور السائل هو الأكثر استقراراً وعند انخفاض درجة الحرارة سيرتفع  $\mu_{(1)}$  فوق  $\mu_{(s)}$  (لاحظ الشكل 8-1) وبذلك يكون الطور الصلب هو الأكثر استقراراً والعملية الطبيعية لذلك هي عملية

التجمد ويحصل العكس عند ارتفاع درجة يتحول الطور السائل إلى الطور الغازي (البخاري) بصورة تلقائية.

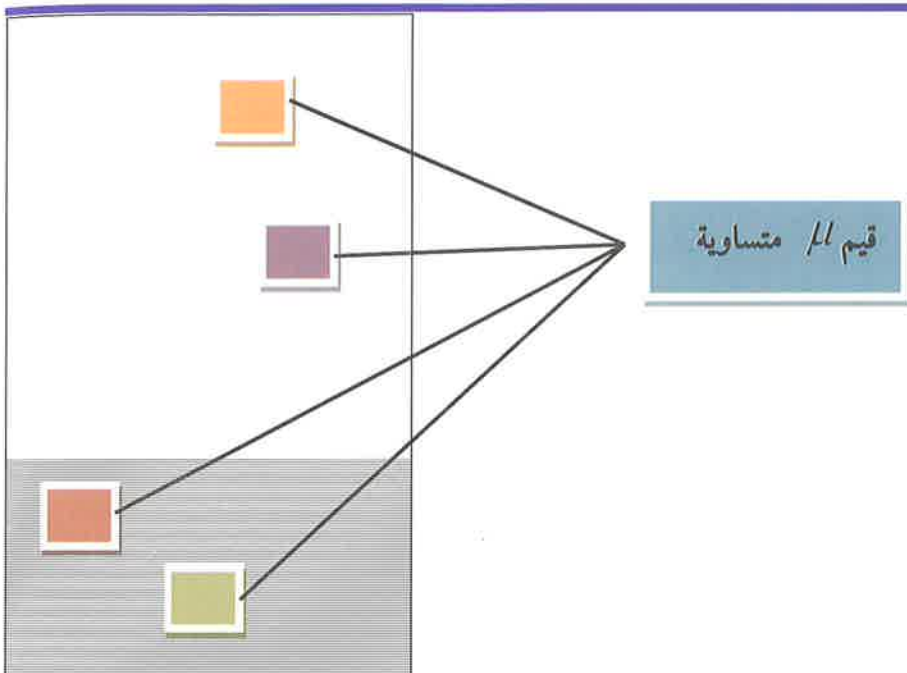
مهمة  
فيما يلي



درجة الحرارة /  $T$

شكل 1-8 تغير الجهد الكيميائي مع درجة الحرارة للطور الغازي والسائل والصلب

من النتائج التي تم الحصول عليها من القانون الثاني للtermوديناميك هو أنه عند الإتزان فإن الجهد الكيميائي للمادة هو نفسه في جميع أجزاء المادة وبغض النظر عن عدد الأطوار الموجودة، لذا فإن الجهد الكيميائي للطور السائل والجهد الكيميائي للطور الصلب متساويان عند الإتزان بين الطورين وكذا في مناطق الطور المختلفة.



شكل 8-2 الجهد الكيميائي للطورين الصلب والسائل في حالة الإتزان

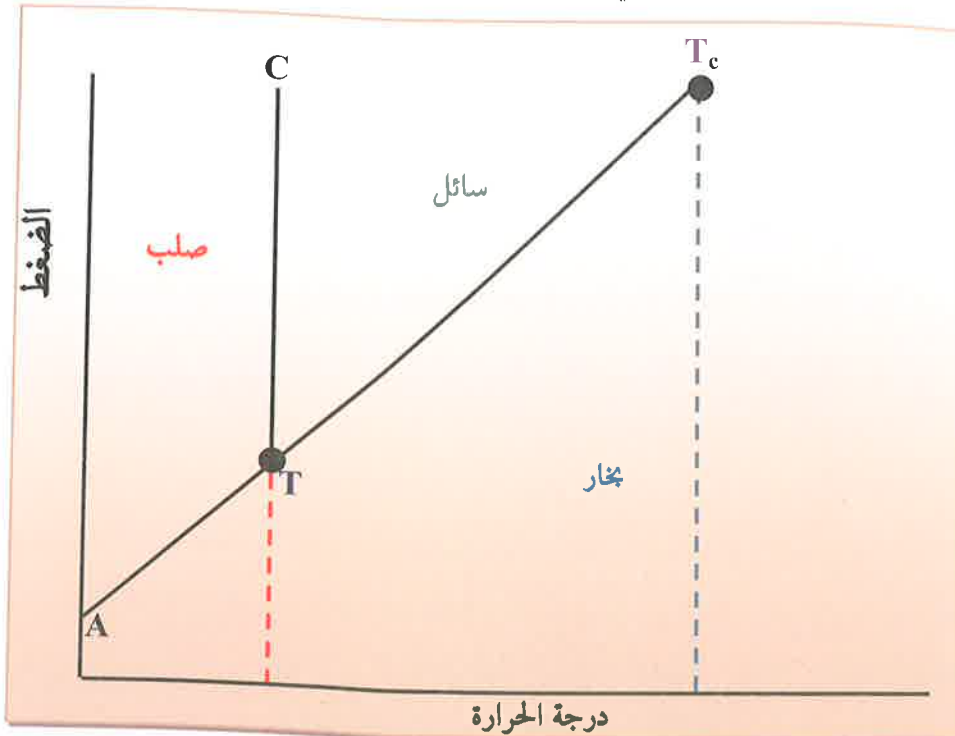
يوضح الشكل 8-3 مناطق الضغط ودرجة الحرارة بصورة عامة واستقرارية الأطوار المختلفة فيها. أن الطور يكون مستقرًا في منطقة معينة تكون درجة الحرارة والضغط فيها قيم محددة وعند تغير أحد العوامل (درجة الحرارة أو الضغط) تبدأ عملية انتقال الطور إلى الطور الآخر.

### 8-3 التوازن في الأطوار: Equilibrium in Phases

يعني المفهوم العام للإتزان عدم حصول تغير في النظام وفي لغة الترموديناميك يعني عدم تغير خصائص المادة مع الزمن علمًا بأن وجود حالة الإتزان العام لا يمكن التوصل إليه بسبب التغيرات المستمرة سواء في النظام أو في المحيط ولغرض فهم التوازن في الأطوار.

دعنا نقوم بدراسة حالة التوازن في نظام بسيط يتكون من مكون واحد.

يمثل الشكل 8-3 رسم بياني للأطوار السائل والصلب والبخار وتمثل النقطة (T) النقطة الثلاثية أي وجود الأطوار الثلاثة في حالة إتزان.



شكل 8-3 رسم بياني للأطوار

ويمثل الخط ( $T_c$ ) الإتزان بين الطورين الغازي والسائل والخط  $TC$  يمثل خط الإتزان بين الطورين السائل والصلب ويمثل الخط  $TA$  خط الإتزان بين الطورين الغازي والصلب.

#### 4-8 حدود الطور Phase boundaries

إن رسم الطور Phase diagram لأي مادة يوضح مناطق الضغط ودرجة الحرارة التي يمكن أن تتوارد عندها الأطوار المختلفة في حالة اتزان. إن الخطوط أو المنحنيات الموضحة بالشكل 8-3 تفصل مناطق الأطوار بعضها عن البعض

الأخر وتسمى حدود الطور Phase boundaries. إن هذه الخطوط أو المنحنيات تمثل قيم الضغط ودرجة الحرارة التي يمكن أن يتواجد بها كل طورين في حالة اتزان. هنالك عدة خطوط أو منحنيات بالشكل 3-8 وهي  $TT_c$  و  $TA_c$  و  $TC_c$ .

الخط أو المنحنى  $TT_c$  هو الحد الفاصل ما بين الطورين السائل والبخار حيث يتواجد الطوران وعلى طول الخط بحالة اتزان فيما بينهما، وكل نقطة من نقاط هذا الخط أو المنحنى تمثل ضغطاً معيناً ودرجة حرارة محددة يتواجد عندهما الطوران في حالة اتزان يسمى هذا المنحنى أو الخط منحنى أو خط الضغط البخاري.

الخط أو المنحنى  $TA_c$  يمثل الخط أو المنحنى التالي وهو الخط أو المنحنى الفاصل ما بين الطورين الصلب والبخار، وعلى طول الخط أو المنحنى يتواجد الطوران في حالة اتزان.

الخط أو المنحنى  $TC_c$  يمثل خط أو منحنى الإتزان ما بين الطورين الصلب والسائل. هنالك أهمية خاصة لميل المستقيم  $TC_c$ ، فإذا كان الميل سالباً (كما هو الحال في رسم الطور لنظام الماء) فهذا يعني ان نقطة انصهار الثلج تنخفض عند زيادة الضغط، وهذا ما معروف بالنسبة للماء حيث أنه يتمدد عند التجمد، أما إذا كان الميل موجباً (كما هو الحال في رسم الطور لنظام ثاني أوكسيد الكاربون) فهذا يعني أن زيادة الضغط تؤدي إلى زيادة ارتفاع درجة الانصهار وهذه هي الخاصية العامة لجميع السوائل (عدا الماء) حيث أن حجمها يتقلص عندما تتجمد.

لا يمكن بأي حال من الاحوال الوصول إلى درجة الغليان عندما يتم تسخين السائل في اناء محكم الاغلاق ولذلك فإن الضغط البخاري يرتفع كلما

ارتفعت درجة الحرارة ونتيجة لذلك فإن كثافة البخار المتكون تزداد كلما ازداد الضغط البخاري. كثافة السائل تقل كذلك في نفس الوقت نتيجة لمدد السائل بارتفاع درجة الحرارة ويستمر ذلك (ازدياد كثافة البخار ونقصان كثافة السائل) إلى أن يتم تساوي الكثافتين، حيث يزال الفاصل ما بين السائل والبخار وبذلك لا يمكن التمييز ما بين البخار والسائل، ويحصل ذلك عند درجة الحرارة الحرجة  $T_{\text{C}}$  Temperature Critical تمثل النقطة الحرجة بالنقطة  $T_{\text{C}}$  الموضحة بالشكل 8-3. أن الضغط الناتج عند النقطة الحرجة يسمى بالضغط المخرج  $P_{\text{C}}$  Critical pressure ويرمز له بالرمز  $P_{\text{C}}$ . عند الدرجة الحرجة وفوقها يتكون طور واحد ومتماثل يسمى السائل الخارج  $\text{Super - critical}$  حيث لا يبقى أي وجود للطور السائل.

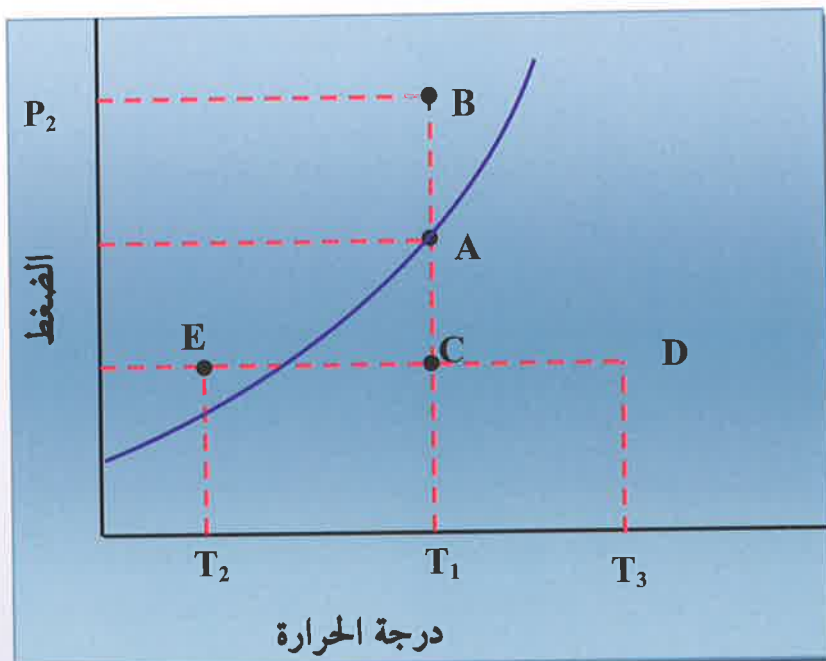
الخطوط أو المنحنيات الثلاثة التي تم ذكرها سابقاً وهي  $T_{\text{C}}$  و  $T_{\text{A}}$  و  $T_{\text{T}}$  تتقاطع في النقطة  $T$  وهذه النقطة تسمى النقطة الثلاثية Triple Point. في هذه النقطة تكون الأطوار الثلاثة، الصلب والسائل والبخار، في حالة اتزان. تكون هناك قيمة محددة للضغط ودرجة الحرارة ولا يمكن تغيير أي منها ولو بمقدار صغير جداً وفي حالة حصول التغير فإن أحد هذه الأطوار سيختفي.

### 5-8 خطوط اتزان الأطوار: Phases equilibrium diagrams

الشكل 8-4 يمثل خطوط اتزان طورين افتراضي حيث يوجد فيه السائل باتزان مع بخاره يكون عدد الأطوار في هذا النظام يساوي اثنان ( $F = 2$ ) وعدد المكونات يساوي واحد ( $C = 1$ ). من تطبيق قاعدة الأطوار نستنتج بأن عدد درجات الحرية يساوي واحد ( $T = 1$ ). الشكل 8-4 يمثل منحنى بسيط للضغط البخاري المشبع للسائل. إذا أخذنا النقطة  $A$  على المنحنى وهي نقطة يتواجد فيها السائل والبخار معاً في حالة اتزان وفيها درجة الحرارة تساوي  $T_1$  وضغطه

البخاري  $P_1$ ، إن زيادة الضغط البخاري من  $P_1$  إلى  $P_2$  مع بقاء درجة الحرارة ثابتة عند  $T_1$  (النقطة B) يؤدي إلى تكثف البخار وبذلك يتتحول النظام إلى نظام ذي طور واحد وهو الطور السائل، تحصل العملية نفسها لو ابقينا الضغط ثابتاً عند  $P_1$  وقمنا بخفض درجة الحرارة من  $T_1$  إلى  $T_2$  (النقطة E). أما إذا تم خفض الضغط البخاري إلى النقطة C حيث تغير الضغط من  $P_1$  إلى  $P_3$  مع بقاء درجة الحرارة ثابتة عند  $T_1$  فإن السائل سوف يغلي ويتحول النظام إلى طور واحد وهو الطور البخاري. تحصل الظاهرة نفسها إذا تم زيادة درجة الحرارة من  $T_1$  إلى  $T_3$  (النقطة D) مع إبقاء الضغط ثابتاً عند  $P_1$ .

نستنتج من ذلك أن بقاء الطورين في حالة اتزان مع بعضهما يحصل فقط عندما تكون هنالك درجة حرارية معينة مقابل ضغط محدد وفي حالة بقاء أي من هذين المتغيرين ثابتاً وتغير لتغير الآخر يعني اختفاء أحد الطورين.



شكل 4-8 خطط اتزان طورين افتراضي

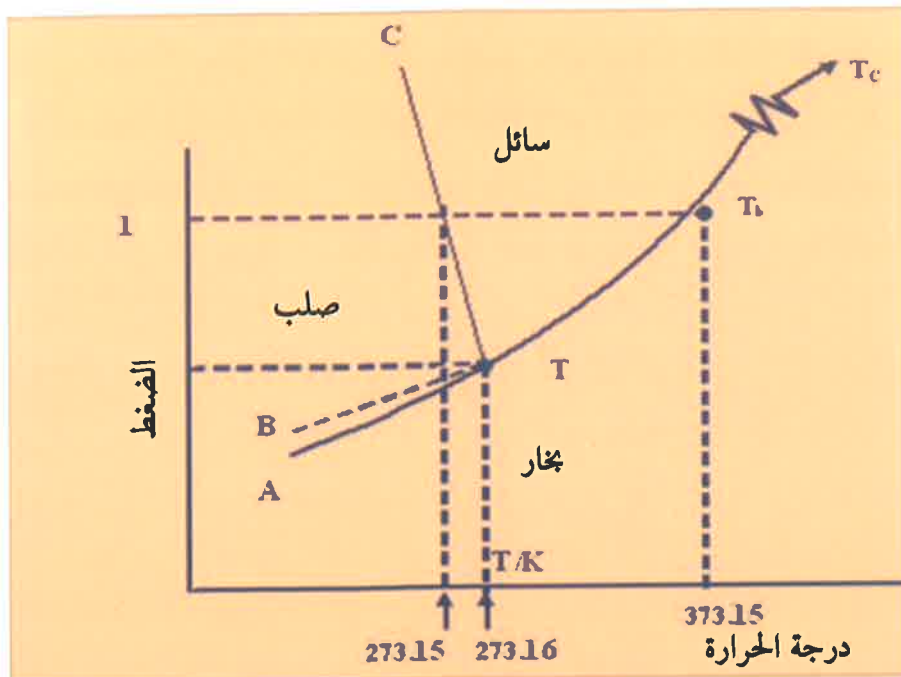
## 8-6 مخطط الأطوار لنظام الماء : Phases diagrams of Water System

الشكل 8-5 يمثل مخطط الأطوار لنظام الماء (لم يتم الالتزام بالقياس في الرسم وذلك لتوضيح بعض النقاط المهمة والتي تقع بعيدة عن بعضها البعض).

هناك مساحات واضحة ومعلمة تخص البخار والسائل والصلب وهي تمثل مناطق وجود هذه الأطوار لوحدها ( $T = 1$ ). هناك منحنيات تفصل هذه الأطوار عن بعضها البعض وهي تمثل حدود الطور (الخطوط الصلدة) وهي تمثل طورين في حالة اتزان فيما بينهما ( $p = 2$ ).

المنحنى  $TT_c$  يمثل الخط البخاري للماء وهو يمثل الحد ما بين الطورين السائل والبخار وفي نهايته يصل إلى درجة الحرارة الحرجة  $T_c$ . الدرجة الحرجة للماء تكون عند 647.30 كلفن وتحت ضغط 218.3 جو حيث يوجد عندها طور واحد ومتماضي ويسمى السائل الخارج Super Critical حيث لا توجد أي حدود ما بين الطورين السائل والبخار.

المنحنى  $TA$  يمثل منحنى تسامي الثلج وهو يفصل ما بين الطور الصلب والطور البخاري.



شكل 8-5 مخطط الأطوار لنظام الماء

يمثل امتداد المنحنى  $TT_c$  إلى النقطة B (المنحنى  $TA$ ) منحنى الحالة شبة المستقرة metastable بين الماء فوق المبرد (المبرد الخارق) Super cooled water وبيخاره، وهو أقل استقراراً من المنحنى  $TA$  حيث أن الماء السائل يوجد بدرجة حرارية 271.15 كلفن (-2م)، وإذا ما تم القاء بلورات ثلج صغيرة في هذا النظام فإن السائل فائق التبريد سيتجمد وينخفض ضغطه البخاري إلى حد المنحنى  $TA$  (يتتحول من الحالة الأقل استقراراً إلى الحالة الأكثر استقراراً). في عملية التبريد الخارق Super cooling Process يتم تبريد الماء إلى درجة حرارة تصل إلى 9.4 كلفن بدون أن يتجمد. اكتشفت هذه العملية لأول مرة من قبل

العالم فهرنهايت (1686 - 1736) وذلك عام 1724.

المنحنى  $TC$  يمثل منحنى اتزان صلب - سائل ويوضح كيفية تغير نقطة انصهار الصلب بتغير الضغط. إن ميل هذا المنحنى سالباً في نظام الماء وهذا يوضح بأن نقطة الانصهار للثلج تنخفض بزيادة الضغط وهذا ما تفسره حقيقة أن الماء السائل يشغل حجماً أقل من الثلج الصلب. أن مثل هذه الحالة غير شائعة بالنسبة للسوائل الأخرى وتعد شاذة وهنالك القليل من المواد لكي يكون ميل المنحنى  $TC$  فيها سالباً مثل البزمومث والكلاليوم.

عند امتداد المستقيم  $TC$  إلى الأعلى وعند الضغوط العالية جداً يتكون الثلج بأشكال بلورية مختلفة وتسمى بظاهرة الأشكال المتعددة Polymorphism (وهي مشتقه من الكلمة الاغريقية حيث أن Pollor تعني عدة و Morphism تعني شكل وبذلك فإن الكلمة تعني عدة أشكال). تتكون عند الضغوط العالية ستة أنواع من الثلج حيث يتكونان النوع الأول عند 218.3 جو في حين أن النوع الثاني والثالث يتكونون عند ضغط أعلى من 2000 جو والشكل البلوري الرابع للثلج يتكون عند ضغط ما بين 3000 - أكثر من 6000 جو والشكل الخامس يتكون عند ضغط أعلى من ذلك. تمتاز هذه الأنواع من الثلج بدرجة انصهارها العالية حيث أن درجة انصهار الثلج من النوع السادس تنصهر عند 373.15 كلفن ولكنه لا يتواجد إلا عند ضغط عالٍ جداً (أكثر من 8000 جو).

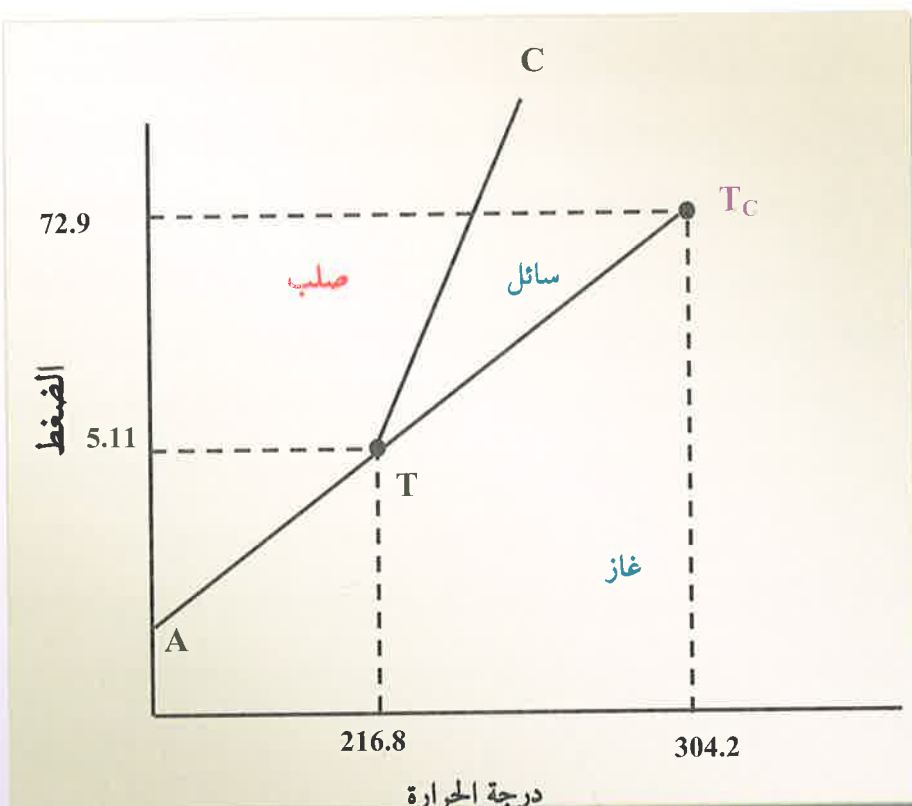
#### 7- منحنى الأطوار لنظام ثاني أوكسيد الكاربون

#### Phase Diagram for Carbon Dioxide system

عندما نتفحص الشكل 8-6 الذي يمثل رسم الطور لثاني أوكسيد الكاربون بصورة دقيقة نلاحظ اختلافاً واضحاً بينه وبين الشكل 8-5 ونقاط الاختلاف هي:

1- ان النقطة الثلاثية (T) تقع في منطقة ضغط مرتفع عن تلك الموجودة في رسم الطور لنظام (ثلج - ماء - بخار) حيث أنها تكون في ضغط 5.11 جو ودرجة حرارة 216.16 كلفن وهذا يعني أن ثاني أوكسيد الكاربون الصلب يتحول مباشرة إلى الحالة الغازية دون المرور بالحالة السائلة (يتسامي)، وفي حالة واحدة فقط يمكنه المرور بالحالة السائلة الا وهي، عندما يكون الضغط أكثر من 5.11 جو.

2- المنحنى الذي يكون فيه الطور الصلب مع الطور السائل في حالة اتزان (TC) يميل نحو اليمين أي أن ميل المنحنى موجباً، وهذا يعني أن الزيادة في الضغط ترفع درجة انصهار ثاني أوكسيد الكاربون الصلب.



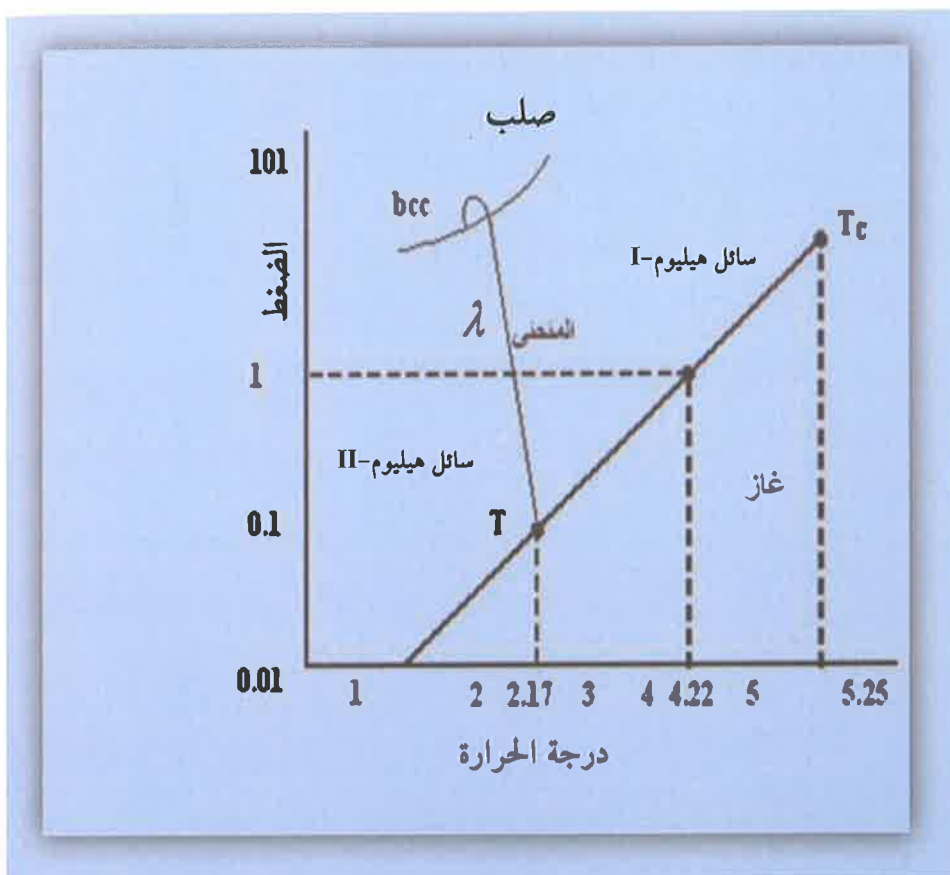
شكل 8-6 خريط الأطوار لنظام ثاني أوكسيد الكاربون

## 8-8 منحنى الأطوار لنظام الهيليوم :

## Phases diagram of helium dioxide system

الشكل 8-7 يمثل مخطط الأطوار لنظام الهيليوم. يلاحظ أن الهيليوم يتصرف بصورة غير اعتيادية حتى عند درجات الحرارة المنخفضة جداً. يتميز مخطط الأطوار لهذا النظام بالآتي:

- 1- لا يتواجد الطور الصلب والطور الغازي في حالة اتزان إطلاقاً.
- 2- للهيليوم المنقى منحنى اتزان ما بين طورين سائلين (سائل - سائل) ويسمى هذا الخط بخط  $\lambda$  (lambda line) وأن الهيليوم (He-I) يتصرف كسائل اعتيادي.
- 3- السائل الآخر وهو هيليوم (He-II) ويسمى السائل الخارق Super - fluid ويسمى كذلك لأنه ينساب بدون لزوجة.
- 4- هنالك شكلان بلوريان من صلب الهيليوم وهي الرابط المغلف السادساني Hexagonal closed packing ويرمز له بالرمز (Hcp) والشكل البلوري الآخر هو المكعب مرکزي الجسم Body – centered cubic ويرمز له بالرمز (bcc)



شكل 8-7 رسم الطور للهيليوم

## 9-8 قاعدة الأطوار Phase Rule

اكتشفت معادلة قاعدة الأطوار أول مرة من قبل العالم ويلارد كيبس في عام 1878، ونظراً لنشرها في مجلة غير مشهورة فقد بقيت هذه المعادلة قيد النسيان حوالي عشرين سنة. إن هذه المعادلة تعطي العلاقات بين عدد درجات

الحرية (F) Degree of Freedom لنظام يحتوي على مجموعة متزنة من المكونات (C) مع عدد أطوار Phases الموجودة في النظام.

تنص قاعدة الأطوار Phases rule على أن:

(عدد درجات الحرية F وعدد الأطوار P) Number of freedom (F) وعدد المكونات (C) Number of components في Number of Phases نظام موجود في حالة اتزان تام ترتبط فيما بينها بالعلاقة الآتية):

$$F = C - P + 2$$

$$8 - 3$$

ولاجل الإيضاح لابد من القيام بتعريف بعض التعابير التي ورد ذكرها قبل الدخول في تفصيلات هذه القاعدة.

### 8-9-1 عدد درجات الحرية :

لقد ذكرنا في الفصول السابقة بأن هنالك نوعين من الخصائص يمكن بواسطتها وصف الطور في النظام (أي نظام) وأحدى هذه الخصائص تسمى بالخصائص الشاملة (Extensive Properties) وهذا النوع من الخصائص يعتمد على كمية الطور مثل وزن الطور وحجمه، أما النوع الثاني من الخصائص فيسمى بالخصائص المكثفة أو المركزية (Intensive Properties) وهذا النوع من الخصائص لا يعتمد على كمية الطور وتكون قيمة الخاصية متساوية سواء للطور بكامله أو لا ي جزء منه مثل الكثافة ودرجة الحرارة ومعامل الانكسار، وهذا النوع الآخر هو الذي يهمنا عند توضيح درجات الحرية حيث أن عدد درجات الحرية يعني عدد المتغيرات المكثفة التي يمكنها اختيارها بصورة مستقلة لكي نتمكن بواسطتها تعريف النظام تعريفاً كاملاً و من ثم تصبح قيم المتغيرات المكثفة الأخرى ثابتة، فمثلاً بامكاننا تحديد حالة نظام يتكون من سائل الماء فقط

عند قيم محددة لدرجة حرارة الماء وضغطه لانه في درجة حرارة وضغط معينين سوف تكون لسائل الماء قيم ثابتة لخصائصه المركزة مثل الشد السطحي ومعامل الانكسار والكثافة، او بمعنى اخر انه بالامكان وصف العينة وصفا كاملا عندما نحدد اية خاصيتين من الخواص المكثفة لسائل الماء.

نستنتج من ذلك أن عدد درجات الحرية للنظام المتزن يعني أقل عدد من التغيرات المكثفة التي يمكن تغييرها بصورة مستقلة دون أن يحصل تغير في عدد اطوار هذا النظام.

### 8-9-2 عدد المكونات : Number of Component

يمكن تعريف عدد المكونات بأنه اقل عدد من المواد الكيميائية القابلة للتغير بصورة مستقلة والموجودة في اطوار النظام المختلفة. فمثلاً في نظام السائل وبخاره والذي يوجد فيه طوران هما الطور السائل والطور البخاري فان هذا النظام يحتوي على مكون واحد بينما في حالة نظام المحلول الذي يحتوي على مذاب وبخار المذيب فان النظام له طوران وكذلك مكونان وهنالك معادلة يمكن بواسطتها حساب عدد المكونات وهي :

$$C = N - R \quad 8-4$$

حيث  $N$  تمثل العدد الكلي للمواد الكيميائية الموجودة في النظام و  $R$  تمثل عدد التوازنات الكيماوية والنسب المتكافئة بين بعض الاصناف التركيبية في النظام اما في حالة المحاليل الايونية فان المعادلة 8-4 ستتحول إلى الشكل الاتي:

$$C = N - R - 1 \quad 8-5$$

### Phases numbers: 8-9-3 عدد الأطوار:

لقد تطرقنا في مقدمة هذا الفصل إلى تعريف الطور وأوضحتنا بأنه يمثل ذلك الجزء من النظام المتجانس فيزيائياً وكيميائياً في كل جزء من أجزائه، وتفصله عن الأطوار الأخرى حدود واضحة ومتمنية سميت بحدود الطور Phase boundaries. مثلاً وجود قطعة من الثلج في قدر من الماء تكون معالم القطعة واضحة وكذلك حدودها التي تفصلها عن الماء وهي تمثل الطور الصلب الذي توجد لديه حدود تفصله عن الطور السائل.

يوصف النظام بأنه متجانس Homogenous system إذا كان النظام يتكون من طور واحد فقط، أما النظام الذي يتكون من أكثر من نظام فيسمى نظام غير متجانس Heterogeneous system. ولتوسيع كيفية التعرف وبصورة صحيحة على عدد الأطوار دعنا نتفحص الأمثلة التوضيحية الآتية:

- 1- الثلج يمثل طوراً واحداً إذا كان على شكل قطع صغيرة أو كبيرة، ولكن في حالة وجود عدد من الأشكال البلورية المختلفة من الثلج لا يمكن عدّها طوراً واحداً ولكن كل شكل بلوري منها يمثل طوراً واحداً.
- 2- وجود ملح الطعام في الماء يمثل طوراً واحداً متجانساً بالرغم من احتوائه على أيون الصوديوم وايون الكلور والماء.
- 3- وجود خليط من الغازات تامة الامتزاج تعد طوراً غازياً واحداً.
- 4- خليط السوائل تامة الامتزاج يعد طوراً واحداً.
- 5- خليط السوائل عديمة الامتزاج تكون أكثر من طور وعدد الأطوار فيها يساوي عدد الحدود الفاصلة بين الأطوار زائد واحد.
- 6- المحاليل المتجانسة للمواد الصلبة المختلفة تكون طوراً واحداً بغض النظر

عن المركبات الكيميائية التي تكونها.

7- كل شكل بلوري خاص من المواد الصلبة ويشكل طوراً واحداً في حالة تشابه التركيب الكيميائي أو اختلافه، فمثلاً كل صورة بلورية من صور الكبريت تكون طوراً مستقلاً عن الشكل البلوري الآخر.

إن عملية تحديد عدد المكونات يتطلب معرفة عدد الأنواع الكيميائية (عدد المركبات الكيميائية) الموجودة في النظام وهو في حالة الإتزان أولاً ثم بعدها يجب معرفة عدد المعادلات الكيميائية التي تربط بين هذه المكونات وكذلك يتطلب معرفة العلاقة بين تراكيز المكونات الكيميائية. لغرض التعرف على كيفية حساب ذلك دعنا نتفحص الأمثلة الآتية:

أ- عند إذابة ملح الطعام في الماء تكون لدينا أربعة مركبات كيميائية وهي:



توجد هنالك حالة اتزان ما بين كمية  $\text{NaCl}$  المتفككة وكذلك عدد الأيونات المتكونة من  $\text{Cl}^-$ ,  $\text{Na}^+$  وهنالك توازن آخر وهو أن عدد أيونات  $\text{Na}^+$  يجب أن يساوي دائماً عدد أيونات  $\text{Cl}^-$  وبذلك فإن العدد الكلي للمكونات في هذا النظام يساوي:

$$\text{C} = 4 - 1 - 1 = 2$$

8 - 6

هنالك رأي علمي يقول بأن الماء الموجود في هذا النظام يمكن أن يكون أيونات الهيدرونيوم ( $\text{H}_3\text{O}^+$ ) وكذلك أيونات الهيدروكسيل ( $\text{OH}^-$ ) لكن بالطريقة نفسها يمكن اختزال عدد اثنين منها لأن هنالك اتزاناً ما بين تفكك جزيئات الماء وتكوينها لذين المركبين الكيميائيين وكذلك هنالك تساوي فيما بين تركيزهما:

$$[\text{H}_3\text{O}^+] = [\text{OH}^-]$$

8 - 7

وبذلك فإن إضافة العدد اثنين نتيجة لوجود  $\text{H}_3\text{O}^+$  و  $\text{OH}^-$  في النظام يحتم اختزال اثنين كذلك وبذلك تكون النتيجة النهائية صفرًا.

بـ- عند خلط كميات من غازات لا تتفاعل مع بعضها البعض مثل الهيليوم والهيدروجين والاركون، فإن هذا الخليط يكون بحالة اتزان دائمًا بغض النظر عن تركيز أي مكون من مكونات هذا النظام لذا فإن العدد للمكونات في هذا النظام يساوي ثلاثة.

ج- عند خلط كمية من الغازات مع بعضها البعض وكانت هذه الغازات تتفاعل مع بعضها البعض مثل خلط كمية مع غاز الهيدروجين وغاز اليود وغاز يوديد الهيدروجين. إن هذا النظام يحتوي على ثلاثة مركبات كيميائية وهي  $H_2$  و  $I_2$  و  $HI$ ، ولكن هذه المركبات ترتبط فيما بينها بالمعادلة الكيميائية الآتية:



وهذا يعني أن ثابت الإتزان K يساوي:

$$K = \frac{[HI]^2}{[H_2][I_2]} \quad 8-9$$

و كذلك فإن:

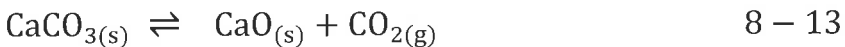
$$[\text{H}_2] = [\text{I}_2]$$

أي أن تركيز الغازين متساوٍ وبذلك فإن العدد الكلي لمكونات مثل هذا

النظام متساوي:

$$C = 3 - 1 - 1 = 1 \quad 8 - 11$$

د- في النظامين المتوازنين الآتيين:



يعبر عن ثابت الإتزان للتفاعل الأول المعادلة 8-12 كما يأتي:

$$K = [\text{NH}_3][\text{HCl}] \quad 8 - 14$$

كما أن المكونين  $\text{NH}_3$  و  $\text{HCl}$  متساويان بالتركيز:

$$[\text{NH}_3] = [\text{HCl}] \quad 8 - 15$$

وبذلك فإن العدد الكلي للمكونات يساوي:

$$C = 3 - 1 - 1 = 1 \quad 8 - 16$$

أما النظام المذكور بالمعادلة الثانية المعادلة 8-13، فإن ثابت الإتزان يعبر عنه

بالآتي:

$$K = [\text{CO}_2] \quad 8 - 17$$

لا يمكن لهذا النظام أن يعامل مثل معاملة النظام الأول (نظام كلوريد الأمونيوم) لأنه بالرغم من أن عدد مولات  $\text{CaO}$  يساوي عدد مولات  $\text{CO}_2$  ولكن تركيزهما غير متساو، وبذلك فإن العدد الكلي لمكونات هذا النظام يساوي:

$$C = 3 - 1 = 2 \quad 8 - 18$$

## 8-10 اشتراق قاعدة الطور: Derivation the Phase rule

لقد عرفنا عدد درجات الحرية  $F$  بأنها أقل عدد من المتغيرات المركزة (المكثفة) التي يمكن تغييرها بصورة مستقلة دون أن يحصل تغير درجات الحرية

سيساوي المجموع الكلي للمتغيرات المستقلة ينقص منه عدد المتغيرات المعرفة للنظام (عدد معادلات الإتزان التي تربط المتغيرات المستقلة).

إذا افترضنا وجود نظام يمكّون واحد وله طوران، فعند ثبوت درجة الحرارة والضغط فإن الجهد الكيميائي للطورين متساو:

$$\mu_1^\alpha = \mu_1^\beta = \mu_1^\gamma = \dots = \mu_1^{\rho} \quad 8-19$$

وبذلك سيكون لدينا معادلات متشابهة للمعادلة 8-20 لكل مكون من المكونات الموجودة في النظام وهذا يعني بأن المعادلات الآتية ستمثل الجهد الكيميائي لنظام يتكون من عدد C من المكونات:

$$\begin{aligned} \mu_1^\alpha &= \mu_1^\beta = \mu_1^\gamma = \dots = \mu_1^{\rho} \\ \mu_2^\alpha &= \mu_2^\beta = \mu_2^\gamma = \dots = \mu_2^{\rho} \end{aligned} \quad 8-20$$

$$\begin{array}{c} \mu_3^\alpha = \mu_3^\beta = \mu_3^\gamma = \dots = \mu_3^{\rho} \\ | \\ | \\ | \\ | \\ \mu_c^\alpha = \mu_c^\beta = \mu_c^\gamma = \dots = \mu_c^{\rho} \end{array} \quad 8-21$$

إن وجود عدد C من المكونات يعني بأننا يمكن أن نتعرف على تركيب النظام بصورة تامة بواسطة (C-1) من التركيز إذا كان التعبير عن هذه التركيز بواسطة الكسر المولري أو النسبة الوزنية وذلك لأن التركيز الآخر المتبقى يمكن التعرف عليه بصورة تلقائية عند معرفة البقية حيث أن:

$$\chi_1 + \chi_2 + \chi_3 + \dots + \chi_n = 1 \quad 8-22$$

وإذا كان النظام مكون من  $P$  من الأطوار فيجب أن يكون تعبير التركيز يساوي  $[P(C-1)]$ ، إذا أضفنا تعبيرين آخرين وهما درجة الحرارة والضغط فأن العدد الكلي للمتغيرات سيصبح  $[P(C-1) + 2]$ . وبالعودة للمعادلة 8-21 فأنا نحتاج إلى  $(P-1)$  من المعادلات لوصف حالة النظام، فلو كان لدينا طوران لكون واحد في حالة اتزان فلا توجد سوى علاقة اتزان واحدة فقط بينهما وإذا كان لدينا عدد 2 من المكونات فأنا العدد الكلي لمعادلات الإتزان سيساوي  $[P(C-1)]$  وبذلك فأنا عدد درجات الحرية  $F$  سيساوي:

$$K = [P(C - 1) + 2] - [C(P - 1)] \quad 8 - 23$$

وبذلك فان:

$$F = C - P + 2 \quad 8 - 24$$

### 11-8 تطبيقات قاعدة الطور: Applications of Phase rule

إن وصف نظام يتكون من غاز نقي يتطلب تحديد متغيرين وهما درجة الحرارة والضغط أو درجة الحرارة والتركيز أو الضغط والتركيز ومن تحديد المتغيرين يمكن حساب المتغير الآخر من معادلة الحالة، وهذا يعني بأن عدد درجات الحرية يساوي اثنين وعند حساب ذلك من تطبيق قاعدة الطور نرى بأنها تساوي اثنين:

$$F = C - P + 2 = 1 - 1 + 2 = 2 \quad 8 - 25$$

ويسمى مثل هذا النظام بنظام ثبائي المتغير .Bivariant system

إذا كان لدينا نظام ذي مكون واحد وبطوريين وبحالة اتزان (اتزان طور سائل مع طور البخار) فهناك حاجة إلى تحديد متغير واحداً فقط لوصف النظام مثل درجة الحرارة أو الضغط وذلك لأن تحديد أحد المتغيرين يجعل من تحديد

المتغير الثاني تلقائياً وذلك لوجود ضغط ذو كمية محدودة مقابل كل درجة حرارية، وهذا يعني بأن عدد درجات الحرية يساوي واحد. عند تطبيق قاعدة الطور على مثل هذا النظام يعطي قيمة  $F$  وتساوي واحد:

$$F = C - P + 2 = 1 - 2 + 2 = 1 \quad 8 - 26$$

ويسمى مثل هذا النظام بنظام أحادي المتغير univariant system

عند النقطة الثلاثية لنظام يتكون من مكون واحد فهذا يعني وجود ثلاثة أطوار في حالة اتزان، وبهذه الحالة لا يمكن تغيير أي متغير وإذا ما تم ذلك فإن حالة الإتزان بين الأطوار الثلاثة ستختفي وينتفي معها أحد الأطوار. هذا يعني أن عدد درجات الحرية يساوي صفرأً عند تطبيق قاعدة الطور نرى بأن  $F$  تساوي صفر.

$$F = C - P + 2 = 1 - 3 + 2 = 0 \quad 8 - 27$$

ويسمى مثل هذا النظام بالنظام غير المتغير Invariant system

نستنتج من الأمثلة أعلاه بأنه كلما زاد عدد الأطوار في النظام كلما قل عدد درجات الحرية كما نستنتج بأن عدد درجات الحرية للنظام ذي المكون الواحد يتراوح ما بين صفر واثنتين.

الجدول 8-1 يمثل عدد المكونات والقيمة الصغرى والقيمة العظمى لعدد الأطوار وعدد درجات الحرية.

جدول 8-1 العلاقة بين عدد المكونات وعدد الأطوار وعدد درجات الحرية

القيمة العظمى لعدد درجات الحرية $F_{\max}$	القيمة الصغرى لعدد درجات الحرية $F_{\min}$	القيمة العظمى لعدد الأطوار $P_{\max}$	القيمة الصغرى لعدد الأطوار $P_{\min}$	عدد المكونات $C$
2	0	3	1	1
3	0	4	1	2
4	0	5	1	3
5	0	6	1	4

## أمثلة الفصل الثامن

**مثال 8-1:** احسب الجهد الكيميائي للثلج وللماء السائل عند زيادة الضغط من 1 بار الى 2 بار عند صفر درجة مئوية. كثافة الثلج والماء السائل تحت نفس الظروف تساوي  $0.917$  و  $0.999 \text{ غم سم}^3$ .

$$\Delta\mu = \frac{M\Delta P}{\rho}$$

$$\Delta\mu_{(\text{ice})} = \frac{18 \times 10^{-3} \times 1 \times 10^5}{917} = 1.97 \text{ J mol}^{-1}$$

$$\Delta\mu_{(\text{water})} = \frac{18 \times 10^{-3} \times 1 \times 10^5}{999} = 1.80 \text{ J mol}^{-1}$$

**مثال 8-2:** احسب رياضياً مقدار تأثير الضغط على درجة غليان السائل.

$$\Delta V_{\text{vap}} = V_{m(g)} - V_{m(l)} \approx V_{m(g)}$$

وبتطبيق قاعدة تورتون (كما سيتم توضيحها في الفصول القادمة)

(ان شاء الله)

$$\frac{dP}{dT} = \frac{85}{24.4 \times 10^{-3}} = 3.48 \times 10^3 \text{ Pa K}^{-1}$$

$$= 0.0348 \text{ atm K}^{-1}$$

$$\frac{dT}{dP} = 28.7 \text{ K atm}^{-1}$$

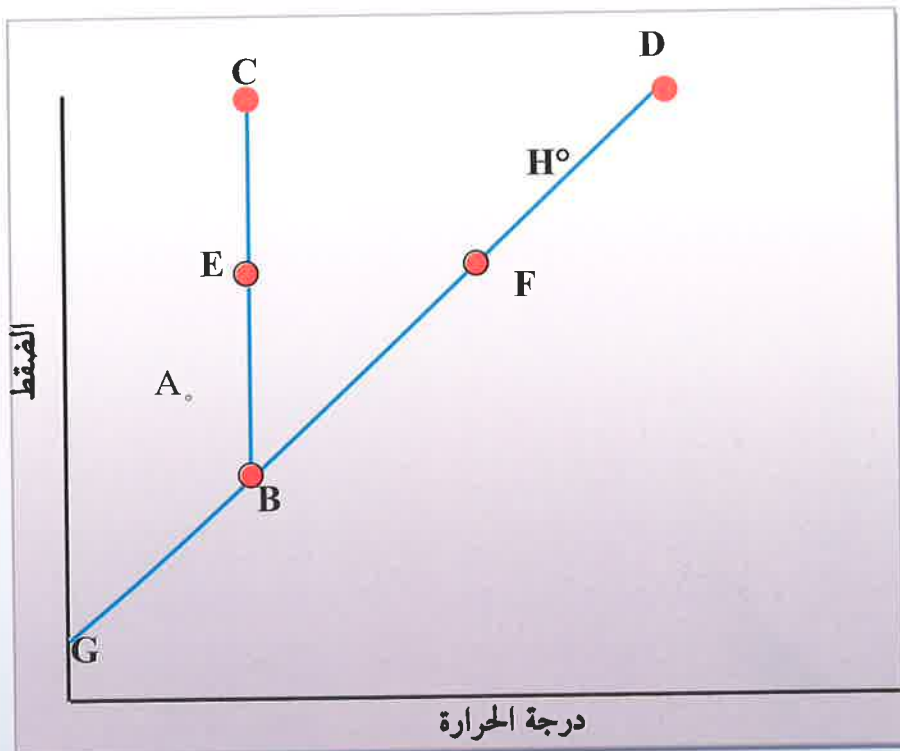
لذا فإن الزيادة بالضغط بمقدار 0.1 جو تتوقع ارتفاع درجة الغليان بمقدار

3 درجات مطلقة تقريرياً

**مثال 8-3:** اذا ما تعرضت يد الانسان للاحتراق بماء مغلي بدرجة حرارة 100م او ببخار الماء بنفس الدرجة الحرارية (100م)، أي نوع من هاتين الحالتين تسبب حرقاً اكبر؟ ولماذا؟.

الاحتراق ببخار الماء عند 100م يكون اكبر لأن تحول بخار الماء الى سائل بالدرجة الحرارية نفسها يعطي حرارة قدرها 40.7 كيلو جول مول<sup>-1</sup>.

**مثال 8-4:** المخطط الآتي يمثل منحني الاطوار للمادة x:



- أ- ماهي الاطوار الموجودة في النقاط A وE و F و H و G .
- ب- حدد النقطة الحرجة والنقطة الثلاثية.

ج - حدد المنحني الذي يفصل بين طوري الصلب والغاز.

د - ماذا يحصل لو تم رفع درجة الحرارة وبثبوت الضغط في النقطة A.

أ - A: صلب، E: صلب، F: سائل + غاز، H: سائل، B: صلب +

سائل + غاز.

ب - النقطة الخرجية هي D والنقطة الثلاثية هي B.

ج - المنحني B G

د - المادة الصلبة تنصهر او لا ثم تتبخر بعد ذلك.

مثال 8-5 ضغوط التسامي للكلور الصلب في درجات مختلفة هي كما يأتي:

352 باسكال في  $-112^{\circ}\text{C}$

35 باسكال في  $-126.5^{\circ}\text{C}$

والضغط البخارية للكلور السائل في درجات حرارية مختلفة كما يأتي:

1590 باسكال في  $-110^{\circ}\text{C}$

7830 باسكال في  $-80^{\circ}\text{C}$

احسب ما يأتي:

1 - انتالبية التسامي

2 - انتالبية التبخر

3 - انتالبية الانصهار

4 - درجة الحرارة عند النقطة الثلاثية

من المعلوم أن علاقة الانثالبي بدرجة الحرارة والضغط هي كما يأتي:

$$\Delta H = \frac{R}{T_2 - T_1} \ln \frac{P_2}{P_1}$$

- حساب حرارة الانصهار  $\Delta H_{sub}$

$$\begin{aligned}\Delta H_{sub} &= 2.303 \frac{R}{T_2 - T_1} \ln \frac{P_2}{P_1} \\ &= \frac{2.303 \times 8.314 \times 161.15 \times 146.65}{14.5} \ln \frac{352}{35} \\ &= 3104 \text{ } kJ mol^{-1}\end{aligned}$$

وذلك فان حرارة التسامي = 4.31 كيلوجول مول<sup>-1</sup>

- يمكن حساب حرارة التبخر  $\Delta H_{vap}$  كما يأتي:

$$\begin{aligned}\Delta H_{vap} &= \frac{2.303 \times 8.314 \times 173.15 \times 193.15}{20} \ln \frac{7830}{1590} \\ &= 22.1 \text{ } \text{kJ mol}^{-1}\end{aligned}$$

- يمكن حساب حرارة الانصهار بعد إن عرفنا حرارة التسامي وحرارة التبخر حسب العلاقة الآتية:

$$\Delta H_{fus} = \Delta H_{sub} - \Delta H_{vap}$$

$$31.4 - 2.1 = 9.3 \text{ } \text{kJ mol}^{-1}$$

- في حالة الصلابة:

$$\begin{aligned}2.303 \log P_{(solid)} &= 2.303 \log 532 \frac{31400}{8.314} \left( \frac{1}{173.15} - \frac{1}{T} \right) \\ &= 29.300 - \frac{37.77}{T}\end{aligned}$$

وفي حالة السائلة

$$2.303 \log P_{(liquid)} = 2.303 \log 1590 + \frac{22100}{8.314} \left( \frac{1}{173.15} - \frac{1}{T} \right)$$

$$= 2.723 - \frac{2658}{T}$$

وفي النقطة الثلاثية تكون الضغوط متساوية وعلية:

$$29.300 - \frac{3777}{T} = 22.723 - \frac{2658}{T}$$

ومن العلاقة اعلاه يمكن إيجاد:

$$T = 107.1 \text{ } ^\circ\text{K} = -103 \text{ } ^\circ\text{C}$$

أي ان درجة الحرارة عند النقطة الثلاثية تساوي  $-103^\circ\text{C}$

**مثال 8-6:** اذا علمت بان الضغط البخاري لثاني اوكسيد الكاربون في حالة الصلبة والحالة السائلة يعبر عنہ حسب المعادلات الآتية:

$$\log (P_{solid}) = 11.986 - \frac{1360}{T}$$

$$\log (P_{solid}) = \frac{9.729}{T} - 874$$

احسب درجة الحرارة والضغط عند النقطة الثلاثية لثاني اوكسيد الكاربون.

عند النقطة الثلاثية يكون الضغط البخاري حالة الصلابة متساوي للضغط البخاري لحالة السائلة.

$$P_{(solid)} = P_{(liquid)}$$

ويذلك وباستخدام المعادلات اعلاه نحصل على:

$$11.986 - \frac{1360}{T_{(t,p)}} = 9.729 - \frac{874}{T_{(t,p)}}$$

حيث ان  $T_{(t,p)}$  تمثل درجة الحرارة عند النقطة الثلاثية.

$$T_{(t,p)} = 215.3\text{K}$$

وبذلك فان درجة الحرارة في النقطة الثلاثية = 215-3 كلفن

$$\log(P_{(t,p)}) = 11.986 - \frac{1360}{T}$$

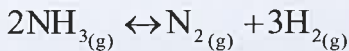
حيث ان  $P_{(t,p)}$  يمثل الضغط عند النقطة الثلاثية فلذلك.

$$P_{(t,p)} = 4.70 \times 10^5 \text{ pa}$$

من التبيّنة نلاحظ ان الضغط عند النقطة الثلاثية هو اكبر من 1 جو ( $1.33 \times 10^5$  باسكال) لان ثاني اوكسيد الكاربون لا يمكن ان يكون سائلا في الضغط الجوي الاعتيادي.

**مثال 8-7:** احسب عدد المكونات لنظام غازي يحتوي على غازات الهيدروجين والنتروجين والامونيا.

تكون حالة التوازن في هذا النظام كما يأتي:



وفقاً ذلك فان  $N$  يساوي 3 و  $R$  يساوي 1، وعليه:

$$C = N - R$$

$$C = 3 - 1 = 2$$

أي ان عدد المكونات يكون 2 وبذلك يمكن ان يحضر هذا النظام بوجود غاز الامونيا واي من الغازين الاخرين اما اذا كانت النسبة ما بين H و N هي 1:3 فان R يساوي 2 نتيجة للعلاقة المتكافئة وعلية:

$$C = N - R$$

$$C = 3 - 2 = 1$$

ويكون بذلك عدد المكونات 1 ويمكن تحضير هذا النظام من الامونيا فقط.

**مثال 8-8:** احسب عدد المكونات لنظام يحتوي على غازي كلوريد الهيدروجين والامونيا وعلى كلوريد الامونيا الصلب.

في هذا النظام يوجد طوران هما الطور الصلب والطور الغازي والتوازن الكيميائي في هذا النظام هو:



ولوجود توازن واحد فان R = 1 وعليه فان:

$$C = N - R$$

$$C = 3 - 1 = 2$$

إن عدد المكونات يساوي 2 اما في حالة احتفاظ النظام بنسبة 1:1 في تركيز غازي الامونيا وكلوريد الهيدروجين ففي هذه الحالة تكون R تساوي 2 وعدد المكونات سيكون مساوياً لواحد.

**مثال 8-9:** ما هو اكبر عدد من الاطوار التي يمكن ان توجد في حالة توازن في درجة حرارة وضغط ثابتين.

أ- نظام ذو مكون واحد

ب- نظام ذو مكونين

## ج- نظام ذو ثلاثة مكونات

أ-

$$F = C - P + 2$$

$$O = 1 - P + 2$$

$$P = 0$$

ب-

$$O = 2 - P + 2$$

$$P = 4$$

ج-

$$O = 3 - P + 2$$

$$P = 5$$

مثال 10-8:

أ- محلول مشبع من كبريتات الصوديوم ( $Na_2SO_4$ ) مع وجود زيادة من الملح يغلي في وعاء مغلق. احسب عدد الأطوار وعدد المكونات الموجودة فيه. ما هو عدد درجات الحرية؟

ب- في حالة كون محلول المذكور غير مشبع احسب الأطوار وعدد المكونات وعدد درجات الحرية وعرفها.

أ- ان عدد المكونات = 2

وهما:  $H_2O$  و  $Na_2SO_4$

اما عدد الأطوار فيساوي 3 وهي:

الملح الصلب، المحلول السائل، والبخار وذلك لأن المحلول في حالة غليان وفي وعاء مغلق.

يمكن حساب عدد درجات الحرية حسب المعادلة:

$$\begin{aligned} F &= C - P + 2 \\ &= 2 - 3 + 2 \\ &= 1 \end{aligned}$$

وفي هذه الحالة يتم تغيير الضغط فيجب أيضاً تغيير درجة الحرارة وذلك للحفاظ على غليان المحلول والعكس صحيح أيضاً.

بـ- ان عدد المكونات = 2

$\text{H}_2\text{O}$  و  $\text{Na}_2\text{SO}_4$  وهما:

اما عدد الأطوار فيساوي 2 وهما:

- المحلول السائل والبخار.

- اما عدد درجات الحرية

$$\begin{aligned} P &= 2 - 2 + 2 \\ &= 2 \end{aligned}$$

وفي هذه الحالة يمكن ان يتم تغيير كمية الملح المذاب والضغط مع تغير مناسب في درجة الحرارة لكي تحافظ على الغليان.